

RECHERCHES

SUR

L'AILE DES CHRYSOMELOIDEA

(COLEOPTERA)

DEUXIÈME PARTIE

13. — GALERUCIDAE.

Les *Galerucidae* sont caractérisés par la disposition des antennes qui sont filiformes et, au moins dans les genres européens, composées de onze articles. Elles sont rapprochées à leur base. Les Galérucides sont généralement grêles avec les téguments mous. MAULIK a découvert un caractère permanent à l'intérieur des fémurs des Halticidés permettant de séparer ces insectes des Galérucides. Il s'agit d'un apodème, en forme de cuiller, où s'insèrent les muscles saltatoires, apodème qui fait défaut aux Galérucides.

La nervation alaire des Galérucides est de type « chrysomélide », avec, contrairement aux Halticidés, Cu_1 bien développé. Il y a assez peu de microptères et d'aptères chez les Galérucides.

La biologie des Galérucides est extrêmement variée. Toutes les espèces sont phytophages, mais si la plupart des espèces vivent, larves et adultes, sur les plantes nourricières, d'autres sont hypogées à l'état larvaire et, comme les Eumolpidés, se nourrissent des radicelles des végétaux (*Phyllobrotica*, *Luperus*, etc.). Les larves d'autres espèces (*Exosoma*, etc.) se développent dans les bulbes des Liliacées et Amarylidées, et sont stercoraires. Enfin, quelques larves (*Monoxia* ...) sont mineuses dans les feuilles de divers végétaux (*Chenopodium*). Les larves sont le plus souvent grégaires. La nymphose s'accomplit en terre le plus souvent, quelquefois à découvert sur le sol, dans les fentes des écorces, ou bien la nymphe est fixée par l'extrémité de l'abdomen à une feuille. Beaucoup de Galérucides sont sténophages (*Agelastica* et *Alnus*, *Sermylassa* et *Galium*, etc.), d'autres sont polyphages (*Galeruca*).

Des changements dans la nomenclature des Galérucides sont intervenus à plusieurs reprises. Nous essaierons d'en tenir compte le mieux que nous pourrons.

1. — Genre OIDES WEBER.

Important genre des régions tropicales de l'ancien monde. Nous décrivons ici l'aile d'*Oides pectoralis* CLARK, de Birmanie :

Aile grande (15×5 mm), bien chitinisée. r_m assez net, pas de traces de M_{1a} . Distales et médianes classiques. M_1 mince et bisinué. Cu_1 sinué, isolé, avec cu-an faiblement chitinisé, droit. Fusion des anales au-delà de an_1 . $3A$ très mince, long, fortement arqué.

Oides dorsosignata CLARK, d'Australie (Pl. XXXV, fig. 3), a une aile plus petite ($10,5 \times 4$ mm), très semblable à la précédente, rt losangique.. Un tronçon de rm est net sous $M_1 a.$ an₁ en triangle allongé. 3A plus court.

2. — Genre ANOIDES WEISE.

Genre néoguinéen. Nous décrivons l'aile d'*Anoides suturalis* JACOBY, de la baie de Humboldt :

Aile moyenne (12×4 mm), très bien chitinisée. rt triangulaire. Le reste de la nervation quasi identique à celle des espèces précédentes.

3. — Genre BOTANOCTONA FAIRMAIRE.

Nous décrivons ici l'aile de *Botanoctona gibbosa* JACOBY, d'Afrique équatoriale (Pl. XXXV, fig. 1) :

Aile grande (16×6 mm), bien chitinisée. rt triangulaire. Vestiges de rm seuls visibles. Distales et médianes classiques. Cu₁ incurvé avec cu-an droit. Fusion des anales au-delà de an₁, qui est subtriangulaire. 3A mince, long, bisinué.

4. — Genre OIDOMORPHA LABOISSIÈRE.

Genre monospécifique, avec l'espèce *Oidomorpha africana* LABOISSIÈRE, décrite du Kenya. Cette espèce est microptère.

5. — Genre RHAPHIDOPALPA ROSENHAUER.

Genre des régions tropicales de l'ancien monde. Une espèce (*R. foveicollis* LUCAS) est circumméditerranéenne et pratiquement ubiquiste en Afrique. Nous décrivons ici l'aile de *Rhaphidopalpa ceramensis* WEISE, de Ceram (Pl. XXXV, fig. 14) :

Aile petite ($8,5 \times 3$ mm), bien chitinisée. rt en triangle allongé. rm net sous $M_1 a.$ Distales et médianes classiques. M_1 bisinué. Cu₁ arqué, avec cu-an net. Fusion des anales au-delà de an₁, qui est étroit et lenticulaire. 3A mince, sinué.

6. — Genre CERATIA CHAPUIS.

Genre indo-australien, renfermant 150 espèces environ. Il est souvent subdivisé en cinq sous-genres. LABOISSIÈRE (1929) fait un genre séparé de *Pachypalpa*.

Ceratia (s. str.) *flavomarginata* DUVIVIER.

Espèce des îles de la Sonde (Pl. XXXIV, fig. 16) :

Aile petite (8×3 mm), bien chitinisée. rt lenticulaire, allongé. rm arqué, incomplet, sans traces de $M_1 a.$ Distales et médianes classiques. Cu₁ arqué avec cu-an en prolongement. Fusion des anales. 3A mince, sinué.

Ceratia (*Orthaulaca*) *bicolor* WEBER.

Espèce des îles de la Sonde (Pl. XXXV, fig. 5) :

Aile grande (13×5 mm), bien chitinisée, rt lenticulaire, allongé, rm arqué, assez net. Médianes classiques avec M_1 bisinué. Cu₁ arqué, continué par cu-an. Fusion des anales. 3A court, épais, sinué.

Ceratia (Orthaulaca) batesi JACOBY.

Espèce de Sumatra : Aile grande ($13 \times 4,75$ mm), bien chitinisée. Nervation identique à celle de l'espèce précédente. Vestiges peut-être de M_1a (?). Chitinisation plus forte des nervures. Cu_1 sinué et plus rapproché distalement de 1A.

Ceratia (Cerania) cornuta BALY.

Espèce des Philippines (Pl. XXXV, fig. 6) :

Aile moyenne ($11,5 \times 3,75$ mm), bien chitinisée. Nervation identique à celle des espèces précédentes. Cependant M_1a est net au milieu de rm. M_1 bisinué. Cu_1 très arqué. 3A bisinué.

Ceratia (Sphaerorthra) antennata BALY.

Espèce de Java : Aile moyenne ($11,5 \times 4$ mm), bien chitinisée. rt lenticulaire, allongé. rm arqué, sans M_1a . M_1 bisinué. Cu_1 arqué, faiblement chitinisé, continué par cu-an. Fusion des anales au-delà de an₁. 3A bisinué.

Ceratia (Pachypalpa) luteicornis FABRICIUS.

Espèce des îles de la Sonde (Pl. XXXV, fig. 8) :

Aile moyenne (11×4 mm), bien chitinisée. rt lenticulaire, allongé. M_1a et rm disparus. M_1 bisinué. Cu_1 arqué, continué par cu-an. Fusion des anales. 3A mince, bisinué.

7. — Genre HOPLASOMA JACOBY.

Genre surtout indo-malais, avec une espèce éthiopienne. Nous décrivons l'aile d'*Hoplasoma ceylonensis* JACOBY, de Ceylan (Pl. XXXV, fig. 7) :

Aile moyenne ($8,5 \times 2,5$ mm), assez chitinisée. rt lenticulaire. M_1a net, rm disparu. Distales faibles. M_1 bisinué. Cu_1 arqué, continué par cu-an. Fusion des anales au-delà de an₁, qui est étroit et allongé. 3A court, peu visible.

8. — Genre MIMASTRACELLA JACOBY.

Genre des Indes (Nilgiri Hills), synonyme du genre *Eriosarda* JACOBY. Nous décrivons l'aile de *Mimastracella metallica* JACOBY :

Aile petite ($7 \times 2,75$ mm), très bien chitinisée. rt lenticulaire. M_1a et rm pratiquement disparus. Distales et médianes classiques. Cu₁ incurvé avec cu-an droit. Fusion des anales. 3A mince, droit.

9. — Genre AGETOCERA HOPE.

Genre d'Asie tropicale. Nous décrivons l'aile d'*Agetocera mirabilis* HOPE, du Népal (Pl. XXXV, fig. 15) :

Aile grande (20×7 mm), très bien chitinisée. rt lenticulaire. M_1a et rm bien nets. M_1 bisinué. Cu₁ arqué, prolongé par cu-an. 3A court large, presque droit. *Agetocera hopei* BALY, en Indes, a une aile aussi bien chitinisée que la précédente, mais plus petite (16×6 mm). La nervation en est identique, aux plus petits détails près.

10. — Genre PSEUDOCOPHORA JACOBY.

Genre indo-malais. Nous décrivons l'aile de *Pseudocophora erichsoni* BALY, de Sumatra (Pl. XXXV, fig. 11).

Aile moyenne ($9,5 \times 3$ mm), bien chitinisée. rt lenticulaire. rm visible partiellement. M_1 sinué, mince et effilé à la base. Cu_1 arqué, continué par cu-an. Fusion des anales. 3A mince, bisinué.

11. — Genre *HALYSACANTHA LABOISSIÈRE* (= *HALYS WEISE*).

Nous décrivons ici l'aile de l'unique espèce de ce genre, *Halysacantha weisei* JACOBY, sur un spécimen du Congo belge (Pl. XXXIV, fig. 15) :

Aile moyenne (9×3 mm), bien chitinisée. rt lenticulaire. rm arqué, visible partiellement. Distales et médianes classiques. Cu_1 arqué, prolongé par cu-an. Fusion des anales. 3A mince, incurvé.

12. — Genre *ERYTHROBAPTA WEISE*.

Genre éthiopien. Nous décrivons l'aile d'*Erythrobapta vennigseni* WEISE, d'Usambara (Pl. XXXIV, fig. 10) :

Aile moyenne (12×4 mm), assez chitinisée. rt lenticulaire. rm assez net, arqué, traces de M_{1a} . Distales peu nettes. M_1 bisinué. Cu_1 bisinué, avec cu-an droit. Fusion des anales. 3A court, mince, arqué.

13. — Genre *LAETANA BALY*.

Genre éthiopien, comme le précédent. Nous décrivons l'aile de *Laetana histrio* BALY, du Natal (Pl. XXXIV, fig. 17) :

Aile moyenne ($13 \times 4,5$ mm), très bien chitinisée. rt lenticulaire. rm et M_{1a} peu nets. M_1 bisinué. Cu_1 arqué, prolongé par cu-an. Fusion des anales. 3A mince, court, presque droit.

14. — Genre *BELONA WEISE*.

Genre éthiopien. Nous décrivons ici l'aile de *Belona occidentalis* WEISE, du Quango (Pl. XXXIV, fig. 12) :

Aile moyenne (12×4 mm), bien chitinisée. rt lenticulaire. rm arqué; M_{1a} peu net. M_1 bisinué. Cul très fortement arqué, continué par cu-an. Fusion des anales. 3A fortement bisinué.

15. — Genre *IDACANTHA CHAPUIS* (= *PRASMIDIA WEISE*).

Important genre éthiopien. Nous décrivons l'aile d'*Idacantha hastata* LABOISSIÈRE, sur un spécimen du Congo belge :

Aile moyenne ($12 \times 4,5$ mm), bien chitinisée. rt lenticulaire. rm arqué, peu net. Distales et médianes classiques. Cul arqué, continué par cu-an. Fusion des anales. 3A mince, bisinué.

Nous figurons ici (Pl. XXXV, fig. 4) l'aile d'une autre espèce d'*Idacantha* : *I. conifera* FAIRMAIRE, du Katanga : Aile moyenne ($12 \times 4,5$ mm), très bien chitinisée. Nervation calquée sur le précédent, avec des différences superficielles.

16. — Genre *LAETIACANTHA LABOISSIÈRE*.

Genre éthiopien, fort voisin du précédent. Nous décrivons ici l'aile de *Laetiacaantha chevrolati* GUÉRIN, d'Abyssinie (Pl. XXXIV, fig. 2) :

Aile moyenne ($11,5 \times 4$ mm), bien chitinisée. rt subtriangulaire. rm arqué, peu net ainsi que M_{1a} . Distales et médianes classiques. Cu_1 arqué, prolongé par cu-an. 3A court, sinué.

17. — Genre PARACANTHA LABOSSIÈRE.

Genre éthiopien, très voisin des précédents. Nous décrivons ici l'aile de *Paracantha maculosa* WEISE, d'Abyssinie (Pl. XXXV, fig. 12) :

Aile moyenne ($11 \times 3,75$ mm), bien chitinisée. rt subtriangulaire. M1a et rm presque disparus. Distales et médianes classiques Cu1 arqué avec cu-an droit. 3A mince, court, à peine sinué.

18. — Genre NEOLAETANA LABOSSIÈRE.

Genre d'Afrique centrale. Nous décrivons ici l'aile de *Neolaetana neumani* WEISE, du Katanga (Pl. XXXIV, fig. 14) :

Aile moyenne ($11 \times 4,5$ mm), bien chitinisée. rt lenticulaire. rm peu net, arqué. Distales et médianes classiques. Cu1 arqué, prolongé par cu-an. 3A très mince, bisinué.

19. — Genre MAHUTIA LABOSSIÈRE.

Genre d'Afrique tropicale. Nous décrivons ici le rudiment alaire de *Mahutia leopoldi* LABOSSIÈRE, de Tsibinda (Congo belge) (Pl. XXXI, fig. 10) :

Espèce microptère. Rudiment alaire de $0,50 \times 0,25$ mm, en forme de lobe élargi et chitinisé à la base, avec des vestiges indéchiffrables de nervures.

20. — Genre NEOMAHUTIA LABOSSIÈRE.

Genre du Transvaal, avec une unique espèce, *Neomahutia cyanipennis* LABOSSIÈRE, aptère.

21. — Genre LEPTAULACA WEISE.

Genre éthiopien. Nous décrivons ici l'aile de *Leptaulaca fissicollis* THOMSON, du Congo belge (Pl. XXXV, fig. 13) :

Aile moyenne (9×3 mm), bien chitinisée. rt lenticulaire. rm arqué, bien net ainsi que M1a. M1 bisinué. Cu1 arqué avec cu-an droit. 3A mince, bisinué.

22. — Genre COPA WEISE.

Genre éthiopien. Nous décrivons l'aile de *Copa occidentalis* WEISE, du Congo belge (Pl. XXXIV, fig. 3) :

Aile petite ($7,5 \times 2,5$ mm), bien chitinisée. rt lenticulaire. rm arqué, peu net. M1 bisinué, mince surtout à la base. Cu1 arqué, prolongé par cu-an. 3A peu net.

23. — Genre HALLIRHOTIUS JACOBY.

Genre éthiopien. Nous décrivons l'aile d'*Hallirhotius africanus viridipennis* LABOSSIÈRE, d'Afrique orientale (Kwiro) :

Aile petite ($7,5 \times 2,75$ mm), bien chitinisée. rt triangulaire. M1a et rm assez nets. M1 bisinué. Cu1 arqué, avec cu-an droit. 3A presque droit, peu net.

24. — Genre MELLESIA WEISE.

Genre éthiopien (Afrique centrale). Nous décrivons l'aile de *Mellesia elegans* WEISE, d'Usambara :

Aile petite ($7,5 \times 2,75$ mm), bien chitinisée. rt lenticulaire. M1a et rm assez nets. M1 bisinué. Cu1 arqué, prolongé par cu-an. 3A court, droit.

25. — Genre *MELLESIANELLA LABOISSIÈRE*.

Genre d'Afrique centrale. Nous décrivons l'aile de *Mellesianella viridipennis* LABOISSIÈRE, du Congo belge :

Aile petite (8×3 mm), bien chitinisée. rt triangulaire. rm et M_{1a} très nets. M₁ bisinué. Cul arqué, avec cu-an droit. 3A droit, peu net.

26. — Genre *DILINOSA WEISE*.

Genre éthiopien. Nous décrivons ici l'aile de *Dilinosa acutipennis* LABOISSIÈRE, du Congo belge (Elisabethville) :

Aile petite (9×3 mm), bien chitinisée. rt triangulaire. M_{1a} et rm bien nets. M₁ sinué. Cul arqué, avec cu-an droit. 3A peu net.

27. — Genre *DIABROTICA CHEVROLAT*.

Genre américain, presque exclusivement néotropical, avec près de mille espèces décrites. Nous décrivons ici l'aile de deux espèces :

Diabrotica fraterna BALY.

Espèce du Guatemala (Pl. XXXV, fig. 10) :

Aile moyenne ($10 \times 3,75$ mm), bien chitinisée. rt triangulaire, rm peu net et M_{1a} disparu. M₁ mince, surtout à la base, droit. Cul à peine incurvé, avec cu-an bien droit et l'ébauche d'une transverse pour rejoindre M₂. 3A droit, peu net.

Diabrotica bifasciata JACOBY.

Espèce de Panama : Aile plus petite (8×3 mm), bien chitinisée. rt subtriangulaire. rm et M_{1a} pratiquement disparus. M₁ mince, bisinué. Cul droit, net, avec, à l'apex, cu-an, peu net, rejoignant 1A en diagonale. Cul + cu-an + 1A a ici l'aspect très caractéristique d'un N. 3A arqué, peu net.

28. — Genre *ENSIFORMA* JACOBY.

Nous décrivons l'aile de l'unique espèce connue du genre, *Ensiforma coerulea* JACOBY, du Brésil :

Aile moyenne ($12,5 \times 4,5$ mm), très bien chitinisée. rt petit, lenticulaire. rm net partiellement, M_{1a} disparu. M₁ fortement bisinué. Cul sinué, avec cu-an droit et peu net. 3A sinué, mince.

29. — Genre *BYBLITEA* BALY.

Genre de Colombie. Nous décrivons l'aile de *Byblitea deyrollei* BALY, de Bogota (Pl. XXXIV, fig. 1) :

Aile moyenne (12×4 mm), bien chitinisée. rt lenticulaire, allongé. M_{1a} disparu, rm net partiellement. M₁ droit. Cul fortement arqué, avec cu-an droit. anl étroit, incurvé. 3A peu net, court, presque droit.

30. — Genre *TRIARIUS* JACOBY.

Genre américain. Nous décrivons l'aile de *Triarius lividus* LECONTE, du Mexique :

Aile petite (6×2 mm), bien chitinisée. rt subtriangulaire. M_{1a} et rm assez nets. M₁ bisinué. Cul sinué avec cu-an droit. 3A sinué, droit.

31. — MONOCESTA CLARK.

Genre néotropical. Nous décrivons l'aile de *Monocesta atricornis* CLARK, sur un spécimen de Cayenne (Pl. XXXIV, fig. 13) :

Aile moyenne ($9 \times 3,5$ mm), bien chitinisée. rt subtriangulaire. rm très net, bisinué, mais sans M1a. M1 presque droit, légèrement recourbé à la base. Cu1 incurvé, continué par cu-an. 3A bisinué, mince, peu visible.

Monocesta ducalis CLARK, du Guatémala, a une aile plus grande que la précédente ($17 \times 6,5$ mm), et plus chitinisée. rt triangulaire. rm presque droit, net, avec M1a peu visible. M1 peu sinué. Cu1 légèrement incurvé, avec cu-an peu net, droit. 3A élargi à la base, net, sinué.

32. — Genre COELOMERA CHEVROLAT.

Genre néotropical. Nous décrivons l'aile de *Coealomera cayennensis* FABRICIUS, sur un spécimen de Guyane française (Pl. XXXV, fig. 2) :

Aile moyenne (15×5 mm), très chitinisée. rt triangulaire. rm net, arqué, sans M1a. M1 à peine sinué. Cu1 presque droit, avec cu-an sinué. 3A très chitinisé.

33. — Genre DIRCEMA CLARK.

Genre néotropical. Nous décrivons l'aile de *Dircema nigripenne* FABRICIUS, de Guyane française :

Aile moyenne ($13 \times 4,5$ mm), très chitinisée. rt triangulaire. rm net, coudé, sans traces de M1a. M1 droit, aminci à la base. Cu1 légèrement incurvé, avec cu-an droit et une transverse (m-cu) rejoignant M2. 3A arqué, très chitinisé.

34. — Genre CORAIA CLARK.

Genre d'Amérique centrale. Nous décrivons l'aile de *Coraia maculicollis* CLARK, du Honduras :

Aile moyenne (12×4 mm), bien chitinisée. rt triangulaire. rm net, bisinué, sans traces de M1a. M1 droit. Cu1 à peine incurvé, avec cu-an droit. 3A mince, bisinué.

35. — Genre NESTINUS CLARK.

Genre néotropical. Nous décrivons l'aile de *Nestinus auriquadrum* JACOBY, du Mexique :

Aile moyenne (11×4 mm), bien chitinisée. rt subtriangulaire. rm visible partiellement, sans traces de M1a. M1 à peine sinué. Cu1 presque droit, avec cu-an droit et une ébauche de transverse (m-cu) n'atteignant pas M2. 3A large à la base, net, sinué.

36. — Genre PROCALUS CLARK.

Genre néotropical. Nous décrivons l'aile de *Procalus viridis* PHILIPPI, du Chili :

Aile moyenne ($13 \times 4,25$), bien chitinisée. rt subtriangulaire. rm net, coudé, sans traces de M1a. Cu1 incurvé. 3A court, mince, sinué.

37. — GALERUCELLA CROTCH.

Genre de distribution mondiale. Nous décrivons ici l'aile de *Galerucella (Xenthogaleruca) aenescens* FAIRMAIRE, de Chine :

Aile petite ($8,5 \times 3$ mm), bien chitinisée. rt triangulaire. rm net, à peine sinué, sans M1a. M1 sinué. Cu1 légèrement incurvé, avec cu-an droit. 3A net, presque droit.

Galerucella (Hydrogaleruca) nymphaeae LINNÉ, de France, a une aile petite ($6,5 \times 2,5$ mm), bien chitinisée. rt triangulaire. rm net, coudé, sans M1a. M1 à peine sinué. Cul légèrement incurvé, avec cu-an droit. 3A mince, court, presque droit.

38. — Genre *MEGALERUCA* LABOISSIÈRE.

Genre éthiopien. Nous décrivons l'aile de *Megaleruca triloba* FABRICIUS, d'Afrique centrale :

Aile moyenne (12×4 mm), bien chitinisée. rt triangulaire. rm coudé, peu net, sans traces de M1a. M1 droit, aminci à la base. Cul à peine incurvé, avec cu-an droit. 1A fortement bisinué. 3A peu net.

39. — Genre *EUGALERUCA* LABOISSIÈRE.

Genre éthiopien. Nous décrivons ici l'aile d'*Eugaleruca humbloti* DUVIVIER, de Madagascar :

Aile petite ($8,5 \times 3$ mm), bien chitinisée. rt subtriangulaire. rm coudé, peu net, sans traces de M1a. M1 légèrement bisinué. Cul arqué avec cu-an presque droit. 1A bisinué. 3A peu net, presque droit.

40. — Genre *PROTOGALERUCA* LABOISSIÈRE.

Genre malgache. Nous décrivons l'aile de *Protogaleruca costulata* FAIRMAIRE :

Aile moyenne ($10 \times 3,5$ mm), bien chitinisée. rt subtriangulaire. rm peu net, M1a disparu. Distales et médianes classiques. M1 sinué, aminci à la base. Cul arqué, avec cu-an droit. Fusion des anales au-delà de an1. 3A court, incurvé, peu net.

41. — Genre *ALAFIA* MAULIK.

Genre indou. Nous décrivons l'aile d'*Alafia albopilosa* JACOBY, de Birmanie :

Aile petite ($8,5 \times 3$ mm), bien chitinisée. rt subtriangulaire. rm bien net, mais sans traces de M1a. Distales et médianes classiques avec M1 sinué. Cul arqué avec cu-an droit. 3A droit, peu net.

41. — Genre *PYRRHALTA* JOANNIS.

Genre paléarctique. Nous décrivons l'aile de *Pyrrhalta viburni* PAYKÜLL, d'Europe :

Aile petite ($7 \times 2,5$ mm), bien chitinisée. rt subtriangulaire. rm arqué, peu net. Distales et médianes classiques. Cul arqué légèrement avec cu-an droit. 1A droit distalement. 3A court, peu net, arqué.

43. — Genre *ARIMETUS* JACOBY.

Genre éthiopien. Nous décrivons l'aile d'*Arimetus tuberosus* LABOISSIÈRE, de Zanzibar :

Aile petite ($8 \times 2,5$ mm), bien chitinisée. rt triangulaire, rm arqué, peu net. M1 légèrement bisinué. Cul à peine arqué avec cu-an droit. 1A presque droit distalement. 3A mince, incurvé.

44. — Genre *DIRCEMELLA* WEISE.

Genre éthiopien. Nous décrivons l'aile de *Dircemella batesi* JACOBY, d'Afrique tropicale :

Aile petite ($8,5 \times 3,5$ mm), très chitinisée. rt triangulaire. rm peu net. M1 sinué. Cul incurvé, ainsi que cu-an. 1A sinué distalement. 3A net, presque droit.

45. — Genre *HEMIPHRACTA* WEISE.

Genre éthiopien. Nous décrivons l'aile de *Hemiphracta lurida* ALLARD, d'Afrique orientale :

Aile moyenne ($11 \times 3,75$ mm), bien chitinisée. rt trapézoïdal. rm bisinué. M1 presque droit, aminci à la base. Cu1 légèrement incurvé, avec cu-an droit. 1A légèrement incurvé distalement. 3A long, mince, fortement incurvé, très chitinisé.

46. — Genre *NIRINA* WEISE.

Genre éthiopien. Nous décrivons l'aile de *Nirina imitans* JACOBY, du Kwilu :

Aile grande ($17 \times 6,75$ mm), très chitinisée. rt triangulaire. rm net, légèrement incurvé, sans traces de M1a. M1 légèrement sinueux, aminci à la base. Cu1 incurvé, avec cu-an droit, réuni à M2 par une transverse (m-cu), peu nette. 1A légèrement incurvé. 3A net, long, fortement bisinué.

47. — Genre *ORTHOXIOIDES* LABOISSIÈRE.

Genre éthiopien. Nous décrivons l'aile de *Orthoxioides ephippiata* DALMAN, du Congo belge :

Aile moyenne ($13 \times 4,75$ mm), bien chitinisée. rt triangulaire. rm incurvé. M1 sinué. Cul arqué, avec cu-an droit. Sur certains spécimens, Cul est relié à M2 par une faible transverse. 1A droit distalement. 3A faiblement incurvé, long et large.

48. — Genre *NIRINOIDES* JACOBY.

Genre éthiopien. Nous décrivons l'aile de *Nirinoides staudingeri* JACOBY, sur un spécimen de Bambesa (Congo belge) :

Aile moyenne ($13 \times 4,5$ mm), très chitinisée. rt triangulaire. rm arqué, peu net. M1 faiblement sinué. Cul incurvé avec cu-an droit. 1A légèrement sinué distalement. 3A net, sinué.

49. — Genre *PORPHYTOMA* JACOBY.

Genre éthiopien monospécifique. Nous décrivons l'aile de *Porphytoma dives* KARSCH, sur un spécimen du Transvaal :

Aile petite ($10,5 \times 3,5$ mm), bien chitinisée. rt triangulaire. rm net partiellement, bisinué. M1 sinué. Cul légèrement sinué avec cu-an droit. 1A légèrement incurvé distalement. 3A sinué, épais.

50. — Genre *SCHEMATICELLA* JACOBY.

Genre éthiopien. Nous décrivons l'aile de *Schematicella erythrocephala* LABOISSIÈRE, du Congo belge :

Aile petite ($6 \times 2,5$ mm), bien chitinisée. rt triangulaire. rm pratiquement disparu. M1 mince, droit. Cul arqué, avec cu-an droit. 1A droit distalement. 3A mince, arqué.

51. — Genre *STICTOCEMA* JACOBY.

Genre éthiopien. Nous décrivons l'aile de *Stictocema annulicornis* LABOISSIÈRE, du Congo belge :

Aile petite ($7 \times 2,75$ mm), bien chitinisée. rt triangulaire. rm bisinué, peu net. M1 en accent circonflexe. Cul arqué avec cu-an droit. 1A droit distalement. 3A légèrement sinué.

52. — Genre EUPACHYTOMA LABOSSIÈRE (= PACHYTOMA CLARK).

Genre éthiopien. Nous décrivons ici l'aile d'*Eupachytoma gigantea* ILLIGER, d'Afrique centrale :

Aile grande ($15 \times 5,5$ mm), très fortement chitinisée. rt triangulaire. rm bisinué. M₁ faiblement incurvé. Cu₁ presque droit, relié faiblement à M₂, avec cu-an droit. 1A un peu incurvé distalement. 3A fortement bisinué, très chitinisé.

53. — Genre PACHYTOMELLA LABOSSIÈRE.

Genre éthiopien. Nous décrivons l'aile de *Pachytomella ruficeps* WEISE, du Kivu :

Aile moyenne ($12,5 \times 4,5$ mm), bien chitinisée. rt subtriangulaire. rm sinué, peu net. M₁ légèrement sinué. Cu₁ sinué avec cu-an droit. 1A légèrement, 3A fortement, incurvé.

54. — Genre CEROCHROA GERSTAECHER.

Genre éthiopien. Nous décrivons l'aile de *Cerochroa maculicollis* BALY, du Cameroun :

Aile grande ($18 \times 6,5$ mm), très chitinisée. rt triangulaire. rm incurvé, peu net. M₁ sinué. Cu₁ incurvé, relié faiblement à M₂, avec cu-an droit. 1A dilaté dans sa partie basale, presque droit distalement. 3A bisinué, long.

55. — Genre CLITENA BALY.

Genre éthiopien et indien. Nous décrivons l'aile de *Clitena limbata* BALY, du Siam :

Aile moyenne (11×4 mm), bien chitinisée. rt lenticulaire. rm bisinué, peu net. M₁ à peine sinué. Cu₁ incurvé, avec cu-an droit et des traces de liaison avec M₂. 1A à peine incurvé distalement. 3A à peine sinué.

56. — Genre CLITENELLA LABOSSIÈRE.

Genre asiatique. Nous décrivons l'aile de *Clitenella fulminans* FALDERMANN, sur un spécimen de Chine boréale :

Aile moyenne (9×3 mm), bien chitinisée. rt triangulaire. rm bisinué. M₁ sinué à la base. Cu₁ et cu-an légèrement arqués. 1A incurvé à l'apex. 3A bisinué.

57. — Genre CLITENOSOSIA LABOSSIÈRE.

Genre éthiopien. Nous décrivons l'aile de *Clitenososia flava* LABOSSIÈRE, du Natal :

Aile moyenne ($11,5 \times 4$ mm), bien chitinisée. rt subtriangulaire. rm bisinué, peu net. M₁ droit. Cu₁ un peu incurvé, faiblement relié à M₂, avec cu-an droit. 1A droit distalement. 3A bisinué.

58. — Genre DECOOMANIUS LABOSSIÈRE.

Nous décrivons l'aile de l'unique espèce : *Decoomanius limbatus* LABOSSIÈRE, du Tonkin (Pl. XXXIII, fig. 3) :

Aile petite ($6,5 \times 2,5$ mm), bien chitinisée. rt triangulaire. rm sinué, peu net. M₁ sinué, aminci à la base. Cu₁ arqué, avec cu-an droit. 1A arqué distalement. 3A légèrement incurvé, assez net.

59. — Genre PERICLITENA WEISE.

Genre indo-malais. Nous décrivons l'aile de *Periclitena vigorsi* HOPE ab. *igneipennis* BALY, sur un spécimen du Tonkin (Pl. XXXI, fig. 20) :

Aile moyenne (13×5 mm), bien chitinisée. rt triangulaire. rm bisinué, peu net. M₁ légèrement sinué. Cu₁ légèrement incurvé, avec cu-an droit. 1A incurvé distalement. 3A net, bisinué.

60. — Genre HYMENESIA CLARK.

Genre indien. Nous décrivons l'aile d'*Hymenesia tranquebarica* FABRICIUS, de Tranquebar (Indes anglaises) (Pl. XXX, fig. 3) :

Aile moyenne (11×4 mm), bien chitinisée. rt triangulaire. rm arqué, peu net. M1 légèrement sinué, aminci à la base. Cu1 incurvé avec cu-an droit, large. 1A droit distalement. 3A incurvé, peu net.

61. — Genre ORTHOXIA CLARK.

Genre des îles de la Sonde. Nous décrivons l'aile d'*Orthoxia boisduvali* CLARK, sur un spécimen de Java (Pl. XXX, fig. 2) :

Aile moyenne ($11 \times 4,5$ mm), bien chitinisée. rt subtriangulaire. rm bisinué, peu net. M1 sinué. Cu1 incurvé, avec cu-an droit. 1A légèrement incurvé distalement. 3A légèrement bisinué.

62. — Genre DORYXENA BALY.

Genre indien. Nous décrivons ici l'aile de *Doryxena grossa* HOPE, du Népal (Pl. XXXI, fig. 2) :

Aile grande (20×7 mm), bien chitinisée. rt en triangle arrondi à la base. rm net, presque droit. M1 très légèrement bisinué. Cu1 à peine incurvé avec cu-an droit. 1A presque droit distalement. 3A très net, bisinué.

63. — Genre SALAMINIA HELLER.

Genre de l'Insulinde. Nous décrivons ici l'aile de *Salaminia concinna* BALY, de Célèbes (Pl. XXVIII, fig. 10) :

Aile moyenne ($13 \times 4,5$ mm), bien chitinisée. rt triangulaire. rm bisinué, peu net. M1 sinué et aminci à la base. Cu1 incurvé avec cu-an droit. 1A légèrement incurvé distalement. 3A sinué.

64. — Genre PSEUDADIMONIA DUVIVIER.

Genre indien. Nous décrivons l'aile de *Pseudadimonia variolosa* HOPE, des Indes (Pl. XXX, fig. 16) :

Aile petite ($8 \times 2,75$ mm), bien chitinisée. rt triangulaire. rm bisinué. M1 légèrement sinué. Cu1 faiblement incurvé avec cu-an presque droit. 1A faiblement incurvé distalement. 3A mince, bisinué, net.

65. — Genre SASTRA BALY.

Genre indo-australien. Nous décrivons ici l'aile de *Sastralimbata* BALY, de Nouvelle-M1 sinué. Cu1 et cu-an légèrement incurvés. 1A incurvé distalement. 3A légèrement sinué. Guinée (Pl. XXVIII, fig. 5) :

Aile petite ($9,5 \times 3,25$ mm), bien chitinisée. rt subtriangulaire. rm légèrement sinué,

66. — Genre SASTRACELLA JACOBY.

Genre connu de Sumatra. Nous décrivons l'aile de *Sastracella fulvipennis* JACOBY :

Aile petite ($8,5 \times 3$ mm), moyennement chitinisée, à coloration rouge sur le vivant, coloration dont il reste des traces sur les spécimens examinés ici. rt triangulaire. rm bisinué. M1 sinué à la base qui est amincie. Cu1 fortement sinué, avec cu-an droit. 1A légèrement incurvé distalement. 3A peu net.

67. — Genre *SASTROIDES* JACOBY.

Genre indo-malais. Nous décrivons l'aile de *Sastroides indica* JACOBY, sur un spécimen du Tonkin (Pl. XXIX, fig. 2) :

Aile petite ($9 \times 3,5$ mm), bien chitinisée. rt triangulaire. rm légèrement coudé, peu net. M1 sinué à la base. Cu1 arqué, avec cu-an bien droit. 1A à peine sinué distalement. 3A arqué, peu net.

68. — Genre *GALEROSASTRA* LABOISSIÈRE.

Genre de Sumatra. Nous décrivons l'aile de *Galerosastrum sumatrana* JACOBY :

Aile moyenne ($9,5 \times 3,5$ mm), bien chitinisée. rt triangulaire. rm sinué. M1 bisinué très légèrement, aminci à la base. Cu1 arqué, avec cu-an droit. 1A légèrement incurvé distalement. 3A peu net.

69. — Genre *ATYSA* BALY.

Genre indo-malais. Nous décrivons l'aile d'*Atysa terminalis* BALY, de Misol (Pl. XXIX, fig. 3) :

Aile petite (9×3 mm), bien chitinisée. rt trapézoïdal. rm net, légèrement sinué. M1 à peine sinué. Cu1 incurvé avec cu-an droit et une liaison peu nette avec M2. 1A légèrement incurvé distalement. 3A faiblement sinué.

70. — Genre *NICEA* BALY.

Genre néoguinéen. Nous décrivons l'aile de *Nicea dimidiatipennis* BALY (Pl. XXIX, fig. 11) :

Aile petite ($8,5 \times 2,75$ mm), bien chitinisée. rt triangulaire. rm bisinué, peu net. M1 légèrement bisinué. Cu1 arqué avec cu-an droit et une liaison avec M2. 3A presque droit, mince.

71. — Genre *PONERIDIA* WEISE.

Genre indo-australien. Nous décrivons l'aile de *Poneridia australis* BOHEMAN, de Java (Pl. XXVIII, fig. 7) :

Aile moyenne ($10,5 \times 3,75$ mm), bien chitinisée. rt triangulaire. rm légèrement incurvé. M1 légèrement bisinué. Cu1 arqué, peu net, avec cu-an pratiquement disparu. 1A presque droit distalement. 3A à peine sinué.

72. — Genre *MOMAEA* BALY.

Genre connu de Nouvelle-Guinée, Célèbes, Misol et Queensland. Nous décrivons l'aile de *Momaea viridipennis* BALY, de Misol (Pl. XXIX, fig. 15) :

Aile moyenne ($12 \times 4,5$ mm), très chitinisée. rt triangulaire. rm peu net, très légèrement sinué. M1 légèrement bisinué. Cu1 arqué avec cu-an droit. 3A légèrement incurvé. Il est probable que cette espèce appartienne plutôt au genre voisin *Rhomaea* WEISE de Nouvelle-Guinée. La nervation de ce dernier genre est identique à celle du genre *Momaea*.

73. — Genre *GRONOVIUS* JACOBY.

Genre néoguinéen. Nous décrivons ici l'aile de *Gronovius imperialis* JACOBY :

Aile grande (16×6 mm), très chitinisée. rt subtriangulaire. rm assez net, en Z. M1 légèrement bisinué. Cu1 légèrement arqué, avec cu-an sinué. 3A presque droit, élargi à la base.

74. — Genre *ELLOPIA* CHAPUIS.

Genre australo-tasmanien. Aptère (*Ellozia pedestris* ERICHSON, *Ellozia sloanei* BLACKBURN), à élytres bien développés.

75. — Genre *CYDIPPA* CHAPUIS.

L'unique espèce, *Cydippa balyi* CHAPUIS, d'Australie, est aptère.

76. — Genre *RUPILIA* CLARK.

Genre australien. Aptère également, avec les élytres normalement développés.

77. — Genre *ARIMA* CHAPUIS.

Genre monospécifique de la France méridionale et de l'Italie. *Arima marginata* FABRICIUS, type et races, est aptère et brachélytre.

78. — Genre *GALERUCA* GEOFFROY.

Genre holarctique, divisé en cinq sous-genres que nous examinerons successivement :

Galeruca (*Galerima*) *monticola* KIESENWETTER.

Le sous-genre *Galerina* REITTER est, en partie, pyrénéen : *G. monticola* est aptère, comme *G. canigouensis* FAUVEL. Les *Galerima* de la faune asiatique sont également aptères.

Galeruca (s. str.) *abbreviata* JOANNIS.

Espèce du Piémont, macroptère (Pl. XXXIII, fig. 13) :

Aile petite ($9 \times 3,5$ mm), bien chitinisée. rt subtriangulaire. rm coudé. M1 en accent circonflexe. Cu1 et cu-an légèrement incurvés. 3A fortement bisinué.

En principe, tous les *Galeruca* s. str. sont macroptères, y compris *Galeruca tanaceti* L. Cependant JACOBSON a signalé que, dans les régions nordiques, les ailes avaient tendance à s'atrophier et le métasternum était moins développé, chez certains individus de *G. tanaceti*.

Galeruca (*Galerotoma*) *haagi* JOANNIS.

Espèce d'Andalousie, Portugal et Maroc. Nous décrivons l'aile d'un spécimen de Tanger (Pl. XXXI, fig. 16) :

Aile petite (9×3 mm), bien chitinisée. rt trapézoïdal. rm bisinué. M1 sinué et aminci à la base. Cu1 légèrement incurvé avec cu-an droit. 3A incurvé.

Galeruca (*Emarhopa*) *rufa* GERMAR.

Nous décrivons un spécimen de Lyon (France). Un autre spécimen examiné, de Corfou, a identiquement la même nervation (Pl. XXXI, fig. 21) :

Aile petite ($5 \times 1,75$ mm), bien chitinisée. rt subtriangulaire. rm et base de M1 peu nets, presque disparus. Cu1 arqué avec cu-an droit. 1A à peine incurvé distalement.

Galeruca (*Haptoscelis*) *melanocephala* PANZA.

Espèce d'Europe moyenne et méridionale et du Caucase. Aptère ou parfois microptère. Légèrement brachélytre, mais avec le métasternum normal.

79. — Genre DIORHABDA WEISE.

Genre de l'ancien monde, surtout paléarctique. Nous décrivons l'aile de *Diorhabda elongata* BRULLÉ, sur un spécimen de Chypre (Pl. XXXII, fig. 27) :

Aile petite (7×2 mm), bien chitinisée. rt triangulaire. rm coudé. Base de M1 disparue. Cul légèrement arqué avec cu-an droit. 3A fortement bisinué.

80. — Genre LOCHMAEA WEISE.

Genre holarctique. Nous décrivons l'aile de *Lochmaea capreae* L., sur un spécimen de France (Pl. XXXII, fig. 15) :

Aile petite (6×2 mm), bien chitinisée. rt lenticulaire. rm droit, court, peu net. M1 presque droit. Cul un peu incurvé avec cu-an droit. 3A à peine sinué.

81. — Genre NEOLOCHMAEA LABOISSIÈRE.

Genre néotropical. Nous décrivons l'aile de *Neolochmaea tropica* JACOBY (Pl. XXXIII, fig. 7) :

Aile petite ($7 \times 2,5$ mm), bien chitinisée. rt triangulaire. rm coudé, peu net. M1 un peu en accent circonflexe. Cul incurvé, avec cu-an droit et une faible liaison avec M2. 3A presque droit.

82. — Genre TRIRHABDA LECONTE.

Genre nord- et centre-américain. Nous décrivons l'aile de *Trirhabda canadensis* KIRBY, sur un spécimen de l'Illinois (Pl. XXVIII, fig. 9) :

Aile petite ($8,5 \times 3$ mm), bien chitinisée. rt subtriangulaire. rm bisinué. M1 sinué à la base. Cul sinué avec cu-an légèrement arqué et un début de liaison avec M2. 3A presque droit.

83. — Genre METALEPTA BALY.

Petit genre péruvien (2 espèces). Aptère.

84. — Genre LEPTOXENA BALY.

Genre monospécifique des îles Andaman. Nous décrivons l'aile de *Leptoxena eximia* BALY (Pl. XXXI, fig. 1) :

Aile moyenne (12×4 mm), très chitinisée. rt ovalaire. rm arqué. M1 légèrement bisinué. Cul arqué avec cu-an droit. 3A fortement bisinué.

85. — Genre CLEROTILIA JACOBY.

Genre monospécifique du Japon. Nous décrivons l'aile de *Clerotilia flavomarginata* JACOBY :

Aile petite ($5 \times 1,5$ mm), bien chitinisée. rt lenticulaire. rm arqué, presque disparu. M1 bisinué. Cul sinué avec cu-an court, droit. 3A droit.

86. — Genre BUPHONIDA BALY.

Genre surtout éthiopien et indo-malais. Nous décrivons l'aile de *Buphonida punctata* DUVIVIER, des îles de l'Océanie (Pl. XXXIV, fig. 4) :

Aile petite ($7 \times 2,5$ mm), bien chitinisée. rt triangulaire. rm peu net, bisinué. M1 bisinué. Cul arqué avec cu-an droit, peu net. 3A droit, peu net.

87. — Genre *MENIPPUS* CLARK.

Genre indo-malais. Nous décrivons l'aile de *Menippus canellinus* FAIRMAIRE, du Tonkin (Pl. XXIX, fig. 8) :

Aile moyenne (11×4 mm), bien chitinisée. rt trapézoïdal. rm bisinué, net. M1 bisinué. Cul arqué, avec cu-an large, droit et une liaison peu nette avec M2. 3A faiblement sinué.

88. — Genre *MERISTA* CHAPUIS.

Genre indien principalement. Nous décrivons ici l'aile de *Merista dohrni* BALY, des Indes (Pl. XXIX, fig. 1) :

Aile grande (17×6 mm), très chitinisée. rt ovalaire. rm coudé, avec un début de M1a. M1 mince, bisinué. Cul arqué, avec cu-an droit mais presque disparu. 1A légèrement arqué distalement. 3A fortement bisinué.

89. — Genre *YULENIA* JACOBY.

Genre néoguinéen. Nous décrivons l'aile de *Yulenia flavofasciata* JACOBY, de Batchian (Pl. XXXIII, fig. 9) :

Aile petite ($7 \times 2,5$ mm), bien chitinisée. rt subtriangulaire. rm peu net. M1 bisinué, mince. Cul légèrement sinué, avec cu-an droit. 3A droit, peu net.

90. — Genre *MOMBASICA* FAIRMAIRE.

Genre éthiopien. Nous décrivons l'aile de *Mombasica subinermis* FAIRMAIRE (Pl. XXXII, fig. 20) :

Aile moyenne ($10 \times 3,75$ mm), bien chitinisée. rt triangulaire. rm arqué, net partiellement. M1 en accent circonflexe. Cul incurvé, sans traces de cu-an. 3A fortement sinué.

91. — Genre *BUPHONELLA* JACOBY.

Genre éthiopien. Nous décrivons l'aile de *Buphonella murina* GERSTAECKER, d'Afrique orientale (Pl. XXX, fig. 10) :

Aile petite ($5 \times 1,75$ mm), moyennement chitinisée. rt trapézoïdal. rm presque disparu, bisinué. M1 en accent circonflexe. M2 très curieusement arqué avant sa partie distale. Cul légèrement incurvé avec cu-an droit. 3A un peu incurvé.

92. — Genre *THERPIS* WEISE.

Genre monospécifique d'Afrique orientale. Nous décrivons l'aile de *Therpis smaragdina* WEISE :

Aile moyenne ($8,75 \times 3$ mm), bien chitinisée. rt triangulaire. rm bisinué, peu net. M1 légèrement sinué. Cul arqué avec cu-an droit. 3A bisinué, peu net.

93. — Genre *MONOCESTOIDES* DUVIVIER.

Genre malgache. Nous décrivons l'aile de *Monocestoides perroti* DUVIVIER, de Diego-Suarez :

Aile moyenne (12×4 mm), bien chitinisée, rembrunie à l'apex. rt ovalaire. rm bisinué, peu net. M1 à peine sinué. Cul fortement arqué, avec cu-an droit. 3A sinué.

94. — Genre **MALACOTHERIA FAIRMAIRE**.

Genre des îles Fidji. Nous décrivons l'aile de *Malacotheria strigiscutata* FAIRMAIRE :

Aile petite ($6,5 \times 2$ mm), bien chitinisée. rt subtriangulaire. rm peu net, bisinué. M1 sinué à la base, qui est amincie. Cul et cu-an légèrement arqués. 3A droit, peu net.

95. — Genre **HYPERACANTHA CHAPUIS (=DIACANTHA HAROLD)**.

Genre important de la région éthiopienne. Nous décrivons l'aile de deux espèces :

Hyperacantha bifurcata LABOISSIÈRE.

Espèce du Congo belge (Pl. XXIX, fig. 14) :

Aile moyenne (11×4 mm), bien chitinisée. rt subtriangulaire. rm bisinué, net. M1 arqué à la base. Cul fortement arqué avec cu-an en prolongement. 1A très incurvé distalement. 3A sinué.

Hyperacantha aeneoguttata FAIRMAIRE.

Espèce malgache : Aile plus petite (9×3 mm), bien chitinisée. rt triangulaire. rm bisinué, peu net. M1 bisinué. Le reste de la nervation semblable.

96. — Genre **SONCHIA WEISE**.

Genre sud-africain. Nous décrivons ici l'aile de *Sonchia sternalis* FAIRMAIRE, du Natal (Pl. XXXII, fig. 2) :

Aile moyenne ($10 \times 3,5$ mm), bien chitinisée. rt en triangle à base arrondie. rm coudé. M1 bisinué. Cul sinué avec cu-an en prolongement. 3A sinué.

97. — Genre **JACOBYA WEISE**.

Genre malgache. Nous décrivons l'aile de *Jacoby a elegantula* DUVIVIER, d'Antsianaka (Pl. XXXII, fig. 3) :

Aile moyenne (9×3 mm), bien chitinisée, rembrunie à l'apex. rt lenticulaire, allongé. rm coudé. M1 fortement bisinué. Cul arqué avec cu-an en prolongement. 3A incurvé.

98. — Genre **JACOBYANELLA LABOISSIÈRE**.

Genre voisin du précédent, malgache également. Nous décrivons l'aile de *Jacobyanella hexaspilota* FAIRMAIRE (Pl. XXX, fig. 9) :

Aile moyenne ($10 \times 3,5$ mm), bien chitinisée, rembrunie à l'apex. rt lenticulaire. rm coudé avec M1a net. M1 fortement bisinué. Cul sinué avec cu-an droit. 3A sinué.

99. — Genre **ANTSIANAKA DUVIVIER**.

Genre malgache. Nous décrivons l'aile d'*Antsianaka pulchella* DUVIVIER (Pl. XXXII, fig. 23) :

Aile assez petite (8×3 mm), bien chitinisée. rt triangulaire. rm bisinué. M1 bisinué. Cul sinué, avec cu-an large, droit. 1A droit dans sa partie apicale. 3A sinué.

Le genre malgache *Terpnochlorus* FAIRMAIRE appartient aux *Halticinae* et sera étudié plus loin (LABOISSIÈRE, 1932).

100. — Genre ANTSIANACIDA LABOISSIÈRE.

Genre malgache. Nous décrivons l'aile d'*Antsianacida latesuturata* FAIRMAIRE, de Suberbieville :

Aile petite ($7,5 \times 2,25$ mm), bien chitinisée. rt triangulaire. rm fortement coudé. M1 à peine bisinué. Distales bien nettes. Cu1 arqué, avec cu-an droit. 1A incurvé apicalement. 3A bisinué.

101. — Genre ALPHIDIA CLARK.

Genre malgache. Nous décrivons l'aile d'*Alphidia comitata* KLUG (Pl. XXIX, fig. 10) :

Aile moyenne (14×5 mm), bien chitinisée. rt triangulaire. rm arqué. M1 légèrement bisinué. Cul fortement arqué, cu-an droit. 3A bisinué légèrement. Nous avons examiné trois individus de cette espèce. La nervation est absolument constante et identique.

102. — Genre GLAUCORHABDA WEISE.

Genre malgache. Nous décrivons l'aile de *Glaucohabda cyaneovittata* FAIRMAIRE, de Nossibé (Pl. XXXII, fig. 18) :

Aile petite ($7 \times 2,5$ mm), bien chitinisée. rt lenticulaire. rm coudé, peu net. M1 en accent circonflexe. Cul sinué légèrement, avec cu-an presque incurvé. 3A sinué.

103. — Genre GOUDOTINA WEISE.

Genre malgache. Nous décrivons l'aile de *Goudotina aeneipennis* LABOISSIÈRE :

Aile petite ($5 \times 1,5$ mm), assez chitinisée. rt lenticulaire. rm peu net. M1 légèrement en accent circonflexe. Cul sinué avec cu-an droit. 3A presque droit.

104. — Genre LUSINGANIA LABOISSIÈRE.

Genre éthiopien. Nous décrivons l'aile de *Lusingania granulipennis* LABOISSIÈRE, de Lomani (Congo belge) :

Aile petite (6×2 mm), bien chitinisée. rt ovalaire. rm coudé, net partiellement. M1 en accent circonflexe. Cul sinué avec cu-an droit. 3A légèrement sinué.

105. — Genre PHYLLOBROTICELLA JACOBY.

Genre éthiopien. Nous décrivons l'aile de *Phyllobroticella flava* JACOBY, du Cameroun (Pl. XXXII, fig. 21) :

Aile petite ($7 \times 2,5$ mm), faiblement chitinisée. rt lenticulaire, sinueux. rm pratiquement disparu. M1 bisinué. Distales peu nettes. M2 incurvé avant sa branche distale. Cul légèrement sinué avec cu-an en prolongement. 1A incurvé à l'apex. 3A peu net.

106. — Genre VITRUVIA JACOBY.

Genre éthiopien. Nous décrivons l'aile de *Vitruvia unicolor* JACOBY, sur un spécimen de Libreville (Gabon) :

Aile moyenne (9×3 mm), bien chitinisée. rt lenticulaire. rm coudé, avec M1a net. M1 bisinué. Cul arqué avec cu-an droit. 1A bisinué distalement. Cul mince, incurvé, 3A mince, sinué.

107. — Genre MORPHOSPHAEROIDES JACOBY.

Genre éthiopien. Nous décrivons l'aile de *Morphosphaeroides africana* JACOBY, du Congo belge (Pl. XXVIII, fig. 4) :

Aile moyenne (13×5 mm), très fortement chitinisée. rt lenticulaire. rm fortement bisinué avec M_{1a} très net. M₁ fortement incurvé. M₂ assez sinueux. Cul incurvé, avec cu-an droit. 3A net, bisinué.

108. — Genre ORNITHOGNATHUS THOMSON.

Genre éthiopien. Nous décrivons l'aile d'*Ornithognathus generosus* THOMSON, du Cameroun (Pl. XXVIII, fig. 6) :

Aile grande (15×6 mm), moyennement chitinisée. rt triangulaire. rm coudé, peu net; M_{1a} peu net également. M₁ bisinué. M₂ bisinué, avant la branche distale. Cul arqué, avec cu-an droit. 3A large, bisinué, peu net.

109. — Genre BONESIA BALY.

Genre éthiopien. Nous décrivons ici l'aile de *Bonesia adusta* HAROLD, de l'Angola (Pl. XXVIII, fig. 8) :

Aile assez grande ($14 \times 5,5$ mm), bien chitinisée. rt triangulaire. rm presque invisible avec un vestige de M_{1a}. M₁ incurvé. M₂ assez sinueux. Cul incurvé, avec cu-an droit. 3A mince, bisinué.

110. — Genre BONESIOIDES LABOISSIÈRE.

Genre éthiopien. Nous décrivons l'aile de *Bonesioides coerulea* ALLARD, sur un spécimen du Congo belge :

Aile moyenne ($10 \times 3,5$ mm), bien chitinisée. rt subtriangulaire. rm en V, net partiellement, sans traces de M_{1a}. M₁ fortement bisinué. M₂ assez sinueux. Cul incurvé avec cu-an droit. 3A mince, net, presque droit.

Bonesioides dimidiata LABOISSIÈRE, du Congo belge, a une nervation voisine : Aile petite (9×3 mm), bien chitinisée, rembrunie à l'apex. rt triangulaire. rm coudé avec M_{1a} net. M₁ bisinué. cu-an légèrement incurvé avec un début de transverse vers M₂. 3A peu net.

111. — Genre MEGALOGNATHA BALY.

Important genre éthiopien. Nous décrivons l'aile de *Megalognatha ruandana vulcania* LABOISSIÈRE, du Congo belge (Pl. XXXI, fig. 3) :

Aile assez grande ($13 \times 4,5$ mm), bien chitinisée. rt trapézoïdal. rm coudé, assez net. M₁ en accent circonflexe. Cul sinué, effacé à la base, ainsi que cu-an, 3A élargi, peu net, bisinué.

112. — Genre RUWENZORIA LABOISSIÈRE.

Genre éthiopien. Nous décrivons l'aile de *Ruwenzoria viridis* LABOISSIÈRE, du Ruwenzori :

Aile très petite ($4,5 \times 1,25$ mm), bien chitinisée, subbrachyptère. rt triangulaire. rm, M_{1a}, branches distales, partie distale de M₂, pratiquement disparues. M₁ incurvé, peu net. M₂ net et chitinisé. Cul incurvé, avec cu-an droit, peu net. 2A peu net. 3A effacé.

113. — Genre SARDOIDES JACOBY.

Genre éthiopien. Nous décrivons l'aile de *Sardoides viridicollis* JACOBY, du Natal :

Aile petite (6×2 mm), peu chitinisée. rt lenticulaire. rm et M_{1a} disparus. M₁ légèrement bisinué. Cul arqué, avec cu-an court, droit. 3A droit, peu net.

Le genre *Sjoestedtinia* WEISE, du Kilimandjaro, n'appartient pas, en réalité, aux Galéruclides. Il a un apodème, caractéristique des Halticides, visible dans les fémurs postérieurs. Sa nervation alaire nous est inconnue.

114. — Genre PSEUDORUPILIA JACOBY.

Genre monospécifique, du Cap (*P. ruficollis* FABRICIUS). Il est caractérisé par l'absence d'épipleures aux élytres. Aptère.

115. — PHYLLOBROTTICA REDTENBACHER.

Genre assez ubiquiste. Nous décrivons l'aile de *Phyllobrotica quadrimaculata* LINNÉ, espèce euro-sibérienne, sur un spécimen français (Pl. XXXII, fig. 1) :

Aile petite ($7,5 \times 2,5$ mm), bien chitinisée. rt trapézoïdal et M_{1a} peu nets. M₁ légèrement bisinué. Cu₁ incurvé, avec cu-an peu net et un début de transverse vers M₂. 3A peu net, large.

116. — Genre JAPONITA STRAND (=JAPONIA WEISE).

Genre de l'Extrême-Orient. Nous décrivons l'aile de *Japonita coomani* LABOISSIÈRE, du Tonkin :

Aile petite ($7 \times 2,5$ mm), bien chitinisée. rt lenticulaire. rm fortement arqué, sans traces de M_{1a}. M₁ en accent circonflexe, à concavité tournée vers rm. Cu₁ légèrement sinueux avec cu-an droit et un début de transverse vers M₂. 3A peu net.

117. — Genre EXORA CHEVROLAT.

Genre américain, surtout néotropical. Nous étudions ici l'aile d'*Exora obsoleta* FABRICIUS, sur un spécimen de Colombie (Pl. XXIX, fig. 16) :

Aile moyenne (14×5 mm), bien chitinisée. rt lenticulaire. rm arqué, peu net. M₁ en accent circonflexe. M₂ légèrement sinueux. Cu₁ fortement arqué, avec cu-an presque droit et un début de transverse vers M₂. 3A mince, net, bisinué.

118. — Genre EXOSOMA JACOBY.

Genre de l'ancien monde, surtout éthiopien. Nous décrivons ici l'aile d'*Exosoma collaris* HUMMEL, du Caucase (Pl. XXXI, fig. 19) :

Aile petite ($7 \times 2,5$ mm), assez chitinisée. rt subtriangulaire. rm sinué, peu net. M₁ bisinué. M₂ incurvé, avant la branche distale. Cu₁ sinué, avec cu-an droit. 3A peu net.

119. — Genre MALACORRHINUS JACOBY.

Genre néotropical. Nous décrivons l'aile de *Malacorrhinus foveipennis* JACOBY, de Panama (Pl. XXX, fig. 15) :

Aile petite ($7 \times 2,5$ mm), peu chitinisée. rt subtriangulaire. rm peu net. Distales effacées. M₁ en accent circonflexe. Cu₁ arqué, avec cu-an légèrement incurvé. 3A mince, peu net, incurvé.

120. — Genre SESSELIA LABOISSIÈRE.

Genre éthiopien. Nous décrivons ici l'aile de *Sesselia flavicincta* JACOBY ab *aeneipennis* LABOISSIÈRE, du Congo belge (Pl. XXXII, fig. 5) :

Aile très petite ($4,5 \times 1,5$ mm), bien chitinisée. rt lenticulaire. rm peu net. M₁ bisinué. M₂ légèrement incurvé, avant la branche distale. Su₁ légèrement incurvé, avec cu-an droit et un début de transverse vers M₂. 3A peu net.

121. — Genre NEOBROTICA JACOBY.

Genre néotropical. Nous décrivons l'aile de *Neobrotica sexplagiata* JACOBY, sur un spécimen de Bahia (Brésil) :

Aile petite (5×2 mm), bien chitinisée. rt subtriangulaire. rm et M_{1a} assez nets. M₁ bisinué. Cu₁ légèrement incurvé, avec cu-an droit et un début de transverse vers M₂. 3A mince, presque droit.

122. — Genre PYESIA CLARK.

Genre néotropical. Nous décrivons l'aile de *Pyesia laticornis* GERMAR, du Brésil (Pl. XXVIII, fig. 14) :

Aile moyenne ($10,5 \times 4$ mm), bien chitinisée. rt subtriangulaire. rm net, bisinué, sans traces de M_{1a}. M₁ légèrement bisinué. Cu₁ fortement sinué, avec cu-an droit. 3A large, peu net.

123. — Genre SCHEMATIZA GUÉRIN.

Genre néotropical. Nous décrivons l'aile de *Schematiza axillaris* GUÉRIN, de Guyane française (Pl. XXXII, fig. 4) :

Aile petite ($7 \times 2,5$ mm), bien chitinisée. rt subtriangulaire. rm très net, bisinué, sans traces de M_{1a}. M₁ en accent circonflexe. Cu₁ légèrement incurvé, avec cu-an droit. 3A sinué.

124. — Genre ELYCES JACOBY.

Genre centre-américain. Nous décrivons l'aile d'*Elyces quadrimaculatus* JACOBY, de Panama :

Aile petite (6×2 mm), bien chitinisée. rt triangulaire. rm peu net. M₁ bisinué. Cul fortement sinué, avec cu-an droit. 3A peu net.

125. — Genre METACYCLA BALY.

Genre néotropical, renfermant des individus aptères ou microptères, à élytres très courts, mais à métathorax normal. Nous avons plus spécialement étudié *Metacycla insolita* LECONTE, de Basse-Californie, espèce microptère (Pl. XXXII, fig. 10) :

Rudiment alaire de $1,5 \times 0,75$ mm, lobiforme, avec des vestiges des costales, radiales, médianes et même anales.

Une espèce est macroptère, *Metacycla marginata* CHAPUIS, du Guatémala. Voici la description de l'aile de cette espèce (Pl. XXXII, fig. 12) :

Aile petite (6×2 mm), bien chitinisée. rt lenticulaire. Cul légèrement incurvé, avec cu-an presque droit. 3A peu net, à peine sinué. Cette aile ne montre aucune tendance à la réduction.

126. — Genre CHTHONEIS BALY.

Genre néotropical. Nous décrivons l'aile de *Chthonais suturalis* DUVIVIER, du Brésil (Pl. XXVIII, fig. 12) :

Aile petite (8×3 mm), bien chitinisée. rt subtriangulaire. rm peu net, incurvé. M₁ faiblement sinué. Cul incurvé, avec cu-an droit. 3A mince, presque droit.

127. — Genre TRACHYSCELIDA HORN.

Genre néotropical. Nous décrivons l'aile de *Trachyscelida robusta* JACOBY, sur un spécimen de Bahia (Brésil).

Aile petite ($7 \times 2,5$ mm), bien chitinisée. rt subtriangulaire. rm fortement coudé. M1 en accent circonflexe. Cu1 incurvé avec cu-an droit. 1A bisinué distalement. 3A mince, bisinué.

128. — *SCELOLYPERUS CROTCH.*

Genre surtout néotropical. Nous décrivons ici l'aile de *Scelolyperus elegans* CHAPUIS, du Guatémala (Pl. XXX, fig. 1) :

Aile assez grande (15×5 mm), bien chitinisée. rt lenticulaire. rm bisinué. M1 bisinué également. Cu1 incurvé, avec cu-an droit, court et un début de transverse vers M2. 1A fortement sinué à l'apex. 3A bisinué.

129. — Genre *PHYLLECTHRUS LECONTE.*

Genre américain. Nous décrivons l'aile de *Phyllecthrus dorsalis* OLIVIER, des U.S.A. (Pl. XXXII, fig. 6) :

Aile petite ($7 \times 2,25$ mm), bien chitinisée. rt lenticulaire. rm presque invisible. M1 bisinué. M2 incurvé avant sa branche distale. Cu1 sinué, avec cu-an droit, Cu1 et cu-an peu nets. 3A bisinué, peu net.

130. — Genre *LUPERODES MOTSCHULSKY.*

Genre ubiquiste. Nous décrivons l'aile de *Luperodes discrepans* BALY, du Japon (Pl. XXXI, fig. 6) :

Aile petite ($7,5 \times 3$ mm), bien chitinisée. rt trapézoïdal. rm peu net. M1 en accent circonflexe. Cu1 sinué, avec cu-an droit. 3A sinué.

131. — Genre *LUPEROSOSIA LABOISSIÈRE.*

Genre éthiopien. Nous décrivons l'aile de *Luperososia suturalis* LABOISSIÈRE, du Kivu (Pl. XXXIII, fig. 10) :

Aile très petite ($4 \times 1,25$ mm), peu chitinisée. rt lenticulaire. rm sinué, peu net. M1 en accent circonflexe, peu chitinisé. Cu1 incurvé légèrement, peu net avant cu-an, qui est droit et court. 2A peu net, presque disparu. 3A peu net.

132. — Genre *PARALUPERODES OGLOBLIN.*

Genre plus ou moins ubiquiste. Nous décrivons l'aile de *Paraluperodes quaternus* FAIRMAIRE, sur un spécimen de Stanleyville (Congo belge) :

Aile très petite ($4,5 \times 1,25$ mm), très faiblement chitinisée. rt lenticulaire. rm pratiquement disparu, ainsi que les branches distales et M1. Cu1 et cu-an disparus complètement. 1A peu net avec 2A et 3A pratiquement disparus.

133. — Genre *LUPERUS GEOFFROY.*

Important genre ubiquiste, divisé en sous-genres. Nous étudions deux espèces :

Luperus (Calomicrus) altaicus MANNERHEIM.

Espèce de l'Altaï (Pl. XXXI, fig. 5) :

Aile petite ($7 \times 2,25$ mm), bien chitinisée. rt subtriangulaire. rm peu net. M1 en accent circonflexe, peu net. Cu1 incurvé, avec cu-an en prolongement. 1A presque droit distalement. 3A peu sinueux.

Luperus (s. str.) longicornis FABRICIUS var. diniensis BELLIER.

Nous décrivons l'aile d'un spécimen des Alpes-Maritimes (France) : Aile très petite ($5 \times 1,5$ mm), peu chitinisée. rt trapézoïdal. rm presque disparu. M1 peu net. Cul sinué, avec cu-an droit. Toutes les nervures du système cubito-anal peu nettes et effacées.

134. — Genre HESPEROMORPHA OGLOBLIN.

Genre de l'Extrême-Orient. Nous décrivons l'aile d'*Hesperomorpha hirsuta* JACOBY, sur un spécimen chinois (Chang-Yang) :

Aile petite ($5 \times 1,5$ mm), moyennement chitinisée. rt ovale. rm peu net. M1 nettement bisinué. Cul arqué, avec cu-an droit. 3A mince, bisinué.

135. — Genre MIMASTRA BALY.

Genre indo-malais, divisé en deux sous-genres, que nous étudions successivement :

Mimastra (s. str.) cyanura HOPE.

Espèce des Indes (Pl. XXIX, fig. 5) :

Aile moyenne ($10,5 \times 3,5$ mm), bien chitinisée. rt triangulaire. rm coudé, assez net. M1 bisinué. Cul incurvé, avec cu-an droit. 3A peu net.

Mimastra (Trichomimastra) pectoralis LABOISSIÈRE.

Espèce tonkinoise : Aile très petite ($4 \times 1,25$ mm), moyennement chitinisée. rt lenticulaire. rm pratiquement disparu. M1 en accent circonflexe, mais très curieusement relevé vers Rs. Cul arqué avec cu-an en prolongement. anl très court. 3A sensiblement droit.

136. — Genre DIMALIANELLA LABOISSIÈRE.

Genre éthiopien. Nous décrivons l'aile de *Dimalianella kollerii* LABOISSIÈRE, de Lubuta (Congo belge) :

Aile petite (8×3 mm), bien chitinisée. rt lenticulaire, aplati. rm coudé, assez peu net. M1 bisinué. Cul sinué, avec cu-an en prolongement. 3A peu net.

137. — Genre HAPLOSOMOIDES DUVIVIER.

Genre indo-malais. Nous décrivons l'aile d'*Haplosomoides unicolor* ILLIGER, sur un spécimen de Java (Pl. XXXIV, fig. 5) :

Aile petite ($9 \times 3,5$ mm), peu chitinisée. rt lenticulaire. rm bisinué, presque invisible. Distales peu nettes. M1 légèrement sinué. Cul fortement arqué, avec cu-an en prolongement. 3A peu net.

138. — Genre CNEORANE BALY.

Genre plus ou moins ubiquiste. Nous décrivons l'aile de *Cneorane fulvicollis* BALY, des Indes (Pl. XXX, fig. 5) :

Aile moyenne ($11,5 \times 4$ mm), bien chitinisée. rt subtriangulaire. rm net, bisinué. M1 bisinué. Cul légèrement incurvé, peu net avant cu-an, qui est droit. 1A bisinué distalement. 3A mince, bisinué.

139. — Genre PARIDEA BALY.

Genre indo-malais. Nous décrivons l'aile de *Paridea approximata* DUVIVIER, du Bengale (Pl. XXXIII, fig. 12) :

Aile petite ($7 \times 2,5$ mm), bien chitinisée. rt lenticulaire. rm fortement coudé, net. M1 bisinué. Cul sinué, avec cu-an droit. 3A peu net, sinué.

140. — Genre LIROËTIS WEISE.

Genre de l'Extrême-Orient. Nous décrivons l'aile de *Liroëtis aeneipennis* WEISE, de Chine (Chang-Yang) (Pl. XXXIII, fig. 6) :

Aile petite ($7,5 \times 2,5$ mm), bien chitinisée. rt trapézoïdal. rm en diagonale, à peine incurvé, sans traces de M1a. M1 fortement bisinué. Cul et cu-an légèrement incurvés. 3A peu net.

141. — Genre EULIROËTIS OGLOBLIN.

Genre de l'Extrême-Orient, voisin du précédent. Nous décrivons l'aile d'*Euliroëtis lamegi* LABOSSIÈRE, du Tonkin (Pl. XXXI, fig. 8) :

Aile petite (6×2 mm), bien chitinisée. rt triangulaire. M1 en accent circonflexe. Cul incurvé avec cu-an court, droit.

142. — Genre PSEUDOLIROËTIS LABOSSIÈRE.

Genre de l'Extrême-Orient. Nous décrivons l'aile de *Pseudoliroëtis fulvipennis* JACOBY, de Chine (Pl. XXVIII, fig. 13) :

Aile moyenne (15×5 mm), très chitinisée. rt subtriangulaire. rm fortement coudé, avec M1a net. M1 fortement bisinué. Cul arqué, avec cu-an droit. 3A mince, net, bisinué.

143. — Genre LEPTARTHRA BALY.

Genre de la région indienne. Nous décrivons ici l'aile de *Leptarthra abdominalis* BALY, sur un spécimen de Kursoong (Indes) (Pl. XXX, fig. 6) :

Aile moyenne (14×4 mm), très chitinisée. rt trapézoïdal. rm fortement bisinué, avec M1a net. M1 bisinué. Cul sinué, avec cu-an droit, en diagonale. 3A net, bisinué, élargi à la base.

144. — Genre CAPULA JACOBSON.

Genre monospécifique du Thibet oriental (4.000 m), qui s'apparente plus avec les Chrysomelidae qu'avec les Galerucidae. Chez l'unique espèce connue, *Capula metallica* JACOBSON, les élytres ne laissent à découvert que le dernier segment abdominal et les ailes sont absentes.

145. — Genre MERISTOIDES LABOSSIÈRE.

Genre de la région chinoise. Nous décrivons ici l'aile de *Meristoides oberthüri* JACOBY, du Thibet (Pl. XXXIII, fig. 1) :

Aile moyenne (11×4 mm), bien chitinisée. rt trapézoïdal. rm bisinué, net partiellement, avec M1 net. M1 sinué légèrement, aminci à la base. Cul légèrement sinué, avec un début de transverse cu-an peu net. Les autres nervures classiques.

146. — Genre MORPHOSPHAERA BALY.

Genre surtout indo-malais. Nous décrivons l'aile de *Morphosphaera japonica* HORNSTEDT, sur un spécimen de Nagasaki (Japon) (Pl. XXIX, fig. 9) :

Aile moyenne (12×4 mm), bien chitinisée. rt lenticulaire. rm bisinué, net au milieu, sans traces de M1a. M1 en accent circonflexe. Cul bisinué, avec cu-an droit et une transverse peu nette rejoignant M2. 3A net, mince, bisinué.

147. — Genre MILTINA CHAPUIS.

Genre indo-malais. Nous décrivons l'aile de *Miltina dilatata* CHAPUIS, sur un spécimen tonkinois (Pl. XXIX, fig. 7) :

Aile assez grande (16×6 mm), bien chitinisée. rt subtrapézoïdal. rm coudé, net, avec M1a net. M1 bisinué, aminci à la base. Cul incurvé, avec cu-an bisinué. 3A mince, allongé, bisinué.

148. — Genre AGELASTICA REDTENBACHER.

Genre holarctique. Nous décrivons l'aile d'*Agelastica alni* LINNÉ, sur un spécimen de Belgique (Pl. XXXIII, fig. 18) :

Aile petite (9×3 mm), bien chitinisée. rt subtriangulaire. rm bisinué avec M1a net. M1 en accent circonflexe. Cul fortement bisinué avec cu-an droit. 1A presque droit distalement. 3A peu net.

149. — Genre SYNODITA CHAPUIS.

Genre de Nouvelle-Guinée et Australie. Nous décrivons l'aile de *Synodita borrei* CHAPUIS, sur un spécimen d'Australie (Pl. XXXI, fig. 4) :

Aile petite (9×3 mm), bien chitinisée. rt lenticulaire. rm coudé avec M1a très net. M1 en accent circonflexe. Cul très légèrement bisinué avec cu-an droit. 3A sinué, peu net.

150. — Genre PARAULACA BALY.

Genre de la Chine et du Japon. Nous décrivons l'aile de *Paraulaca angulicollis* MOTSCHULSKY, sur un spécimen japonais :

Aile petite (6×2 mm), bien chitinisée. rt lenticulaire. rm peu net. M1 bisinué. Cul incurvé, avec cu-an droit, en prolongement. 3A mince, bisinué.

151. — Genre MANDARELLA DUVIVIER.

Genre monospécifique. Nous décrivons l'aile de *Mandarella nagpurensis* DUVIVIER, du Bengale (Pl. XXXII, fig. 16) :

Aile petite (6×2 mm), bien chitinisée. rt ovalaire. rm coudé, peu net, avec traces de M1a. M1 légèrement bisinué. Cul légèrement sinué, avec cu-an droit. 3A légèrement bisinué.

152. — Genre KANARELLA JACOBY.

Genre des Indes. Nous décrivons l'aile de *Kanarella unicolor* JACOBY, sur un spécimen tonkinois (Pl. XXXI, fig. 18) :

Aile petite (7×2 mm), très faiblement chitinisée. rt triangulaire. rm, distale, pratiquement disparus. M1 légèrement bisinué. Cul fortement arqué, avec cu-an droit, court. 3A peu net, presque disparu.

153. — Genre PSEUDOIDES JACOBY.

Genre monospécifique de Birmanie. L'unique espèce, *Pseudoides bivittata* JACOBY, est aptère.

154. — Genre SUMATRASIA JACOBY.

Genre indo-malais. Nous décrivons l'aile de *Sumatrasia unicolor* JACOBY, sur un spécimen de Java :

Aile petite ($7,5 \times 2,75$ mm), très faiblement chitinisée. rt triangulaire. rm et distales disparus. M1 en accent circonflexe. M2 légèrement incurvé avant sa partie distale. Cul incurvé, avec cu-an droit, court. 3A pratiquement disparu.

155. — Genre XENODA BALY.

Genre malais, divisé en deux sous-genres. Nous les étudions successivement :

Xenoda (s. str.) spinicornis BALY.

Espèce de Sumatra : Aile petite ($7 \times 2,5$ mm), très chitinisée. rt triangulaire. rm légèrement sinué, sans traces de M1a. M1 bisinué. Cul légèrement sinué, prolongé par cu-an. 1A parfaitement droit distalement. 3A bisinué.

Xenoda (Xenodella) basalis JACOBY.

Espèce de Sumatra : Aile très petite ($5 \times 1,5$ mm), bien chitinisée. rt trapézoïdal. rm peu net. M1 bisinué. Cul incurvé, avec cu-an en prolongement. 3A mince, presque droit.

156. — Genre SIKKIMIA DUVIVIER.

Genre indou. Nous décrivons l'aile de *Sikkimia antennata* DUVIVIER, du Sikkim :

Aile moyenne ($11 \times 3,5$ mm), bien chitinisée. rt sublosangique. rm coudé, partiellement net, sans traces de M1a. M1 en accent circonflexe. M2 bisinué. Cul incurvé, avec cu-an droit. 3A mince, presque droit.

157. — Genre CEROPHYSA CHEVROLAT.

Genre indo-malais. Nous décrivons l'aile de *Cerophysa splendens* DUVIVIER, de Ceylan (Pl. XXXI, fig. 13) :

Aile petite ($7 \times 2,5$ mm), bien chitinisée. rt lenticulaire. rm coudé avec traces de M1a. M1 bisinué. Cul incurvé, prolongé par cu-an. 3A peu net.

158. — Genre CEROPHYSELLA LABOISSIÈRE.

Genre de la région extrême-orientale. Nous décrivons l'aile de *Cerophysella tonkinensis* LABOISSIÈRE, du Tonkin (Pl. XXXIII, fig. 4) :

Aile petite ($7 \times 2,5$ mm), bien chitinisée. rt lenticulaire. rm coudé, avec M1a net. M1 fortement sinué. Cul incurvé, avec cu-an très court, droit. 3A mince, presque droit.

159. — Genre CHOGANIA LABOISSIÈRE.

Genre monospécifique, du Tonkin. Nous décrivons l'aile de *Chogania duporti* LABOISSIÈRE (Pl. XXXI, fig. 11) :

Aile très petite ($5,5 \times 1,5$ mm), moyennement chitinisée. rt ovalaire. rm coudé, net partiellement, avec M1a net. M1 presque plan. M2 légèrement incurvé avant sa branche distale. Cul bisinué avec cu-an droit. 3A peu net.

160. — Genre CNEORIDES JACOBY.

Genre monospécifique des Indes orientales. L'unique espèce *Cneorides flaviventris* JACOBY est aptère.

161. — Genre SEMACIANELLA LABOISSIÈRE.

Genre de la région indienne. Nous décrivons l'aile de *Semacianella coomani* LABOISSIÈRE, du Tonkin (Pl. XXXII, fig. 17) :

Aile petite (6×2 mm), bien chitinisée. rt lenticulaire, aplati. rm coudé avec traces de M1a. M1 fortement sinué. Cu1 incurvé, avec cu-an droit. 3A mince, bisinué.

162. — Genre ARCASTES BALY.

Genre indo-malais. Nous décrivons l'aile d'*Arcastes biplagiata* BALY, sur un spécimen de Bornéo :

Aile petite (6×2 mm), fortement chitinisée. rt lenticulaire, aplati. rm bisinué avec traces de M1a. M1 en accent circonflexe. M2 légèrement incurvé avant la partie apicale. Cu1 légèrement bisinué avec cu-an droit. 3A mince, bisinué.

163. — Genre ALOPENA BALY.

Genre monospécifique de la Nouvelle-Guinée. Nous décrivons l'aile d'*Alopena collaris* BALY :

Aile petite ($7 \times 2,25$ mm), bien chitinisée. rt trapézoïdal. rm coudé avec M1a net. M1 fortement bisinué. Cu1 très légèrement incurvé, prolongé par cu-an droit, large. 3A mince, presque droit.

164. — Genre SARDA BALY.

Genre des îles Salomon, Nouvelles-Hébrides, etc. Nous décrivons l'aile de *Sarda tibialis* BRYANT, des îles Salomon :

Aile moyenne (10×4 mm), bien chitinisée. rt subcarré. rm bisinué, sans traces de M1a. M1 incurvé, à concavité tournée vers le haut. Cu1 à peine incurvé, avec cu-an net partiellement, droit. 1A incurvé à l'apex. 3A mince, bisinué. La nervation de cette espèce est très particulière.

165. — Genre CEROTOMA CHEVROLAT.

Genre américain, principalement néotropical. Nous décrivons l'aile de *Cerotoma congener* BALY, de l'Amazone (Pl. XXXI, fig. 14) :

Aile moyenne ($10 \times 3,5$ mm), bien chitinisée. rt triangulaire. rm bisinué. M1 légèrement sinué. Cu1 légèrement incurvé, avec cu-an presque droit, en diagonale. 1A fortement incurvé à l'apex. 3A peu net, incurvé.

166. — Genre SERMYLASSA REITTER.

Genre monospécifique paléarctique. Nous décrivons l'aile de *Sermylassa halensis* LINNÉ, sur un spécimen belge (Pl. XXXII, fig. 11) :

Aile petite (6×2 mm), bien chitinisée. rt subtriangulaire. rm peu net, avec traces de M1a. M1 bisinué légèrement. Cu1 incurvé avec cu-an droit, large. 3A bisinué.

167. — Genre AGELASA MOTSCHULSKY.

Genre extrême-oriental. Nous décrivons l'aile d'*Agelasa nigriceps* MOTSCHULSKY, du Japon (Pl. XXX, fig. 11) :

Aile petite ($8 \times 2,5$ mm), bien chitinisée. rt trapézoïdal. rm peu net, avec traces de M1a. M1 bisinué, aminci à la base. Cu1 légèrement sinué, avec cu-an légèrement incurvé. 3A mince, bisinué.

168. — Genre GALERUCIDA MOTSCHULSKY.

Genre extrême-oriental et indo-malais. Nous décrivons l'aile de *Galerucida consociata* BALY, du Japon (Pl. XXX, fig. 8) :

Aile moyenne ($11 \times 3,5$ mm), bien chitinisée. rt trapézoïdal. rm peu net, avec traces de M1a. M1 bisinué. Cu1 fortement sinué, avec cu-an légèrement incurvé.

169. — Genre EUSTHETHA BALY.

Genre extrême-oriental et indo-malais. Nous décrivons l'aile d'*Eusthetha seriata* FAIRMAIRE, sur un spécimen de Pékin (Pl. XXXIII, fig. 14) :

Aile moyenne ($10 \times 3,5$ mm), bien chitinisée. rt trapézoïdal. rm presque invisible avec traces de M1a. M1 bisinué. Cu1 presque droit prolongé par cu-an, qui est légèrement incurvé. 3A mince, légèrement bisinué.

170. — Genre SPHENORAIA CLARK.

Genre de la région indienne. Nous décrivons l'aile de *Sphenoraia bengalensis* LABOISSIÈRE, du Bengale (Pl. XXIX, fig. 6) :

Aile moyenne (11×4 mm), bien chitinisée. rt trapézoïdal. rm peu net, bisinué, avec traces de M1a, M1 fortement bisinué. Cu1 légèrement incurvé, non relié à cu-an, cette dernière nervure peu apparente et dirigée vers M2. 3A peu net, légèrement bisinué.

171. — Genre SPHENORAOIDES LABOISSIÈRE.

Genre de la région sino-tonkinoise. Nous décrivons l'aile de *Sphenoraioides duvivieri* LABOISSIÈRE, du Tonkin (Pl. XXX, fig. 13) :

Aile moyenne ($12 \times 4,5$ mm), bien chitinisée. rt subtriangulaire. rm coudé, net partiellement avec traces de M1a. M1 fortement bisinué. Cu1 fortement bisinué, avec cu-an bisinué également. 3A mince, allongé, bisinué.

172. — Genre HYLASPES BALY.

Genre de la région indienne. Nous décrivons l'aile d'*Hylaspes longicornis* BALY, de l'Himalaya (Pl. XXIX, fig. 13) :

Aile moyenne (15×5 mm), bien chitinisée. rt subtriangulaire. rm bisinué avec M1a assez net. M1 fortement bisinué. Cu1 bisinué avec cu-an droit, en diagonale. 3A mince, bisinué.

173. — Genre HYLASPOIDES DUVIVIER.

Genre monospécifique du Sikkim. Nous décrivons l'aile d'*Hylaspoides magnifica* DUVIVIER (Pl. XXX, fig. 4) :

Aile moyenne (12×4 mm), bien chitinisée. rt subtriangulaire. rm coudé, net partiellement, avec M1a net. M1 bisinué. Cu1 bisinué avec cu-an légèrement incurvé, large. 3A mince, bisinué.

174. — Genre DORYIDELLA LABOSSIÈRE.

Genre monospécifique de Birmanie. Nous décrivons l'aile de *Doryidella pallida* JACOBY : Aile moyenne (11×4 mm), bien chitinisée. rt subtriangulaire. rm coudé, avec M_{1a} net. M₁ fortement bisinué. Cu₁ bisinué avec cu-an légèrement incurvé. 3A mince, bisinué.

175. — Genre DORYIDOMORPHA LABOSSIÈRE.

Genre de Yunnan et Tonkin. Nous décrivons l'aile de *Doryidomorpha pilifrons* LABOSSIÈRE, du Tonkin (Pl. XXVIII, fig. 11) :

Aile moyenne ($11 \times 3,75$ mm), bien chitinisée. rt lenticulaire. rm coudé avec M_{1a} net. M₁ incurvé. Cu₁ bisinué avec cu-an large, droit. 1A incurvé à l'apex. 3A mince, bisinué.

176. — Genre STETHIDEA BALY.

Genre de la région indienne. Nous décrivons l'aile de *Stethidea balyi* DUVIVIER, de Malacca (Pl. XXXI, fig. 15) :

Aile petite (8×3 mm), bien chitinisée. rt lenticulaire. rm bisinué avec M_{1a} net. M₁ bisinué. Cu₁ incurvé avec cu-an droit. 3A mince, bisinué.

177. — Genre ARTHROTUS MOTSCHULSKY.

Genre extrême-oriental et indo-malais. Nous décrivons l'aile d'*Arthrotus pumilus* LABOSSIÈRE, du Tonkin (Pl. XXXII, fig. 14) :

Aile petite (6×2 mm), bien chitinisée. rt subtriangulaire. rm bisinué, avec M_{1a} net. M₁ légèrement bisinué. Cu₁ bisinué avec cu-an droit. 3A bisinué.

178. — Genre DERCECTIS CLARK.

Genre indo-malais. Nous décrivons l'aile de *Dercetis abdominalis* JACOBY, sur un spécimen de Bornéo (Pl. XXXIV, fig. 6) :

Aile moyenne (12×4 mm), bien chitinisée. rt trapézoïdal. rm coudé avec M_{1a} net. M₁ bisinué, aminci à la base. Cu₁ faiblement incurvé avec cu-an droit, en prolongement. 3A bisinué.

179. — Genre CYCLANTHIPHA LABOSSIÈRE.

Genre du Tonkin. Nous décrivons l'aile de *Cyclanthipha ulyssis* LABOSSIÈRE (Pl. XXX, fig. 12) :

Aile moyenne (11×4 mm), bien chitinisée. rt trapézoïdal. rm coudé avec M_{1a} net. M₁ bisinué. Cu₁ fortement bisinué avec cu-an large, faiblement incurvé. 3A mince, bisinué.

180. — Genre TAPHINA DUVIVIER.

Genre monospécifique, de Sumatra. Nous décrivons l'aile de *Taphina dimidiata* DUVIVIER, sur un spécimen de l'île Bodjo :

Aile petite ($10 \times 3,5$ mm), bien chitinisée. rt subtriangulaire. rm coudé avec M_{1a} net, incurvé. M₁ fortement sinué en son milieu. Cu₁ incurvé avec cu-an droit, court et une transverse nette partiellement, rejoignant M₂. 3A mince, presque droit.

181. — Genre *TAPHINELLA* JACOBY.

Genre indo-australien principalement. Nous décrivons l'aile de *Taphinella cyanipennis* LABOISSIÈRE, du Tonkin (Pl. XXXI, fig. 9) :

Aile petite ($5,5 \times 2$ mm), bien chitinisée. rt subtrapézoïdal. rm coudé avec M_{1a} net. M₁ presque droit. Cu₁ légèrement bisinué avec cu-an court et un début de tranverse vers M₂. 3A légèrement bisinué.

182. — Genre *EMATHEA* BALY.

Genre indo-malais. Nous décrivons l'aile d'*Emathea aeneipennis* BALY, sur un spécimen de Java (Pl. XXXIV, fig. 7) :

Aile moyenne ($11 \times 3,75$ mm), bien chitinisée. rt subtrapézoïdal. rm coudé avec M_{1a} net. M₁ fortement bisinué. M₂ légèrement incurvé avant sa branche distale. Cu₁ bisinué avec cu-an droit, exceptionnellement large. 3A légèrement bisinué.

183. — Genre *SERMYLOIDES* JACOBY.

Genre indo-malais. Nous décrivons l'aile de *Sermyloides pallicornis* FABRICIUS, sur un spécimen de Sumatra (Pl. XXXII, fig. 24) :

Aile petite (9×3 mm), bien chitinisée. rt trapézoïdal. rm coudé avec M_{1a} assez net. M₁ trisinué. Cu₁ bisinué avec cu-an droit. 3A bisinué.

184. — Genre *BAROMBIELLA* LABOISSIÈRE.

Genre éthiopien. Nous décrivons l'aile de *Barombiella ghesquierei* LABOISSIÈRE, du Congo belge (Pl. XXXII, fig. 13) :

Aile petite (6×2 mm), bien chitinisée. rt subtriangulaire. rm bisinué avec M_{1a} assez net. M₁ fortement bisinué. Cu₁ bisinué avec cu-an court, droit. 3A bisinué.

Barombiella (= *Luperodes*) *marginata* JACOBY, d'Afrique occidentale, présente une aile plus grande ($7 \times 2,5$ mm). rt trapézoïdal. rm coudé. M₁ très légèrement bisinué. Cul incurvé avec cu-an court.

Barombiella metallica JACOBY, du Congo belge, a une aile petite ($10 \times 3,5$ mm), bien chitinisée. rt en triangle isocèle. rm coudé avec M_{1a} net. M₁ fortement bisinué. Cul légèrement bisinué avec cu-an droit.

185. — Genre *HAPLOSONYX* DUPONCHEL.

Genre indo-malais. Nous décrivons l'aile d'*Haplosonyx semiflavus* WIEDEMANN (Pl. XXXII, fig. 7) :

Aile moyenne (12×4 mm), bien chitinisée. rt triangulaire. rm coudé avec M_{1a} net. M₁ bisinué. Cul incurvé avec cu-an droit, légèrement incurvé, en diagonale, relié faiblement à M₂ par une transverse. 3A légèrement bisinué.

186. — Genre *PSEUDAPLOSONYX* DUVIVIER.

Genre des îles de la Sonde. Nous décrivons l'aile de *Pseudaplosonyx coeruleipennis* DUVIVIER, de Sumatra (Pl. XXXIII, fig. 15) :

Aile moyenne (11×4 mm), bien chitinisée, rembrunie à l'extrémité. rt trapézoïdal. rm coudé, peu net, avec M_{1a} net. M₁ en accent circonflexe. Cul arqué avec cu-an incurvé et une transverse atteignant presque M₂. 3A bisinué, mince, peu net.

187. — Genre SPITIELLA LABOISSIÈRE.

Genre monospécifique des Indes orientales. Nous décrivons l'aile de *Spitiella auriculata* LABOISSIÈRE (Pl. XXX, fig. 7) :

Aile assez grande ($15 \times 4,5$ mm), bien chitinisée. rt subtriangulaire. rm bisinué avec M_{1a} assez net. M₁ bisinué. Cu₁ bisinué avec cu-an incurvé. 3A mince, peu net, bisinué.

188. — Genre TRICHOSEPHARIA LABOISSIÈRE.

Genre du Tonkin. Nous décrivons l'aile de *Trichosepharia pubescens* LABOISSIÈRE :

Aile moyenne (12×4 mm), bien chitinisée. rt trapézoïdal, rm bisinué avec M_{1a} assez net. M₁ en accent circonflexe. Cu₁ légèrement incurvé avec cu-an en prolongement, légèrement bisinué. 1A, 2A et an₁ fortement sinués. 3A incurvé.

189. — Genre CARITHECA BALY.

Genre des îles de la Sonde. Nous décrivons l'aile de *Caritheca quadripustulata* BALY, de Sumatra (Pl. XXXIII, fig. 16) :

Aile moyenne ($10 \times 3,75$ mm), bien chitinisée. rt lenticulaire. rm coudé avec M_{1a} net, incurvé. M₁ trisinué, aminci à la base. Cu₁ légèrement incurvé avec cu-an droit, interrompu en son milieu et des traces d'une transverse vers M₂. 3A bisinué.

190. — Genre NEOLEPTA JACOBY.

Genre indo-malais. Nous décrivons l'aile de *Neolepta biplagiata* JACOBY, sur un spécimen de Java (Pl. XXXII, fig. 25) :

Aile petite (6×2 mm), bien chitinisée. rt triangulaire. rm bisinué avec M_{1a} net. M₁ en accent circonflexe, très aminci dans sa partie basale. Cu₁ bisinué avec cu-an court, droit. 3A mince, incurvé.

191. — Genre EUMELEPTA JACOBY.

Genre indo-malais. Nous décrivons l'aile d'*Eumelepta clypeata* JACOBY, de Mandar (Pl. XXX, fig. 14) :

Aile très petite ($3,5 \times 1$ mm), bien chitinisée. rt losangique. rm bisinué, peu net. M₁ légèrement bisinué. Cu₁ bisinué avec cu-an, court et un début de transverse vers M₂. 3A incurvé.

192. — Genre SEPHARIA FAIRMAIRE.

Genre de la Chine et du Cachemire. Nous décrivons l'aile de *Sepharia frontalis* JACOBY, du Cachemire (Pl. XXXIII, fig. 8) :

Aile petite (9×3 mm), bien chitinisée. rt trapézoïdal. rm coudé avec M_{1a} net. M₁ en accent circonflexe. Cu₁ bisinué avec cu-an droit. 3A bisinué.

193. — Genre PROEGMENA WEISE.

Genre de la région sino-indienne. Nous décrivons l'aile de *Proëgmena indica* DUVIVIER, de Kursoong (Pl. XXXIII, fig. 2) :

Aile assez grande (15×5 mm), bien chitinisée. rt subtriangulaire. rm coudé, net partiellement, avec M_{1a} net. M₁ en accent circonflexe. Cu₁ incurvé avec cu-an en diagonale, presque droit. 3A mince, incurvé.

194. — Genre CYNORTA BALY.

Genre indo-malais. Nous décrivons l'aile de *Cynorta abdominalis* JACOBY, sur un exemplaire siamois :

Aile petite ($7 \times 2,5$ mm), très chitinisée. rt lenticulaire. rm coudé avec traces de M1a. M1 légèrement bisinué. M2 légèrement coudé vers les 2/3. Cu1 incurvé avec cu-an droit, court. 3A mince, presque droit.

195. — Genre CYNORITA LABOISSIÈRE.

Genre indo-malais. Nous décrivons l'aile de *Cynorita nigrolimbata* JACOBY, du Tonkin (Pl. XXXII, fig. 9) :

Aile petite ($8,5 \times 3$ mm), bien chitinisée. rt lenticulaire. rm incurvé avec M1a net. M1 bisinué. Cu1 incurvé avec cu-an légèrement incurvé. 3A bisinué.

196. — Genre MINDANA ALLARD.

Genre des Philippines. Nous décrivons l'aile de *Mindana nigripes* ALLARD, de Mindanao (Pl. XXXIII, fig. 11) :

Aile petite ($8,5 \times 3$ mm), bien chitinisée. rt triangulaire, rm coudé avec M1a net. M1 en accent circonflexe. Cu1 bisinué avec cu-an en prolongement. 3A presque droit.

197. — Genre MINDORINA LABOISSIÈRE.

Genre des Philippines. Nous décrivons l'aile de *Mindorina antennalis* LABOISSIÈRE, de Luzon (Pl. XXXII, fig. 19) :

Aile petite (6×2 mm), bien chitinisée. rt lenticulaire. rm coudé avec M1a net. M1 bisinué. M2 incurvé avant la partie apicale. Cu1 bisinué avec cu-an droit et un début de transverse vers M2. 3A incurvé.

L'aile de *Mindorina palpalis* LABOISSIÈRE, de Gusu (Philippines) (Pl. XXXIII, fig. 17), est très voisine de la précédente et la principale différence qui peut être notée est la diminution du début de transverse vers M2.

198. — Genre NANCITA ALLARD.

Genre monospécifique des Philippines. Nous décrivons l'aile de *Nancita alterna* ALLARD, de Pulobatu (Pl. XXXIV, fig. 8) :

Aile très petite ($4 \times 1,5$ mm), moyennement chitinisée. rt triangulaire. rm coudé avec traces de M1a mais peu nettes. M1 bisinué. Cu1 bisinué avec cu-an droit. Système anal classique, mais peu net.

199. — Genre THEOPEA BALY.

Genre indo-malais. Nous décrivons l'aile de *Theopea impressa* FABRICIUS, sur un spécimen de Java (Pl. XXXII, fig. 28) :

Aile petite ($7 \times 2,5$ mm), bien chitinisée. rt. subtriangulaire. rm coudé avec M1a assez net. M1 bisinué. M2 sinué avant la partie apicale. Cu1 fortement incurvé avec cu-an droit et un début de transverse vers M2. 1A incurvé distalement. 3A presque droit, mince.

200. — Genre THEOPELLA LABOISSIÈRE.

Genre créé pour *Theopella bodjoensis* DUVIVIER, de l'île Bodjo (Pl. XXXIV, fig. 9) :

Aile petite ($7 \times 2,5$ mm), bien chitinisée. rt sublosangique. rm coudé avec traces de M1a. M1 bisinué. Cu1 bisinué fortement, avec cu-an droit.

201. — Genre HYPHAENIA BALY.

Genre de la région indienne. Nous décrivons l'aile d'*Hyphaenia cyanescens* LABOISSIÈRE, du Tonkin (Pl. XXXV, fig. 9) :

Aile petite ($7,5 \times 2,5$ mm), bien chitinisée. rt lenticulaire. rm incurvé avec traces de M1a. M1 sinué légèrement. M2 incurvé avant la partie distale. Cu1 bisinué avec cu-an en prolongement. 3A légèrement bisinué, peu net.

202. — Genre XENARTHRA BALY.

Genre de Ceylan. Nous décrivons l'aile de *Xenarthra lewisi* JACOBY (Pl. XXXII, fig. 8) :

Aile petite (6×2 mm), bien chitinisée. rt lenticulaire. rm bisinué, peu net. M1 bisinué. Cu1 incurvé avec cu-an en prolongement. 3A bisinué.

203. — Genre TRICHOBALYA WEISE.

Genre de la région du Sud-Est asiatique. Nous décrivons l'aile de *Trichobalya tonkinensis* LABOISSIÈRE, du Tonkin :

Aile petite (10×3 mm), bien chitinisée. rt lenticulaire. rm incurvé avec traces de M1a. M1 bisinué. Cu1 incurvé avec cu-an en prolongement. 3A bisinué.

204. — Genre STROBIDERUS JACOBY.

Genre éthiopien et indo-malais. Nous décrivons l'aile de *Strobiderus aequatorialis* ALLARD, sur un spécimen du Congo belge :

Aile petite (6×2 mm), bien chitinisée. rt triangulaire. rm bisinué, sans traces de M1a. M1 à peine incurvé. Cu1 bisinué avec cu-an droit. 3A légèrement bisinué.

205. — Genre MACRIMA BALY.

Genre indo-malais. Nous décrivons l'aile de *Macrima armata* BALY, de Kursoong. D'après LABOISSIÈRE, cette espèce appartiendrait, peut-être, au genre *Fleutiauxia* LABOISSIÈRE :

Aile petite ($11 \times 3,5$ mm), bien chitinisée. rt triangulaire. rm bisinué avec traces de M1a. M1 en accent circonflexe. M2 légèrement incurvé avant la partie apicale. Cu1 bisinué avec cu-an droit. 3A mince, court, bisinué.

206. — Genre NADRANA BALY.

Petit genre malais. Nous décrivons l'aile de *Nadrana pallidicornis* BALY, de Tringanee :

Aile petite ($11 \times 3,75$ mm), assez chitinisée. rt triangulaire. rm coudé, avec M1a assez net. M1 en accent circonflexe. Cu1 incurvé avec cu-an droit et des traces d'une transverse vers M2. 3A fortement arqué.

207. — Genre METRIOIDEA FAIRMAIRE.

Genre indo-malais. Nous décrivons l'aile de *Metroidea apicalis* JACOBY, de Sumatra :

Aile moyenne (11×4 mm), moyennement chitinisée. rt triangulaire. rm pratiquement disparu. M1 bisinué. M2 incurvé avant la partie apicale. Cu1 bisinué avec cu-an droit et un début de transverse vers M2. 3A légèrement bisinué.

208. — Genre THAUMACERA THUNBERG.

Genre indo-malais. Nous décrivons l'aile de *Thaumacera fulvicollis* JACOBY, de Java :

Aile petite (9×3 mm), bien chitinisée. rt lenticulaire. rm coudé avec M1a net. M1 légèrement bisinué. Cu1 bisinué avec cu-an droit. 3A fortement arqué.

209. — Genre PLATYXANTHA BALY.

Genre divisé en trois sous-genres. Nous étudions successivement le sous-genre *Platyxantha* de la région éthiopienne et indomalaise et le sous-genre *Haplopes* surtout éthiopien.

Platyxantha (s. str.) *konbirensis* WEISE.

Espèce de Konbir :

Aile petite ($8 \times 2,5$ mm), bien chitinisée, assombrie à l'extrémité. rt lenticulaire. rm coudé avec traces de M1a. M1 bisinué. Cul1 bisinué avec cu-an droit.

Platyxantha (*Haplopes*) *carinata* WEISE.

Espèce du Ruwenzori :

Aile petite (8×3 mm), bien chitinisée. rt lenticulaire. rm coudé avec M1a net. M1 bisinué. Cul1 incurvé avec cu-an droit. 3A légèrement bisinué.

210. — Genre PLATYXANTHOIDES LABOISSIÈRE.

Genre monospécifique du Tonkin. Nous décrivons l'aile de *Platyxanthoides variceps* LABOISSIÈRE :

Aile petite ($8 \times 2,5$ mm), bien chitinisée. rt lenticulaire. rm coudé avec M1a net. M1 bisinué. Cul1 bisinué avec cu-an droit. 3A pratiquement disparu.

211. — Genre FLEUTIAUXIA LABOISSIÈRE.

Genre de l'Extrême-Orient. Nous décrivons l'aile de *Fleutiauxia armata* BALY, du Japon :

Aile petite ($7,5 \times 2,5$ mm), bien chitinisée. rt lenticulaire. rm coudé, peu net. M1 bisinué. Cul1 incurvé avec cu-an droit.

212. — Genre DUVIVIERIA WEISE.

Genre éthiopien. Nous décrivons l'aile de *Duvivieria africana* DUVIVIER, sur un spécimen du Congo belge :

Aile petite (10×3 mm), bien chitinisée. rt lenticulaire. rm coudé avec M1a net. M1 légèrement bisinué. Cul1 bisinué avec cu-an droit.

213. — Genre ACROXENA BALY.

Genre des Indes orientales. Nous décrivons l'aile d'*Acroxena paradoxa* LABOISSIÈRE, du Tonkin :

Aile moyenne ($12,5 \times 4$ mm), bien chitinisée. rt lenticulaire. rm incurvé, peu net. M1 légèrement bisinué. Cul1 incurvé avec cu-an droit. 3A bisinué.

214. — Genre PALPOXENA BALY.

Genre éthiopien et indo-malais. Nous décrivons l'aile de *Palpoxena divisa* JACOBY, du Kuilu :

Aile petite (10×3 mm), très chitinisée. rt lenticulaire allongé. rm fortement coudé. M1 bisinué. Cul1 bisinué avec cu-an droit. 3A pratiquement droit.

Palpoxena ugandensis LABOISSIÈRE, de l'Uganda, a une aile plus petite (8×3 mm), très chitinisée, à nervation presque identique à la précédente. *Palpoxena laeta* BALY, de Bornéo, a une aile de 10×3 mm, très chitinisée à nervation très voisine des deux précédentes.

215. — Genre DIAPHAENIDEA LABOISSIÈRE.

Genre indo-malais. Nous décrivons l'aile de *Diaphaenidea cavifrons* DUVIVIER, des Philippines :

Aile petite ($6,5 \times 2$ mm), assez chitinisée. rt lenticulaire. rm coudé avec M1a net. M1 bisinué. Cu1 incurvé avec cu-an droit. 1A incurvé à l'apex. 3A mince, presque droit.

216. — Genre MICRAENIDEA LABOISSIÈRE.

Genre indo-malais. Nous décrivons l'aile de *Micraenidea coomani* LABOISSIÈRE, du Tonkin :

Aile petite ($4 \times 1,75$ mm), assez chitinisée. rt lenticulaire. rm bisinué, peu net. M1 bisinué. Cu1 bisinué avec cu-an en prolongement. 3A légèrement bisinué.

217. — Genre PARAENIDEA LABOISSIÈRE.

Genre du Tonkin et Yunnan. Nous décrivons l'aile de *Paraenidea azurea* LABOISSIÈRE var. *hoabinhia* LABOISSIÈRE, du Tonkin :

Aile petite ($8,5 \times 2,75$ mm), très chitinisée. rt lenticulaire, incurvé. rm coudé avec traces de M1a. M1 bisinué. Cu1 bisinué, avec cu-an à peine incurvé. 3A mince, peu net, presque droit.

218. — Genre KANAHIIPHAGA LABOISSIÈRE.

Genre éthiopien. Nous décrivons l'aile de *Kanahiphaga costulata* LABOISSIÈRE, du Nyassaland :

Aile petite ($8 \times 2,5$ mm), bien chitinisée. rt lenticulaire. rm bisinué avec traces de M1a. M1 en accent circonflexe. Cu1 et cu-an incurvés légèrement. 3A mince, presque droit.

Kanahiphaga aeneipennis LABOISSIÈRE, du Sénégal, présente une aile un peu plus petite (7×2 mm), assez chitinisée, très voisine de la précédente. M2 légèrement incurvé avant la partie apicale. Cu1 plus incurvé. Cu-an plus court et début de transverse vers M2 plus longue.

219. — Genre BRACHYPHORA JACOBY.

Genre chinois. Nous décrivons l'aile de *Brachyphora nigrovittata* JACOBY :

Aile très petite ($5 \times 1,5$ mm), assez chitinisée. rt lenticulaire. rm peu net, coudé à angle droit avec traces de M1a. M1 en accent circonflexe. Cu1 incurvé avec cu-an court et un début de transverse vers M2. 3A mince, court, à peine sinué.

220. — Genre EULUPERUS WEISE.

Genre de l'Europe méridionale et du Caucase. Nous décrivons l'aile d'*Euluperus cyaneus* JOANNIS, sur un spécimen de Morée :

Aile très petite ($5 \times 1,5$ mm), faiblement chitinisée. rt trapézoïdal rm bisinué, peu net. Distales peu nettes également. M1 en accent circonflexe. Cu1 légèrement bisinué avec cu-an droit et un début de transverse vers M2. 3A presque droit.

221. — Genre STENOPLATYS BALY.

Genre éthiopien. Nous décrivons l'aile de *Stenoplatus clorindae* JOLIVET, du Congo belge :

Aile moyenne ($14 \times 4,5$ mm), bien chitinisée. rt lenticulaire. rm coudé avec traces de M1a. M1 légèrement bisinué. Cu1 bisinué avec cu-an droit. 3A mince, peu net, fortement bisinué. *Stenoplatus picea* FABRICIUS présente une aile voisine ($14 \times 4,5$ mm), bien chitinisée. La nervation en est quasi identique (Pl. XXXII, fig. 22).

222. — Genre OOTHECA CHAPUIS.

Genre éthiopien. Nous décrivons l'aile d'*Ootheca mutabilis* SAHLBERG, du Congo belge : Aile petite ($7,5 \times 3$ mm), bien chitinisée, assombrie à l'apex. rt triangulaire. rm coudé avec traces de M_{1a}. M₁ bisinué. Cu₁ bisinué avec cu-an légèrement incurvé. 3A peu net, fortement bisinué.

223. — Genre XENARTHRACTELLA LABOISSIÈRE.

Genre éthiopien, monospécifique. Nous décrivons l'aile de *Xenarthracella sylvatica* LABOISSIÈRE, s. str., du Congo belge :

Aile petite ($7 \times 2,5$ mm), faiblement chitinisée. rt subtrapézoïal. rm fortement bisinué sans traces de M_{1a}. M₁ bisinué. Cu₁ incurvé prolongé par cu-an, sans traces de m-cu. 3A mince, légèrement bisinué.

224. — Genre HUILLANIA LABOISSIÈRE.

Genre éthiopien. Nous décrivons l'aile de *Huillania viridis* WEISE, du Congo belge :

Aile petite ($7,5 \times 2,75$ mm), fortement chitinisée. rt sublosangique. rm coudé avec M_{1a} net. M₁ bisinué. Cu₁ sinué avec cu-an légèrement incurvé et un début de transverse vers M₂. 3A mince, presque droit.

225. — Genre ESCOURTIANA JACOBY.

Genre éthiopien. Nous décrivons l'aile d'*Escourtiana litura* GERSTAECKER, sur un spécimen du Congo belge :

Aile très petite (3×1 mm), faiblement chitinisée. rt subtriangulaire. Traces de rm. M₁ trisinué. M₂ incurvé avant la partie apicale. Cu₁ légèrement sinué, avec cu-an court. 3A légèrement sinué.

226. — Genre AULAMORPHUS JACOBY.

Genre éthiopien. Nous décrivons l'aile d'*Aulomorphus punctatus* LABOISSIÈRE, du Congo belge :

Aile petite ($7,5 \times 2,75$ mm), bien chitinisée. rt subtriangulaire. rm coudé avec M_{1a} net. M₁ bisinué. Cu₁ bisinué avec cu-an droit et un début de transverse vers M₂. 3A mince bisinué.

Aulamorphus decoratus LABOISSIÈRE, du Ruanda, présente une aile à nervation voisine de la précédente. Dimensions : $8 \times 2,5$ mm.

227. — Genre ASBECESTA HAROLD.

Genre éthiopien. Nous décrivons l'aile d'*Asbecesta capensis* ALLARD, sur un spécimen de Rhodésie :

Aile petite ($7 \times 2,5$ mm), assez chitinisée. rt lenticulaire. rm coudé à angles droits avec traces de M_{1a}. M₁ bisinué. Cu₁ bisinué avec cu-an droit, large. 3A mince, peu net, à peine sinué.

228. — Genre PARASBECESTA LABOISSIÈRE.

Genre éthiopien. Nous décrivons l'aile de *Parasbecesta ituriensis* WEISE, du Congo belge :

Aile très petite ($5 \times 1,5$ mm), bien chitinisée. rt lenticulaire. rm fortement coudé, peu net. M₁ bisinué. Cu₁ bisinué, avec cu-an droit. 3A à peine sinué.

229. — Genre ERGANA CHAPUIS.

Genre éthiopien. Nous décrivons l'aile d'*Ergana chapuisi* JACOBY, du Congo belge :

Aile très petite ($5 \times 1,5$ mm), très faiblement chitinisée. rt subtriangulaire. rm peu net. M1 bisinué. M2 incurvé avant la partie distale. Cu1 et cu-an incurvés. 3A peu net, bisinué.

230. — Genre CHAPUISIA DUVIVIER.

Genre éthiopien. Nous décrivons l'aile de *Chapuisia usambarica* WEISE, du Congo belge :

Aile petite ($10 \times 3,5$ mm), bien chitinisée. rt subtriangulaire. rm bisinué, sans traces de M1a. M1 bisinué. M2 légèrement incurvé avant la distale. Cu1 bisinué avec cu-an incurvé. 3A peu net, bisinué.

231. — Genre PSEUDOCRANIA WEISE.

Genre éthiopien. Nous décrivons l'aile de *Pseudocrania foveolata* KARSCH, de Guinée :

Aile petite (6×2 mm), assez chitinisée. rt lenticulaire. rm coudé. M1 bisinué. Cu1 bisinué, avec cu-an presque droit. 3A mince, bisinué. *Pseudocrania basalis* JACOBY, d'Abyssinie, a une aile petite (6×2 mm), moyennement chitinisée. rt subtriangulaire. rm légèrement coudé avec traces de M1a. Le reste de la nervation, comme précédemment.

232. — Genre MONOCIDA JACOBY.

Genre éthiopien. Nous décrivons l'aile de *Monocida inornata* JACOBY, du Natal :

Aile petite (6×2 mm), moyennement chitinisée. rt subtriangulaire. rm bisinué, peu net. M1 en accent circonflexe. M2 légèrement incurvé avant la partie distale. Cu1 bisinué, prolongé par cu-an. 3A presque droit.

233. — Genre MICROEXOSOMA LABOISSIÈRE.

Genre éthiopien. Nous décrivons l'aile de *Microexosoma capensis* LABOISSIÈRE, du Cap :

Aile très petite ($3,75 \times 1$ mm), très faiblement chitinisée. rt lenticulaire. rm peu net. M1 bisinué. Cu1 bisinué avec cu-an légèrement incurvé.

234. — Genre ERGANOIDES JACOBY.

Genre de la région sino-indienne. Nous décrivons l'aile d'*Erganoides pectoralis* LABOISSIÈRE, du Tonkin :

Aile petite (6×2 mm), assez chitinisée. rt subtriangulaire. rm coudé avec M1a net. M1 trisinué. Cu1 bisinué, avec cu-an incurvé et un début de transverse vers M2. 3A mince, bisinué.

235. — Genre EUSTENA BALY.

Genre indien. Nous décrivons l'aile d'*Eustena pretiosa* BALY, de Sikkim :

Aile petite ($8 \times 2,75$ mm), assez chitinisée. rt subcarré. rm bisinué. M1 en accent circonflexe. Cu1 presque droit, avec cu-an droit. 3A légèrement bisinué.

236. — Genre MONOLEPTA ERICHSON.

Genre qui renferme plusieurs centaines d'espèces ailées, répandues dans les régions tropicales du nouveau et de l'ancien monde. Deux espèces paléarctiques sont microptères.

Monolepta erythrocephala OLIVIER.

Nous étudions des individus de France méridionale. Espèce microptère. Rudiments alaires de taille et de forme très variables suivant la provenance. Les plus petits rudiments, toujours symétriques (Pl. XXXI, fig. 12), mesurent $0,5 \times 0,25$ mm. On y distingue cependant les vestiges des nervures radiales et (?) anales. De plus grands rudiments, symétriques également, mesurent $1,5 \times 0,75$ mm. Ils ont une forme triangulaire. On y distingue très nettement les vestiges des costales, radiale, la médiane en entier, quoique en raccourci, et des vestiges bien nets du système cubito-anal (Pl. XXXVI, fig. 19).

Monolepta angustata WEISE.

Espèce du Turkestan, microptère comme la précédente. Chez ces deux espèces la forme du métasternum ne diffère pas de celle des autres *Monolepta*.

Monolepta flavocincta HOPE.

Nous décrivons un spécimen de Siam : Aile petite ($8 \times 2,75$ mm), bien chitinisée. rt subtriangulaire. rm bisinué avec traces de M1a. M1 en accent circonflexe. Cu1 bisinué avec cu-an droit. 3A incurvé.

Monolepta apicicornis THOMSON.

Nous décrivons un spécimen de Guinée : Aile petite ($8 \times 2,75$ mm), assez chitinisée, rembrunie à l'apex. rt sublosangique. rm bisinué, peu net. M1 en accent circonflexe. M2 légèrement coudé vers les 2/3. Cu1 bisinué avec cu-an droit. 3A fortement arqué.

Monolepta ludicra WEISE.

Nous décrivons un spécimen du Congo belge :

Aile petite ($7 \times 2,5$ mm), assez chitinisée. rt lenticulaire. rm bisinué. M1 en accent circonflexe. 3A arqué.

237. — Genre MONOLEPTOCRANIA LABOISSIÈRE.

Genre éthiopien. Nous décrivons l'aile de *Monoleptocrania foveata* OLIVIER, du Gabon :

Aile petite ($6,5 \times 2$ mm), assez chitinisée, rembrunie à l'apex. rt triangulaire. rm bisinué, peu net. M1 en accent circonflexe. 3A légèrement arqué.

238. — Genre CANDEZEA CHAPUIS.

Genre intertropical. Nous décrivons l'aile de *Candezea semiviolacea* FAUVEL, de Nouvelle-Calédonie (Pl. XXXI, fig. 17) :

Aile petite ($7 \times 2,5$ mm), très chitinisée. rt lenticulaire. rm bisinué. M1 en accent circonflexe. M2 légèrement incurvé avant la partie apicale. Cu1 fortement bisinué avec cu-an droit, peu net, en diagonale. 1A sinueux distalement. 3A incurvé.

Candezea basalis HAROLD.

Nous décrivons un spécimen du Congo belge de *Candezea basalis* HAROLD :

Ailes petites ($7 \times 2,5$ mm), peu chitinisée. rt subtriangulaire. M1a net. Le reste de la nervation très voisin de la précédente.

239. — Genre DESBORDESIUS LABOISSIÈRE.

Genre du Tonkin. Nous décrivons l'aile de *Desbordesius laevigatus* LABOISSIÈRE :

Aile très petite ($3,5 \times 1$ mm), peu chitinisée. rt subtriangulaire. rm bisinué avec traces de M1a. M1 en accent circonflexe, peu net. 3A incurvé.

240. — Genre MICREPITRIX LABOISSIÈRE.

Genre du Tonkin. Nous décrivons l'aile de *Micrepitrix coomani* LABOISSIÈRE (Pl. XXXI, fig. 7) :

Aile minuscule ($2 \times 0,75$ mm), transparente. Traces des costo-radiales, de M2, de Cul, de 1A. Le reste pratiquement disparu.

241. — Genre EXOSOMORPHA LABOISSIÈRE.

Genre éthiopien. Nous décrivons l'aile d'*Exosomorpha suturalis* ALLARD, d'Afrique méridionale :

Aile petite ($8,5 \times 3$ mm), assez chitinisée. rt subtriangulaire. rm bisinué avec traces de M1a. M1 en accent circonflexe. Cul incurvé avec cu-an droit et un début de transverse vers M2. 3A légèrement sinué.

242. — Genre CANDEZOIDES DUVIVIER.

Genre malgache. Nous décrivons l'aile de *Candezoides quatuordecimnotata* FAIRMAIRE :

Aile petite (8×3 mm), moyennement chitinisée. rt triangulaire. rm coudé, peu net, avec M1a. M1 en accent circonflexe. 3A légèrement bisinué.

243. — Genre CHIMPORIA LABOISSIÈRE.

Genre éthiopien. Nous décrivons l'aile de *Chimporia monardi* LABOISSIÈRE, du Congo belge (Lulua-Kapanga) :

Aile petite ($7,5 \times 2,75$ mm), bien chitinisée. rt triangulaire. rm coudé avec M1a net. M1 en accent circonflexe, mais interrompu en son milieu. 3A incurvé, doublé d'un cercle hyalin entouré de chitinisation brune.

244. — Genre ADIALYA FAIRMAIRE.

Genre malgache. Nous décrivons l'aile d'*Adialyta aurantiaca* FAIRMAIRE, d'Ankarahitra :

Aile moyenne ($12,5 \times 4$ mm), assez chitinisée, rembrunie à l'apex. rt sublosangique. rm coudé. M1 bisinué. Cul incurvé avec cu-an droit, large. 3A bisinué.

245. — Genre CHORINA BALY.

Genre de l'Amazonie. Nous décrivons l'aile de *Chorina cincta* CLARK :

Aile moyenne ($14 \times 4,75$ mm), très chitinisée. rembrunie distalement. rt triangulaire. rm bisinué, avec traces de M1a. M1 légèrement sinué. Cul bisinué avec cu-an droit et une transverse m-cu incurvée. 3A bisinué.

246. — Genre NEORUPILIA BLACKBURN.

Genre australien, aptère.

247. — Genre MARSEULIA JOANNIS.

Genre monospécifique d'Asie Mineure, aptère également.

248. — Genre *NYCTIPHANTUS* SEMENOW.

Genre du Turkestan et des provinces transcaspiennes, aptère également.

249. — Genre *GEINA* JACOBSON.

Genre du Thibet oriental (4.000 m), aptère. Les élytres ne recouvrent, même pas, chez cette espèce, le premier segment abdominal. Ce genre est voisin de *Nyctiphantus*.

250. — Genre *PARAGEINA* LABOISSIÈRE.

Genre de l'Inde méridionale, aptère. Les élytres ne recouvrent que le premier segment abdominal et sont dépourvus d'épileures.

251. — Genre *THEONE* GISTL (=*LEPTOSONYX* WEISE).

Genre du Caucase et de la Sibérie. Nous décrivons l'aile de *Theone silphoides* DALMAN, de Sibérie :

Aile petite ($8 \times 2,5$ mm), faiblement chitinisée. rt triangulaire. rm bisinué. M1 bisinué également. Distales peu nettes. Cu1 incurvé avec cu-an droit. 3A presque droit. Un individu de la même espèce, d'une autre provenance, présente des différences dans la forme de M1 (en accent circonflexe). Cu1 et cu-an y sont presque disparus.

252. — Genre *PALLASIOLA* JACOBSON.

Genre de Sibérie-Mongolie. Nous décrivons l'aile de *Pallasiola absinthii* PALLAS (Pl. XXXIII, fig. 5) :

Aile petite ($6 \times 2,5$ mm), assez chitinisée. rt exceptionnellement ouvert, sans traces de r. rm bisinué, presque disparu. Partie basale de M1 disparue. Distales peu nettes. Cu₁ légèrement incurvé, avec cu-an droit. 3A bisinué.

253. — Genre *BELARIMA* REITTER.

Genre monospécifique d'Algérie, aptère. Ses élytres sont développés et ne laissent à découvert que le dernier segment abdominal.

254. — Genre *RUDOLPHIA* JACOBY.

Genre éthiopien. Nous décrivons l'aile de *Rudolphia nigrosuturalis* JACOBY, du Congo belge :

Aile très petite ($3,5 \times 1,5$ mm), peu chitinisée. rt triangulaire. rm bisinué. M1 bisinué également. Cu1 fortement incurvé, avec un début de transverse vers M2. 3A presque droit.

255. — Genre *MONOXIA* LECONTE.

Genre nord- et centre-américain. Nous décrivons l'aile de *Monoxia puncticollis* SAY, des U.S.A. :

Aile petite ($8 \times 2,5$ mm), très chitinisée. rt triangulaire. rm pratiquement disparu. M1 bisinué. Cu1 légèrement incurvé, avec une transverse n'atteignant pas M2, et cu-an droit. 3A légèrement incurvé.

256. — Genre *GASTRIDA* CHAPUIS.

Genre éthiopien. Nous décrivons l'aile de *Gastrida abdominalis* CHAPUIS, sur un spécimen du Congo belge :

Aile petite (6×2 mm), moyennement chitinisée. rt trapézoïdal. rm bisinué, peu net. M1 bisinué. Cu1 bisinué, prolongé par cu-an, légèrement incurvé. 3A bisinué.

257. — Genre *APOPHYLIA* DUPONCHEL.

Genre éthiopien et indo-malais. Nous décrivons l'aile d'*Apophylia viridis* JACOBY, sur un spécimen de Sumatra :

Aile petite ($8 \times 2,75$ mm), bien chitinisée. rt lenticulaire. rm bisinué, peu net. M1 bisinué légèrement. M2 incurvé avant la partie distale. Cu1 bisinué avec cu-an droit, en diagonale. 1A régulièrement bisinué. 3A légèrement sinué.

258. — Genre *PSEUDAPOPHYLIA* JACOBY.

Genre d'Afrique méridionale. Nous décrivons l'aile de *Pseudapophylia smaragdipennis* JACOBY, du Cap :

Aile petite (6×2 mm), faiblement chitinisée. rt triangulaire. rm bisinué. M1 bisinué également. 3A incurvé légèrement.

259. — Genre *BECQUAERTINIA* LABOISSIÈRE.

Genre éthiopien. Nous décrivons l'aile de *Becquaertinia nodicornis* LABOISSIÈRE, du Kapanga (Congo belge) :

Aile petite (7×3 mm), bien chitinisée. rt triangulaire. rm à peine bisinué, peu net. M1 légèrement bisinué. Cu1 fortement incurvé, prolongé par cu-an. 1A incurvé à l'apex. 3A bisinué.

260. — Genre *PALAEOPHYLIA* JACOBY.

Genre d'Afrique du Sud. Nous décrivons l'aile de *Palaeophylia borrei* ALLARD :

Aile petite (6×2 mm), assez chitinisée. rt triangulaire. rm et M1 bisinué. cu-an légèrement incurvé. 3A bisinué.

En addition aux genres précédents nous plaçons ici deux genres dont nous indiquerons la véritable position systématique.

261. — Genre *CONCHOERA* LABOISSIÈRE.

Genre éthiopien, voisin d'*Orthoxioides* LABOISSIÈRE. Nous décrivons l'aile de *Conchocera heterocera* GESTRO, d'Abyssinie :

Aile petite ($11 \times 3,5$ mm), moyennement chitinisée. rt triangulaire. rm bisinué. M1 légèrement sinué. Cu1 allongé, droit, avec cu-an droit. 1A droit également dans sa partie distale. 3A peu net.

262. — Genre *ROHANIA* LABOISSIÈRE.

Genre éthiopien voisin de *Galeruca*. Nous décrivons l'aile de *Rohanía ruwenzorica* WEISE, du Congo belge :

Aile moyenne ($11 \times 3,5$ mm), très chitinisée. rt lenticulaire, incurvé. rm incurvé avec M1 net. M1 légèrement sinué. M2 légèrement sinué avant la partie apicale. Cu1 bisinué, prolongé par cu-an. 3A légèrement bisinué.

263. — Genre COELIGETHES JACOBY.

Genre de la région malaise. Nous décrivons l'aile de *Coeligethes robustus* ALLARD, des Philippines :

Aile moyenne ($14 \times 4,75$ mm), bien chitinisée, rembrunie à l'apex. rt trapézoïdal. rm bisinué, peu net. M1 bisinué. M2 incurvé avant l'apex. Cu1 et cu-an légèrement incurvés avec, à leur point de jonction, une faible transverse atteignant presque M2. 3A élargi à la base, presque droit.

CONCLUSIONS SUR LES GALERUCIDAE.

Les Galérucides ont une nervation alaire du type chrysomélide, très constante, avec Cu1 bien développé. Les microptères, ou les aptères, sont plutôt l'exception. Les brachyptères sont pratiquement inexistant. Nous pouvons diviser les Galérucides de la façon suivante :

1. Macroptères. — Ils représentent l'immense majorité des genres et des espèces. Les ailes sont, en général, bien chitinisées. Cu1 est toujours présent et bien développé. M1 disparaît quelquefois mais est souvent présent. rm est presque toujours présent, soit bisinué, soit coudé. Il rejoint quelquefois l'extrémité de RS, un peu à la façon des *Syneta*. Il n'y a jamais de tache médio-cubitale, vraie ou fausse. Il y a fusion permanente des anales au-delà de an1, contrairement aux *Chrysomelidae* moins évolués. cu-an est constant, au moins à l'état vestigial; cependant, sa disparition a pu être notée chez *Mombasica* et *Meristoides*.

La nervation des Galérucides est peu variable. Les différences spécifiques sont très faibles, mais il y en a, même des différences individuelles. On sait que les différences génériques sont importantes dans les groupes primitifs, jusqu'aux *Chrysomelidae* inclus. A partir des *Galerucidae*, les différences génériques sont faibles. On nous objectera qu'il n'était donc pas nécessaire de décrire tous les genres de *Galerucidae*. A cela nous répondrons que nous avons tenté de mettre en évidence toutes les différences, si petites soient-elles, que même les analogies sont intéressantes à mentionner et à figurer. D'autre part, nous avons voulu réunir une documentation iconographique et bibliographique unique et quasi complète de la grande majorité des genres actuellement connus.

2. Brachyptères. — Quelques rares espèces peuvent être qualifiées de subbrachyptères (*Ruwenzoria viridis*, par exemple), d'autres de brachyptères (certains spécimens nordiques de *Galeruca tanaceti* où le métasternum s'atrophie également). Le phénomène est rarissime chez les Galérucides.

3. Microptères. — Certains genres possèdent des espèces microptères, c'est-à-dire à rudiment alaire très petit, contenant ou non des vestiges de nervures. Citons les genres *Oidomorpha*, *Mahutia*, *Metacycla*, les deux espèces paléarctiques de *Monolepta*, etc. Chez ces dernières, la forme du métasternum ne diffère pas de celle des autres *Monolepta*.

4. Aptères. — Citons, parmi les genres aptères, *Neomahutia*, *Ellopia*, *Cydippa*, *Rupilia*, *Arima*, S.-G. *Galerima* et *Haptoscelis* de *Galeruca*, *Metalepta*, *Pseudorupilia*, *Capula*, *Pseudoides*, *Cneorides*, *Neorupilia*, *Marseulia*, *Nyctiphantus*, *Geina*, *Parageina*, *Belarima*.

Chez les Galérucides, comme chez les Chrysomélides, le phénomène d'aptérisme ou de microptérisme est lié, la plupart du temps (mais pas toujours : cas de *Monolepta* et d'*Haptoscelis*), à diverses modifications structurales. Contrairement aux Chrysomélides, cependant, le phénomène est lié souvent à la brachélytrie. En même temps que les ailes s'atrophient ou disparaissent, les élytres se raccourcissent plus ou moins, l'écusson est presque toujours plus large que long, le métasternum se réduit considérablement au point de ne former qu'un bourrelet transversal. Les paires de pattes sont, de ce fait, comme chez les *Timarcha*, et pour la même raison, très rapprochées. Cela donne à ces insectes la démarche

et l'aspect d'un *Meloe*. Les Galérucides, aptères ou microptères, sont généralement des espèces alpines appartenant à tous les groupes. Le groupe des *Rupiliites*, de CHAPUIS, basé sur la brièveté du métasternum est donc factice. Les Galérucides aptères sont l'exception et représentent, d'après LABOISSIÈRE, environ un pour mille.

14. — HALTICIDAE.

Les *Halticidae* sont étroitement apparentés à la famille précédente et il est parfois difficile de classer certaines espèces exotiques. MAULIK a cependant découvert un apodème, situé à l'intérieur et près du sommet des fémurs des Halticides, apodème en forme de cuiller relié au tibia. C'est sur cet apodème que s'insèrent les muscles du saut, propriété exclusive des Halticidae chez les *Chrysomeloidea*. Les fémurs sont plus ou moins fortement renflés.

Les Halticides vivent sur les plantes basses, les végétaux ligneux et les arbres. Les larves se transforment en terre. Elles vivent sur les végétaux, sous terre sur les racines ou comme mineuses de tiges ou de feuilles.

La nervation alaire des Halticides est de type chrysomélide, mais simplifiée, avec disparition de nervures. Elle calque la nervation des Galérucides avec cependant la particularité d'avoir généralement Cu1 assez rudimentaire.

Nous décrivons ci-dessous la nervation alaire des différents genres d'*Halticidae* :

1. — Genre CHALOENUS WESTWOOD.

Genre surtout indo-malais. Nous décrivons l'aile de *Chaloenus westwoodi* CHAPUIS, sur un spécimen des Indes orientales :

Aile petite ($7,5 \times 2,5$ mm), très chitinisée. rt lenticulaire. rm net, en V, avec M1a net. M1 trisinué. Cu1 bisinué, net avec cu-an en diagonale et un début de transverse vers M2.

2. — Genre CHALOENOSOMA JACOBY.

Genre des Indes britanniques. Nous décrivons l'aile de *Chaloenosoma fulvitarse* JACOBY (Pl. XXXVI, fig. 1) :

Aile petite ($6,5 \times 2$ mm), bien chitinisée. rt triangulaire. rm en Z avec M1a net. M1 bisinué. Cu1 bisinué, net, avec cu-an droit.

3. — Genre LICYLLUS JACOBY.

Genre d'Australie, Nouvelle-Guinée, Sumatra et Nouvelles-Hébrides. Nous décrivons l'aile de *Licyllus albicollis* FABRICIUS, du Queensland :

Aile très petite ($4,5 \times 1,5$ mm), bien chitinisée. rt lenticulaire. rm et M1a presque effacés. Cu1 net, incurvé, avec cu-an droit et un début de transverse vers M2.

4. — Genre LUPEROMORPHA WEISE.

Genre extrême-oriental et indo-malais. Nous décrivons l'aile de *Luperomorpha vittata* DUVIVIER, des Indes britanniques :

Aile très petite ($3,5 \times 1$ mm), assez chitinisée. rt petit, lenticulaire. M1 bisinué. Cu1 peu net, incurvé avec traces de cu-an. 3A peu net.

5. — Genre HESPERA WEISE.

Genre extrême-oriental et indo-malais. Nous décrivons l'aile d'*Hespera sericea* WEISE, des Indes (Pl. XXXVII, fig. 16) :

Aile très petite ($5 \times 1,25$ mm), assez chitinisée. rt lenticulaire. rm et M1a pratiquement disparus. M1 très mince, en accent circonflexe. Cu1 bisinué, net, avec cu-an droit.

6. — Genre EUGONOTES JACOBY.

Genre éthiopien. Nous décrivons l'aile d'*Eugonotes suturalis* LABOISSIÈRE, du Congo belge (Pl. XXXVI, fig. 30) :

Aile très petite ($3,75 \times 1$ mm), transparente. C, Sc et R1 nets partiellement. rt peu net, subtriangulaire. rm, M1a et distales disparus. M1 presque entièrement disparu. M2 encore net, même distalement. Cu1 disparu. Uniquement vestiges de 1A.

7. — Genre LUPERALTICA CROTCH.

Genre des U.S.A. Nous décrivons l'aile de *Luperaltica senilis* SAY, sur un spécimen de Pensylvanie :

Aile très petite ($3,50 \times 1$ mm), transparente. rt petit, subtriangulaire. rm, M1a, distales et M1 pratiquement disparus. Cu1 à l'état de traces. 1A assez net. Vestiges de 2A.

8. — Genre CRIMISSA STÅL.

Genre néotropical. Nous décrivons l'aile de *Crimissa cruralis* STÅL, sur un spécimen de Colombie (Pl. XXXVII, fig. 10) :

Aile grande (15×5 mm), très chitinisée. rt subrectangulaire. rm bisinué, rejoignant l'apex de RS sans traces de M1a. M1 effacé. Distales assez nettes, surtout M1. Cul net, incurvé, avec cu-an en diagonale et une transverse vers M2. 3A large, net, bisinué.

9. — Genre ELITHIA CHAPUIS.

Genre éthiopien. Nous décrivons l'aile d'*Elithia parva* CHAPUIS, de Cayenne :

Aile moyenne (12×4 mm), assez chitinisée. rt subrectangulaire. rm bisinué, prolongeant RS sans traces de M1a. M1 assez peu net. Distales classiques. Cu1 légèrement incurvé avec cu-an droit. 3A net, fortement incurvé.

10. — Genre PHYLLOTRETA STEPHENS.

Genre ubiquiste. Nous décrivons l'aile de *Phyllotreta rufitarsis* ALLARD, sur un spécimen d'Algérie (Pl. XXXVI, fig. 25) :

Aile très petite ($3,25 \times 0,75$ mm), très peu chitinisée. rt peu net, subrectangulaire. rm, M1a, M1 et distales disparus. Cu1 disparu. 1A net. 2A vestigial.

11. — Genre TRACHYTETRA SHARP.

Genre néozélandais, aptère. Nous avons disséqué un spécimen de *Trachytetra rugulosa* BROWN.

12. — Genre DECARIA WEISE.

Genre éthiopien. Nous décrivons l'aile de *Decaria aethiopica* WEISE, sur un spécimen du Congo belge :

Aile très petite ($4 \times 1,25$ mm), peu chitinisée. rt lenticulaire. rm et M1a à l'état de traces. M1 en accent circonflexe. Distales très nettes. Cul net prolongé par cu-an. 3A droit, court.

13. — Genre APHTHONA CHEVROLAT.

Genre ubiquiste. Nous décrivons l'aile d'*Aphthona cyparisiae* KOCH, sur un spécimen du Portugal (Pl. XXXVII, fig. 13) :

Aile très petite ($4 \times 1,25$ mm), transparente. rt triangulaire. rm, M1a et distales pratiquement disparus. M1 vestigial. Cu1 disparu. 1A vestigial, avec traces de 2A.

14. — Genre ZIPANGIA HEIKERTINGER.

Genre extrême-oriental. Nous décrivons l'aile de *Zipangia obscura* JACOBY, sur un spécimen tonkinois (Pl. XXXVI, fig. 21) :

Aile très petite ($2,75 \times 1$ mm), très faiblement chitinisée. rt triangulaire. rm, distales pratiquement disparus. Absence de M₁, M₂ net, seulement à la base. Traces de Cu₁. 1A faible, 2A et 3A disparus.

15. — Genre MALVERNIA JACOBY.

Genre monospécifique du Natal. Nous décrivons l'aile de *Malvernia varicornis* JACOBY :

Aile petite ($5 \times 1,75$ mm), assez chitinisée. rt lenticulaire. rm coudé avec M_{1a} assez net. M₁ en accent circonflexe. Cu₁ incurvé avec cu-an droit et un début de transverse vers M₂. 3A mince, légèrement bisinué.

16. — Genre GABONIA JACOBY.

Genre éthiopien. Nous décrivons l'aile de *Gabonia weisei* JACOBY, du Congo :

Aile petite ($4 \times 1,25$ mm), faiblement chitinisée. rt très petit, subtriangulaire. rm, M_{1a} et M₁ disparus mais distales nettes. Cu₁ disparu. 1A faible, avec traces de 2A et de 3A.

17. — Genre PALEOTHONA JACOBY.

Genre néotropical, surtout d'Amérique centrale. Nous décrivons l'aile de *Palaeothona longicornis* JACOBY, du Guatemala :

Aile très petite ($3,75 \times 1$ mm), faiblement chitinisée. rt très petit, triangulaire, rm vestigial. Distales nettes. M₁ disparu. Cu₁ disparu également. 1A, 2A, 3A, assez nets.

18. — Genre LUPRAEA JACOBY.

Genre d'Amérique centrale. Nous décrivons l'aile de *Lupraea fulvicollis* JACOBY, du Nicaragua :

Aile petite ($4 \times 1,5$ mm), assez chitinisée. rt triangulaire. Vestiges de rm bisinué. M₁ disparu. Distales nettes. Cu₁ et cu-an vestigiaux. 1A, 2A, 3A nets.

19. — Genre LONGITARSUS LATREILLE.

Genre ubiquiste. Présente très souvent des formes ailées, microptères et aptères dans la même espèce. Parfois les deux formes coexistent, parfois elles sont distinctes géographiquement ou par leur écologie (plante-hôte différente) et leur morphologie (élytres). Présente également des races saisonnières (*L. nigrofasciatus* GOEZE). Nous décrivons l'aile de deux espèces :

Longitarsus candidulus FOUDRAS.

Nous étudions un spécimen de Sicile (Pl. XXXVI, fig. 27) :

Aile très petite (3×1 mm), transparente. C et Sc peu nets. rt partiellement visible. rm, M_{1a}, M₁, distales, disparus. Seuls subsistent M₂ et 1A.

Longitarsus linnaei DUFTSCHMIDT.

Nous étudions un spécimen d'Autriche (Pl. XXXVI, fig. 29) :

Aile petite ($4,25 \times 1,25$ mm), peu chitinisée. rt petit, net. Distales, rm, M_{1a}, M₁ pratiquement disparus. Cu₁ disparu. 1A net, 2A moins net.

20. — Genre *CHRYSOGRAMMA* JACOBY.

Genre d'Amérique centrale. Nous décrivons l'aile de *Chrysogramma octomaculata* JACOBY, du Guatémala :

Aile petite (9×3 mm), bien chitinisée. rt subtriangulaire. rm bisinué, sans traces de M1a, joignant RS à m. M1 disparu. Cu1 disparu également ainsi que cu-an. Anales nettes et classiques.

21. — Genre *GLYPTINA* J. LECONTE.

Genre nord-américain. Nous décrivons l'aile de *Glyptina cerina* J. LECONTE, de Californie (Pl. XXXVI, fig. 16) :

Aile très petite ($1,5 \times 0,5$ mm), brachyptère, transparente. Costales et radiales vestigiales ainsi que rt, M2 et 1A. Le reste pratiquement disparu.

22. — Genre *BATOPHILA* FOUDRAS.

Genre paléarctique, aptère.

23. — Genre *APHTHONOMORPHA* CHEN.

Genre de Chine méridionale, Tonkin et Formose. Nous décrivons l'aile d'*Aphthonomorpha collaris* BALY, sur un spécimen tonkinois (Pl. XXXVII, fig. 6) :

Aile très petite ($3 \times 0,75$ mm), transparente. rt petit, triangulaire. rm, M1a, M1, distales pratiquement disparus. Cu1 à l'état de traces. Anales classiques.

24. — Genre *MANOBIDIA* CHEN.

Genre tonkinois. Nous décrivons l'aile de *Manobidia antennata* CHEN :

Aile très petite ($2 \times 0,5$ mm), transparente avec seulement des vestiges des costo-radiales et des médianes.

25. — Genre *OXYGONA* CHEVROLAT.

Genre néotropical. Nous décrivons l'aile d'*Oxygona acutangula* CHEVROLAT, du Mexique (Pl. XXXVI, fig. 26) :

Aile petite (9×3 mm), assez chitinisée. rt triangulaire. rm bisinué, joignant RS à m, sans trace de M1a. M1 disparu. Cu1 vestigial. Anales classiques.

26. — Genre *PSEUDOGONA* JACOBY.

Genre de Panama. Nous décrivons l'aile de *Pseudogona panamensis* JACOBY :

Aile petite (6×2 mm), assez chitinisée. rt triangulaire. rm peu net. M1 disparu. Cu1 peu net, cu-an disparu. Anales classiques.

27. — Genre *CYRSYLUS* JACOBY.

Genre d'Amérique centrale. Nous décrivons l'aile de *Cyrsylus recticollis* JACOBY, du Mexique :

Aile très petite ($3,5 \times 1$ mm), faiblement chitinisée. rt petit, lenticulaire. rm bisinué, sans M1a. M1 disparu ainsi que Cu1. Anales classiques.

28. — Genre AXIOTHEATA DUPONCHEL.

Genre sud-américain. Nous décrivons l'aile d'*Axiototheata simplex* CLARK, sur un spécimen d'Amazonie :

Aile petite (6×2 mm), assez chitinisée. rt subtriangulaire. rm joignant directement RS à m. M1 disparu. Cul prolongé par cu-an, peu net. Anales classiques.

29. — Genre OCNOSCELIS ERICHSON.

Genre sud-américain. Nous décrivons l'aile d'*Ocnoscelis cyanoptera* ERICHSON, du Pérou :

Aile petite (7×2 mm), assez chitinisée. rt subtriangulaire. rm fortement bisinué, joignant RS à m. M1 disparu, ainsi que Cul et cu-an. Anales classiques.

30. — Genre PRASONA BALY.

Genre néotropical. Nous décrivons l'aile de *Prasona viridis* BALY, du Mexique :

Aile petite ($10 \times 3,5$ mm), assez chitinisée. rt subtriangulaire. rm joignant RS à m. M1 disparu. Cul incurvé, peu net, sans traces de cu-an. Anales classiques.

31. — Genre SYSTEMA MELSHEIMER.

Genre américain. Nous décrivons l'aile de *Systema variabilis* JACOBY, du Mexique :

Aile petite (7×2 mm), assez chitinisée. rt rectangulaire. rm bisinué joignant RS à m. M1 disparu. Cul incurvé, faible. Anales classiques.

32. — Genre HEIKERTINGERIA CsIKI.

Genre néotropical. Nous décrivons l'aile d'*Heikertingeria seminigra* JACOBY, de Panama (Pl. XXXVI, fig. 9) :

Aile petite ($5 \times 1,5$ mm), bien chitinisée. rt triangulaire. rm bisinué, joignant RS à m. M1 disparu ainsi que Cul et cu-an. Anales classiques.

33. — Genre ACANTHONYCHA JACOBY.

Genre néotropical. Nous décrivons l'aile d'*Acanthonycha elegantula* JACOBY, du Mexique :

Aile petite (6×2 mm), assez chitinisée. rt triangulaire. rm bisinué joignant RS à m. M1 disparu. Cul incurvé avec cu-an droit et un début de transverse vers M2, ces nervures faibles. Anales classiques.

34. — Genre DISONYCHA CHEVROLAT.

Genre américain. Nous décrivons l'aile de *Disonycha conjuncta* GERMAR, du Paraguay :

Aile petite ($8 \times 2,5$ mm), bien chitinisée. rt triangulaire. rm pratiquement disparu, ainsi que M1. Cul disparu. Anales classiques.

35. — Genre CACOSCELIS CHEVROLAT.

Genre néotropical. Nous décrivons l'aile de *Cacoscelis melanoptera* GERMAR, du Brésil :

Aile moyenne (11×4 mm), bien chitinisée. rt triangulaire. rm bisinué joignant RS à m. Cul et cu-an disparus. Anales classiques.

36. — Genre HEMIPHRYNUS G. HORN.

Genre mexicain. Nous décrivons l'aile d'*Hemiphrynus intermedius* JACOBY :

Aile petite (6×2 mm), faiblement chitinisée. rt petit, triangulaire. rm bisinué joignant RS à m. M1, Cul et cu-an disparus.

37. — Genre *PHRYNOCEPHA* BALY.

Genre néotropical. Nous décrivons l'aile de *Phrynocepha pulchella* BALY, du Mexique : Aile moyenne ($11 \times 3,75$ mm), bien chitinisée. rt petit, triangulaire. rm bisinué joignant RS à m. M1, Cul et cu-an disparus. Anales nettes et classiques.

38. — Genre *SYPHRAEA* BALY.

Genre d'Amérique centrale. Nous décrivons l'aile de *Syphraea angustata* JACOBY, du Mexique (Pl. XXXVII, fig. 3) :

Aile très petite ($4 \times 1,25$ mm), très faiblement chitinisée. rt trapézoïdal. rm bisinué joignant RS à m. Pas de traces de M1. Cul et cu-an vestigiaux.

39. — Genre *HALTICA* FABRICIUS.

Genre ubiquiste. Nous décrivons l'aile de deux espèces :

Haltica jamaicensis FABRICIUS.

Nous décrivons un spécimen de Costa Rica : Aile petite (10×3 mm), très chitinisée. rt rectangulaire. rm peu net. M1 disparu. Cul et cu-an à l'état de faibles vestiges.

Haltica madagascariensis ALLARD.

Espèce de Madagascar (Pl. XXIX, fig. 12) :

Aile petite ($8 \times 2,5$ mm), assez chitinisée. rt subtriangulaire. rm bisinué joignant RS, un peu avant la base, à m. M1 disparu. Cul et cu-an à l'état de faibles traces.

40. — Genre *PARLINA* MOTSCHULSKY.

Genre de Ceylan. Nous décrivons l'aile de *Parlina transscisa* MOTSCHULSKY :

Aile petite (7×2 mm), faiblement chitinisée. rt ovalaire. rm bisinué, peu net, joignant RS à m. M1 disparu. Cul et cu-an à l'état de faibles traces.

41. — Genre *LACTINA* HAROLD.

Genre sud-américain. Nous décrivons l'aile de *Lactina steinheili* HAROLD, de Colombie :

Aile petite (10×3 mm), bien chitinisée. rt triangulaire. rm bisinué joignant RS à m. M1 disparu. Cul incurvé, prolongé par cu-an, ces deux nervures vestigiales.

42. — Genre *PROPIASUS* CSIKI.

Genre monospécifique mexicain. Nous décrivons l'aile de *Propiasus fulvus* JACOBY, d'Acapulco :

Aile petite ($4 \times 1,25$ mm), faiblement chitinisée. rt lenticulaire. rm bisinué, effacé. M1 disparu ainsi que Cul. 2A faible.

43. — Genre *HERMAEOPHAGA* FOUDRAS.

Genre ubiquiste divisé en deux sous-genres.

Hermaeophaga (Orthocrepis) ruficollis LUCAS.

Nous décrivons l'aile d'un spécimen d'Algérie : Aile très petite ($3,25 \times 1$ mm), transparente. rt ovalaire. rm et distales peu nets. M1 et Cul disparus. 2A et 3A peu nets.

Hermaeophaga (s. str.) centriobscura LABOSSIÈRE.

Espèce du Congo belge : Aile très petite ($4 \times 1,25$ mm), faiblement chitinisée. rt subtriangulaire. rm peu net. M1, Cu1 et cu-an disparus. 2A et 3A peu nets.

Hermaeophaga (s. str.) cicatrix ILLIGER.

Espèce méditerranéo-occidentale : Aile très petite (3×1 mm), transparente. rt subtriangulaire. rm peu net. M1 et distales disparus ainsi que Cu1 et cu-an. 2A mince, peu net.

44. — Genre **LACTICA ERICHSON.**

Genre américain, éthiopien et indo-australien. Nous décrivons l'aile de *Lactica macula FABRICIUS*, du Brésil :

Aile petite (10×3 mm), très faiblement chitinisée. rt lenticulaire. rm bisinué, joignant RS à m. M1, Cu1 et cu-an disparus. Système anal faiblement développé.

45. — Genre **CAEPORIS CLARK.**

Genre néotropical. Nous décrivons l'aile de *Caeporis stigmula GERMAR*, de Montevideo :

Aile petite (6×2 mm), bien chitinisée. rt subovalaire. rm trisinué, joignant RS à m. M1 disparu, Cu1, cu-an et un début de transverse vers M2, faiblement dessinés. Anales nettes.

46. — Genre **GRAMMICOPTERUS BLANCHARD.**

Genre néotropical. Nous décrivons l'aile de *Grammicopterus flavescens BLANCHARD*, sur un spécimen du Brésil :

Aile petite ($5 \times 1,5$ mm), assez chitinisée. rt petit, triangulaire. rm bisinué, peu net. M1 disparu. Cu1 incurvé, prolongé par cu-an. Système cubito-anal net et classique.

47. — Genre **CHLAMOPHORA CHEVROLAT.**

Genre néotropical. Nous décrivons l'aile de *Chlamophora clypeata CLARK*, sur un spécimen de l'Équateur :

Aile petite (10×3 mm), bien chitinisée. rt rectangulaire. rm bisinué, peu net. Traces de M1. Traces de Cu1 avec cu-an net. Anales nettes et classiques.

48. — Genre **IPHITROIDES JACOBY.**

Genre mexicain. Nous décrivons l'aile d'*Iphitroides quadripunctatus JACOBY* :

Aile petite ($8 \times 2,5$ mm), assez chitinisée, rembrunie à l'apex. rt subtriangulaire. rm bisinué. M1 disparu. Cu1 incurvé, prolongé par cu-an, peu net.

49. — Genre **MYRCINA CHAPUIS.**

Genre éthiopien. Nous décrivons l'aile de *Myrcina nigra CHAPUIS*, d'Old Calabar :

Aile petite ($10 \times 3,5$ mm), très chitinisée. rt triangulaire. rm bisinué. M1 disparu. Cu1 incurvé avec cu-an droit et un début de transverse vers M2, ces nervures faibles. Anales classiques et nettes.

50. — Genre **MYRCINELLA JACOBY.**

Genre malgache. Nous décrivons l'aile de *Myrcinella spectabilis BALY* :

Aile moyenne (13×4 mm), bien chitinisée. rt triangulaire. rm fortement trisinué. M1 disparu. Cu1, cu-an et la transverse vers M2, très faibles. Anales classiques et nettes.

51. — Genre MYRCINOIDES JACOBY.

Genre monospécifique de Bornéo. Nous décrivons l'aile de *Myrcinoides viridis* JACOBY : Aile moyenne ($14 \times 4,5$ mm), bien chitinisée. rt subtriangulaire. rm bisinué. M1 disparu. Cul incurvé avec cu-an droit, en diagonale et un début de transverse vers M2, ces nervures effacées. Anales classiques et 3A fortement bisinué.

52. — Genre PHYGASIA BALY.

Genre de l'ancien monde. Nous décrivons l'aile de *Phygasia unicolor* OLIVIER, du Bengale (Pl. XXXVI, fig. 12) :

Aile petite (9×3 mm), bien chitinisée. rt triangulaire. rm bisinué légèrement. M1 disparu. Cul, cu-an et la transverse vers M2, très effacés. Anales classiques.

53. — Genre SANGARIOLA JACOBSON (=CHARIDEA BALY).

Genre extrême-oriental. Nous décrivons l'aile de *Sangariola punctatostriata* MOTSCHULSKY, du Japon :

rt triangulaire. rm bisinué joignant RS à m. M1 disparu. Cul légèrement incurvé, faible, sans trace de cu-an. Anales classiques. Comme le fait justement remarquer OGLOBLIN (1930), ce genre, placé souvent parmi les Galérucides, a une nervation alaire typiquement Halticide.

54. — Genre MANOBIA JACOBY.

Genre indo-australien et éthiopien. Nous décrivons l'aile de *Manobia africana* LABOISSIÈRE, du Congo belge :

Aile très petite (3×1 mm), faiblement chitinisée. rt lenticulaire. rm peu net. M1 disparu ainsi que Cul et cu-an. 2A à l'état de traces à la base.

Manobia papuana BRYANT. Espèce de Nouvelle-Guinée (Pl. XXXVI, fig. 23) a une aile très petite ($3,75 \times 1,25$ mm), faiblement chitinisée. rt triangulaire. rm pratiquement disparu. M1 disparu également ainsi que Cul et cu-an. 2A net.

55. — Genre ARSIPODA ERICHSON.

Genre d'Australie, Tasmanie et Nouvelle-Guinée. Nous décrivons l'aile d'*Arsipoda chrysitis* OLIVIER, du Queensland :

Aile petite (6×2 mm), moyennement chitinisée. rt triangulaire. rm bisinué, peu net. M1 disparu. Cul incurvé, net, prolongé par cu-an. Anales classiques.

56. — Genre ARRHENOCOELA FOUDRAS.

Genre monospécifique méditerranéo-occidental. Nous décrivons l'aile d'*Arrhenocoela lineata* ROSSI :

Aile petite ($5,5 \times 1,5$ mm), faiblement chitinisée. rt subtriangulaire. rm effacé. M1 disparu. Cul peu net, bisinué, avec cu-an droit, net.

57. — Genre LYTHRARIA BEDEL.

Genre monospécifique paléarctique. Nous décrivons l'aile de *Lythraria salicariae* PAYKÜLL, sur un spécimen de France méridionale :

Aile très petite ($2 \times 0,5$ mm), transparente. On ne distingue plus, et très faiblement, que la costale, la radiale et M2 dans sa totalité. Le reste est disparu. Tendance très nette vers l'aptérisme.

58. — Genre OCHROSIS FOUDRAS.

Genre holarctique et éthiopien. Nous décrivons l'aile d'*Ochrosis ventralis* ILLIGER, sur un spécimen de France centrale (Pl. XXXVI, fig. 10) :

Aile très petite ($3 \times 0,75$ mm), transparente. Seules subsistent les costales, radiale, faiblement rt, M₂ et 1A.

59. — Genre CREPIDODERA CHEVROLAT.

Genre ubiquiste. Nous décrivons l'aile de *Crepidodera transversa* MARSHAM, sur un spécimen de France centrale (Pl. XXXVI, fig. 14) :

Aile petite ($5 \times 1,75$ mm), transparente. Nervures très faibles, rt triangulaire, peu net. rm, M₁, distales, Cu₁, cu-an disparus. 1A assez net mais 2A et 3A pratiquement disparus.

60. — Genre LIVOLIA JACOBY.

Genre monospécifique du Mashonaland. Nous décrivons l'aile de *Livolia sulcicollis* JACOBY (Pl. XXXVI, fig. 2) :

Aile très petite ($2,75 \times 0,75$ mm), transparente. Ne subsistent plus que le système costo-radial, rt, M₂ et 1A.

61. — Genre ORESTIA GERMAR.

Genre paléarctique, aptère. De nombreuses espèces sont subalpines.

62. — Genre DEROCREPIS WEISE.

Genre holarctique et éthiopien. Nous décrivons l'aile de *Derocrepis rufipes* LINNÉ, sur un spécimen autrichien (Pl. XXXVI, fig. 5) :

Aile très petite ($1,25 \times 0,35$ mm), brachyptère, assez chitinisée. Le bord apical et vanal de l'aile est réduit. Système costo-radial intact. rt subtriangulaire, faible. Distales et M₁ disparus. M₂ net. 1A et 2A partiellement nets.

63. — Genre HIPPURIPHILA FOUDRAS.

Genre holarctique. Nous décrivons l'aile d'*Hippuriphila modeeri* LINNÉ, sur un spécimen français :

Aile très petite (3×1 mm), transparente. Costo-radiales nettes, rt triangulaire, assez net. Distales, rm, M₁, Cu₁, cu-an, 2A et 3A, disparus.

64. — Genre CHALCOIDES FOUDRAS.

Genre assez ubiquiste. Nous décrivons l'aile de *Chalcoides aurea* GEOFFROY, sur un spécimen français (Pl. XXXVI, fig. 8) :

Aile petite ($5 \times 1,5$ mm), faiblement chitinisée. rt ovalaire. rm bisinué, peu net. M₁ disparu. Cu₁ et cu-an à l'état de traces.

65. — Genre XUTHEA BALY.

Genre indien. Nous décrivons l'aile de *Xuthea orientalis* BALY :

Aile petite ($9,5 \times 3$ mm), bien chitinisée. rt lenticulaire. rm fortement bisinué. Traces de M₁. Également traces de Cu₁ et cu-an.

66. — Genre *IPHITREA* BALY.

Genre néotropical. Nous décrivons l'aile d'*Iphitrea balyi* HAROLD (Pl. XXXVI, fig. 22) : Aile petite ($4,75 \times 1,5$ mm), faiblement chitinisée. rt rectangulaire. rm bisinué, peu net. M1 faiblement dessiné à la base. Traces très faibles de Cul et de cu-an.

67. — Genre *EPITHRIX* FOUDRAS.

Genre ubiquiste. Nous décrivons l'aile d'*Epithrix pubescens* KOCH, sur un spécimen de Hongrie (Pl. XXXVII, fig. 11) :

Aile très petite ($2,5 \times 0,75$ mm), transparente. rt petit, ovalaire. Subsistent seulement M2 et (faiblement) 1A.

68. — Genre *TENOSIS* CLARK.

Genre néotropical. Nous décrivons l'aile de *Tenosis purpureipennis* CLARK, sur un spécimen argentin (Pl. XXXVI, fig. 7) :

Aile petite ($5,5 \times 1,5$ mm), faiblement chitinisée. rt petit, triangulaire. rm légèrement bisinué, pas de traces de M1. Traces de Cu1 qui est faiblement bisinué, mais cu-an disparu. 2A accolé à 1A.

69. — Genre *SANGARIA* HAROLD.

Genre américain. Nous décrivons l'aile de *Sangaria haagi* HAROLD, sur un spécimen de Colombie :

Aile petite ($5,25 \times 1,5$ mm), assez chitinisée. rt petit, triangulaire. rm légèrement bisinué. M1 disparu. Traces de Cu1 mais cu-an disparu.

70. — Genre *ORTHALTICA* CROTCH.

Genre des U.S.A. Nous décrivons l'aile d'*Orthaltica copalina* FABRICIUS (Pl. XXXVI, fig. 13) :

Aile petite ($3 \times 0,80$ mm), faiblement chitinisée. rt subtriangulaire, peu net. rm à l'état de trace. M1 disparu. Très légères traces de Cu1. Anales faibles avec 2A presque disparu.

71. — Genre *LIPRUS* MOTSCHULSKY.

Genre indo-malais. Nous décrivons l'aile de *Liprus longicollis* JACOBY, de Bornéo :

Aile très petite ($2,75 \times 0,75$ mm), transparente. rt triangulaire, peu net. Ne subsistent guère que les costo-radiales, M2 et 1A.

72. — Genre *ALEMA* SHARP.

Genre des îles Fidji et de la Nouvelle-Zélande. Nous décrivons l'aile d'*Alema paradoxa* SHARP, de Nouvelle-Zélande (Pl. XXXVI, fig. 17) :

Aile petite (4×1 mm), transparente. Subsistent seulement, et faiblement, les costo-radiales, rt, qui est ovalaire, M2, 1A et 2A.

73. — Genre *PSEUDODERA* BALY.

Genre de l'Extrême-Orient et des Indes. Nous décrivons l'aile de *Pseudodera xanthospila* BALY, de la Chine :

Aile petite ($9,5 \times 3,25$ mm), bien chitinisée. rt triangulaire. rm légèrement bisinué. M1 disparu. Traces de Cu1, qui est légèrement incurvé, ainsi que de cu-an.

74. — Genre MINOTA KUTSCHIG.

Genre paléarctique de la zone alpine, aptère.

75. — Genre PLECTROTETRA BALY.

Genre d'Amérique centrale. Nous décrivons l'aile de *Plectrotetra clarki* BALY, du Mexique :
Aile petite ($5,5 \times 1,5$ mm), assez chitinisée. rt triangulaire. rm bisinué peu net.
M1 disparu. Traces très faibles de Cu1 et de cu-an.

76. — Genre MINOTULA WEISE.

Genre aptère des îles Juan Fernandez. Nous avons disséqué *Minotula kuscheli* BECHYNÉ, sans trouver de rudiment alaire.

77. — Genre DIPHAULACA CHEVROLAT.

Genre américain, surtout néotropical. Nous décrivons l'aile de *Diphaulaca aulica* OLIVIER, du Mexique :

Aile petite ($6,5 \times 2$ mm), assez chitinisée. rt triangulaire. rm bisinué, peu net. M1 disparu. Cu1 et cu-an à l'état de faibles traces.

78. — Genre POËPHILINA CsIKI.

Genre éthiopien. Nous décrivons l'aile de *Poëphilina pulchella* LABOSSIÈRE, du Congo belge :

Aile très petite ($4,5 \times 1,5$ mm), faiblement chitinisée. rt triangulaire. rm légèrement bisinué. M1 disparu ainsi que Cu1 et cu-an.

79. — Genre ERIOTICA HAROLD.

Genre éthiopien. Nous décrivons l'aile d'*Eriotica fuscipennis* HAROLD :

Aile petite ($5,5 \times 1,75$ mm), faiblement chitinisée. rt lenticulaire. rm fortement bisinué. M1 disparu. Cu1 bisinué, faible, ainsi que cu-an.

80. — Genre HEIKERTINGERELLA CsIKI.

Genre néotropical. Nous décrivons l'aile d'*Heikertingerella adusta* HAROLD, du Pérou :

Aile petite (6×2 mm), moyennement chitinisée. rt subtriangulaire. rm fortement bisinué. M1 disparu ainsi que Cu1 et cu-an. Anales faibles.

81. — Genre PSEUDODIBOLIA JACOBY.

Genre monospécifique du Mexique. Nous décrivons l'aile de *Pseudodibolia picea* JACOBY :

Aile très petite (3×1 mm), transparente. rt lenticulaire. rm presque disparu. M1 disparu également. Traces très faibles de Cu1. Anales faibles.

82. — Genre SIMAETHEA BALY.

Genre indo-malais. Nous décrivons l'aile de *Simaethea laportei* BALY, de Malacca :

Aile moyenne (11×4 mm), assez chitinisée. rt losangique. rm bisinué, net partiellement. M1 disparu. Cu1 droit, à peine visible, sans cu-an.

83. — Genre PODAGRICA FOUDRAS.

Genre assez ubiquiste. Nous décrivons l'aile de *Podagraca malvae semirufa* KÜSTER, de Sicile :

Aile très petite (4×1 mm), transparente. rt rectangulaire. rm peu net. M1 disparu. Cu1 arqué avec cu-an droit. Un spécimen de Majorque est microptère et présente une écaille arrondie à l'apex, de $0,5 \times 0,25$ mm (Pl. XXXVI, fig. 20) :

Podagraca fuscicornis chrysomelina WALTL (Pl. XXXVI, fig. 18). Nous étudions un spécimen brachyptère d'Ibiza. Rudiment de $2 \times 0,5$ mm, peu chitinisé. Système costo-radial intact. rt ouvert. M2 net. Anales disparues. *Podagraca fuscipes* FABRICIUS est souvent aptère.

84. — Genre NISOTRA BALY.

Genre éthiopien et indo-australien. Nous décrivons l'aile de *Nisotra gemella* ERICHSON, de Sumatra :

Aile petite ($5 \times 1,5$ mm), faiblement chitinisée. rt rectangulaire. rm fortement bisinué. M1 disparu. Système cubito-anal faible, mais Cu1 et cu-an assez nets.

85. — Genre TOXARIA WEISE.

Genre éthiopien. Nous décrivons l'aile de *Toxaria lepersonneae* LABOISSIÈRE, du Congo belge :

Aile petite (9×3 mm), bien chitinisée. rt petit, subtriangulaire. rm légèrement bisinué. M1 disparu. Cu1 net, légèrement bisinué, avec cu-an droit et une transverse atteignant presque M2.

Toxaria indica FABRICIUS (Pl. XXXVII, fig. 4). Espèce du Cap :

Aile petite ($6,5 \times 2$ mm), assez chitinisée. rt triangulaire. rm bisinué, peu net. M1 disparu. Cu1 et cu-an très faibles.

86. — Genre CASSENA WEISE.

Genre indo-australien. Nous décrivons l'aile de *Cassena indica* JACOBY, de Birmanie :

Aile petite ($6,5 \times 2$ mm), bien chitinisée. rt triangulaire. rm incurvé. M1 net, légèrement bisinué. Cu1 net, bisinué avec cu-an droit et un début de transverse vers M2. La nervation alaire est typiquement galérucide et non halticide. On n'ignore pas que MAULIK (1936) avait placé le genre dans les Galérucides, ce qui est sans doute sa vraie place.

Nous décrivons également l'aile de *Cassena tonkinensis* WEISE, du Tonkin :

Aile petite ($7 \times 2,5$ mm), assez chitinisée. rt lenticulaire. rm bisinué, sans traces de M1a. M1 en accent circonflexe. M2, Cu1, 3A bisinué.

87. — Genre MANTURA STEPHENS.

Genre ubiquiste. Nous décrivons l'aile de *Mantura rustica* LINNÉ, sur un spécimen français (Pl. XXXVI, fig. 15) :

Aile très petite ($3 \times 0,75$ mm), transparente. rt ovalaire. rm presque disparu. M1 également. Du système cubito-anal subsiste seulement 1A, qui est faible.

88. — Genre CLITEA BALY.

Genre indien. Nous décrivons l'aile de *Clitea picta* BALY, de Konbir (Pl. XXXVI, fig. 4) :

Aile petite (7×2 mm), faiblement chitinisée. rt rectangulaire. rm fortement bisinué. M1 disparu. Cu1 légèrement incurvé, net, avec cu-an net et un début de transverse vers M2.

89. — Genre *CHAETOCNEMA* STEPHENS.

Genre ubiquiste, divisé en deux sous-genres.

Chaetocnema (Tlanoma) major JACQUIN.

Spécimen français : Aile très petite ($4 \times 1,25$ mm), transparente. rt ovalaire. rm bisinué. M1 absent. Traces de Cu1 et de cu-an. Anales faibles.

Chaetocnema (s. str.) rugiceps BALY.

Espèce de Madagascar : Aile petite ($5 \times 1,5$ mm), assez chitinisée. rt rectangulaire. rm bisinué. M1 disparu. Cu1 et cu-an assez nets.

90. — Genre *XENIDEA* BALY.

Genre d'Australie et de Nouvelle-Guinée. Nous décrivons l'aile de *Xenidea dimidiaticornis* JACOBY, de Nouvelle-Guinée (Pl. XXXVI, fig. 28) :

Aile petite ($4,5 \times 1,5$ mm), faiblement chitinisée. rt subtriangulaire. rm presque disparu. Absence de M1. Cu1 net partiellement ainsi qu'une transverse vers M2.

91. — Genre *EUPLECTROSCELIS* CROTCH.

Genre américain. Nous décrivons l'aile d'*Euplectroscelis xanti* CROTCH, de Californie :

Aile petite ($4 \times 1,25$ mm), peu chitinisée. rt lenticulaire. rm bisinué. Absence de M1. Vestiges de Cu1 et de cu-an.

92. — Genre *PODONTIA* DALMAN.

Genre indo-australien. Nous décrivons l'aile de *Podontia affinis* GRONDAL, de Java (Pl. XXXVII, fig. 2) :

Aile moyenne ($13 \times 4,5$), assez chitinisée, rembrunie à l'apex. rt triangulaire. rm fortement bisinué avec traces de M1a. M1 à l'état de légères traces. Cu1 légèrement incurvé, séparé de cu-an droit en diagonale.

93. — Genre *OPHRIDA* CHAPUIS.

Genre indo-malais. Nous décrivons l'aile d'*Ophrida guttata* CHAPUIS, de Malacca :

Aile moyenne ($11,5 \times 3$ mm), moyennement chitinisée. rt triangulaire. rm bisinué. M1 disparu. Traces de Cu1 et de cu-an.

94. — Genre *NEORTHAEA* MAULIK.

Genre indo-malais. Nous décrivons l'aile de *Neorthaea coerulea* CHEN, du Tonkin (Pl. XXXVII, fig. 14) :

Aile petite ($7 \times 2,5$ mm), bien chitinisée. rt rectangulaire. rm fortement trisinué. Absence de M1. Cu1 net, incurvé, avec cu-an droit et une transverse n'atteignant pas M2.

95. — Genre *BLEPHARIDA* ROGERS.

Genre ubiquiste. Nous décrivons l'aile de *Blepharida marginalis* WEISE, du Tanganika (Pl. XXXVII, fig. 17) :

Aile moyenne ($10 \times 3,5$ mm), assez chitinisée, rembrunie à l'apex. rt triangulaire. rm légèrement bisinué. Absence de M1. Cu1 incurvé, net, prolongé par cu-an avec un début de transverse vers M2.

96. — Genre *NOTOZONA* CLARK.

Genre néotropical. Nous décrivons l'aile de *Notozona guatemalensis* DUVIVIER, du Guatemala :

Aile moyenne ($10,5 \times 3,5$ mm), bien chitinisée. rt rectangulaire. rm bisinué. Absence de M1. Cu1 incurvé, net, avec cu-an en diagonale, droit et un début de tranverse vers M2.

97. — Genre *ASPICELA* CLARK.

Genre néotropical. Nous décrivons l'aile d'*Aspicela albomarginata* LATREILLE, de l'Équateur :

Aile moyenne ($11,5 \times 3,5$ mm), bien chitinisée. rt triangulaire. rm prolongeant RS et m presque en ligne droite. Absence de M1. Traces de Cu1 et de cu-an, droit, en diagonale.

98. — Genre *ASPHAEA* CHEVROLAT.

Genre néotropical. Nous décrivons l'aile d'*Asphaera nobilitata* FABRICIUS, du Honduras britannique :

Aile petite (8×3 mm), bien chitinisée. rt triangulaire. rm légèrement bisinué. Absence de M1. Traces de Cu1, légèrement bisinué et de cu-an, en diagonale.

99. — Genre *HOMOPHOETA* ERICHSON.

Genre néotropical. Nous décrivons l'aile d'*Homophoeta albofasciata* JACOBY, sur un spécimen de Cayenne :

Aile petite ($8 \times 2,5$ mm), bien chitinisée. rt triangulaire. rm à peine sinué. Absence de M1. Cu1 faible, incurvé, avec cu-an faible, en diagonale.

100. — Genre *PACHYONYCHIS* CLARK.

Genre des U.S.A. Nous décrivons l'aile de *Pachyonychis paradoxa* CLARK, de Géorgie (Pl. XXXVII, fig. 9) :

Aile petite ($5 \times 1,5$ mm), faiblement chitinisée. rt peu net, ouvert. rm bisinué. Absence de M1, de Cu1 et de cu-an. Anales faibles.

101. — Genre *OEDIONYCHUS* BERTHOLD.

Genre ubiquiste divisé en trois sous-genres.

Oedionychus (s. str.) *circumcinctus* BALY.

Espèce du Brésil : Aile moyenne ($13 \times 4,5$ mm), bien chitinisée. rt triangulaire. rm légèrement trisinué. Absence de M1. Cu1 assez net, presque droit, avec cu-an en diagonale.

Oedionychus (*Philopona*) *goudoti* HAROLD.

Espèce de Madagascar (Pl. XXXVII, fig. 7) :

Aile petite ($9,5 \times 3,5$ mm), bien chitinisée, rembrunie à l'apex. rt ovalaire. rm bisinué. Absence de M1, de Cu1 et de cu-an.

Oedionychus (*Philopona*) *fulvicollis* FABRICIUS.

Espèce du Congo belge : Aile petite ($5 \times 1,5$ mm), moyennement chitinisée. rt rectangulaire. rm presque droit. Absence de M1, de Cu1 et de cu-an.

102. — Genre *HYPHASIS* HAROLD.

Genre monospécifique des Indes. Nous décrivons l'aile d'*Hyphasis magica* HARSBD :

Aile petite ($13 \times 2,5$ mm), bien chitinisée. rt trapézoïdal. rm légèrement sinué. Absence de M1. Faibles traces de Cu1 et de cu-an.

103. — Genre *HYPHASOMA* JACOBY.

Genre indo-malais. Nous décrivons l'aile d'*Hyphasoma indicum* BALY, de l'Assam :

Aile petite (9×3 mm), assez chitinisée. rt lenticulaire. rm bisinué. Absence de M1. Faibles traces de Cu1, cu-an et d'une transverse vers M2.

104. — Genre *SEBAETHE* BALY.

Genre de l'ancien monde, surtout tropical. Nous décrivons l'aile de *Sebaethe lusca* FABRICIUS, de Sumatra (Pl. XXXVII, fig. 5) :

Aile petite ($7,5 \times 2,5$ mm), assez chitinisée. rt lenticulaire. rm fortement bisinué. Absence de M1. Traces de Cu1, cu-an et une transverse vers M2.

105. — Genre *SPHAEROMETOPA* CHAPUIS.

Genre indo-malais. Nous décrivons l'aile de *Sphaerometopa acroleuca* WIEDEMANN, de Sumatra (Pl. XXXVII, fig. 8) :

Aile moyenne ($12 \times 4,5$ mm), bien chitinisée. rt grand, losangique. rm bisinué avec traces de M1a. M1 bisinué, net. Cu1 incurvé, avec cu-an en prolongement. Cette nervation est typiquement galérucide. Peut-être la position systématique de ce genre est à rectifier.

Sphaerometopa nigricollis DUVIVIER, de Malacca (type examiné), a une aile plus petite ($10 \times 3,25$ mm), à nervation très voisine, de type purement galérucide avec M1, Cu1 et cu-an bien développés. rm et M1a également de type galérucide.

106. — Genre *SUTREA* BALY.

Genre de l'Indonésie et Australie. Nous décrivons l'aile de *Sutrea bipustulata* BALY, de Nouvelle-Guinée :

Aile petite ($6,5 \times 2$ mm), bien chitinisée. rt trapézoïdal. rm bisinué. Absence de M1. Cu1 incurvé, peu net, avec cu-an droit et un début de transverse vers M2. 2A mince.

107. — Genre *PHYSONYCHIS* CLARK.

Genre éthiopien. Nous décrivons l'aile de *Physonychis viridipennis* DALMAN, de Sierra Leone :

Aile moyenne ($10,5 \times 3,5$ mm), bien chitinisée. rt losangique. rm presque droit. Absence de M1. Traces légères de Cu1, séparé de cu-an en diagonale.

108. — Genre *PHYSOMA* CHAPUIS.

Genre éthiopien. Nous décrivons l'aile de *Physoma tripartitum* THOMSON, du Gabon :

Aile moyenne (11×4 mm), bien chitinisée. rt subrectangulaire. rm presque droit. Absence de M1. Cu1 droit, net, avec cu-an en diagonale et un début de transverse vers M2, ces derniers peu nets.

109. — Genre PHYSODACTYLA CHAPUIS.

Genre éthiopien. Nous décrivons l'aile de *Physodactyla rubiginosa* GERSTAECKER, du Gabon :

Aile moyenne ($11,5 \times 4,5$ mm), bien chitinisée. rt trapézoïdal. rm bisinué. Absence de M1. Traces très légères de Cu1.

110. — Genre DIAMPHIDIA GERSTAECKER.

Genre éthiopien. Nous décrivons l'aile de *Diamphidia favareli* ACHARD, du Congo belge :

Aile moyenne (14×5 mm), bien chitinisée, rembrunie à l'apex. rt trapézoïdal. rm bisinué. Absence de M1. Cu1 net, incurvé, avec cu-an en diagonale et un début de transverse vers M2.

111. — Genre CLADOCERA HOPE.

Genre éthiopien. Nous décrivons l'aile de *Cladocera flexuosa* BALY, de Zanzibar (Pl. XXXVII, fig. 1) :

Aile assez grande ($17 \times 5,5$ mm), bien chitinisée. rt triangulaire. rm légèrement bisinué. Absence de M1. Cu1 très net, incurvé, avec cu-an en diagonale et un début de transverse vers M2.

112. — Genre MONOPLATUS CLARK.

Genre néotropical. Nous décrivons l'aile de *Monoplatus dimidiatipennis* CLARK, du Brésil :

Aile petite ($8 \times 2,5$ mm), bien chitinisée. rt lenticulaire. rm bisinué, peu net. Absence de M1. Traces faibles de Cu1 et de cu-an.

113. — Genre RHOICUS GEMMINGER et HAROLD.

Genre néotropical. Nous décrivons l'aile de *Rhoicus vittatus* CLARK, du Brésil :

Aile petite ($6,5 \times 2$ mm), bien chitinisée. rt lenticulaire. rm bisinué. Absence de M1. Cu1 droit, assez net, parallèle à 1A, sans cu-an.

114. — Genre RHINOTMETUS CLARK.

Genre néotropical. Nous décrivons l'aile de *Rhinotmetus cyaneus* CLARK, du Brésil :

Aile petite (10×3 mm), bien chitinisée. rt subtriangulaire. rm légèrement bisinué. Absence de M1. Traces de Cu1, parallèle à 1A, sans cu-an.

115. — Genre PHYSIMERUS CLARK.

Genre néotropical. Nous décrivons l'aile de *Physimerus vittatus* CLARK, du Brésil :

Aile petite ($7,5 \times 2,5$ mm), assez chitinisée. rt lenticulaire. rm à peine sinué. Cu1 droit, parallèle à 1A, sans cu-an.

116. — Genre ZOMBA BRYANT.

Genre éthiopien. Nous décrivons l'aile de *Zomba zeal* BRYANT, du Nord-Ouest de Rhodésie :

Aile très petite (3×1 mm), transparente. rt subtriangulaire. Traces de rm. Traces de Cu1, à peine visibles.

117. — Genre HYPANTHERUS CLARK.

Genre néotropical. Nous décrivons l'aile d'*Hypantherus amabilis* CLARK, de l'Amazone :

Aile petite (6×2 mm), assez chitinisée. rt lenticulaire. rm à peine sinué. Cu1 droit, mince, parallèle à 1A, sans cu-an.

118. — Genre *THRASYGOEUS* CLARK.

Genre néotropical. Nous décrivons l'aile de *Thrasygoeüs maculicollis* JACOBY, du Brésil :
Aile petite ($10,5 \times 3$ mm), bien chitinisée. rt lenticulaire. rm à peine sinué. Cu1 droit,
faible, parallèle à 1A, sans cu-an.

119. — Genre *OMOTYPHUS* GEMMINGER et HAROLD.

Genre néotropical. Nous décrivons l'aile d'*Omotypus lacunosus* CLARK, du Brésil :
Aile petite ($8 \times 2,5$ mm), moyennement chitinisée, rembrunie à l'apex. rt lenticulaire.
rm incurvé. Absence de M1. Traces de Cu1 mais non de cu-an.

120. — Genre *LOXOPROSOPUS* GUÉRIN.

Genre néotropical. Nous décrivons l'aile de *Loxoprosopus ceramboïdes* GUÉRIN, du
Brésil :

Aile petite ($8,5 \times 2,75$), assez chitinisée. rt lenticulaire. rm légèrement bisinué. Absence
de M1. Traces de Cu1, qui est parallèle à 1A, sans cu-an.

121. — Genre *OCTOGONOTES* DRAPIEZ.

Genre néotropical. Nous décrivons l'aile d'*Octogonotes banoni* DRAPIEZ, de Cayenne :
Aile petite ($8 \times 2,5$ mm), bien chitinisée. rt lenticulaire. rm légèrement bisinué. Absence
de M1. Cu1 faible, parallèle à 1A, sans cu-an.

122. — Genre *HAPALOTRIUS* CLARK.

Genre néotropical. Nous décrivons l'aile d'*Hapalotrius pubescens* CLARK, de l'Amazone :
Aile petite ($7,5 \times 2,5$ mm), bien chitinisée. rt lenticulaire. rm légèrement bisinué.
Absence de M1. Disparition complète de Cu1 et de cu-an.

123. — Genre *EXARTEMATOPUS* CLARK.

Genre néotropical. Nous décrivons l'aile d'*Exartematus fasciatus* CLARK, du Mexique :
Aile petite (7×2 mm), assez chitinisée. rt triangulaire. rm bisinué. Absence de M1.
Traces de Cu1, qui est droit, parallèle à 1A, sans cu-an. Anales faibles.

124. — Genre *IDMOSYNE* GEMMINGER et HAROLD.

Genre néotropical. Nous décrivons l'aile d'*Idmosyne semipurpurea* HAROLD, de
Colombie :

Aile petite ($9,5 \times 3$ mm), bien chitinisée. rt lenticulaire. rm presque droit. Absence
de M1; Cu1 droit, assez faible, parallèle à 1A.

125. — Genre *ATYPHUS* CLARK.

Genre néotropical. Nous décrivons l'aile d'*Atypus comes* CLARK, sur un spécimen
bésilien :

Aile petite ($6,5 \times 2$ mm), assez chitinisée. rt lenticulaire. rm presque droit. Absence
de M1. L'aile étant déchirée, la partie cubito-anale nous manque.

126. — Genre *CERICRESTUS* CLARK.

Genre néotropical. Nous décrivons l'aile de *Cericrestus clarki* JACOBY, de Panama :

Aile petite (6×2 mm), assez chitinisée. rt lenticulaire. rm effacé. Absence de M1.
Cu1 mince, parallèle à 1A, sans cu-an.

127. — Genre POËBATES CLARK.

Genre néotropical. Nous décrivons l'aile de *Poëbates nigripes* CLARK, du Brésil :
Aile petite ($4,5 \times 1,5$ mm), assez chitinisée. rt lenticulaire. rm légèrement bisinué.
Absence de M1. Traces de Cu1, parallèle à 1A, sans cu-an.

128. — Genre HYPOLAMPSIS CLARK.

Genre néotropical. Nous décrivons l'aile d'*Hypolampsis murrayi* CLARK, du Brésil :
Aile petite ($4 \times 1,5$ mm), peu chitinisée. rt triangulaire. rm bisinué. Absence de M1.
Très faibles traces de Cu1.

129. — Genre DIBOLIA LATREILLE.

Genre ubiquiste. Nous décrivons l'aile de *Dibolia femoralis* REDTENBACHER, sur un spécimen d'Europe :

Aile petite ($4 \times 1,25$ mm), transparente. rt lenticulaire. rm peu net. Absence de M1, de Cu1 et de cu-an. Anales faibles, surtout 2A.

130. — Genre MEGISTOPS BOHEMAN.

Genre néotropical. Nous décrivons l'aile de *Megistops fenestra* ILLIGER, du Brésil :
Aile petite ($7,5 \times 2,5$ mm), assez chitinisée. rt triangulaire. rm bisinué. Absence de M1, Cu1 et cu-an. Anales faibles.

131. — Genre PARADIBOLIA BALY.

Genre éthiopien, australien et indien. Nous décrivons l'aile de *Paradibolia coerulea* BRYANT, de l'Uele (Pl. XXXVII, fig. 3) :

Aile petite (6×2 mm), assez chitinisée. rt ovalaire. rm légèrement bisinué. Absence de M1. Très faibles traces de Cu1, qui est incurvé.

132. — Genre NESOHALTICA MAULIK.

Genre des Nouvelles-Hébrides, Salomon, Samoa et Fidji. Nous décrivons l'aile de *Nesohaltica leveri* BRYANT, des îles Salomon :

Aile très petite (3×1 mm), transparente. rt peu net. rm peu net, droit. Absence de M1, Cu1 et cu-an. Anales faibles.

133. — Genre AMPHIMELA CHAPUIS.

Genre indo-australien. Nous décrivons l'aile d'*Amphimela mouhoti* CHAPUIS, du Laos :
Aile petite ($5 \times 1,5$ mm), peu chitinisée. rt triangulaire. rm fortement trisinué. Absence de M1. Traces partielles et faibles de Cu1.

134. — Genre ACROCRYPTA BALY.

Genre indo-malais. Nous décrivons l'aile d'*Acrocrypta cumingi* BALY, des Philippines (Pl. XXXVI, fig. 24) :

Aile petite ($9 \times 3,5$ mm), bien chitinisée. rt subtriangulaire. rm coudé avec M1a net. M1 légèrement sinué, net. Cu1 bisinué avec cu-an droit et un début de transverse vers M2. Phénomène curieux : à l'apex de an1, traces d'une transverse vers M2. Nervation typiquement galérucide.

135. — Genre CERCYONIA WEISE.

Genre éthiopien. Nous décrivons l'aile de *Cercyonia marginicollis* LABOISSIÈRE, du Congo belge :

Aile très petite ($5 \times 1,5$ mm), faiblement chitinisée. rt triangulaire. rm peu net. Absence de M1, Cu1 et cu-an. Anales presque complètement effacées.

136. — Genre TORODERA WEISE.

Genre éthiopien. Nous décrivons l'aile de *Torodera decorata* LABOISSIÈRE, du Katanga (Pl. XXXVI, fig. 6) :

Aile petite ($5,5 \times 2$ mm), assez chitinisée. rt triangulaire. rm peu net. Absence de M1. Très légères traces de Cu1.

137. — Genre SPHAERODERMA STEPHENS.

Genre ubiquiste. Nous décrivons l'aile de *Sphaeroderma laevipenne* JACOBY, de Sumatra (Pl. XXXVI, fig. 11) :

Aile petite (6×2 mm), peu chitinisée. rt subtriangulaire. rm peu net, à peine sinué. Absence de M1. Cu1 incurvé, peu net, avec cu-an en diagonale et un soupçon de transverse vers M2.

138. — Genre CHABRIA JACOBY.

Genre indo-australien. Nous décrivons l'aile de *Chabria angulicollis* CLARK, de Malaisie :

Aile petite ($7 \times 2,5$ mm), faiblement chitinisée. rt trapézoïdal. rm partiellement effacé. Absence de M1. Traces de Cu1 et de cu-an.

139. — Genre PENTAMESA HAROLD.

Genre indien. Nous décrivons l'aile de *Pentamesa duodecimmaculata* HAROLD, des Indes britanniques :

Aile petite (7×2 mm), assez chitinisée. rt lenticulaire. rm fortement bisinué. Traces de M1 et, très faibles, de Cu1.

140. — Genre ARGOPUS FISCHER.

Genre ubiquiste. Nous décrivons l'aile d'*Argopus rubricosus* BOHEMAN, de Malacca :

Aile petite ($7 \times 2,5$ mm), bien chitinisée. rt triangulaire. rm fortement coudé. Faibles traces de M1. Traces plus nettes de Cu1, incurvé, de cu-an et d'une transverse vers M2.

141. — Genre EUPHITREA BALY.

Genre indo-malais. Nous décrivons l'aile d'*Euphitrea wallacei* BALY, de Java :

Aile moyenne (12×4 mm), bien chitinisée. rt rectangulaire. rm fortement bisinué. Absence de M1. Cu1 sinué, net, avec cu-an en diagonale et une transverse vers M2.

142. — Genre APTEROPEDA STEPHENS.

Genre d'Europe et du Nord de l'Afrique, aptère.

143. — Genre MNIOPHILA STEPHENS.

Genre monospécifique (*M. muscorum* KOCH), européen, aptère.

144. — Genre THROSCORYSSA MAULIK.

Genre monospécifique de l'Assam. Nous décrivons l'aile de *Throscoryssa citri* MAULIK : Aile petite ($5 \times 1,5$ mm), faiblement chitinisée. rt rectangulaire. rm bisinué, peu net. Absence de M1. Traces assez nettes de Cu1 et de cu-an.

145. — Genre ARGOPISTES MOTSCHULSKY.

Genre ubiquiste. Nous décrivons l'aile d'*Argopistes biplagiatus* ab. *suturalis* MOTSCHULSKY, de l'Amour (Pl. XXXVII, fig. 12) :

Aile petite (6×2 mm), assez chitinisée. rt lenticulaire. rm peu net, légèrement bisinué. Absence de M1, de Cu1 et de cu-an. Anales très faibles.

146. — Genre CHILOCORISTES WEISE.

Genre indo-malais. Nous décrivons l'aile de *Chilocoristes laevigatus* JACOBY, des îles Andaman :

Aile petite ($7 \times 2,5$ mm), bien chitinisée. rt subtriangulaire. rm fortement bisinué. Absence de M1. Faibles traces de Cu1, de cu-an en diagonale et d'une transverse vers M2.

147. — Genre IVALIA JACOBY.

Genre de Ceylan, aptère.

148. — Genre PSYLLIODES LATREILLE.

Genre de l'ancien monde. Nous décrivons l'aile de *Psylliodes* (s. str.) *chrysocephala* L., d'Europe (Pl. XXXVII, fig. 15) :

Aile petite ($4,5 \times 1,5$ mm), transparente. rt subtriangulaire. rm faible, bisinué. Absence de M1, Cu1 et cu-an. Anales faibles.

149. — Genre NONARTHRA BALY.

Genre indo-australien. Nous décrivons l'aile de *Nonarthra variabile* BALY, des Indes :

Aile petite ($5 \times 1,5$ mm), assez chitinisée. rt triangulaire. rm coudé, avec traces de M1a. M1 net, bisinué. Cu1 bisinué, avec cu-an en prolongement et un début de transverse vers M2. Nervation de type galérucide.

150. — Genre TERPNOCHLORUS FAIRMAIRE.

Genre malgache, importé au Soudan, attribué aux Galérucides mais, en réalité, un Halticide (LABOISSIÈRE, 1932). Nous décrivons l'aile de *Terpnochlorus perrieri* FAIRMAIRE, sur un spécimen du Soudan français :

Aile petite (4×1 mm), transparente. Nervures très faibles. Seuls subsistent les costoradiales et M2.

CONCLUSIONS SUR LES HALTICIDAE.

La principale caractéristique de la nervation dite halticide est de simplifier le type galérucide, qui est déjà une simplification du type chrysomélide. Les Halticides et les Galérucides étant fort voisins et parfois, dans les genres de transition, difficiles à séparer, il est normal que l'on rencontre parfois, surtout dans les espèces primitives, des Halticides à nervation Galérucide. Des erreurs de systématique sont également à rectifier, des Halticides ayant été versés parmi les Galérucides, et vice versa. On distingue, parmi les Halticides, les types alaires suivants :

1. Type galérucide. — Représenté dans les espèces primitives, dites de transition. Il est essentiellement caractérisé par rm coudé, avec traces de M_{1a}, M₁ net ainsi que Cu₁ et cu-an. Souvent une transverse vers M₂.

2. Type hälticide. — C'est le type précédent plus évolué. Généralement rm est bisinué, sans trace de M_{1a}, joignant l'extrémité de RS à m. M₁ a disparu ainsi que, totalement ou partiellement, Cu₁ et cu-an. Dans les cas d'extrême régression, les distales et les anales disparaissent ou s'effacent.

3. Type brachyptère. — Il est très rare chez les Hälticides. Le brachyptérisme y suit les mêmes lois que dans les autres familles : le bord apical et vannal se réduit et les nervures se condensent. Nous n'avons guère observé de brachyptérisme que chez *Derocrepis* et quelques *Podagraca*.

4. Type microptère. — Ce type, très commun dans certains genres (*Podagraca*, *Longitarsus*, etc.), est caractérisé par la réduction de l'aile à l'état d'écaille, avec ou sans vestiges de nervures.

5. Type aptère. — Ce type se rencontre chez les espèces insulaires et montagnardes mais également chez des espèces continentales, seul ou combiné avec le macroptérisme. Souvent les aptères et macroptères ont une écologie différente ou une distribution différente. Ceci sera discuté plus loin, à propos de l'aptérisme. Citons parmi les genres aptères : *Batophila*, *Trachytetra*, *Minotula* (insulaire), *Minota* (alpin), *Podagraca* (quelques espèces), *Apteropeda*, *Mniophila*, *Ivalia* et *Orestia*.

15. — HISPIDAE.

Les Hispides, étroitement apparentés aux Cassidides, sont parfois hérissés de piquants, parfois lisses. Ils sont inféodés le plus souvent à des Monocotylédones (Graminées, Palmiers). Les larves sont généralement mineuses de feuilles. Les adultes ont parfois des organes stridulants. C'est parmi les Hispides que l'on rencontre les plus grands Chrysomeloidea et donc les plus grandes ailes.

La nervation alaire des Hispides, comme celle des Cassidides, est de type cryptostomique. En voici le description : voisin du type camptosomatique, mais en diffère surtout par le développement de Cu₁ qui est continu, ou presque, avec la deuxième cellule anale an₂. Chez le type camptosomatique, Cu₁ est interrompu. De plus, an₁ et an₂ ont une forme légèrement différente. Seuls les Cassidides présentent un schéma typiquement cryptostomique. Les Hispides s'en éloignent parfois et la nervure transversale antérieure r est souvent atrophiée (rt ouvert).

Nous décrivons les ailes des genres d'Hispides, suivant l'ancienne classification de WEISE (1911) :

1. — Genre AMPLIPALPA HAROLD.

Genre néotropical. Nous décrivons l'aile d'*Amplipalpa guérini* BALY, de Panama (Pl. XXXVIII, fig. 9) :

Aile petite ($7 \times 2,5$ mm), bien chitinisée. rt triangulaire. rm très bisinué. M₁ en accent circonflexe, mais à partie basale effacée. Cu₁ presque droit avec des traces de cu-an 1A trisinué.

2. — Genre HOMALISPA BALY.

Genre néotropical. Nous décrivons l'aile d'*Homalispa grayella* BALY, du Brésil (Pl. XXXVIII, fig. 16) :

Aile petite ($5,5 \times 2$ mm), moyennement chitinisée. rt trapézoïdal. rm coudé avec M_{1a} net. M₁ bisinué, net. Cu₁ incurvé, joignant, par une transverse incurvée (m-cu), M₂ et, par une autre transverse, an₂, qui est triangulaire.

3. — Genre DEMOTHISPA BALY.

Genre néotropical. Nous décrivons l'aile de *Demothispa latifrons* WEISE, de Colombie : Aile petite ($5,5 \times 1,5$ mm), faiblement chitinisée, rembrunie à l'apex. rt triangulaire. rm bisinué, peu net. M1 incurvé. Système cubito-anal faible. Cul joignant M2 et an₂, qui est triangulaire.

4. — Genre CEPHALOLIA BLANCHARD.

Genre néotropical. Nous décrivons l'aile de *Cephalolia consaguinea* BALY, du Guatémala (Pl. XXXIX, fig. 15) :

Aile petite (6×2 mm), bien chitinisée. rt subtriangulaire. rm à peine sinué, sans trace de M1a. M1 légèrement en accent circonflexe. Cul incurvé, relié à M2 mais non à an₂, qui est triangulaire.

5. — Genre SOLENISPA WEISE.

Genre néotropical. Nous décrivons l'aile de *Solenispa leptomorpha* BALY, de Panama :

Aile petite ($5 \times 1,5$ mm), peu chitinisée. rt subtriangulaire. rm légèrement coudé. M1 en accent circonflexe. Cul relié à M2 et à an₂, qui est triangulaire. 2A effacé.

6. — Genre STENISPA BALY.

Genre néotropical. Nous décrivons l'aile de *Stenispa metallica* FABRICIUS, des U.S.A. (Caroline) :

Aile petite ($4 \times 1,25$ mm), transparente. rt subrectangulaire. rm presque disparu. M1 incurvé, disparu basalement. Cul incurvé, relié faiblement à M2, non à an₂, qui est triangulaire. 2A effacé.

7. — Genre HYBOSISPA WEISE.

Genre néotropical. Nous décrivons l'aile d'*Hybosipa nitida* UHMANN, du Brésil :

Aile très petite ($4 \times 1,5$ mm), peu chitinisée. rt triangulaire. rm bisinué. M1 en accent circonflexe. Cul incurvé, relié à M2, non à an₂, qui est triangulaire. 2A effacé.

8. — Genre XENARESCUS WEISE.

Genre néotropical. Nous décrivons l'aile de *Xenarescus monoceros* OLIVIER, du Venezuela (Pl. XXXVIII, fig. 7) :

Aile moyenne (12×4 mm), bien chitinisée, rembrunie à l'apex. rt triangulaire. rm fortement bisinué. M1 en accent circonflexe. Cul sinué, relié à an₂, qui est triangulaire, et non M2.

9. — Genre ARESCUS PERTY.

Genre néotropical. Nous décrivons l'aile d'*Arescus labiatus* PERTY, du Brésil :

Aile moyenne (11×4 mm), bien chitinisée. rt triangulaire. rm coudé, avec M1a net. M1 incurvé. Cul incurvé, joignant presque an₂, qui est triangulaire, et non M2.

10. — Genre CHELOBASIS GRAY.

Genre néotropical. Nous décrivons l'aile de *Chelobasis bicolor* GRAY, de Costa Rica (Pl. XXXIX, fig. 12) :

Aile petite ($9,5 \times 3,5$ mm), bien chitinisée, rembrunie à l'apex. rt triangulaire. rm coudé, avec M1a net. M1 bisinué. Cul légèrement incurvé, n'atteignant pas M2, ni an₂, qui est lenticulaire

11. — Genre *NYMPHARESCUS* WEISE.

Genre néotropical. Nous décrivons l'aile de *Nympharescus proteus* WEISE, de Colombie (Pl. XXXIX, fig. 17) :

Aile petite ($10 \times 3,5$ mm), bien chitinisée. rt triangulaire. rm coudé avec traces de M1a. M1 bisinué. Cu1 incurvé, joignant an2, qui est lenticulaire, mais non M2.

12. — Genre *ALURNUS* FABRICIUS.

Genre néotropical. Nous décrivons l'aile d'*Alurnus undatus* BRÈME, de Colombie (Pl. XXXIX, fig. 16) :

Aile assez grande (14×5 mm), bien chitinisée. rt triangulaire. rm bisinué, sans M1a. M1 incurvé, effacé à la base. Cu1 incurvé, bifide à la base mais n'atteignant ni M2, ni an2, qui est losangique. 3A très fortement bisinué.

13. — Genre *MECISTOMELA* JACOBSON.

Genre néotropical, divisé en deux sous-genres.

Mecistomela (s. str.) *marginata* LATREILLE.

Espèce du Brésil : Aile très grande (18×7 mm), bien chitinisée. rt triangulaire. rm bisinué, sans M1a. M1 en accent circonflexe, effacé à la base. Cu1 incurvé, n'atteignant ni M2, ni an2, qui est lenticulaire.

Mecistomela (*Coraliomela*) *corallina* VIGORS.

Espèce du Brésil : Aile très grande (19×7 mm), très chitinisée. rt triangulaire. rm bisinué sans M1a. M1 en accent circonflexe, effacé à la base. Cu1 incurvé avec de faibles transverses joignant M2 et an2, qui est lenticulaire.

14. — Genre *PSILURNUS* WEISE.

Genre brésilien. Nous décrivons l'aile de *Psilurnus consanguineus* WEISE :

Aile très grande (25×9 mm), la plus grande connue chez les *Chrysomeloidea*, très chitinisée. rt triangulaire. rm coudé avec traces de M1a. M1 incurvé. Cu1 incurvé, n'atteignant ni M2, ni an2, qui est lenticulaire.

15. — Genre *PROSOPODONTA* BALY.

Genre néotropical. Nous décrivons l'aile de *Prosopodonta costata* WATERHOUSE, de l'Équateur :

Aile petite ($9,5 \times 3,5$ mm), assez chitinisée. rt subtriangulaire. rm bisinué, effacé. M1 en accent circonflexe. Cu1 joignant M2 et an2.

16. — Genre *CEPHALODONTA* BALY.

Genre néotropical, divisé en quatre sous-genres.

Cephalodonta (s. str.) *maculata* OLIVIER.

Espèce du Brésil (Pl. XXXVIII, fig. 5) :

Aile moyenne ($13,5 \times 4,5$ mm), assez chitinisée. rt triangulaire. rm coudé, avec M1a net. M1 incurvé, à base disparue. Cu1 incurvé, avec traces de transverses fermant an2. an1 non fermé à l'apex, 1A et 2A étant disjoints. 3A fortement bisinué.

Cephalodonta (Pseudispa) westwoodi BALY.

Espèce du Venezuela (Pl. XXXVIII, fig. 10) :

Aile petite ($8 \times 2,5$ mm), bien chitinisée. rt trapézoïdal. rm coudé avec M1a net. M1 incurvé, disparu à la base. Cul incurvé, avec traces des liaisons fermant an2. an1 fermé.

Cephalodonta (Microdonta) scherzeri BALY.

Espèce du Venezuela : Aile petite ($8 \times 2,5$ mm), bien chitinisée. rt trapézoïdal. rm coudé avec M1a net, long. M1 incurvé, disparu à la base. Cul incurvé, avec traces de liaisons fermant an2. an1 fermé à l'apex.

Cephalodonta (Ocnosispa) conicicollis BALY.

Espèce du Brésil : Aile petite ($8 \times 2,5$ mm), bien chitinisée. rt trapézoïdal. rm coudé avec M1a net, long. Le reste de la nervation pratiquement identique à la précédente.

17. — Genre ACENTROPTERA BALY.

Genre néotropical. Nous décrivons l'aile d'*Acentroptera pulchella* GUÉRIN, du Brésil :

Aile petite ($10 \times 3,5$ mm), bien chitinisée, rembrunie à l'apex. rt trapézoïdal. rm coudé avec M1a net. M1 incurvé, disparu à la base. Cul incurvé avec, sur cette nervure et 1A, des traces des transverses disparues devant fermer an2.

18. — Genre HISPOLEPTIS BALY.

Genre néotropical. Nous décrivons l'aile d'*Hispoleptis diluta* GUÉRIN, de Cayenne (Pl. XXXIX, fig. 7) :

Aile petite ($8 \times 2,5$ mm), bien chitinisée. rt trapézoïdal. rm bisinué. M1 en accent circonflexe. Cul incurvé, ne joignant pas M2, avec une transverse cu-an, joignant 1A.

19. — Genre METAXYCERA BALY.

Genre néotropical. Nous décrivons l'aile de *Metaxydora purpurata* GUÉRIN, du Brésil (Pl. XXXIX, fig. 9) :

Aile petite (10×3 mm), bien chitinisée. rt triangulaire. rm coudé, avec M1a net. M1 incurvé. Cul incurvé, atteignant presque M2 et relié partiellement avec 1A par deux transverses, fermant an2. an1 fermé.

20. — Genre PARADECATELIA UHMANN.

Genre néotropical. Nous décrivons l'aile de *Paradecatelia pallipes* WEISE, du Brésil :

Aile très petite $2,5 \times 0,75$ mm), transparente. rt effacé, subtriangulaire. M1 incurvé. Cul presque droit, relié ni à M2, ni à 1A. 2A effacé.

21. — Genre STETHISPA BALY.

Genre néotropical. Nous décrivons l'aile de *Stethispa bonvouloiri* BALY, de l'Amazone :

Aile petite (9×3 mm), bien chitinisée. rt triangulaire. rm très particulier, en Z, avec de part et d'autre M1a très net. M1 en accent circonflexe. Cul incurvé, avec traces des transverses devant fermer an2.

22. — Genre CHARISTENA BALY.

Genre néotropical. Nous décrivons l'aile de *Charistena ruficollis* FABRICIUS, du Brésil (Pl. XXXVIII, fig. 1) :

Aile petite (4×1 mm), bien chitinisée. rt triangulaire. rm bisinué. M1 incurvé. Cul incurvé, avec faibles traces de liaison avec 1A. 2A faible.

23. — Genre *STERNOSTENA* WEISE.

Genre néotropical. Nous décrivons l'aile de *Sternostena varians apicalis* WEISE, du Brésil :
Aile petite ($5 \times 1,75$ mm), bien chitinisée. rt triangulaire. rm bisinué avec traces de M1a.
M1 incurvé. Cul incurvé, avec traces de transverses fermant an2.

24. — Genre *ANISOSTENA* WEISE.

Genre surtout néotropical. Nous décrivons l'aile d'*Anisostena nigrita* OLIVIER, des U.S.A. (Caroline) :

Aile petite ($5,5 \times 2$ mm), assez chitinisée. rt triangulaire. rm bisinué avec traces de M1a.
M1 en accent circonflexe. Cul incurvé, avec traces des transverses fermant an2.

25. — Genre *ANOPLITIS* CHAPUIS.

Genre surtout néotropical. Nous décrivons l'aile d'*Anoplitis inaequalis* WEBER, des U.S.A. (Missouri) (Pl. XXXVIII, fig. 15) :

Aile petite ($4 \times 1,5$ mm), faiblement chitinisée. rt triangulaire. rm bisinué, avec traces de M1a. M1 incurvé. Cul incurvé, avec traces des transverses fermant an2. 2A presque disparu.

26. — Genre *CLINOCARISPA* UHMANN.

Genre néotropical. Nous décrivons l'aile de *Clinocarispa bisbicarinata* UHMANN, de Guyane française :

Aile petite (6×2 mm), bien chitinisée. rt trapézoïdal. rm coudé avec M1a net. M1 en accent circonflexe. Cul incurvé, avec traces nettes des transverses fermant an2.

27. — Genre *CHALEPOTATUS* WEISE.

Genre néotropical. Nous décrivons l'aile de *Chalepotatus coarctatus* CHAPUIS, du Brésil :

Aile petite ($8 \times 2,5$ mm), bien chitinisée. rt trapézoïdal. rm bisinué avec M1a net. M1 en accent circonflexe. M2 incurvé avant la partie distale. Cul incurvé, avec traces des transverses fermant an2.

28. — Genre *CHALEPUS* THUNBERG.

Genre néotropical divisé en trois sous-genres.

Chalepus (s. str.) *acuticornis* CHAPUIS.

Espèce d'Amérique centrale : Aile petite ($7 \times 2,5$ mm), bien chitinisée. rt triangulaire. rm coudé avec M1a net. M1 incurvé. Cul bisinué, avec traces assez nettes des transverses fermant an2. 2A et 3A faibles.

Chalepus (*Xenochalepus*) *waterhousei* BALY.

Espèce du Mexique : Aile petite (6×2 mm), bien chitinisée. rt trapézoïdal. rm coudé avec M1a net. M1 incurvé. Cul légèrement incurvé, avec faibles traces des transverses. Anales nettes.

29. — Genre *BALIOSUS* WEISE.

Genre néotropical. Nous décrivons l'aile de *Balirosus rubiginosus* GUÉRIN, du Brésil :

Aile petite ($7,5 \times 2$ mm), bien chitinisée. rt trapézoïdal. rm bisinué avec traces de M1a. M1 incurvé. Cul incurvé, avec traces nettes des transverses fermant an2. Anales nettes.

30. — Genre *PHYSOCORYNA* CHAPUIS.

Genre néotropical. Nous décrivons l'aile de *Physocoryna scabra* GUÉRIN, du Brésil : Aile petite ($5 \times 1,5$ mm), peu chitinisée. rt triangulaire. rm bisinué avec M1a net. M1 incurvé, disparu à la base. Cul incurvé, avec traces des transverses fermant an2. 1A, 2A et 3A faibles.

31. — Genre *BRACHYCORYNA* BALY.

Genre américain. Nous décrivons l'aile de *Brachycoryna melsheimeri* CROTCH, de Californie (Pl. XXXIX, fig. 6) :

Aile très petite (3×1 mm), transparente. rt subtriangulaire. rm effacé. M1 disparu à la base. Cul incurvé, faible, parallèle à 1A, faible également. 2A et 3A disparu.

32. — Genre *OCTOTOMA* SUFFRIAN.

Genre néotropical. Nous décrivons l'aile d'*Octotoma scabripennis* GUÉRIN, du Mexique :

Aile petite (6×2 mm), bien chitinisée. rt triangulaire. rm bisinué. M1 en accent circonflexe. Cul incurvé, avec des transverses fermant partiellement an2, qui a la forme d'un trapèze.

33. — Genre *PROBAENIA* WEISE.

Genre néotropical. Nous décrivons l'aile de *Probaenia crenatula* UHMANN, de Costa-Rica :

Aile petite ($5,5 \times 2$ mm), bien chitinisée. rt trapézoïdal. rm coudé avec M1a net. M1 en accent circonflexe. Cul droit, avec des traces de transverses fermant an2, qui est trapézoïdal.

34. — Genre *UROPLATA* BALY.

Genre néotropical divisé en deux sous-genres.

Uroplata (s. str.) *angulata* FABRICIUS.

Espèce de Guyane (Pl. XXXIX, fig. 11) :

Aile petite (7×2 mm), bien chitinisée. rt subtriangulaire. rm bisinué avec traces de M1a. M1 en accent circonflexe. Cul incurvé, avec des transverses fermant an2, qui est trapézoïdal.

Uroplata (*Heterispa*) *vinula* ERICHSON.

Espèce du Pérou : Aile petite ($5 \times 1,5$ mm), bien chitinisée. rt subtriangulaire. rm bisinué avec traces de M1a. M1 incurvé, avec traces nettes de transverses fermant an2, qui est trapézoïdal.

35. — Genre *ACANTHODES* BALY.

Genre néotropical. Nous décrivons l'aile d'*Acanthodes leseleuci* GUÉRIN, du Brésil :

Aile petite (7×2 mm), bien chitinisée. rt trapézoïdal. rm coudé avec M1a net. M1 incurvé. Cul incurvé, avec traces des transverses fermant an2. 2A très faible.

36. — Genre *OCTHISPA* CHAPUIS.

Genre néotropical divisé en deux sous-genres :

Octhispa (s. str.) *robinsoni* BALY.

Espèce du Brésil (Pl. XXXVIII, fig. 6) :

Aile petite ($5 \times 1,5$ mm), peu chitinisée. rt subtriangulaire. rm bisinué avec M1a net. M1 incurvé. Cul incurvé, avec traces seulement de la transverse distale. 2A et 3A presque disparus.

Oethispa (Heptispa) limbata BALY.

Espèce de Costa-Rica (Pl. XXXIX, fig. 3) :

Aile très petite ($4,5 \times 1$ mm), transparente. rt triangulaire. rm bisinué effacé. M1 disparu à la base. Cu1 et 1A à peine visibles. Le reste disparu. Cette aile est subbrachyptère.

37. — Genre PENTHISPA CHAPUIS.

Genre néotropical, divisé en deux sous-genres.

Penthispa (s. str.) fairmairei CHAPUIS.

Espèce de Costa-Rica (Pl. XXXIX, fig. 13) :

Aile petite ($5,5 \times 2$ mm), bien chitinisée. rt triangulaire. rm coudé avec M1a net. M1 incurvé. Cu1 incurvé, avec traces des transverses fermant an2. 2A et 3A peu nets.

Penthispa (s. str.) explanata CHAPUIS.

Espèce d'Amérique centrale (Pl. XXXVIII, fig. 4) :

Aile petite ($5 \times 1,5$ mm), bien chitinisée. Nervation quasi identique à la précédente, mais an1 plus étroit.

Penthispa (Euprionota) aterrima GUÉRIN.

Espèce d'Amérique centrale : Aile petite (7×2 mm), bien chitinisée. Nervation pratiquement semblable aux précédents, mais an2 plus étroit.

38. — Genre MICRORHOPALA BALY.

Genre surtout néotropical. Nous décrivons l'aile de *Microrhopala vittata* FABRICIUS, d'Amérique du Nord :

Aile petite ($4,5 \times 1,25$ mm), transparente. rt triangulaire. rm effacé, ainsi que M1. Cubito-anales faibles, avec traces des transverses fermant an2, qui est trapézoïdal.

39. — Genre BOTRYONOPA BLANCHARD.

Genre indo-malais. Nous décrivons l'aile de *Botryonopa punctatissima* CHAPUIS, de Luçon :

Aile petite (9×3 mm), peu chitinisée, rembrunie à l'apex. rt triangulaire. rm coudé, avec M1a net. M1 incurvé. Cu1 incurvé, joignant M2, avec faibles traces de transverses fermant an2. 2A peu net.

40. — Genre ESTIGMENA HOPE.

Genre indo-malais. Nous décrivons l'aile d'*Estigmene chinensis* HOPE, des Indes (Pl. XXXIX, fig. 1) :

Aile moyenne (12×4 mm), peu chitinisée. rt triangulaire. rm bisinué avec M1a net. M1 incurvé. Cu1 incurvé, avec traces de liaisons vers M2 et 1A. Anales nettes

41. — Genre ANISODERA BALY.

Genre indo-malais divisé en deux sous-genres.

Anisodera (s. str.) rufa GUÉRIN.

Espèce de Java : Aile moyenne ($13,5 \times 4,5$ mm), peu chitinisée. rt triangulaire. rm bisinué, peu net ainsi que M1a. M1 en accent circonflexe. Cu1 presque droit, sans trace de transverse. Anales nettes.

Anisodera (Lissochila) humilis GESTRO.

Espèce de Sumatra : Aile moyenne (12×4 mm), peu chitinisée. Nervation presque identique à la précédente, mais Cu1 plus incurvé.

42. — Genre APROIDA PASCOE.

Genre australien. Nous décrivons l'aile d'*Aproida balyi* PASCOE, du Queensland :

Aile petite (9×3 mm), peu chitinisée. rt trapézoïdal. rm bisinué avec traces de M1a. M1 en accent circonflexe. Cu1 incurvé, avec traces des transverses devant fermer an2. Anales nettes.

43. — Genre HISPODONTA BALY.

Genre malais. Nous décrivons l'aile d'*Hispodonta janthina* BLANCHARD, de Célèbes :

Aile moyenne (11×3 mm), bien chitinisée. rt trapézoïdal. rm net. M1 incurvé, disparu à la base. Cu1 droit, avec traces des transverses devant fermer an2. Anales nettes.

44. — Genre SPILISPA CHAPUIS.

Genre malais. Nous décrivons l'aile de *Spilispa imperialis* BALY, de Batchian :

Aile moyenne ($11,5 \times 4$ mm), bien chitinisée, rembrunie à l'apex. rt trapézoïdal. rm coudé avec M1a net. M1 incurvé, disparu à la base. Cu1 sinué, sans trace de transverses. Anales nettes.

45. — Genre CALLISPA BALY.

Genre éthiopien et indo-malais. Nous décrivons l'aile de *Callispa brettinghami* BALY, de Birmanie :

Aile petite ($8,5 \times 3$ mm), bien chitinisée. rt trapézoïdal. rm incurvé avec traces de M1a. M1 effacé à la base. Cu1 presque droit, sans traces de transverses. Anales nettes.

46. — Genre AMBLISPA BALY.

Genre éthiopien et indien. Nous décrivons l'aile d'*Amblispa dohrni* BALY, de Ceylan :

Aile petite ($4,5 \times 1,5$ mm), peu chitinisée. rt triangulaire. rm peu net. M1 disparu à la base. Cu1 droit, avec traces d'une transverse vers 1A. 2A et 3A effacés.

47. — Genre LEPTHISPA BALY.

Genre paléarctique, éthiopien et indien. Nous décrivons l'aile de *Lepthispa filiformis* GERMAR, de Sicile (Pl. XXXIX, fig. 2) :

Aile petite ($4,5 \times 1,25$ mm), transparente. rt ovale, allongé. rm peu net. M1 incurvé. Cu1 incurvé, avec traces d'une transverse vers 1A. 2A et 3A disparus.

48. — Genre EURISPA BALY.

Genre australien, néo-guinéen et tasmanien. Nous décrivons l'aile d'*Eurispa normalis* BALY, du Queensland :

Aile petite ($5 \times 1,5$ mm), transparente. rt triangulaire. rm incurvé, sans M1a. M1 disparu à la base. Cu1 légèrement sinué, sans traces de transverses. 1A et 2A non accolés à l'apex de an1, mais séparés par une transverse.

49. — Genre LEUCISPA CHAPUIS.

Genre d'Australie méridionale. Nous décrivons l'aile de *Leucispa odewahni* BALY, d'Adélaïde (Pl. XXXIX, fig. 8) :

Aile petite (6×2 mm), transparente. rt ovaire. rm peu net, légèrement sinué. M1 très développé à la base, légèrement sinué. Cu1 légèrement sinué, sans transverses. 1A et 2A séparés par une transverse à l'apex de an1. Subbrachyptère.

50. — Genre OCTODONTA CHAPUIS.

Genre de Malacca. Nous décrivons l'aile d'*Octodonta depressa* CHAPUIS :

Aile petite ($4,5 \times 1,25$ mm), peu chitinisée. rt triangulaire. rm bisinué, peu net. M1 effacé à la base. Cu1 incurvé, sans transverses. 2A effacé.

51. — Genre BRONTHISPA SHARP.

Genre malais. Nous décrivons l'aile de *Bronthispa depressa* BALY, de Luçon :

Aile petite ($7,5 \times 2,5$ mm), bien chitinisée. rt triangulaire. rm droit, net. M1 bien développé, en accent circonflexe. Cu1 légèrement incurvé, sans transverses. 2A assez faible.

52. — Genre PLESISPA CHAPUIS.

Genre de Malacca. Nous décrivons l'aile de *Plesispa reichei* CHAPUIS :

Aile petite ($5 \times 1,75$ mm), bien chitinisée. rt triangulaire. rm légèrement sinué, long. M1 bien développé. Cu1 légèrement incurvé, sans transverses. 2A disparu au-delà de an1.

53. — Genre OXYCEPHALA GUÉRIN.

Genre d'Australie, Nouvelle-Guinée et îles voisines. Nous décrivons l'aile d'*Oxycephala speciosa* BOISDUVAL, de Nouvelle-Guinée :

Aile moyenne (11×4 mm), bien chitinisée. rt rectangulaire. rm droit. M1 bien développé. Cu1 légèrement incurvé, sans traces de transverses. Anales bien développées.

54. — Genre CRYPTONYCHUS GYLLENHAL.

Genre éthiopien, divisé en trois sous-genres :

Cryptonychus (s. str.) *murrayi* BALY.

Espèce du Togo (Pl. XXXIX, fig. 14) :

Aile moyenne ($13 \times 4,5$ mm), très chitinisée. rt triangulaire. rm bisinué avec traces de M1a. M1 incurvé, bien développé. Cu1 droit, relié à M2 et, faiblement, à an2, qui est triangulaire. Anales nettes.

Cryptonychus (Gyllenhaleus) *bipunctatus* BALY.

Espèce du Congo belge (Pl. XXXVIII, fig. 8) :

Aile moyenne ($10 \times 3,5$ mm), assez chitinisée, rembrunie à l'apex. rt trapézoïdal. rm coudé avec M1a net. M1 incurvé. Cu1 droit, relié à M2 et, faiblement, à an2, qui est lenticulaire. 1A et 2A séparés à l'apex de an1.

Cryptonychus (*Cryptonychellus*) *breviceps* WEISE.

Espèce du Congo belge : Aile petite ($5 \times 1,5$ mm), peu chitinisée, rembrunie à l'apex. rt triangulaire. rm sinué. M1 développé. Cubito-anales faibles, à peu près comme dans l'espèce précédente.

55. — Genre CHOERIDIONA BALY.

Genre des Indes. Nous décrivons l'aile de *Choeridiona feae* GESTRO, de Birmanie (Pl. XXXVIII, fig. 18) :

Aile petite ($4 \times 1,5$ mm), transparente. rt subtriangulaire. rm bisinué. M1 disparu à la base. Cul1 faible, court, relié par une transverse à 1a.

56. — Genre PRIONISPA CHAPUIS.

Genre indo-malais. Nous décrivons l'aile de *Prionispa fulvicollis* GUÉRIN, de Java :

Aile petite ($8,5 \times 3$ mm), bien chitinisée. rt triangulaire. rm bisinué. M1 disparu à la base. Cul1 incurvé, avec une transverse vers 1A.

57. — Genre ONCOCEPHALA CHEVROLAT.

Genre éthiopien et indo-malais. Nous décrivons l'aile d'*Oncocephala proxima* GESTRO, du Congo belge :

Aile petite ($4,5 \times 1,5$ mm), peu chitinisée. rt petit, triangulaire. rm bisinué. M1 disparu à la base. Cul1 incurvé, sans traces de transverses. 2A faible.

58. — Genre EXOTHISPA KOLBE.

Genre d'Afrique orientale. Nous décrivons l'aile d'*Exothispa reimperi* KOLBE (Pl. XXXVIII, fig. 3) :

Aile moyenne (13×4 mm), faiblement chitinisée. rt triangulaire. rm peu net. M1 bisinué. Cul1 presque droit, avec traces de transverses devant fermer an2.

59. — Genre JAVETA BALY.

Genre indo-malais. Nous décrivons l'aile de *Javeta corporaali* WEISE, de Sumatra (Pl. XXXVIII, fig. 11) :

Aile petite ($5 \times 1,5$ mm), bien chitinisée. rt trapézoïdal. rm bisinué. M1 effacé à la base. Cul1 légèrement incurvé, avec traces d'une transverse vers 1A.

60. — Genre COELAENOMENODERA BLANCHARD.

Genre éthiopien. Nous décrivons l'aile de *Coelaenomenodera femorata* FAIRMAIRE, de Madagascar :

Aile moyenne ($13 \times 3,5$ mm), très chitinisée. rt trapézoïdal. rm légèrement bisinué. M1 effacé à la base. Cul1 incurvé, relié par une transverse à M2 et 1A.

61. — Genre BALYANA PERINGUEY.

Genre éthiopien. Nous décrivons l'aile de *Balyana sculptilis* FAIRMAIRE, d'Afrique orientale :

Aile petite ($6,5 \times 2$ mm), assez chitinisée. Cul1 incurvé, sans transverses vers M2 ou vers 1A.

62. — Genre PROMECOTHECA BLANCHARD.

Genre indo-australien. Nous décrivons l'aile de *Promecotheca cyanipes* ERICHSON, des Philippines (Pl. XXXVIII, fig. 2) :

Aile moyenne (13×4 mm), très chitinisée. rt trapézoïdal. rm fortement bisinué. M1 effacé à la base. Cul1 incurvé, avec traces d'une transverse joignant an1.

63. — Genre **WALLACEA** BALY.

Genre indo-malais. Nous décrivons l'aile de *Wallacea angularis* CHAPUIS (in litt.), de Malaisie :

Aile petite ($5 \times 1,5$ mm), peu chitinisée. rt triangulaire. rm bisinué. M1 incurvé. Cul droit, sans transverses. 2A faible.

64. — Genre **DOWNESIA** BALY.

Genre indo-malais et malgache, divisé en deux sous-genres.

Downesia (s. str.) **grandis** GESTRO.

Espèce de Birmanie : Aile petite ($8 \times 2,5$ mm), bien chitinisée. rt trapézoïdal. rm coudé avec M1a net. M1 effacé à la base. Cul incurvé, avec traces d'une transverse vers 1A. 2A effacé.

Downesia (Paradownesia) fruhstorferi GESTRO.

Espèce de Tonkin : Aile petite ($5 \times 1,5$ mm), peu chitinisée. rt trapézoïdal. rm bisinué. M1 incurvé, avec traces nettes des transverses fermant an2, qui est trapézoïdal. 2A effacé.

65. — Genre **AGONIA** WEISE.

Genre éthiopien et indo-malais, divisé en deux sous-genres :

Agonia (s. str.) **fossulata** GUÉRIN.

Espèce du Congo : Aile petite ($4,5 \times 1,25$ mm), peu chitinisée. rt lenticulaire. rm très bisinué. M1 en accent circonflexe. Cul incurvé, avec légères traces d'une transverse. 2A et 3A faibles.

Agonia (Agoniella) apicalis BALY.

Espèce des Philippines (Pl. XXXIX, fig. 5) :

Aile petite ($5 \times 1,5$ mm), bien chitinisée. rt triangulaire. rm coudé avec traces de M1a. M1 en accent circonflexe. Cul bisinué, sans traces de transverses. 2A effacé.

66. — Genre **GONOPHORA** BALY.

Genre indo-malais, divisé en trois sous-genres.

Gonophora (s. str.) **apicalis** BALY.

Espèce des Philippines : Aile petite (6×2 mm), assez chitinisée. rt lenticulaire. rm coudé avec traces de M1a. M1 net, incurvé. Cul incurvé, avec traces d'une transverse vers 1A. 2A et 3A effacés.

Gonophora (Micrispa) sinuata GESTRO.

Espèce de Java : Aile petite ($4 \times 1,25$ mm), peu chitinisée. Nervation très voisine de la précédente.

67. — Genre **MONOCHIRUS** CHAPUIS.

Genre indo-australien. Nous décrivons l'aile de *Monochirus callicanthus* BATES, des Philippines :

Aile petite (4×1 mm), transparente. rt ouvert (disparition de r). rm disparu ainsi que M1 à la base. Système cubito-anal faible. Cul joignant M2 et an2, qui est triangulaire.

68. — Genre ACMENYCHUS WEISE.

Genre d'Asie Mineure, Mongolie, Népal. Nous décrivons l'aile d'*Acmenychus inermis* ZOUBKOFF, du Daghestan :

Aile petite ($5 \times 1,5$ mm), transparente. rt ouvert. rm bisinué. M1 disparu à la base. Cu1 incurvé joignant an₂, qui est triangulaire.

69. — Genre PSEUDHISPILLA KRAATZ.

Genre éthiopien. Nous décrivons l'aile de *Pseudhispella militaris* WEISE, d'Afrique orientale :

Aile petite ($4 \times 1,5$ mm), peu chitinisée. rt ouvert. rm peu net. M1 disparu à la base. Cu1 incurvé, joignant an₂, qui est triangulaire. 2A partiellement effacé.

Pseudhispella crampeli ACHARD, du Katanga, présente une aile plus grande ($5 \times 1,5$ mm), peu chitinisée. Nervation très voisine. rm net, bisinué. an₂ trapézoïdal.

70. — Genre POLYCONIA WEISE.

Genre éthiopien. Nous décrivons l'aile de *Polyconia spinicornis* KRAATZ, de Lulua :

Aile petite ($4,5 \times 1,5$ mm), peu chitinisée. rt ouvert. rm bisinué. M1 effacé à la base. Système cubito-anal calqué sur l'espèce précédente.

71. — Genre HISPELLA CHAPUIS.

Genre paléarctique et indien. Nous décrivons l'aile d'*Hispella atra* LINNÉ, de France :

Aile petite ($3,5 \times 1$ mm), transparente. rt ouvert. rm peu net, bisinué. M1 disparu à la base. Cu1 incurvé, joignant an₂, qui est triangulaire.

72. — Genre DORCATHISPA WEISE.

Genre éthiopien. Nous décrivons l'aile de *Dorcathispa alternata* WEISE, d'Afrique orientale :

Aile petite ($4 \times 1,25$ mm), transparente. rt ouvert. rm peu net. M1 disparu à la base. Cu1 incurvé, joignant an₂, subtriangulaire.

73. — Genre PHIDODONTA WEISE.

Genre indo-australien. Nous décrivons l'aile de *Phidodonta australia* MOTSCHULSKY, de Melbourne :

Aile petite ($5,5 \times 1,75$ mm), peu chitinisée. rt ouvert. rm bisinué. M1 disparu à la base. Cu1 joignant an₂, qui est trapézoïdal.

74. — Genre RHADINOSA WEISE.

Genre indo-malais. Nous décrivons l'aile de *Rhadinosa reticulata* BALY, sur un spécimen de Java (Pl. XXXVIII, fig. 17) :

Aile petite ($5,5 \times 1,5$ mm), peu chitinisée. rt ouvert. rm bisinué. M1 disparu à la base. Cu1 joignant M2 et l'A. Entre cu-an et an₁ se trouve an₂, qui est lenticulaire.

75. — Genre DACTYLISPA WEISE.

Genre éthiopien et indo-malais. Nous décrivons l'aile de *Dactylispa aculeata* KLUG, de Guinée (Pl. XXXVIII, fig. 14) :

Aile petite ($5,5 \times 2$ mm), assez chitinisée. rt ouvert. rm bisinué, peu net. M1 disparu à la base. Cu1 droit, relié à an₂, qui est triangulaire.

76. — Genre TRICHISPA CHAPUIS.

Genre éthiopien. Nous décrivons l'aile de *Trichispa sericea* GUÉRIN, du Congo (Pl. XXXVIII, fig. 12) :

Aile petite ($3,5 \times 1$ mm), peu chitinisée. rt ouvert. rm peu net. M₁ disparu à la base. Cu₁ incurvé, joignant an₂, qui est triangulaire, mais non fermé basalement.

77. — Genre HISPA LINNÉ.

Genre surtout éthiopien et indo-malais, divisé en trois sous-genres.

Hispia (s. str.) *testacea* LINNÉ.

Spécimen d'Athènes. Aile petite ($5,5 \times 2$ mm), peu chitinisée. rt ouvert. rm bisinué. M₁ disparu à la base. Cu₁ droit, relié à M₂ et à an₂, qui est sublosangique.

Hispia (Chrysipa) viridicyanea KRAATZ.

Espèce du Gabon (Pl. XXXIX, fig. 4) :

Aile petite ($6,5 \times 2$ mm), assez chitinisée. rt ouvert. rm bisinué. Cu₁ joignant M₂ et an₂, qui est triangulaire.

78. — Genre PLATYPRIA GUÉRIN.

Genre éthiopien et indo-malais, divisé en deux sous-genres :

Platypria (s. str.) *echidna* GUÉRIN.

Espèce des Indes : Aile petite ($8 \times 2,5$ mm), bien chitinisée. rt fermé, triangulaire. rm coudé, peu net. M₁ disparu à la base. Cu₁ incurvé, joignant M₂ et an₂, qui est triangulaire.

Platypria (Dichirispa) transvaalensis PÉRINGUEY.

Espèce du Transvaal : Aile petite (6×2 mm), bien chitinisée. rt fermé. rm bisinué. M₁ disparu à la base. Système cubito-anal calqué sur le précédent.

79. — Genre CASSIDISPA GESTRO.

Genre décrit pour une espèce de l'Angola et de la Chine. Nous décrivons l'aile de *Cassidispa granulosa* WEISE, de l'Angola (Pl. XXXIX, fig. 10) :

Aile petite ($7,5 \times 2,5$ mm), bien chitinisée. rt fermé, triangulaire. rm bisinué. M₁ disparu à la base. Cul incurvé, joignant M₂ et an₂ subtrapézoïdal.

CONCLUSIONS SUR LES *HISPIDAE*.

Les *Hispidae* que nous avons étudiés se sont tous révélés macroptères. Il est très vraisemblable cependant que, comme dans les *Cassididae*, il existe des brachy- et des micropèles. La nervation alaire des *Hispidae* semble très variable et s'éloigne très souvent du schéma théorique décrit précédemment. Ces variations sont réparties sans ordre à travers les groupes systématiques. Peut-être y aurait-il lieu d'en tenir compte pour l'étude phylogénique de la famille. Tantôt rt est ouvert, tantôt il est fermé; tantôt M₁ est bien développé, tantôt il est réduit à sa partie distale. Enfin, ce qui varie le plus, c'est le système cubito-anal où an₂ est tantôt semblable au schéma théorique, tantôt très différent, tantôt inexistant.

16. — *CASSIDIIDAE*.

Les *Cassidiidae* sont bien connus par leur aspect très particulier qui les a fait nommer par les Anglais « tortoise beetle ». Leur coloration élytrale est tantôt métallique, tantôt chimique. Elle est souvent très belle (dorée, argentée, etc.), parfois durable (*Desmonota*),

tantôt labile (*Aspidomorpha*, *Cassida*). Les Cassides sont très fortement apparentés aux Hispides et il existe des genres de transition. Leurs larves sont porteuses d'excréments et leur biologie est très bien connue en Europe et dans les pays tropicaux.

Nous décrivons les ailes des genres de Cassides en suivant aussi étroitement que possible la récente classification proposée par HINCKS (1952).

1. — Genre PLATYAUCHENIA STURM.

Genre brésilien, faisant la transition avec les Hispides. Nous décrivons l'aile de *Platyauchenia limbata* STURM :

Aile grande (15×5 mm), bien chitinisée. rt trapézoïdal. rm bisinué. M1 en accent circonflexe. Cul incurvé, relié à M2 et, par une large transverse, à an2, qui est sublosangique.

2. — Genre NOTOSACANTHA CHEVROLAT.

Genre malgache et indo-australien. Nous décrivons l'aile de *Notosacantha echinata* FABRICIUS, de Madagascar :

Aile petite ($7 \times 2,5$ mm), peu chitinisée. rt triangulaire. rm bisinué. M1 disparu à la base. Cul incurvé, relié à an2, qui est triangulaire.

3. — Genre ANDROYA SPAETH.

Genre surtout malgache. Nous décrivons l'aile d'*Androya longula* FAIRMAIRE, de Madagascar (Androy) :

Aile petite (8×2 mm), assez chitinisée. rt triangulaire. rm fortement bisinué. M1 bisinué. Cul incurvé, relié à an2, qui est sublosangique.

Androya obscuricollis FAIRMAIRE, de Madagascar (Pl. XL, fig.), présente une aile plus grande (13×4 mm), bien chitinisée. rt trapézoïdal. rm et M1 semblables. Cul incurvé, joignant M2 et an2, qui est très grand.

4. — Genre METRIOPEPLA FAIRMAIRE.

Genre d'Afrique orientale. Nous décrivons l'aile de *Metriopepla inornata* WATERHOUSE (Pl. XL, fig. 15) :

Aile petite ($8 \times 2,75$ mm), bien chitinisée. rt triangulaire. rm bisinué. M1 net. Cul incurvé, avec traces des transverses fermant an2, qui est losangique.

5. — Genre EPISTICTINA HINCKS.

Genre indien. Nous décrivons l'aile d'*Epiictictina viridimaculata* BOHEMAN, du Népal :

Aile petite ($11 \times 3,75$ mm), bien chitinisée. rt triangulaire. rm bisinué avec traces de M1a. M1 légèrement bisinué. Cul incurvé, avec traces nettes des transverses fermant an2, qui est losangique.

6. — Genre BASIPRIONOTA CHEVROLAT.

Genre indo-malais, divisé en deux sous-genres.

Basiprionota (s. str.) *multiplagiata* WAGENER.

Espèce des îles Andaman : Aile petite (11×4 mm), assez chitinisée. rt triangulaire. rm bisinué, avec M1a net. M1 bisinué. Cul incurvé, non relié à M2 et à an2, qui est losangique.

Basiprionota (Stenoprioptera) *tibetana* SPAETH.

Espèce de Tibet : Aile petite (9×3 mm), bien chitinisée. Nervation quasi identique à la précédente.

7. — Genre MEGAPYGA BOHEMAN.

Genre malais. Nous décrivons l'aile de *Megapyga eximia* BOHEMAN, de Manille :

Aile petite (9×3 mm), bien chitinisée. rt triangulaire. M1 incurvé. Cu1 relié à an2, qui est losangique, mais transverses peu nettes.

8. — Genre CRASPEDONTA CHEVROLAT.

Genre indien. Nous décrivons l'aile de *Craspedonta leyana* LATREILLE (Pl. XL, fig. 2) :

Aile moyenne ($13 \times 4,5$ mm), bien chitinisée. rt trapézoïdal. rm coudé avec M1a net. M1 légèrement bisinué. Cu1 incurvé, relié à an2, qui est losangique mais mal délimité.

9. — Genre DELOCRANIA GUÉRIN-MÉNEVILLE.

Genre néotropical. Nous avons disséqué *Delocrania cossyphoides* GUÉRIN, du Brésil, qui est aptère, comme vraisemblablement tout le genre.

10. — Genre SPAETHIELLA BARBER and BRIDWELL.

Genre néotropical. Nous décrivons l'aile de *Spaethiella picina* BOHEMAN, du Brésil (Bahia) :

Aile petite ($5 \times 1,5$ mm), assez chitinisée. rt triangulaire. rm bisinué. M1 disparu à la base. Cu1 incurvé, joignant M2 et an2, qui est subpentagonal.

11. — Genre HEMISPHAEROTA CHEVROLAT.

Genre néotropical. Nous décrivons l'aile d'*Hemisphaerota cyanea* SAY, de Floride (Miami) :

Aile petite ($5 \times 1,5$ mm), assez chitinisée. rt triangulaire. rm coudé avec M1a net. M1 effacé à la base. Cu1 droit, relié à an2, qui est ovalaire.

12. — Genre IMATIDIUM FABRICIUS.

Genre néotropical. Nous décrivons l'aile d'*Imatidium capense* HERBST, du Pérou :

Aile petite ($6,5 \times 2,75$ mm), assez chitinisée. rt triangulaire. rm coudé avec M1a net. M1 long, bisinué. Cu1 incurvé, joignant an2, qui est subtriangulaire.

13. — Genre CALLIASPIS DEJEAN.

Nous décrivons l'aile de *Calliaspis rubra* OLIVIER, de Cayenne :

Aile petite (6×2 mm), assez chitinisée. rt triangulaire. rm coudé. M1 incurvé, effacé à la base. Cu1 faiblement relié à M2 et à an2, qui est triangulaire.

14. — Genre SPILOPHORA BOHEMAN.

Genre néotropical. Nous décrivons l'aile de *Spilophora trigemina* GUÉRIN, de Cayenne (Pl. XL, fig. 6) :

Aile petite ($7 \times 2,5$ mm), assez chitinisée. rt subtriangulaire. rm bisinué. M1 en accent circonflexe. M2 incurvé avant la partie distale. Cu1 bisinué, avec an2 à transverses interrompues.

15. — Genre CALYPTOCEPHALA CHEVROLAT.

Genre néotropical. Nous décrivons l'aile de *Calyptocephala brevicornis* BOHEMAN, du Brésil (Pl. XL, fig. 13) :

Aile petite ($9 \times 3,5$ mm), assez chitinisée. rt triangulaire. rm bisinué. M1 effacé à la base. Cu1 légèrement incurvé, isolé. an2 ouvert.

16. — Genre **POLYCHALCA** CHEVROLAT.

Genre néotropical, divisé en deux sous-genres :

Polychalca (s. str.) *variolosa* FABRICIUS.

Espèce du Brésil (Bahia) : Aile grande ($14,5 \times 5,5$ mm), très chitinisée. rt triangulaire. rm bisinué avec M_{1a} net. M₁ incurvé. Cu₁ relié à an₂ qui est grand, losangique.

Polychalca (s. str.) *nigroaenea* BOHEMAN.

Espèce de Colombie : Présente une aile semblable (14×5 mm), très chitinisée. rt triangulaire, plus petit. an₂ losangique, mais à contour externe faible.

Polychalca (*Desmonata*) *platynota* GERMAR.

Espèce du Brésil : Aile moyenne (13×4 mm), très chitinisée. rt subtriangulaire. Cu₁ incurvé, relié à an₂ dont les transverses sont partiellement interrompues. an₂ losangique.

17. — Genre **OMOCERUS** CHEVROLAT.

Genre néotropical, divisé en quatre sous-genres :

Omocerus (s. str.) *bicornis* LINNÉ.

Espèce de l'Amazone : Aile grande (15×5 mm), très chitinisée. rt triangulaire. rm bisinué avec M_{1a} net. M₁ incurvé, isolé. an₂ grand, triangulaire.

Omocerus (*Paratauroma*) *smaragdina* BOHEMAN.

Espèce de Colombie : Aile grande ($14 \times 4,5$ mm), très chitinisée. Nervation très voisine de la précédente, mais an₂ à transverses interrompues, peu nettes.

Omocerus (*Platytauroma*) *anchoralis* BOHEMAN.

Espèce du Brésil : Aile moyenne ($12,5 \times 4$ mm), très chitinisée. Nervation presque identique à la précédente, mais les transverses fermant an₂ très irrégulières.

Omocerus (*Nebroma*) *antiqua* KLUG.

Espèce du Brésil méridional : Aile moyenne (12×4 mm), très chitinisée. Nervation semblable mais Cu₁ presque droit, relié à an₂ dont les transverses sont irrégulières.

18. — Genre **CYCLOSOMA** GUÉRIN-MÉNEVILLE.

Genre néotropical, divisé en trois sous-genres :

Cyclosoma (s. str.) *tristis* GUÉRIN.

Espèce de Bolivie : Aile grande (15×5 mm), très chitinisée. rt triangulaire, rm incurvé, ainsi que M₁. Cu₁ interrompu avant une transverse vers M₂ et an₂, qui est losangique.

Cyclosoma (*Dolichotoma*) *aenea* GERMAR.

Espèce du Brésil : Aile grande ($18 \times 6,5$ mm), très chitinisée. rt triangulaire. rm bisinué avec M_{1a} net. M₁ incurvé. Cu₁ droit, isolé. an₂ grand, losangique.

Cyclosoma (*Proglima*) *mirabilis* BOHEMAN.

Espèce du Pérou : Aile grande (21×7 mm), très chitinisée. rt triangulaire. rm bisinué avec M_{1a} net. Système cubito-anal identique au précédent.

19. — Genre DISCOMORPHA CHEVROLAT.

Genre néotropical, divisé en trois sous-genres :

Discomorpha (s. str.) **lanuginosa** BOHEMAN.

Espèce de Colombie : Aile grande (15×5 mm), très chitinisée. rt triangulaire. rm coudé avec M_{1a} net. Système cubito-anal classique.

Discomorpha (*Vulpia*) **mandli** SPAETH.

Espèce du Pérou : Aile grande (18×7 mm), très chitinisée. rt triangulaire. rm incurvé, avec M_{1a} long. Cul droit, isolé. an₂ grand, triangulaire.

20. — Genre CANISTRA ERICHSON.

Genre néotropical. Nous décrivons l'aile de *Canistra osculatii* GUÉRIN, de l'Équateur :

Aile grande (17×7 mm), très chitinisée. rt trapézoïdal. rm bisinué avec M_{1a} net. M₁ bisinué, effacé à la base. Cul faiblement relié à M₂, an₂ losangique.

Canistra rubiginosa GUÉRIN, espèce du Brésil, présente une aile grande (17×6 mm), très chitinisée. Nervation semblable, dans les moindres détails, à la précédente.

21. — Genre CASSIDINOMA HINCKS.

Genre néotropical. Nous décrivons l'aile de *Cassidinoma denticulata* BOHEMAN, du Paraguay :

Aile moyenne ($13 \times 4,5$ mm), très chitinisée. rt triangulaire. rm bisinué. Cul incurvé, relié faiblement à M₂ et à an₂, qui est losangique.

22. — Genre CARLOBRUCHIA SPAETH.

Genre néotropical, divisé en deux sous-genres :

Carlobruchia (s. str.) **tricostata** SPAETH.

Espèce d'Argentine : Aile moyenne (14×4 mm), très chitinisée. rt triangulaire. rm et M₁ classiques. Cul légèrement incurvé, faiblement relié à M₂ et à an₂, qui est triangulaire.

Carlobruchia (*Smodingonota*) **carbonaria** KLUG.

Espèce du Paraguay : Aile grande (16×5 mm), très chitinisée. Nervation identique à la précédente, à cette différence près que Cul est moins bien relié à an₂.

23. — Genre ZEUGONOTA SPAETH.

Genre néotropical. Nous décrivons l'aile de *Zeugonota quadrinodosa* BOHEMAN, du Brésil :

Aile moyenne (9×3 mm), très chitinisée. rt triangulaire, petit. rm bisinué, peu net. Cul incurvé, relié à an₂, qui est sublosangique.

24. — Genre CHLAMYDOCASSIS SPAETH.

Genre néotropical. Nous décrivons l'aile de *Chlamydocassis metallica* KLUG, d'Argentine :

Aile petite (7×2 mm), assez chitinisée. rt lenticulaire. rm effacé. M₁ classique Cul presque droit, interrompu avant an₂, qui est sublosangique, et une transverse vers M₂.

25. — Genre *POLYCHALMA* BARBER and BRIDWELL.

Genre néotropical. Nous décrivons l'aile de *Polychalma multicava* LATREILLE, de Colombie :

Aile moyenne (12×4 mm), bien chitinisée. rt lenticulaire. rm bisinué, peu net. M1 effacé à la base. Cu1 presque droit, relié à an2, sublosangique.

26. — Genre *GONIOCHENIA* WEISE.

Genre néotropical, divisé en deux sous-genres :

Goniochenia (s. str.) *quadraticollis* BOHEMAN.

Espèce du Brésil : Aile grande (22×8 à 6 mm), très chitinisée. rt lenticulaire. rm bisinué. M1 bisinué également. Cu1 incurvé, faiblement relié à M2 et à an2, qui est plus ou moins bien fermé.

Goniochenia (Baranosa) *elocata* BOHEMAN.

Espèce du Brésil : Aile grande (19×6 mm), très chitinisée. rt lenticulaire. rm et M1a classiques. Système cubito-anal calqué sur l'espèce précédente.

27. — Genre *HERISSA* SPAETH.

Genre néotropical. Nous décrivons l'aile d'*Herissa pantherina* BLANCHARD, du Brésil :

Aile grande (14×5 mm), très chitinisée. rt triangulaire. rm et M1 comme précédemment. Cu1 incurvé, relié à M2 et à an2, qui est losangique.

28. — Genre *DORYNOTA* CHEVROLAT.

Genre néotropical. Nous décrivons l'aile de *Dorynota pugionata* GERMAR, du Brésil (Pl. XL, fig. 4) :

Aile moyenne (12×4 mm), très chitinisée. rt triangulaire. rm bisinué avec M1a net. M1 incurvé. Cu1 incurvé, isolé. an2 losangique.

29. — Genre *PARANOTA* MONRÒS et VIANA.

Genre néotropical. Nous décrivons l'aile de *Paranota ensifera* BOHEMAN, du Paraguay :

Aile petite (10×3 mm), très chitinisée. rt triangulaire. rm bisinué avec M1a net. Cu1 incurvé, relié à an2 par une transverse. an2 losangique.

30. — Genre *OMOTEINA* CHEVROLAT.

Genre néotropical. Nous décrivons l'aile d'*Omoteina humeralis* OLIVIER, de Haïti :

Aile petite ($7,5 \times 2,5$ mm), assez chitinisée. Nervation presque identique au genre précédent, mais rm moins net et Cu1 non relié à an2.

31. — Genre *EREMIONYCHA* SPAETH.

Genre néotropical. Nous décrivons l'aile d'*Eremionycha bahiana* BOHEMAN, du Brésil (São Paulo) :

Aile petite ($7 \times 2,5$ mm), bien chitinisée. rt lenticulaire. rm bisinué, peu net. M1 bisinué. Cu1 incurvé, relié faiblement à M2 et à an2, qui est sublosangique.

32. — Genre EUGENYSA CHEVROLAT.

Genre néotropical. Nous décrivons l'aile d'*Eugenysa grossa* LINNÉ, de Guyane :
Aile grande ($19 \times 6,5$ mm), très chitinisée. rt triangulaire. rm bisinué. M1 bisinué.
Cu1 presque droit, faiblement relié à M2, non à an2, qui est sublosangique.

Eugenysa columbiana BOHEMAN, de Colombie, a une aile plus petite (17×6 mm), très chitinisée. La nervation en est absolument identique.

33. — Genre MIOCALASPIS WEISE.

Genre néotropical. Nous décrivons l'aile de *Miocalaspis gentilis* ERICHSON, du Pérou :
Aile grande ($16 \times 5,5$ mm), très chitinisée. rt triangulaire. Nervation presque identique
à celle du genre précédent.

34. — Genre AGENYSA SPAETH.

Genre néotropical. Nous décrivons l'aile d'*Agenysa caedemadens* LICHTENSTEIN, de
Guyane :

Aile grande ($14 \times 4,5$ mm), très chitinisée. Nervation très semblable à celle des deux
genres précédents, mais an2 plus losangique et moins bien fermé.

35. — Genre STOLAS BILLBERG.

Genre néotropical, divisé en neuf sous-genres :

Stolas (s. str.) *antiqua* SAHLBERG.

Espèce du Brésil : Aile moyenne (10×3 mm), bien chitinisée. rt trapézoïdal. rm coudé
avec traces de M1a. M1 bisinué, effacé à la base. M2 incurvé avant la partie apicale. Cu1 inter-
rompu avant une transverse vers M2 et an2, qui est losangique.

Stolas (*Cyrtonota*) *bang-haasi* SPAETH.

Espèce du Pérou : Aile grande ($14 \times 4,5$ mm), assez chitinisée. rt triangulaire. rm bisi-
nué. M1 droit, effacé à la base. Cu1 droit, isolé. an2 sublosangique.

Stolas (*Cyrtonota*) *lateralis* LINNÉ.

Espèce de Cayenne : Aile plus petite ($11 \times 3,5$ mm), bien chitinisée. Nervation identique
à l'espèce précédente, mais M1 plus bisinué.

Stolas (*Mesomphalia*) *gibbosa* FABRICIUS.

Espèce du Brésil : Aile grande (18×6 mm), très chitinisée. rt triangulaire. rm coudé
avec traces de M1a. M1 bisinué. Cu1, droit, relié à M2 et à an2, qui est sublosangique.

Stolas (*Anacassis*) *cirrum* KLUG.

Espèce du Brésil : Aile moyenne (12×4 mm), très chitinisée. rt trapézoïdal. Le reste de
la nervation identique.

Stolas (*Nebraspis*) *corticina* BOHEMAN.

Espèce du Brésil : Aile moyenne (12×4 mm), assez chitinisée. rt trapézoïdal. rm bisinué.
M1 bisinué, effacé à la base. an2 losangique à côté externe faible.

Stolas (*Batanochara*) *angulata* GERMAR.

Espèce d'Argentine : Aile moyenne (13×4 mm), très chitinisée. Nervation de même
type que les précédentes.

Stolas (Poecilaspidella) proxima BOHEMAN.

Espèce d'Uruguay : Aile petite ($7 \times 2,5$ mm), assez chitinisée. Nervation comme les précédentes.

36. — Genre ANEPSIOMORPHA SPAETH.

Genre néotropical. Nous décrivons l'aile d'*Anepsiomorpha deplanata* BOHEMAN, d'Argentine :

Aile moyenne (12×4 mm), bien chitinisée. rt triangulaire. rm bisinué. M1 incurvé. Cu1 droit, relié faiblement à M2. an2 sublosangique.

37. — Genre HILAROCASSIS SPAETH.

Genre néotropical. Nous décrivons l'aile d'*Hilarocassis evanida* BOHEMAN, de Colombie (Pl. XL, fig. 16) :

Aile moyenne (9×3 mm), bien chitinisée. rt petit, lenticulaire. rm bisinué. M1 court, bisinué. Cu1 droit, relié faiblement à M2 et à an2, qui est sublosangique, mais différent dans les deux ailes du spécimen disséqué. Dans un spécimen, la transverse supérieure qui ferme an2 est ouverte.

38. — Genre ZATREPHINA SPAETH.

Genre néotropical. Nous décrivons l'aile de *Zatrepina lineata* FABRICIUS, de Guyane :

Aile moyenne (9×3 mm), bien chitinisée. Aile de type classique, avec Cu1 relié à M2 et à an2, qui est sublosangique.

39. — Genre TERPSIS SPAETH.

Genre néotropical. Nous décrivons l'aile de *Terpsis quadrivittata* CHAMPION, de Costa-Rica :

Aile moyenne (10×3 mm), bien chitinisée. Schéma classique, avec an2 sublosangique, mal fermé.

40. — Genre ELYTROGONA CHEVROLAT.

Genre de Saint-Domingue, aptère. Nous avons disséqué *E. bacca* BOHEMAN, *E. interjecta* BOHEMAN et *E. quatuordecimmaculata* LATREILLE, sans trouver d'ailes.

41. — Genre STOIBA SPAETH.

Genre de Cuba et de la Jamaïque. Nous décrivons l'aile de *Stoiba flavigollis* KLUG, de Cuba (Pl. XL, fig. 8) :

Aile microptère ($1,25 \times 0,75$ mm). On y distingue des vestiges faibles de R1 et de M2.

42. — Genre AMYTHRA SPAETH.

Genre néotropical. Nous décrivons l'aile d'*Amythra valida* BOHEMAN, du Brésil :

Aile grande (15×5 mm), très chitinisée. Nervation classique avec Cu1 incurvé, relié à M2 et à an2, qui est losangique.

43. — Genre PARASELENIS SPAETH.

Genre néotropical, divisé en trois sous-genres :

Paraselenis (s. str.) axillaris SAHLBERG.

Espèce du Brésil : Aile moyenne ($11 \times 3,5$ mm), assez chitinisée. rt lenticulaire. M1 allongé, droit. Cu1 incurvé. an2 subtriangulaire.

Paraselenis (Pseudechoma) marginipennis SPAETH.

Espèce du Pérou : Aile moyenne (13×4 mm), bien chitinisée. Nervation classique, sauf en ce qui concerne le système cubito-anal : an₂ est ouvert, les transverses devant le fermer étant incomplètes, et Cu₁ est dans le prolongement de l'une d'entre elles.

Paraselenis (Spaethiechoma) normalis GERMAR.

Espèce du Pérou (Pl. XL, fig. 3) :

Aile moyenne ($12,5 \times 4$ mm), bien chitinisée. Nervation classique. Cu₁ droit, isolé. an₂ sublosangique mais largement ouvert.

44. — Genre OGDOECOSTA SPAETH.

Genre du Mexique et d'Amérique centrale. Nous décrivons l'aile d'*Ogdoecosta guttifera* BOHEMAN, du Guatémala :

Aile moyenne (12×4 mm), très chitinisée. rt mince, lenticulaire. rm effacé. M₁ effacé à la base. Cu₁ droit, interrompu avant M₂ et an₂, qui est ouvert et losangique.

45. — Genre CHELYMORPHA CHEVROLAT.

Genre surtout néotropical. Nous décrivons l'aile de *Chelymorpha cassidea* FABRICIUS d'Amérique du Nord :

Aile petite (9×3 mm), bien chitinisée. Nervation classique, avec Cu₁ interrompu et an₂ fermé, sublosangique.

46. — Genre PHYTODECTOIDEA SPAETH.

Genre du Mexique. Nous décrivons l'aile de *Phytodectoidea duodecimsignata* BOHEMAN : Aile petite ($6,5 \times 2,5$ mm), peu chitinisée. Nervation classique, mais système cubito-anal effacé. an₂ sublosangique.

47. — Genre ECHOMA CHEVROLAT.

Genre néotropical. Nous décrivons l'aile d'*Echoma marginata* LINNÉ, de Guyane :

Aile moyenne ($12,5 \times 4$ mm), très chitinisée. Nervation classique, avec Cu₁ presque droit, interrompu. an₂ losangique.

48. — Genre ACROMIS CHEVROLAT.

Genre néotropical. Nous décrivons l'aile d'*Acromis spinifex* LINNÉ, du Brésil :

Aile moyenne ($11 \times 3,5$ mm), assez chitinisée. Nervation classique, mais Cu₁ faible, isolé. an₂ losangique ouvert.

49. — Genre OMASPIDES CHEVROLAT.

Genre néotropical, divisé en trois sous-genres :

Omaspides (s. str.) pallidipennis BOHEMAN.

Espèce du Brésil : Aile petite (9×3 mm), transparente. Nervation classique, mais M₁ disparu à la base et système cubito-anal très effacé, à tel point que seuls 1A et 2A se distinguent partiellement.

Omaspides (Parechoma) semilineata BOHEMAN.

Espèce du Brésil (Bahia) : Aile moyenne (14×5 mm), bien chitinisée. Nervation classique avec Cu₁ droit, non relié à M₂ mais relié à an₂, qui est losangique.

Omaspides (Paromaspides) sobrina BOHEMAN.

Espèce du Brésil : Aile petite (9×3 mm), peu chitinisée. Nervation classique. Cul droit, isolé. an₂ losangique, ouvert (aile gauche) et avec la transverse inférieure disparue (aile droite).

50. — Genre **ISCHYROSONYX STURM.**

Genre néotropical. Nous décrivons l'aile d'*Ischyrosonyx nigrosignata* BOHEMAN, de Colombie :

Aile petite (8×3 mm), très chitinisée. Nervation classique. Cul relié à M₂ et à an₂, qui est sublosangique et tantôt ouvert, tantôt fermé.

51. — Genre **CISTUDINELLA CHAMPION.**

Genre néotropical. Nous décrivons l'aile de *Cistudinella notata* BOHEMAN, du Brésil (Bahia) :

Aile petite ($7,5 \times 2,5$ mm), assez chitinisée. Nervation classique, à système cubito-anal peu chitinisé. Cul droit, relié à an₂, qui est losangique.

52. — Genre **ASTERIZA CHEVROLAT.**

Genre néotropical. Nous décrivons l'aile d'*Asteriza flavigornis* OLIVIER, d'Haïti :

Aile moyenne (10×3 mm), bien chitinisée. Nervation classique. Cul droit, relié faiblement à M₂ et à an₂, qui est losangique.

53. — Genre **PHYSONOTA BOHEMAN.**

Genre néotropical, divisé en cinq sous-genres :

Physonota (s. str.) alutacea BOHEMAN.

Espèce de Colombie : Aile moyenne ($12,5 \times 4$ mm), bien chitinisée. Nervation classique. Petit, lenticulaire. Cul à peine incurvé, faiblement relié à M₂ et à an₂, qui est sublosangique.

Physonota (Physonaspis) calcarata BOHEMAN.

Espèce du Mexique : Aile moyenne (13×4 mm), très chitinisée. Nervation classique. M₁ effacé à la base. Cul incurvé, joignant an₂, qui est ouvert et losangique.

Physonota (Platyceyla) deruta BOHEMAN.

Espèce du Mexique : Aile moyenne ($11,5 \times 4$ mm), bien chitinisée. Nervation classique. Cul incurvé, très faiblement, relié à M₂ et à an₂, qui est légèrement ouvert et losangique.

Phynosota (Eurypepla) vitrea BOHEMAN.

Espèce des îles Bahamas : Aile moyenne (10×3 mm), bien chitinisée. Nervation classique. Cul droit, isolé. an₂ losangique, légèrement ouvert.

Physonota (Enagria) ovata BOHEMAN.

Espèce du Mexique : Aile petite (7×2 mm), assez chitinisée. Nervation classique. Cul droit. an₂ losangique, largement ouvert.

54. — Genre **ASPIDOMORPHA HOPE.**

Genre éthiopien et indo-australien, divisé en quatre sous-genres.

Aspidomorpha (s. str.) argillacea WEISE.

Espèce du Congo : Aile moyenne (12×4 mm), assez chitinisée. rt subtriangulaire. rm bisinué. M1 bisinué. Cu1 incurvé, joignant M2 et an2, qui est losangique.

Aspidomorpha (s. str.) ganglbaueri SPAETH.

Espèce du Congo : Aile petite (6×2 mm), transparente. rt subtriangulaire. rm et M1 effacés. Système cubito-anal classique mais, presque disparu.

Aspidomorpha (Megaspidomorpha) chlorotica OLIVIER.

Espèce du Congo belge : Aile moyenne ($13,5 \times 4,5$ mm), bien chitinisée. rt lenticulaire. Nervation classique, avec Cu1 incurvé, relié à M2 et an2, qui est losangique.

Aspidomorpha (Weiseocassis) prasina WEISE.

Espèce du Congo belge : Aile petite ($7 \times 2,5$ mm), transparente. rt triangulaire. rm bisinué, effacé. M1 effacé. Système cubito-anal classique, mais à peine visible.

Aspidomorpha (Conchylloctenia) spilota BOHEMAN.

Espèce du Congo : Aile moyenne (11×4 mm), assez chitinisée. rt triangulaire. Nervation classique, avec Cu1 incurvé, relié à M2 et à an2, qui est losangique.

55. — Genre SINDIA WEISE.

Genre des Indes. Nous décrivons l'aile de *Sindia clathrata* FABRICIUS :

Aile grande (13×5 mm), très chitinisée. Nervation classique. M1 en accent circonflexe. Cul presque droit, faiblement relié à M2 et à an2, qui est sublosangique.

56. — Genre SINDIOLA SPAETH.

Genre de Birmanie. Nous décrivons l'aile de *Sindiola parallelipennis* SPAETH :

Aile petite ($8,5 \times 3$ mm), assez chitinisée. rt triangulaire. Nervation classique, avec Cu1 incurvé, relié à an2, qui est losangique, mais non à M2.

57. — Genre HYBOSINOTA SPAETH.

Genre d'Afrique méridionale et orientale. Nous décrivons l'aile d'*Hybosinota nodulosa* BOHEMAN, du Natal :

Aile petite (8×3 mm), bien chitinisée. Nervation de type classique. rt trapézoïdal. Cul incurvé, relié faiblement à M2 et à an2 en losange allongé.

Hybosinota turrigera BOHEMAN, d'Afrique orientale a une aile de même dimension et de nervation absolument identique.

58. — Genre LACCOPTERA BOHEMAN.

Genre indo-australien et éthiopien, divisé en 9 sous-genres :

Laccoptera (s. str.) excavata BOHEMAN.

Espèce du Cap : Aile moyenne (12×4 mm), bien chitinisée. rt subtriangulaire. M1 fortement bisinué. Cul incurvé, relié faiblement à M2 et à an2, qui est sublosangique.

Laccoptera (Patrisma) murrayi BOHEMAN.

Espèce d'Afrique occidentale : Aile moyenne ($10 \times 3,5$ mm), bien chitinisée. Nervation classique, avec Cu1 légèrement incurvé, relié à an2, qui est losangique, et, faiblement, à M2.

Laccoptera (Orphnoda) cancellata BOHEMAN.

Espèce du Cap : Aile moyenne ($10 \times 3,5$ mm), assez chitinisée. Nervation de type classique, analogue aux précédents.

Laccoptera (Orphnodina) distans SPAETH.

Espèce d'Afrique orientale : Aile moyenne (11×4 mm), bien chitinisée. Nervation analogue aux précédents.

Laccoptera (Orphnodella) abyssinica BOHEMAN.

Espèce d'Afrique du Nord-Est : Aile petite (8×3 mm), assez chitinisée. Nervation de type classique, comme les précédents.

Laccoptera (Laccopteroidea) tredecimpunctata FABRICIUS.

Espèce de Java : Aile petite (8×3 mm), peu chitinisée. Nervation classique, comme les précédents, mais Cul droit, relié seulement à an2.

Laccoptera (Eulaccoptera) corrugata SAHLBERG.

Espèce d'Afrique occidentale : Aile petite ($9 \times 3,5$ mm), assez chitinisée. Nervation classique. Cul relié à M2 et an2.

59. — Genre BASIPTA CHEVROLAT.

Genre d'Afrique du Sud. Nous décrivons l'aile de *Basipta pallens* BOHEMAN, du Cap :

Aile petite (10×3 mm), transparente. rt trapézoïdal. rm peu net, ainsi que M1. Système cubito-anal classique, mais effacé.

60. — Genre MACROMONYCHA SPAETH.

Genre du Caucase et du Turkestan. Nous décrivons l'aile de *Macromonycha apicalis* GEBLER, du Caucase :

Aile petite (5×2 mm), transparente. Nervation effacée, mais classique. an2 losangique, mais peu net.

61. — Genre NABATHAEA SPAETH.

Genre d'Arabie. Nous décrivons l'aile de *Nabathaea pygmaea* SPAETH, d'Aden :

Aile très petite (3×1 mm), transparente. Système cubito-anal classique, mais presque complètement effacé.

62. — Genre CHIRIDULA WEISE.

Genre du Caucase et Turkestan. Nous décrivons l'aile de *Chiridula semenowi* WEISE, du Caucase :

Aile petite ($4,5 \times 1,75$ mm), transparente. Nervation classique, mais rm, M1 et cubito-anales très effacées.

63. — Genre ISCHYRONOTA WEISE.

Genre des régions désertiques nord-africaines et d'Asie centrale. Nous décrivons l'aile d'*Ischyronota desertorum* GEBLER, de Sibérie (Pl. XL, fig. 14) :

Aile petite ($4,5 \times 1,5$ mm), transparente. rt exceptionnellement ouvert. rm et M1 classiques. Système cubito-anal classique, mais très effacé.

64. — Genre OXYLEPIS DESBROCHERS.

Genre méditerranéen. Nous décrivons l'aile d'*Oxylepis deflexicollis* BOHEMAN, d'Algérie :

Aile très petite ($3 \times 0,75$ mm), transparente. Seules subsistent les costo-radiales et les médianes.

65. — Genre CHELYSIDA FAIRMAIRE.

Genre éthiopien. Nous décrivons l'aile de *Chelysida obtecta* FAIRMAIRE, d'Abyssinie : Aile petite (6×2 mm), assez chitinisée. Nervation classique, avec Cul fortement incurvé, relié seulement à an₂, qui est sublosangique.

66. — Genre TRICHASPIS SPAETH.

Genre éthiopien, divisé en deux sous-genres.

Trichaspis (s. str.) pilosula BOHEMAN.

Espèce d'Afrique du Sud-Ouest : Aile petite ($4,5 \times 1,5$ mm), transparente. Nervation classique, mais système cubito-anal faible.

Trichaspis (Crossocassis) pilosa SPAETH.

Espèce d'Afrique méridionale : Aile très petite ($3 \times 0,75$ mm), transparente. Système cubito-anal classique, mais presque complètement effacé.

67. — Genre PSALIDOMA SPAETH.

Genre de Rhodésie-Zambèze. Nous décrivons l'aile de *Psalidoma holubi* SPAETH :

Aile petite (9×3 mm), assez chitinisée. Nervation classique, avec Cul droit, relié seulement à an₂, qui est losangique.

68. — Genre SPHENOCASSIS SPAETH.

Genre malgache. Nous décrivons l'aile de *Sphenocassis humerosa* FAIRMAIRE :

Aile petite ($6,5 \times 2,5$ mm), assez chitinisée. Nervation classique, avec Cul droit, relié faiblement à an₂, qui est sublosangique et légèrement ouvert.

69. — Genre ACROCASSIS SPAETH.

Genre éthiopien. Nous décrivons l'aile d'*Acrocassis testaceicollis* J. THOMSON, de Guinée : Aile petite ($4,5 \times 1,75$ mm), assez chitinisée. Nervation classique, avec Cul légèrement incurvé, n'atteignant ni M₂, ni an₂, qui est subtriangulaire.

Acrocassis gibbosa GESTRO, du Tanganika, a une aile plus grande ($7 \times 2,5$ mm), bien chitinisée et une nervation en tout point semblable.

70. — Genre CAPELOCASSIS SPAETH.

Genre indien. Nous décrivons l'aile de *Capelocassis dorsata* DUVIVIER, du Bengale :

Aile petite (6×2 mm), assez chitinisée. Nervation classique, avec Cul relié simplement à an₂, qui est sublosangique.

71. — Genre GLYPHOCASSIS SPAETH.

Genre indien. Nous décrivons l'aile de *Glyphocassis trilineata* HOPE :

Aile petite ($5,5 \times 2$ mm), assez chitinisée. Nervation classique, avec M₁ fortement bisinué, Cul incurvé, relié faiblement à an₂, qui est sublosangique.

72. — Genre FORNICOCASSIS SPAETH.

Genre éthiopien. Nous décrivons l'aile de *Fornicocassis unicolor* SPAETH, du Congo belge (Pl. XL, fig. 17) :

Aile microptère ($1,25 \times 0,25$ mm), transparente. On y distingue seulement des vestiges de R₁.

73. — Genre *OOCASSIDA* WEISE.

Genre des Indes. Nous décrivons l'aile d'*Oocassida cruenta* FABRICIUS, de Konbir : Aile petite (6×2 mm), assez chitinisée. Nervation classique, avec M₁ droit, peu net. Cul relié à an₂, qui est losangique.

74. — Genre *CASSIDA* LINNÉ.

Genre de l'ancien monde, divisé en 19 sous-genres :

***Cassida* (s. str.) *nebulosa* LINNÉ.**

Espèce d'Europe : Aile petite (6×2 mm), assez chitinisée. Nervation classique, avec M₁ fortement bisinué, Cul droit, ne joignant ni M₂, ni an₂.

***Cassida* (s. str.) *rubiginosa* MÜLLER.**

Espèce de France : Aile petite (6×2 mm), peu chitinisée. Nervation identique à la précédente, mais Cul joignant faiblement an₂.

***Cassida* (*Cassidulella*) *vittata* VILLIERS.**

Espèce de Grèce (Pl. XL, fig. 11) :

Aile petite ($5,5 \times 1,75$ mm), transparente. Nervation classique mais à système cubito-anal presque complètement effacé.

***Cassida* (*Pseudocassida*) *murraea* LINNÉ.**

Espèce d'Europe : Aile petite ($7,5 \times 3$ mm), assez chitinisée. Nervation classique, avec Cul relié faiblement à an₂, qui est losangique.

***Cassida* (*Mionycha*) *margaritacea* SCHALLER.**

Espèce d'Europe (Pl. XL, fig. 10) :

Aile microptère ($1,5 \times 0,75$ mm), peu chitinisée. Très faibles vestiges de R₁ et d'autres nervures non identifiables.

***Cassida* (*Alledoya*) *seraphina* MÉNÉTRIÉS.**

Espèce de Syrie : Aile petite ($5,5 \times 1,75$ mm), assez chitinisée. Nervation classique, avec Cul droit, joignant an₂, qui est sublosangique.

***Cassida* (*Lordiconia*) *canaliculata* LAICHARTING.**

Espèce d'Europe centrale : Aile petite ($8 \times 2,75$ mm), assez chitinisée. Nervation classique, comme la précédente.

***Cassida* (*Hypocassida*) *subferruginea* SCHRANK.**

Espèce d'Italie : Aile petite ($5,5 \times 2$ mm), peu chitinisée. Cul incurvé, n'atteignant pas an₂.

***Cassida* (*Odontionycha*) *viridis* LINNÉ.**

Espèce d'Europe : Aile petite ($8 \times 2,5$ mm), assez chitinisée. Nervation classique avec Cul incurvé, ne joignant ni M₂, ni an₂, qui est ouvert. L'aile gauche du spécimen étudié présente an₂ sans la transverse inférieure.

***Cassida* (*Pilemostoma*) *fastuosa* SCHALLER.**

Espèce d'Europe (Pl. XL, fig. 9) :

Aile microptère ($1 \times 0,30$ mm), avec vestiges des costo-radiales et de M₂.

Cassida (Taiwania) sauteri SPAETH.

Espèce de Formose : Aile petite ($7,5 \times 2,5$), assez chitinisée. Nervation classique, avec Cu1 droit, ne joignant pas an2, qui est losangique.

Cassida (Trigonocassis) conducta BOHEMAN.

Espèce du Congo belge : Aile petite ($6,5 \times 2,5$ mm), assez chitinisée. Cul joignant an2, qui est sublosangique.

Cassida (Chloocassis) indicola DUVIVIER.

Espèce de Bengale : Aile petite ($4 \times 1,25$ mm), transparente. Nervation classique. Cu1 n'atteignant pas an2.

75. — Genre AETHIOPOCASSIS SPAETH.

Genre éthiopien. Nous décrivons l'aile d'*Aethiopocassis magnei* SPAETH, de l'Ulula (Pl. XL, fig. 5) :

Aile petite (9×3 mm), bien chitinisée. M1 bisinué. Cu1 droit, joignant an2 par une transverse.

76. — Genre CHIRIDOPSIS SPAETH.

Genre éthiopien. Nous décrivons l'aile de *Chiridopsis aulei* BOHEMAN, du Congo belge :

Aile petite (6×2 mm), assez chitinisée. Cul incurvé, n'atteignant pas an2, qui est losangique.

77. — Genre THLASPIDA WEISE.

Genre indien et extrême-oriental. Nous décrivons l'aile de *Thlaspida biramosa* BOHEMAN, des Indes :

Aile petite (8×3 mm), peu chitinisée. M1 peu net, bisinué. Cu1 droit, isolé. an2 sublosangique, mal fermé.

78. — Genre THLASPIDOSOMA SPAETH.

Genre malais. Nous décrivons l'aile de *Thlaspidosoma philippina* SPAETH, des Philippines :

Aile petite (9×3 mm), assez chitinisée. Nervation classique, avec M1 fortement bisinué. Cu1 droit, isolé et an2 losangique.

79. — Genre RHACOCASSIS SPAETH.

Genre indo-malais. Nous décrivons l'aile de *Rhacocassis flavoplagiata* BALY, de Malacca :

Aile petite ($9,5 \times 3,5$ mm), assez chitinisée. Nervation classique avec Cu1 droit, relié à M2 et à an2, qui est losangique.

80. — Genre THLASPIDOMORPHA SPAETH.

Genre de Ceylan. Nous décrivons l'aile de *Thlaspidomorpha balyi* BOHEMAN :

Aile moyenne ($10,5 \times 3,5$ mm), assez chitinisée. Nervation classique, avec M1 fortement bisinué, Cu1 droit, isolé et an2 losangique.

81. — Genre MALAYOCASSIS SPAETH.

Genre malais. Nous décrivons l'aile de *Malayocassis hilaris* BOHEMAN, de Malacca :

Aile petite ($7 \times 2,5$ mm), assez chitinisée. Nervation classique, avec Cu1 isolé et an2 sublosangique.

82. — Genre HOVACASSIS SPAETH.

Genre malgache. Nous décrivons l'aile d'*Hovacassis discolor* BOHEMAN :

Aile petite ($7 \times 2,5$ mm), assez chitinisée. Nervation classique, avec Cul incurvé, isolé et an2 sublosangique.

83. — Genre RHOIA SPAETH.

Genre monospécifique du Brésil. Nous décrivons l'aile de *Rhoia clavareaui* SPAETHII, de Corumba :

Aile moyenne ($10 \times 3,5$ mm), peu chitinisée. Nervation classique, avec M₁ effacé, Cul droit, relié à an₂, qui est losangique.

84. — Genre SCAEOCASSIS SPAETH.

Genre de l'Amazone. Nous décrivons l'aile de *Scaeocassis combusta* BOHEMAN :

Aile moyenne (10×3 mm), bien chitinisée. Nervation classique, avec Cul droit, relié à an₂, qui losangique, et à M₂.

85. — Genre HYBOSA DUPONCHEL et CHEVROLAT.

Genre néotropical. Nous décrivons l'aile d'*Hybosa gibbera* BOHEMAN, du Brésil :

Aile moyenne ($13 \times 4,5$ mm), bien chitinisée. Nervation classique, avec Cul droit, relié à an₂, qui est losangique.

86. — Genre EXESTASTICA SPAETH.

Genre monospécifique du Brésil. Nous décrivons l'aile d'*Exestastica ignobilis* BOHEMAN :

Aile petite ($9,5 \times 3$ mm), bien chitinisée. Nervation classique, avec Cul relié faiblement à M₂ et à an₂, qui est losangique.

87. — Genre JONTHONOTA SPAETH.

Genre du Mexique et des U.S.A. Nous décrivons l'aile de *Jonthonota nigripes* OLIVIER, d'Amérique du Nord.

Aile petite ($7 \times 2,5$ mm), assez chitinisée. Nervation classique, avec Cul incurvé, joignant an₂, qui est losangique.

88. — Genre CHERSINELLINA HINCKS.

Genre néotropical. Nous décrivons l'aile de *Chersinellina heteropunctata* BOHEMAN, de Colombie :

Aile petite ($7,5 \times 2,5$ mm), assez chitinisée. Nervation classique, avec Cul incurvé, isolé et an₂ sublosangique.

89. — Genre SAULASPIS SPAETH.

Genre néotropical. Nous décrivons l'aile de *Saulaspis bistrilineata* BOHEMAN, de Montevideo :

Aile petite ($6 \times 2,25$ mm), peu chitinisée. Nervation classique, avec Cul droit, relié à an₂ sublosangique.

90. — Genre APOROCASSIDA SPAETH.

Genre néotropical. Nous décrivons l'aile d'*Aporocassida graphica* GERMAR, du Paraguay :

Aile petite ($4,75 \times 1,75$ mm), peu chitinisée. Cul droit, relié faiblement à an₂, qui est losangique.

91. — Genre AGROICONOTA SPAETH.

Genre néotropical. Nous décrivons l'aile d'*Agroiconota tristriata* FABRICIUS, du Brésil (Bahia) :

Aile petite (6×2 mm), peu chitinisée. Cul droit, isolé. an₂ losangique.

92. — Genre GRATIANA SPAETH.

Genre néotropical. Nous décrivons l'aile de *Gratiana spadicea* KLUG, du Brésil :

Aile petite ($6,5 \times 2,25$ mm), peu chitinisée. M₁ en accent circonflexe. Cul droit, isolé. an₂ en losange déformé.

93. — Genre PARORECTIS SPAETH.

Genre centre-américain. Nous décrivons l'aile de *Parorectis rugosa* BOHEMAN, du Guatémala :

Aile petite ($6,5 \times 2$ mm), bien chitinisée. Cu1 incurvé, joignant an2, qui est sublosangique.

94. — Genre CRAMBELEA SPAETH.

Genre du Brésil. Nous décrivons l'aile de *Crambelea illudens* BOHEMAN :

Aile petite ($8 \times 2,5$ mm), bien chitinisée. Cu1 droit, joignant an2, qui est losangique et mal fermé.

95. — Genre ISCHNOCODIA SPAETH.

Genre néotropical. Nous décrivons l'aile d'*Ischnocodia annulus* FABRICIUS, d'Amérique centrale :

Aile petite ($7 \times 2,5$ mm), bien chitinisée. Cu1 droit, joignant an2, qui est losangique. Cubito-anales faibles.

96. — Genre AIDOIA SPAETH.

Genre néotropical, monospécifique. Nous décrivons l'aile d'*Aidoia nubilosa* BOHEMAN, de Colombie :

Aile moyenne (13×4 mm), bien chitinisée. M1 en accent circonflexe, effacé à la base. Cu1 incurvé, isolé. an2 losangique, largement ouvert.

97. — Genre OREXITA SPAETH.

Genre néotropical. Nous décrivons l'aile d'*Orexita picta* BOHEMAN, du Brésil (Pl. XL, fig. 7).

Aile moyenne (12×4 mm), bien chitinisée. Cu1 droit, joignant faiblement M2 et an2 en losange allongé.

98. — Genre COPTOCYCLA CHEVROLAT.

Genre néotropical, divisé en cinq sous-genres :

Coptocyclus (s. str.) *undecimpunctata* FABRICIUS.

Espèce de Cayenne : Aile moyenne ($11 \times 3,75$ mm), bien chitinisée. Cul droit, joignant an2, qui est large, sublosangique.

Coptocyclus (*Coptocyclella*) *adamantina* GERMAR.

Espèce du Venezuela : Aile petite (8×3 mm), bien chitinisée. Cul droit, joignant an2, qui est losangique, fermé dans l'aile droite d'un spécimen et largement ouvert dans l'aile gauche.

Coptocyclus (*Dyscineta*) *robusta* SPAETH.

Espèce de Bolivie : Aile petite (9×3 mm), bien chitinisée. Cul droit, isolé. an2 losangique.

Coptocyclus (*Psalidionota*) *aerata* BOHEMAN.

Espèce du Guatémala : Aile moyenne (12×4 mm), bien chitinisée. Cul légèrement incurvé, relié faiblement à M2 et an2, qui est losangique.

Coptocyclus (*Podostraba*) *arcuata* SWEDERUS.

Espèce du Brésil : Aile petite ($7 \times 2,5$ mm), peu chitinisée. Cul droit, isolé. an2 losangique, mal fermé.

99. — Genre **NUZONIA SPAETH.**

Genre néotropical. Nous décrivons l'aile de *Nuzonia cayennensis* BOHEMAN, du Brésil : Aile petite (8×3 mm), assez chitinisée. Cu1 presque droit, relié à an2, qui est losangique.

100. — Genre **PLAGIOMETRIONA SPAETH.**

Genre néotropical, divisé en deux sous-genres.

Plagiometrina (s. str.) *flavescens* BOHEMAN.

Espèce du Brésil : Aile petite ($5,5 \times 1,75$ mm), transparente. M1 en accent circonflexe. Cul incurvé, relié à an2, qui est losangique.

Plagiometrina (Parametrina) *ambigena* BOHEMAN.

Espèce du Brésil : Aile petite ($6 \times 2,5$ mm), peu chitinisée. Cu1 droit, relié à an2 sublosangique.

101. — Genre **METRIONA WEISE.**

Genre néotropical. Nous décrivons l'aile de *Metriona elatior* KLUG, du Brésil :

Aile petite ($8,5 \times 3$ mm), assez chitinisée. M1 bisinué. Cul légèrement incurvé, relié à an2, qui est sublosangique.

Metriona trisignata BOHEMAN, du Mexique, a une aile plus petite (6×2 mm), peu chitinisée. Cul droit, isolé. an2 losangique.

102. — Genre **DELOYALA CHEVROLAT.**

Genre néotropical. Nous décrivons l'aile de *Deloyala cruciata* LINNÉ, du Brésil :

Aile petite ($7 \times 2,5$ mm), assez chitinisée. M1 fortement bisinué. Cul droit, relié à an2 sublosangique.

103. — Genre **SYNGAMBRIA SPAETH.**

Genre néotropical. Nous décrivons l'aile de *Syngambria andreae* BOHEMAN, du Brésil (Pl. XL, fig. 12) :

Aile petite ($8 \times 2,5$ mm), assez chitinisée. M1 bisinué. Cu1 droit, isolé. an2 losangique, mal fermé.

104. — Genre **CHARIDOTELLA WEISE.**

Genre néotropical, divisé en quatre sous-genres.

Charidotella (s. str.) *inconstans* BOHEMAN.

Espèce de Cayenne : Aile petite ($5,5 \times 1,75$ mm), assez chitinisée. Cu1 droit, relié à an2 losangique.

Charidotella (Philaspis) *polita* KLUG.

Espèce du Brésil : Aile petite ($6,5 \times 2,5$ mm), peu chitinisée. Comme le précédent.

Charidotella (Chaerocassis) *marculenta* BOHEMAN.

Espèce du Brésil : Aile petite (6×2 mm), peu chitinisée. Comme les précédents.

Charidotella (Xenocassis) *amoena* BOHEMAN.

Espèce du Guatémala : Aile petite ($6,5 \times 2$ mm), peu chitinisée. Nervation identique mais Cu1 isolé.

TABLEAU I. — Classification

CHAPUIS, 1874	JACOBY, 1908	CHEN, 1934	BOVING et CRAIGHEAD, 1931
Eupodes	Eupoda	Eupoda	
1 Sagrides	1 <i>Sagrinae</i>	1 <i>Sagrinae</i>	1 <i>Sagridae</i>
2 Donaciides	2 <i>Donaciinae</i>	2 <i>Donaciinae</i>	2 <i>Orsodacnidae</i>
3 Criocerides	3 <i>Orsodacninae</i>	3 <i>Orsodacninae</i>	3 <i>Donaciidae</i>
	4 <i>Criocerinae</i>	4 <i>Criocerinae</i>	4 <i>Camplosomatidae</i>
Camptosomes			5 <i>Eumolpidae</i>
4 Megascelides	Camptosoma	Camptosoma	6 <i>Crioceridae</i>
5 Megalopides	5 <i>Megascelinae</i>	5 <i>Megascelinae</i>	7 <i>Chrysomelidae</i>
6 Clytrides	6 <i>Megalopodinae</i>	6 <i>Megalopodinae</i>	8 <i>Galerucidae</i>
7 Cryptocephalides	7 <i>Clytrinae</i>	7 <i>Clytrinae</i>	9 <i>Hispidae</i>
8 Chlamydes	8 <i>Cryptocephalinae</i>	8 <i>Cryptocephalinae</i>	10 <i>Cassididae</i>
9 Sphaerochardes	9 <i>Chlamydinae</i>	9 <i>Chlamydinae</i>	
Cycliques	Cyclica	Cyclica	
10 Lamprosomides	10 <i>Lamprosominae</i>	10 <i>Lamprosominae</i>	
11 Eumolpides	11 <i>Eumolpinae</i>	11 <i>Eumolpinae</i>	
12 Chrysomélides	12 <i>Chrysomelinae</i>		
13 Galérucides		Trichostoma	
Cryptosomes	Trichostoma	12 <i>Chrysomelinae</i>	
14 Hispides	13 <i>Galerucinae</i>	13 <i>Galerucinae</i>	
15 Cassidides	14 <i>Halticinae</i>	14 <i>Halticinae</i>	
	Cryptostoma	Cryptostoma	
	15 <i>Hispinae</i>	15 <i>Hispinae</i>	
	16 <i>Cassidinae</i>	16 <i>Cassidinae</i>	

105. — Genre METRIONELLA SPAETH.

Genre néotropical. Nous décrivons l'aile de *Metrionella placans* SPAETH, du Rio Santiago : Aile petite ($5 \times 1,75$ mm), assez chitinisée. Cu1 droit, relié à an2, qui est losangique.

106. — Genre TETRACASSIS SPAETH.

Genre néotropical. Nous décrivons l'aile de *Tetracassis lyra* SPAETH, de Minas Geraës (Brésil) :

Aile petite ($7 \times 2,5$ mm), assez chitinisée. Cu1 droit, relié faiblement à M2 et à an2, qui est losangique.

107. — Genre TAPINASPIS SPAETH.

Genre néotropical. Nous décrivons l'aile de *Tapinaspis wesmaeli* BOHEMAN, du Mexique : Aile petite ($8,5 \times 2,75$), assez chitinisée. Cu1 droit, relié à an2, qui est losangique.

comparée des Chrysomeloidea.

CHEN, 1940	MONBOS, 1952	CROWSON, 1953	JOLIVET, 1954
Donaciidae	Eupoda		
1 <i>Sagrinae</i>	1 <i>Sagrinae</i>	1 <i>Megalopodinae</i>	Eupoda
2 <i>Donaciinae</i>	7 <i>Megalopodinae</i>	2 <i>Orsodacninae</i>	1 <i>Sagridae</i>
3 <i>Orsodacninae</i>	3 <i>Orsodacninae</i>	3 <i>Sagrinae</i>	2 <i>Aulacoscelidae</i>
4 <i>Criocerinae</i>	4 <i>Donaciinae</i>	4 <i>Donaciinae</i>	3 <i>Orsodacnidae</i>
5 <i>Megalopodinae</i>	5 <i>Criocerinae</i>	5 <i>Criocerinae</i>	4 <i>Donaciidae</i>
6 <i>Megascelinae</i>	6 <i>Megascelinae</i>	6 <i>Clytrinae</i>	5 <i>Megalopodidae</i>
Chrysomelidae	Camptosoma	7 <i>Aulacoscelinae</i>	6 <i>Crioceridae</i>
1 <i>Chrysomelinae</i>	7 <i>Clytrinae</i>	8 <i>Chrysomelinae</i>	7 <i>Synetidae</i>
2 <i>Galerucinae</i>	8 <i>Cryptocephalinae</i>	9 <i>Galerucinae</i>	Camptosoma
3 <i>Halticinae</i>	9 <i>Chlamisinae</i>	10 <i>Eumolpinae</i>	8 <i>Clytridae</i>
	10 <i>Lamprosominae</i>	11 <i>Hispaniae</i>	9 <i>Cryptocephalidae</i>
Cryptocephalidae	Cyclica		10 <i>Chlamisidae</i>
1 <i>Clytrinae</i>	11 <i>Eumolpinae</i>		Cyclica
2 <i>Cryptocephalinae</i>	12 <i>Chrysomelinae</i>		11 <i>Lamprosomidae</i>
3 <i>Chlamydinae</i>			12 <i>Megascelidae</i>
Eumolpidae	Trichostoma		13 <i>Eumolpidae</i>
	13 <i>Galerucinae</i>		Trichostoma
Cassididae	14 <i>Alticinae</i>		14 <i>Chrysomelidae</i>
1 <i>Hispaniae</i>			15 <i>Galerucidae</i>
2 <i>Cassidinae</i>	Cryptostoma		16 <i>Halticidae</i>
	15 <i>Hispaniae</i>		Cryptostoma
	16 <i>Cassidinae</i>		17 <i>Hispidae</i>
			18 <i>Cassidiidae</i>

108. — Genre METRIONASPIS SPAETH.

Genre néotropical. Nous décrivons l'aile de *Metrionaspis rubicunda* GUÉRIN, de Bolivie : Aile petite ($8 \times 2,75$ mm), assez chitinisée. Cul légèrement incurvé, n'atteignant pas an2, qui est losangique.

109. — Genre CHARIDOTIS BOHEMAN.

Genre néotropical. Nous décrivons l'aile de *Charidotis pupillata* BOHEMAN, du Brésil : Aile petite ($4 \times 1,25$ mm), transparente. M1 disparu. Cul incurvé, relié à an2, qui est losangique.

110. — Genre CTEISELLA WEISE.

Genre néotropical. Nous décrivons l'aile de *Cteisella signatifera* BOHEMAN, du Brésil : Aile petite ($5,5 \times 1,5$ mm), peu chitinisée. Système cubito-anal effacé avec Cul droit, relié à an2, qui est losangique et peu net.

111. — Genre MICROCTENOCHIRA SPAETH.

Genre néotropical. Nous décrivons l'aile de *Microctenochira (Euctenochira) aciculata* BOHEMAN.

Aile petite ($8 \times 2,5$ mm), bien chitinisée. Cu1 droit, touchant an2, qui est losangique.

Microctenochira (Euctenochira) vivida BOHEMAN.

Espèce du Mexique : Aile petite (6×2 mm), assez chitinisée. Nervation identique à la précédente.

CONCLUSIONS SUR LES CASSIDIDAE.

Les Cassididae présentent le plus pur type cryptostomique et ne s'en écartent pratiquement jamais. Leur nervation est extraordinairement constante à travers les genres et il est impossible d'y trouver une filiation quelconque. Quelques cas d'aptérisme (*Delocrania*, *Elytrogona*) et de microptérisme (*Stoiba*, *Fornicocassis* et les sous-genres *Pilemostoma* et *Mionycha* de *Cassida*) sont connus, mais ils demeurent l'exception. Les ailes sont, en général, bien chitinisées.

IV. — ESQUISSE PHYLOGÉNIQUE.

Nous n'envisagerons ici qu'accessoirement et très secondairement la morphologie externe, laissant ce problème aux systématiciens. Nous nous contenterons d'insister sur divers faits biologiques et anatomiques, qui corroborent l'évolution de la nervation alaire. Il a malheureusement été impossible de faire appel aux fossiles de Coléoptères pour appuyer nos hypothèses. A l'état fossile, peu de Chrysomélides et même de Coléoptères en général ont les ailes étalées et, de toute façon, il est impossible d'y distinguer une nervation complète. Nous renvoyons à l'esquisse phylogénique que nous avons déjà tentée précédemment à propos des Sagrides (III, 1) pour quelques détails complémentaires.

Il est très difficile d'établir une classification cohérente des *Chrysomeloidea* en rapport avec la phylogénie. Trop d'inconnues subsistent encore sur les stades larvaires par exemple (*Aulacoscelis*, Sagrides australiens, *Syneta*, *Megascelidae*, *Megalopodidae*, etc.). Nous renvoyons aux excellents travaux phylogéniques de CHEN (1940) et de CROWSON (1953) pour les différents caractères morphologiques (tête, appendices céphaliques, mode d'insertion des antennes, orientation des pièces buccales, thorax, forme des coxae, fémurs, abdomen, etc.). Les genitalia ♂ ♂ ont été étudiés par SHARP et MUIR (1912), ZIA (1936), POWELL (1941). Les genitalia ♀ ♀, par TANNER (1927), le réceptacle séminal par SPETT et LEWITT (1924, 1925, 1926). CROWSON (1938, 1944) a esquissé une étude phylogénique des Coléoptères, dont les Chrysomélides, d'après le métendosternite. Les larves ont été étudiées par BÖVING et CRAIGHEAD (1931) et CHEN (1940).

Ce dernier auteur a également basé sa phylogénie sur la nervation alaire. Il serait trop long de détailler ici les divers systèmes de classification, au fond pas tellement dissemblables. Nous nous contenterons de donner un tableau comparatif des principaux systèmes proposés. Celui que nous adoptons est figuré en dernier.

L'étude de la nervation alaire est peut-être le caractère le plus probant et le plus rigoureux pour une esquisse phylogénique. Il a permis, entre autres, de rectifier de nombreuses erreurs des auteurs et de placer des genres énigmatiques à leur véritable place. Citons, par exemple, les genres *Chilozena*, *Bechynéia*, *Hemydache*, *Hornius*, *Psathyrocerus*, *Stenomela*, *Macrolema*, etc., qui sont des Eumolpides typiques. Également les Mégascélides, longtemps placés au voisinage des Mégalopodides, auxquels ils ressemblent étrangement, ont une nervation typiquement Eumolpide.

On voit, par là même, que les fémurs hypertrophiés des Sagrides, Mégascélides et Mégalopodides, non fonctionnels pour le saut, contrairement à ceux des Halticides, sont des cas d'hypertélie manifeste. Ce ne sont que des phénomènes de convergence et c'est une erreur de leur attribuer une valeur systématique.

Quant au genre *Aulacoscelis*, ses caractères très particuliers, notamment la forme archaïque des genitalia, à tegmen en anneau, la nervation alaire de type chrysomélide et sa morphologie, en font indubitablement une famille à part, comme il a été nécessaire d'en créer une pour les *Syneta*.

Il est évident cependant que la nervation alaire ne doit pas être employée seule. Il faut, en effet, se méfier des phénomènes de convergence et s'appuyer sur d'autres caractères comme les genitalia ou la morphologie larvaire.

Les principaux types de nervation alaire reconnus au cours de cette étude sont au nombre de dix. Des types secondaires et dérivés ont été mentionnés à propos des familles. Citons ces différents types :

1. Le type mégaméroïde avec deux cellules anales, représenté chez les Sagrides primitifs d'Australie, Madagascar et Argentine.
2. Le type pseudomégaméroïde, représenté par des Sagrides australiens, manifestement dérivé du précédent avec deux cellules anales également.
3. Le type eupodique, représenté chez les *Sagra*, Donaciides, Mégalopodides et Orsodacnides. Ce type n'a qu'une cellule anale.
4. Le type chrysomélide, dérivé du précédent, avec suppression d'une branche de la cubitale et représenté chez les Criocérides, Chrysomélides, Galérucides et Halticides.
5. Le type camptosomatique avec deux cellules anales et une seule cubitale, représenté par les Clytrides et les Cryptocéphalides.
6. Le type lamprosomide et 7, le type sphærocharide, très voisins, manifestement dérivés du précédent, avec deux cellules anales et faisant la transition avec le type eumolpide.
8. Le type cryptostomique, représenté par les Cassides et les Hispides, est caractérisé par le développement de Cu₁, qui est continu avec la deuxième cellule anale.
9. Le type eumolpide, avec deux cellules anales et deux branches de Cu₁. Il caractérise les Eumolpides et est généralement accompagné d'une tache médio-cubitale caractéristique.
10. Le type chlamyde. C'est un type dégénéré, dérivé du type camptosomatique et caractérisant les Chlamisides.

Il ressort nettement de cette étude que les Sagrides, se rapprochant des Cérambycides par leur nervation, sont les plus primitifs. Cependant, les Sagrides présentant plusieurs types de nervation alaire, l'origine des *Chrysomeloidea* pourrait bien être polyphylétique. Nous avons figuré, en nous basant sur les divers caractères morphologiques, anatomiques, larvaires et surtout sur la nervation alaire, un tableau phylogénique des différentes familles des *Chrysomeloidea*. Il semble bien que ces derniers, ainsi que les Bruchides et les Cérambycides, sont dérivés d'un ancêtre commun, peut-être « parandroïde », comme le suggèrent SHARP et MUIR.

A partir de l'origine probable Sagride, origine discutée par CROWSON, qui voit dans les Mégalopodides le type le plus primitif, se sont spécialisés les lignées suivantes : 1° la lignée Donaciide, aquatique ou subaquatique, très voisine des Sagrides. 2° la lignée Chrysomélide, caractérisée par la réduction des nervures alaires et représentée par les Criocérides, Aulacoscelides, Chrysomélides, Galérucides et Halticides, tous probablement dérivés des Sagrides par les Orsodacnides. Les Synétides, à affinités assez confuses (CROWSON, 1953), semblent un rameau dérivé des Orsodacnides. 3° la lignée Camptosomatique dérivée des Sagrides par

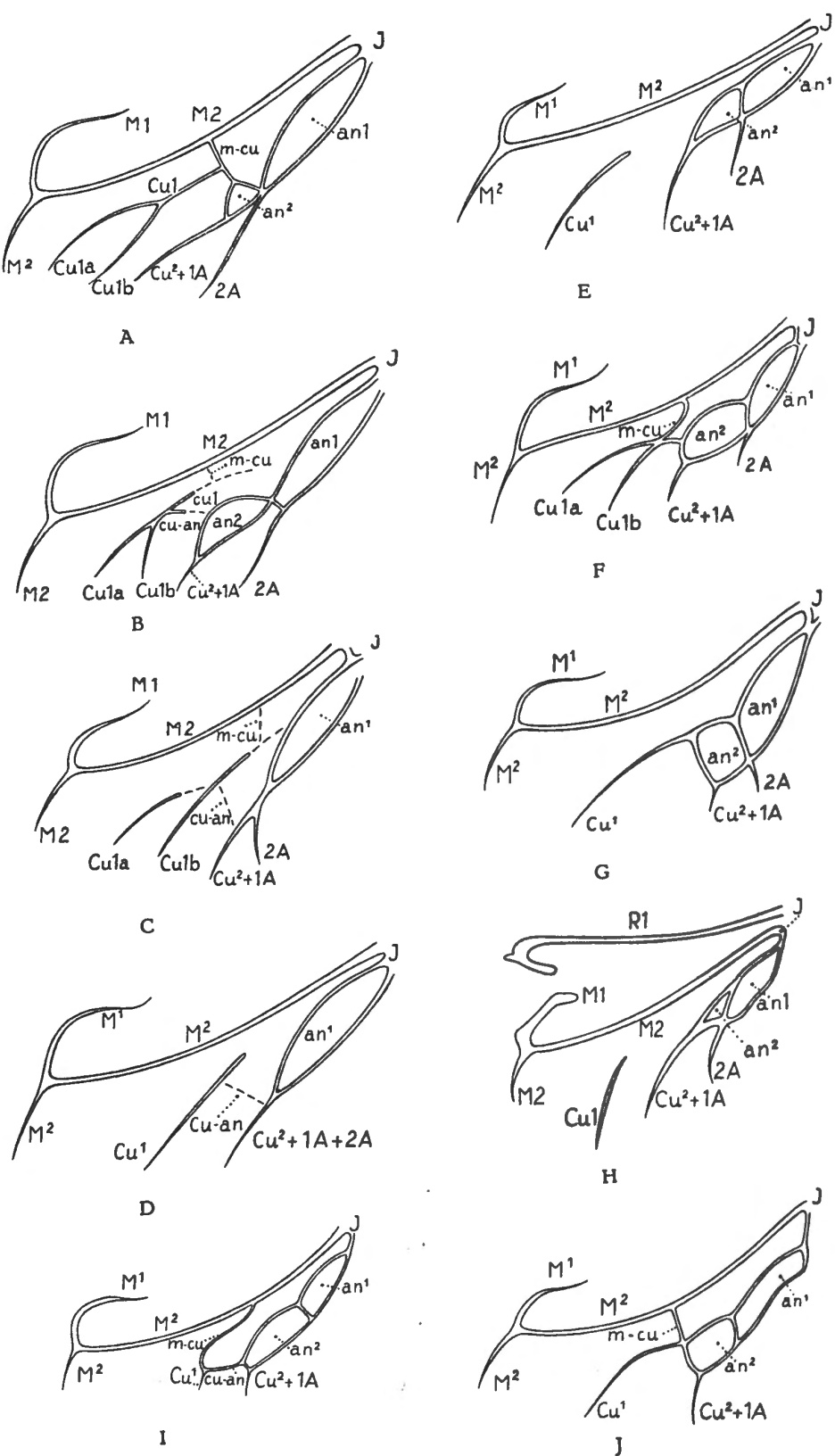


FIG. 12.

l'intermédiaire des Mégalopodides, qui donne naissance à deux familles divergentes morphologiquement : les Eumolpides et les Mégascélides. 4° la lignée Hispide-Casside, que CHEN (1940) fait dériver, avec doute, de la lignée camptosomatique, mais que nous préférons faire dériver directement des Sagrides.

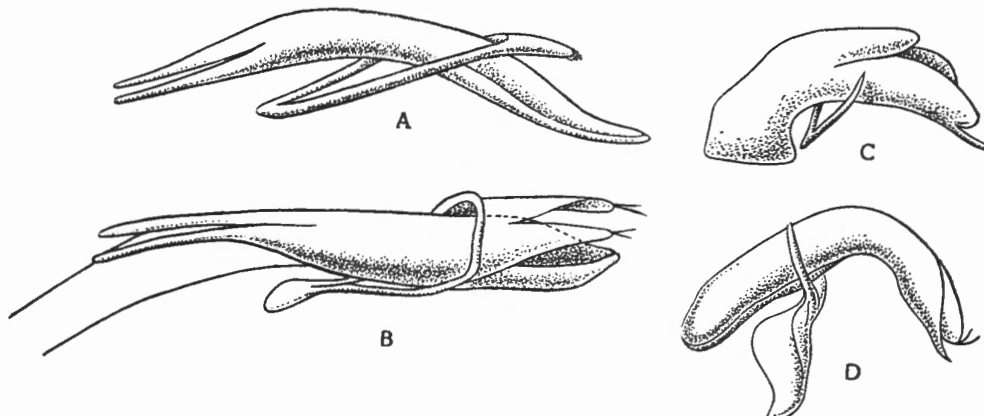


FIG. 13. — Genitalia ♂♂ de :
 A : *Zeugophora scutellaris* SUFFRIAN (Orsodacnidae) ($\times 25$); B : *Orsodacne cerasi* L. (Orsodacnidae) ($\times 25$); C : *Syneta betulae* F. (Synetidae) ($\times 27$); D : *Chiloxena westwoodi* BALY (Eumolpidae) ($\times 20$).

Les genitalia ♂♂ (Pl. XI et XII) des différentes familles corroborent la classification ci-dessus. Le genitalia le plus primitif est celui représenté par *Orsodacne*, avec un très grand sac interne, une paire d'apophyses basales longues et lamiformes et le développement d'une paire de lobes latéraux au capuchon apical du tegmen. Ce type de genitalia, profondément fendu, est une preuve de l'origine double de cet organe. De ce type primitif est issu le type complet, où le tegmen est annulaire et le type incomplet où le tegmen est en V ou en Y. Le premier type est représenté par les Orsodacnides, Sagrides, Donaciides, Aulacoscelides, Mégalopodides et, exceptionnellement parmi les Chrysomélides, par le genre *Timarcha*. Le deuxième type est représenté par les autres familles. Le genre *Megascelis* a des genitalia typiquement eumolpides, tandis que les Mégalopodides ont des genitalia encore très primitifs. Les *Aulacoscelis* présentent un type de genitalia très primitifs, profondément fendus à la base, à l'apex et au capuchon segmental. Le type incomplet de genitalia montre deux lignes de spécialisation : l'une, représentée par Criocérides, Chrysomélides, Galérucides et Halticides, est caractérisée par le tegmen à position plus ou moins distante du bord ventral du foramen médian. L'autre, représentée par les Clytrides, Cryptocéphalides, Chlamisides, Eumolpides et Cassidides, est caractérisée par le tegmen directement attaché au bord ventral du foramen médian. Notons que, chez les Galérucides du genre *Monoxia*, les genitalia ♂♂ sont plus ou moins proportionnels à la taille de l'insecte. Cependant, seul dans le genre, dans la tribu, et peut-être dans tous les Galérucides, *Monoxia puncticollis* SAY (Pl. XII, fig. 3) a des genitalia énormes, hypertéliques, atteignant toute la longueur de l'abdomen. Normalement les genitalia ♂♂ sont placés à l'extrémité abdominale.

EXPLICATION DE LA FIGURE 12.

FIG. 12. — Types de nervation des Chrysomeloidea.

A : mégaméroïde; B : pseudomégaméroïde; C : eupodique; D : chrysomélide;
 E : camptosomatique; F : eumolpide; G : cryptostomique; H : chlamyde; I : lamprosomide;
 J : sphaerocharide.

CHEN (1940) a fait une excellente étude biologique et systématique des larves des Chrysomeloidea, pour autant qu'elles soient connues. Il les a divisées biologiquement en aquatiques (*Donaciidae*), porte-fourreaux (*Clytridae*, *Cryptocephalidae*, *Chlamisidae*, *Lamprosomidae*), porte-excréments (*Crioceridae*, *Cassididae*), externes [*Chrysomelidae*, *Halticidae* (pars), *Galerucidae* (pars)], mangeurs de racines [*Galerucidae* (pars), *Halticidae* (pars), *Eumolpidae*], rongeurs de tiges [*Sagridae*, *Galerucidae* (occasionnellement), *Halticidae* (occasionnellement), *Eumolpidae* ?] mineurs de feuilles [*Orsodacnidae*, *Halticidae* (pars), *Hispidae* (major pars)].

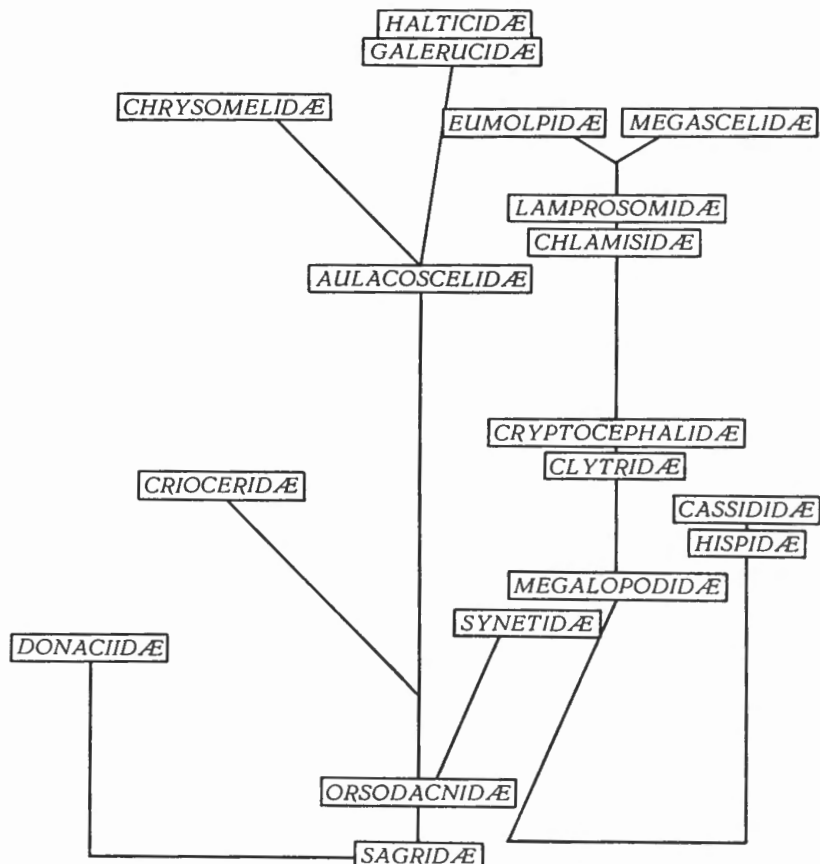


FIG. 14. — Évolution probable des *Chrysomeloidea*.

De l'étude de la biologie comme de la morphologie larvaire, CHEN propose la classification suivante, qui correspond fort bien à la classification d'après la nervation alaire : 1° le groupe Sagride : *Sagridae-Orsodacnidae*, 2° le groupe Donaciide : *Donaciidae*, 3° le groupe Chrysomélide : *Crioceridae-Chrysomelidae*, 4° le groupe Galérucide : *Galerucidae-Halticidae*, 5° le groupe camptosomatique : *Clytridae*, *Cryptocephalidae*, *Chlamisidae* et *Lamprosomidae*, 6° le groupe Eumolpide : *Eumolpidae*, 7° le groupe cryptostomique : *Hispidae* et *Cassididae*. A vrai dire, le schéma ci-dessus prête à discussion, surtout depuis que l'on connaît exactement la morphologie de la larve d'*Orsodacne* (CROWSON, 1953), très différente de celle décrite par BÖVING et CRAIGHEAD.

La parasitologie pourrait nous fournir quelques éléments supplémentaires concernant la parenté des groupes. C'est ainsi que les Anguillulides du genre *Howardula* ne s'attaquent qu'aux Galérucides et Halticides étroitement apparentés. Les Grégaries *Gregarina munieri* et *G. crenata* parasitent surtout les Chrysomélidae, les Galerucidae et les Halticidae.

La cytologie des Chrysomélidae (SMITH, 1950-1953) commence à être assez bien connue. Cependant, il ne semble pas y avoir relation entre la phylogénie et les formules chromosomiales.

V. — BRACHYPTÉRISME ET APTÉRISME.

Rappelons que nous avons distingué, dans les chapitres précédents, le subbrachyptérisme (ailes très légèrement réduites à l'apex et au bord vanal, mais sans modification des nervures), le brachyptérisme (ailes beaucoup plus réduites, conservant leurs nervures mais les resserrant et les modifiant), le microptérisme (ailes à l'état de rudiments avec ou sans vestiges de nervation) et l'aptérisme (absence totale d'ailes ou vestiges écailleux minuscules).

a) CAUSES DU BRACHYPTÉRISME ET DE L'APTÉRISME.

Nous ne discuterons pas ici le problème de l'aptérisme des insectes littoraux, insulaires et montagnards. Chez les Chrysomeloidea, en tout cas, seul le milieu montagnard semble avoir une influence indéniable sur la tendance à l'aptérisme. Les îles, quelle que soit leur origine, ou les rivages marins continentaux ne renferment pas plus d'aptères ou de brachyptères que le continent. Dans tous les cas, les aptères ou brachyptères insulaires appartiennent à des lignées continentales aptères ou brachyptères et la proportion chez les espèces mixtes (macro-brachyptères) est la même dans les îles que sur le continent (Halticidae par exemple, *Chrysolina*, etc.). Citons, cependant, parmi les aptères insulaires, le genre *Minotula* WEISE, des îles Juan Fernandez.

Nous avons étudié les ailes de Chrysomeloidea d'un archipel continental, les îles Baléares. Le même résultat, ou à peu près, s'observe pour les autres îles continentales (Corse, Sardaigne, etc.). Voici les résultats pour les Baléares :

Crioceridae. — *Crioceris macilenta* WEISE : macroptère. — *Crioceris paracanthesis* LINNÉ : macroptère. — *Lema melanopa* LINNÉ : macroptère.

Clytridae. — Tous les Clytrides examinés (*Macrolenes dentipes* OLIVIER, *Lachnaea pubescens* DUFOUR, *Lachnaea tristigma* LACORDAIRE, *Coptocephala floralis* OLIVIER, *Coptocephala rubicunda* LAICHARTING, *Coptocephala unifasciata* SCOPOLI) sont non seulement macroptères, mais ont également des ailes bien chitinisées.

Cryptocéphalidae. — Tous les Cryptocéphalides examinés (*Cryptocephalus alboscutellatus* SUFFRIAN, type et var. *discus* TRUQUI, *Cryptocephalus fulvus* GOÈZE, *Cryptocephalus macellus* SUFFRIAN) sont macroptères et n'ont pas les ailes moins chitinisées que celles des individus continentaux.

Eumolpidae. — *Pachnephorus tesselatus* DUFTSCHMIDT et *P. corinthius* FAIRMAIRE ont des ailes développées et normales.

Chrysomélidae. — Les *Timarcha* et *Cyrtonus* des Baléares sont aptères comme les espèces continentales. *Chrysolina americana* L. et les autres *Chrysolina* sont macroptères. Seule *Chrysolina banksi* FABRICIUS présente des formes brachyptères, mais pas en plus grand nombre que sur le continent.

Halticinae. — Les Halticidés examinés (*Podagrion malvae semirufa* KÜSTER, *P. fuscicornis chrysomelina* WALTL, *Chaetocnema chlorophana* DUFTSCHMIDT, *Psylliodes chrysocephala collaris* WEISE, *P. hyoscyami* LINNÉ, *Haltica lythri* AUBÉ s. str. et var. *ampelophaga* GUÉRIN, *Phyllotreta atra* FABRICIUS, *P. cruciferae* GOEZE, *P. rugifrons* KÜSTER, *Aphthona flaviceps* ALLARD, *Longitarsus anacardius* ALLARD, *L. ballotae* MARSHAM, *L. tabidus* FABRICIUS, *L. pellucidus* FOUDRAS, *Sphaeroderma rubidum ocularium* ALLARD) sont généralement macropières ou, en tout cas, ne présentent pas plus de formes microptères que les espèces continentales.

Hispidae. — *Hispa testacea* LINNÉ est macroptère.

Cassidae. — Toutes les Cassides examinées (*Cassida hemisphaerica* HERBST, *Cassida vittata* VILLERS, *Hypocassida subferruginea* SCHRANK, etc.) sont macroptères.

En conclusion, chez les *Chrysomeloidea*, il ne semble pas y avoir d'aptérisme insulaire, au moins dans les îles continentales. La même réflexion est valable pour les îles Atlantides (Madère, Canaries, Cap-Vert, etc.). Cependant les Açores, îles océaniques, sensu JEANNEL, ne renferment que des éléments importés et il en est, à peu près de même, pour les îles volcaniques. La seule faune endémique de ces îles est souvent constituée par des Halticidés aptères, sans doute affines des genres aptères continentaux. Il est très difficile d'ailleurs de préciser les parentés de ces formes insulaires, dans l'état actuel de la systématique.

WOLLASTON a bien cité quelques genres et espèces microptères de Madère parmi les Chrysomeloidea. On pourrait citer également quelques *Chrysolina* microptères des Canaries. Cependant le fait ne signifie rien, sinon une parenté avec les formes microptères continentales. C'est aussi l'opinion de JEANNEL (1925) à propos des *Trechus* madéro-canariens. Cet auteur écrit, en effet, que « s'il existe dans les formes insulaires un pourcentage élevé d'insectes présentant tous les caractères de l'aptérisme, c'est surtout parce que l'isolement dans les îles a préservé de la destruction beaucoup d'espèces relicttes ou immigrées qui seraient aussi bien aptères si elles avaient survécu sur le continent ». Chez beaucoup de *Chrysomeloidea*, qui volent peu ou mal, ou qui, du fait de la dégénérescence de la musculature alaire, ne volent pas du tout malgré leur macroptérisme, le fait de perdre leurs ailes n'a aucune emprise sur la sélection. Les macroptères ne volant souvent pas plus que les aptères, la sélection naturelle n'a donc pas tendance à éliminer les premiers au profit des derniers. Ceci expliquerait donc, en partie, la non-influence de l'insularisme sur l'aptérisme des *Chrysomeloidea*.

Par contre, l'influence du milieu montagnard est indéniable chez les Chrysomélidés. On pourrait citer les lignées aptères des *Chrysomelidae* s. str., *Galerucidae*, *Halticinae*, etc., toutes inféodées à des massifs montagneux et présentant souvent un extraordinaire phénomène de convergence. Ces corrélations fonctionnelles seront étudiées plus loin mais elles ont pu tromper un observateur comme CHAPUIS qui a créé, à propos des Galérucidés alpins, le groupe factice des Rupilites. Un cas intéressant de réduction alaire en rapport avec l'altitude, est celui de *Chrysochloa colasi* COBOS, qui vit à partir de 2.700 m dans la Sierra Nevada et présente l'allure et le mode de vie des *Timarcha*, sans avoir les élytres soudés cependant. Or, si tous les *Chrysochloa* connus sont macroptères, celui-ci fait exception à la règle et est nettement brachyptère. Sur les causes de l'aptérisme montagnard, nous ne discuterons pas ici. Les influences du milieu semblent indéniables cependant, ces insectes, même macroptères, ne volant généralement pas. Il ne peut donc être question de sélection.

On a signalé également (MARCUZZI, 1951) une relation entre l'atrophie des ailes chez les Ténébrionidés et la xérophilie. Le fait semble peu concerner les *Chrysomeloidea* qui, sauf rares exceptions, sont des insectes de lieux, sinon toujours humides, du moins non désertiques.

Il y a aussi des atrophies alaires, chez les insectes de plaine, qui ne s'expliquent pas du tout (*Timarcha*, *Gastrophysa analis*, *G. unicolor*, etc.). Chez ces insectes, la suppression du mode habituel de fuite (vol) est parfois compensée par d'autres formes de défense (cuirasse élytrale des *Timarcha*, *Cyrtonus*, *Chrysolina* aptères, autohémostase, sang toxique, saut des Halticides, vie cachée des *Chrysolina*, etc.).

Comme l'a fort bien souligné RÜSCHKAMP (1927), il y a très certainement une relation entre l'aptérisme, même la perte des muscles vibrateurs chez les macroptères, et la fécondité. L'atrophie des muscles du vol semble libérer des réserves utilisées par les ovaires (œufs énormes des *Timarcha*, fécondité des *Galéruçides*, *Agelastica*, etc.). D'ailleurs beaucoup de ♀♀ de *Chrysolina* ou *Chrysochloa* présentent une dégénérescence des muscles vibrateurs alors que les muscles des ♂♂ sont intacts.

Chez les *Chrysomeloidea* primitifs (Sagrides, Orsodacnides, Donaciides, Criocérides, Mégalopodides, Clytrides, Cryptocéphalides), on ne connaît ni microptère, ni brachyptère, ni aptère. La régression des ailes ou du moins la perte de sa chitinisation, ébauchée avec les Cryptocéphalides, se poursuit avec les Chlamisides, chez lesquels non plus on ne rencontre pas d'aptère. Les aptères, microptères et brachyptères commencent avec les Lamprosomides et se poursuivent à travers les Eumolpides, Chrysomélides, Galéruçides, Halticides, Hispides jusqu'aux Cassidides. Les formes primitives semblent donc échapper à l'aptérisme. C'est d'ailleurs un fait bien connu que les Cérambycides sont presque toujours macroptères (D. J. JACKSON, 1928; J. MARAN, 1930).

D'autre part, chez les petits insectes, la nervation est généralement plus réduite et la chitinisation de l'aile, plus faible. L'aile tend aussi souvent à s'atrophier, quoique ce ne soit pas toujours le cas. Il y a, par exemple, de petits Halticides, à ailes bien développées, mais ces espèces sont l'exception. Généralement, plus une espèce d'un genre est petite, plus l'aile est atrophiée. Par exemple, les *Haemonia*, Donaciides entièrement aquatiques, ont une tendance nette à la déchitinisation de l'aile, devenue non fonctionnelle, semble-t-il (bien qu'on ait signalé des vols d'une espèce). Or, la plus petite espèce du genre, *Haemonia japa* JACOBY, du Japon, a l'aile extrêmement réduite et semble marquer le point maximum de cette orthogénèse régressive. Les Chlamisides présentent également une déchitinisation de l'aile et une dégénérescence des nervures, due, semble-t-il, plus au chiffonnage des élytres qu'à leur petite taille.

On n'ignore pas, comme les expériences de DEWITZ (1912-1920) et de quelques autres ont tendance à le démontrer, que les facteurs externes (température, humidité, etc.) peuvent produire des somations non héréditaires portant sur la réduction alaire. C'est certainement à de tels facteurs qu'il faut attribuer les cas de brachélytrie dysplasique observés chez les *Chrysomela* dans la nature (P. JOLIVET, 1946). Par contre, dans l'immense majorité des cas, le microptérisme, brachyptérisme et aptérisme est dû, chez les Chrysomélides, à une mutation et est un phénomène constant et parfaitement héréditaire. Il est à peu près certain, quoique aucune expérience n'ait malheureusement été tentée, que les espèces mixtes macro-brachyptères suivant le schéma mendélien. C'est d'ailleurs le cas des Curculionides du genre *Sitona* où la forme brachyptère se comporte comme un dominant mendélien simple (D. J. JACKSON, 1928). C'est également le cas du Bruchide, *Bruchus quadrimaculatus* FABRICIUS, où l'aptérisme est un caractère récessif se manifestant seulement chez la femelle (BREITENBECHER, 1925). Dans les autres ordres d'insectes, le dimorphisme alaire est le plus souvent de nature génétique (G. COUSIN, 1933; R. POISSON, 1946).

L'aptérisme chez les *Chrysomeloidea* est rarement total (*Timarcha*, *Cyrtonus*, etc.). En général, il persiste une minuscule écaille alaire, mais ces individus sont également qualifiés d'« aptères » pour plus de commodité. Chez les aptères totaux (*Timarcha*), des écailles, symétriques ou non, peuvent parfois réapparaître chez certains individus.

b) MORPHOLOGIE DU RUDIMENT ALAIRE.

JEANNEL (1941) écrit à propos du moignon alaire des Carabes ce qui suit : « Lorsque l'aile s'atrophie, c'est la partie apicale, au-delà du ptérostigma et la partie postérieure cubito-anale qui disparaissent tout d'abord. Par contre, le tronc costo-radial reste entier, sans manifester tout d'abord la moindre tendance à se raccourcir. Ce sont en somme les parties repliées au repos qui s'atrophient les premières. Et cette atrophie doit être très rapide car on ne trouve jamais d'individus intermédiaires dans les espèces en voie d'évolution, entre les macropèles (ailes normales) et les brachyptères (ailes réduites au tronc costo-radial) ». Si tels sont les résultats en ce qui concerne les Carabiques, il n'en est pas absolument de même avec les *Chrysomeloidea*. Chez ces derniers, on note :

1° L'existence de subbrachyptères avec réduction du bord apical, du bord vannal et chitinisation moindre de l'aile.

2° L'existence de brachyptères, avec réduction plus forte du bord apical, de la base du bord vannal, chitinisation normale et persistance de toutes les nervures principales, comprimées, il est vrai, dans le sens de la largeur. Seules disparaissent les distales secondaires (R₂₊₃, R₄₊₅, M₁), déjà en voie de régression dans l'aile normale. La distale M₂ persiste.

3° Le saut est généralement brusque du macroptère au brachyptère parce qu'il s'agit d'une mutation, les deux types pouvant persister conjointement dans une espèce donnée. Par contre, le subbrachyptérisme caractérise généralement à lui seul une espèce.

4° Il existe aussi des microptères qui sont de deux sortes : rudiment avec persistance de nervures (costo-radiales, M₂, 1A) et rudiment écailleux sans nervures.

5° Toutes les combinaisons peuvent exister dans une espèce donnée entre macro-, brachy-, micro- et aptères.

6° Il y a des variations géographiques (*Chrysolina*) ou écologiques (*Longitarsus*) de l'aile d'une espèce donnée. Le fait est rare et ne concerne que des espèces très variables (macro-, brachy-, micro- et aptères).

7° La taille du moignon brachyptère suit les lois de la taille de l'aile macroptère. Plus un insecte est grand, plus son aile ou son rudiment brachyptère est de grande taille. Ceci est très net chez *Chrysolina banksi*, qui présente des races naines insulaires. De plus, le ♂ étant, chez les *Chrysomeloidea*, plus petit que la ♀, l'aile ou le rudiment brachyptère ♂ est plus petit que son correspondant ♀. MARAN (1930) a signalé un fait analogue, mais inverse, chez les Cérambycides.

8° La loi précédente n'est pas valable pour les microptères, dont la caractéristique essentielle est ou la constance, ou l'extrême variabilité dans une espèce donnée.

c) CAS DE CHRYSOLINA BANKSI FABRICIUS.
(Pl. XXVII.)

Nous avons étudié en détail 352 ailes de *Chrysolina banksi* F., provenant de tous les points de sa distribution. On sait que l'espèce, méditerranéo-occidentale avec une avancée vers le Nord sur les côtes atlantiques, présente de nombreuses races continentales et insulaires (P. JOLIVET, 1951).

De plus, sur toute son aire de distribution, cette espèce présente la particularité d'être mixte, macro-brachyptère. Les détails de nervation sont assez variables chez les deux formes, la taille des ailes et des rudiments également, celle-ci étant fonction de la taille des insectes.

Chez les macroptères de *C. banksi*, les principales variations concernent le système cubito-anal. Elles sont plus ou moins géographiques. C'est ainsi que Cu₁ peut être relié ou

non à M₂, bifide ou non à l'apex, relié complètement (cu-an), à peine, ou pas du tout à 1A. La cellule anale (an₁) est assez variable en forme. 2A est présent, à l'état de traces ou inexistant, au-delà de an₁. 3A est assez variable.

Chez les brachyptères, les variations sont plus fortes du fait de la plus ou moins grande réduction de l'aile selon les races. Si l'apex disparaît, ainsi que le bord vannal, la pseudotache médio-cubitale subsiste toujours. Les nervures sont plus ou moins comprimées dans le sens transversal et longitudinal, selon la réduction. Les races naines insulaires ont de petits moignons. En général, comme chez les macroptères, Cul peut être ou non relié à M₂, cu-an peut être ou non présent, parfois suggéré, an₁ est variable en forme, 2A est parfois partiellement visible au-delà de an₁.

Les cas de macro- et brachyptérisme semblent à peu près également répartis sur le continent et sur les îles. On s'en rendra compte par le tableau suivant, donnant les pourcentages. De plus, les deux sexes étant dimorphes (homodimorphisme), les statistiques désignent ♂♂ et ♀♀ ensembles :

TABLEAU I. — Distribution des formes macro- et brachyptères chez *Chrysolina banksi* FABRICIUS.

Race	Provenance	Macroptères	Brachyptères	Total
<i>banksi</i> s. str.	Minorque	3 (12,5 %)	21 (87,5 %)	24
<i>banksi</i> s. str.	Majorque	1 (4 %)	26 (96 %)	27
<i>banksi ibicensis</i>	Iviça	1 (7 %)	14 (93 %)	15
<i>banksi maderensis</i>	Madère	6 (33 %)	13 (69 %)	19
<i>banksi maderensis</i>	Porto Santo	6 (100 %)	0	6
<i>banksi ausonia</i>	Corse	0	2 (100 %)	2
<i>banksi ausonia</i>	Sardaigne	0	3 (100 %)	3
<i>banksi peloritana</i>	Sicile	0	5 (100 %)	5
<i>banksi peloritana</i>	Malte	0	7 (100 %)	7
<i>banksi phaeaca</i>	Corfou	0	1 (100 %)	1
<i>banksi caesariensis</i>	Jersey	7 (100 %)	0	7
<i>banksi interior</i>	Camargue et environs	8 (54 %)	7 (46 %)	15
<i>banksi</i> s. str.	Banyuls-sur-Mer	0	5 (100 %)	5
<i>banksi</i> s. str.	Côte Atlantique française	3 (50 %)	3 (50 %)	6
<i>banksi</i> s. str.	Espagne	1 (6 %)	15 (94 %)	16
<i>banksi</i> s. str.	Portugal	2 (50 %)	2 (50 %)	4
<i>banksi</i> s. str.	Afrique du Nord	3 (21 %)	11 (79 %)	14
<i>banksi</i> s. lato		41 (24 %)	135 (76 %)	176

Une remarque curieuse s'impose en ce qui concerne les Madères. En 1935, d'ORCHYMONTE capture 6 spécimens de *Chrysolina banksi* à Madère et 6 spécimens à Porto Santo. Ayant disséqué ces exemplaires, nous les trouvâmes tous macroptères. Or, ayant reçu récemment un lot de *C. banksi* de Madère (13 exemplaires), nous les trouvâmes cette fois tous brachyptères. Est-ce à dire que l'espèce est devenue entre-temps brachyptère ? C'est peu vraisemblable, sinon impossible. La seule explication plausible est qu'il existe des lots de macro- et de brachyptères,

à l'état pur, en certaines localités et que d'ORCHYMONT et le collecteur récent ont recueilli leurs insectes en des endroits de l'île différents. En général, cependant, les populations sont mixtes.

Les résultats du tableau ci-dessus indiquent nettement une dominance de la forme brachyptère : 135 (76 %) sur 176 spécimens examinés. En gros, il y a donc 1/4 de macroptères et 3/4 de brachyptères. La proportion est à peu près la même si on envisage séparément les îles (20 % de macroptères et 80 % de brachyptères) et le continent (28 % de macroptères et 72 % de brachyptères). Une étude génétique de *C. banksi* serait souhaitable. Malheureusement, l'espèce est extrêmement délicate à élever et nous avons toujours échoué dans nos tentatives. De meilleurs résultats pourraient être obtenus avec des *Chrysolina*, comme *C. haemoptera*, par exemple, qui s'élèvent facilement.

Nous avons découvert, en 1952, à Ténériffe (îles Canaries) une population de *C. banksi* s. str., manifestement introduits de la région de Barcelone. Cette population était mixte, macro-brachyptère.

d) CAS DES HALTICIDES BRACHYPTÈRES, MICROPTÈRES ET APTÈRES.

Si les Halticides ailés ont l'habitude d'aider leur pouvoir de saut par le vol, de très nombreux genres et espèces d'Halticides sont partiellement ou exclusivement aptères, brachyptères et microptères. Le genre *Longitarsus* est particulièrement riche en cas de polymorphisme alaire. Il présente même, dans certaines espèces, des cas de dimorphisme saisonnier (*Longitarsus nigrofasciatus* GOEZE), caractérisés par la réduction du pigment. KOLBE (1921) donne une liste de 23 espèces chez lesquelles le dimorphisme alaire est connu. Il y en a, en réalité, beaucoup plus. Tantôt, chez ces espèces, la forme ailée est dominante, tantôt c'est la forme aptère. Tantôt également les deux formes cohabitent, tantôt elles sont distribuées différemment. Ainsi, *Longitarsus brunneus* DUFTSCHMID a une distribution euro-sibérienne et est partout aptère, sauf dans le Nord de la France. Chez *L. luridus* SCOPOLI, la forme ailée, plus rare que la forme aptère, ne peut être rencontrée au Nord du 55° parallèle. Parfois, les formes aptères de *Longitarsus* se distinguent autrement des formes ailées. Les élytres peuvent être modifiés dans leur forme, leur couleur et leur sculpture. Le calus huméral des élytres s'efface souvent chez les aptères.

Les *Longitarsus* ont également des races écologiques, qui sont autant d'espèces naissantes. Le cas de *Longitarsus candidulus* FOUDRAS est particulièrement typique. Cette espèce vit en France méridionale sur *Daphne gnidium* L. et *Passerina hirsuta* L. (Daphnoïdées) et se rencontre en Afrique du Nord sur le même *Daphne*. La race de France méridionale, aptère, l'est également en Algérie, parfois même microptère (Maroc). À Larache (côte atlantique du Maroc), côte à côte avec la race aptère propre au *Daphne*, vit sur *Passerina canescens* une autre race, macroppte celle-là, légèrement différente morphologiquement (PEYERIMHOFF, 1911).

e) CORRÉLATIONS ENTRAINÉES PAR L'APTÉRISME.

Il y a des caractères spéciaux, propres à l'état brachyptère ou aptère, pouvant entraîner des corrélations et un balancement différent de certains organes. Nous renvoyons au chapitre suivant pour l'étude détaillée de certaines de ces corrélations. L'aptérisme est en quelque sorte le point de départ d'une orthogénése régressive irréversible dont on peu suivre pas à pas, à travers les genres, les modalités. Il caractérise le plus souvent des formes très spécialisées.

Certaines corrélations, souvent observées ailleurs, comme l'atrophie de la partie postérieure de l'œil ou le raccourcissement des antennes, ne s'observent jamais chez les Chrysomeloidea. Par contre, on a constaté des modifications dans l'écologie (cas des *Longitarsus* cités plus haut) et surtout dans la morphologie des aptères. Il y a convergence, par exemple, entre les *Oreomela* (Chrysomelidae) aptères et les Galerucidae aptères.

Notons que, parmi les types de modalités de la perte de la faculté de vol, les *Chrysomeloidea* présentent exclusivement le processus chersodromien (persistance des ailes et atrophie musculaire) et le processus hyménoptère (atrophie simultanée des muscles et des ailes). Le troisième processus processus drosophilien (atrophie des ailes et muscles normaux) n'a pas été signalé jusqu'ici. Il n'existe sans doute pas, d'autant plus que tous les *Chrysomeloidea* semblent présenter une tendance très nette à l'atrophie musculaire.

Citons, comme corrélations avec l'aptérisme, chez les *Chrysomelidae* : induration et soudure des élytres, dispositifs de calage des élytres (*Timarcha*), développement des épipleures, atrophie des nerfs élytraux et alaires, atrophie des muscles alaires, plus grande fécondité, atrophie des apodèmes des muscles du vol, raccourcissements du métasternum, ce qui rapproche la troisième paire de pattes de la deuxième et provoque un raccourcissement de la forme, atrophie du métatergum qui, chez *Timarcha*, est réduit à une plaque unique, si on fait abstraction des restes du prescutum, adhérence des pleures du sternum, réduction du stigmate fonctionnellement métathoracique, etc.

Chez les *Galerucidae*, l'aptérisme et le microptérisme sont liés également à diverses modifications structurales : brachélytrie, élargissement de l'écusson, réduction du métasternum, donc rapprochement, comme chez les *Chrysomelidae*, des paires de pattes, etc. Le même phénomène s'observe dans les autres familles de *Chrysomeloidea* sous les aspects variables. Notons, cependant, que des exceptions existent (*Monolepta*, et *Haptoscelis* chez les *Galerucidae*) où, les espèces, quoique aptères ou microptères, ne présentent pas ces corrélations.

VI. — LE VOL CHEZ LES CHRYSOMELOIDEA.

Les Chrysomélides volent peu, en général. Leur vol est lourd et peu soutenu. Certaines espèces, bien qu'ailées, ne volent pas, soit que leurs ailes soient trop faiblement chitinisées, soit que leurs muscles alaires soient peu ou pas développés. Évidemment les microptères et les brachyptères ne peuvent voler, d'autant plus que, la plupart du temps, la réduction alaire est concomitante de réduction musculaire. Nous allons étudier successivement le vol à travers les différents groupements de Chrysomélides, puis les particularités physiologiques du vol proprement dit.

a) DISTRIBUTION DU VOL PARMI LES CHRYSOMELOIDEA.

La faculté de vol est assez irrégulièrement répartie parmi les *Chrysomeloidea*. Les aquatiques, comme les *Haemonia*, s'en servent peu, sauf exceptionnellement pour disséminer l'espèce. Les semi-aquatiques, comme les *Donacia*, s'en servent au contraire beaucoup. S'ils ne sont ni brachy-, ni microptères, les Chrysomélides terrestres volent peu ou beaucoup, mais toujours sous certaines conditions physiologiques précises. Leur vol n'est pas une habitude, mais généralement une exception. Quant aux *Chrysomeloidea* sauteurs (*Halticidae*), ils échappent à leurs ennemis plus volontiers par le saut que par le vol. Les Sagrides ces *Chrysomeloidea* tropicaux aux fémurs énormes comme ceux des *Halticidae*, ne sautent pas. Ils volent cependant volontiers. De même les *Megalopodidae*, quoique possédant de gros fémurs, ne sautent jamais. Leur vol est lourd et n'a lieu que pendant la forte chaleur du jour en pays tropical. En principe, d'ailleurs, toutes les espèces, à ailes normalement constituées, des 16 familles de *Chrysomeloidea* sont susceptibles de voler. Certaines, cependant, comme les *Cassididae*, usent très peu de cette faculté. D'autres, bien que possédant des ailes normales, ont les muscles du vol réduits ou disparus par histolyse. Ces dernières espèces ne peuvent pas voler (cas de la plupart des *Chrysolina* macroptères).

Nous passons en revue très rapidement ci-dessous, d'après les recherches de RÜSCHKAMP (1927), la musculature et la faculté de vol, chez quelques *Chrysomeloidea* européens :

Clytridae. — *Gynandrophthalma flavigollis* CHARPENTIER et *G. affinis* ILLIGER volent très facilement. Leurs muscles alaires sont parfaitement développés.

Chrysomelidae. — *Timarcha tenebricosa* FABRICIUS et *T. goettingensis* L. sont aptères, à élytres soudés. Les nerfs alaires et élytraux sont disparus ou atrophiés. La musculature du vol a disparu également. Chez les ♀♀, le nombre d'œufs est restreint, mais ceux-ci sont énormes.

Chrysolina gypsophilae KÜSTER. Un individu subbrachyptère fut examiné. Seuls les muscles extenseurs sont encore nets.

Chrysolina sanguinolenta LINNÉ. Un individu ♀ macroptère examiné. Abdomen rempli d'œufs. Des muscles du vol, il ne reste qu'un sarcolemme. Le reste de la musculature thoracique est normal. Cette espèce, macroptère, n'est donc pas susceptible de voler, à cause de la régression de ses muscles alaires.

Chrysolina marginalis DUFSCHEIDT. Subbrachyptère. Musculature en dégénérescence. Vol impossible.

Chrysolina geminata PAYKULL. Musculature alaire bien développée. Semble bien voler.

Chrysolina brusvicensis GRAVENHORST. Musculature bien développée. Semble voler.

Chrysolina staphylea LINNÉ. Une ♀ examinée, subbrachyptère, pleine d'œufs, ne présentait pas de muscles de vol.

Chrysolina fuliginosa OLIVIER. Macroptère. Muscles normaux. Semble voler très difficilement.

Chrysolina varians SCHALLER. Musculature dégénérée chez les ♀♀ gravides. Vol presque impossible, au moins très difficile, chez tous les spécimens, qui présentent rarement des muscles développés au maximum.

Chrysolina fastuosa SCOPOLI. Chez tous les spécimens, musculature alaire complète. L'insecte ne semble cependant pas voler, au moins couramment.

Chrysolina graminis LINNÉ. Muscles apparents, mais relâchés. L'insecte, s'il vole, doit le faire difficilement.

Chrysolina coerulans SCRIBA. Muscles résorbés chez les ♀♀ gravides. Chez les ♂♂, ayant hiverné, sarcolemme vide. Cette réduction musculaire, chez cette espèce macroptère, semble empêcher totalement le vol. Effectivement *C. coerulans*, comme *C. menthastris*, n'a jamais été observée en vol.

Chrysolina menthastris SUFFRIAN. Muscles alaires partiellement dégénérés.

Chrysolina polita LINNÉ. Muscles alaires fortement dégénérés. Vol, semble-t-il, impossible.

Chrysochloa cacaliae SCHRANK. ♂♂, musculature alaire pleinement développée. ♀♀, muscles alaires dégénérés. Le ♂ seul semble, très occasionnellement, voler.

Gastrophysa. Tous les *Gastrophysa* (*G. viridula* DEGEER, *G. polygoni* L., *G. cyanea* MELSHEIMER, etc.) volent très bien, mais sous certaines conditions physiologiques bien déterminées sur lesquelles nous reviendrons ultérieurement. Par une erreur manifeste, RÜSCHKAMP (1927) écrit que la musculature alaire des *G. viridula* est dégénérée. Le sous-genre *Exiguipenna* est microptère.

Plagiodesma versicolora LAICHARTING. Vole très bien. Musculature alaire bien développée.

Chrysomela populi LINNÉ et *C. tremulae* FABRICIUS. ♂♂ et ♀♀ volent très bien, mais rarement. Lors de l'envol, l'apex des ailes demeure, la plupart du temps, replié et ne se déploie qu'après un vol d'environ 50 cm, à cause de la pression de l'air sous les ailes (RÜSCHKAMP, 1927). Phénomène analogue chez *Cassida viridis*, mais inexistant chez les excellents voiliers.

Phytodecta olivaceus FÖRSTER. Muscles alaires pleinement développés. Semble susceptible de voler.

. *Phyllodecta vitellinae* LINNÉ. Macroptère. Musculature normale. Ne semble cependant pas voler, au moins normalement.

Nous avons observé sous les tropiques (Congo belge, Philippines, Formose) très souvent le vol rapide de certains Galérucides (*Hyperacantha*, *Aulacophora*, etc.) pour échapper à un prédateur. Sous nos climats des envols aussi rapides sont extrêmement rares et, en tout cas, nécessitent des conditions de température optima.

En conclusion, le vol des micro- et brachyptères étant totalement exclu, le vol est assez irrégulièrement réparti chez les Chrysomélides. Le type bon voilier est représenté par *Leptinotarsa*, voilier moyen par *Chrysomela*. *Chrysochloa*, un genre entièrement macroptère, présente, selon les espèces, une capacité de vol moyenne ou une incapacité macroptère (dégénérescence musculaire). Cette incapacité macroptère est très fréquente dans le genre *Chrysolina*, sinon presque générale. De plus, le genre est riche en brachyptères, microptères et aptères où la musculature alaire est dégénérée. Au terme de la série, on trouve le genre *Timarcha*, complètement aptère.

b) EFFETS DE LA RÉDUCTION DU VOL.

Nous avons étudié dans le chapitre précédent, à propos du brachyptérisme et de l'aptérisme, le phénomène de « timarchisation », c'est-à-dire la corrélation entre la perte du pouvoir du vol et l'atrophie croissante de son mécanisme. Nous nous contenterons ici d'insister sur quelques détails des caractères morphologiques qui accompagnent la perte progressive du pouvoir du vol.

1. Système musculaire.

Chez les Chrysomélides immatures, la musculature alaire n'a pas, en général, encore atteint son plein développement. Il y a, presque toujours, corrélation entre la musculature du vol et le degré de réduction des ailes. Pas toujours cependant car le plus souvent la musculature du vol des *Chrysolina* macroptères et subbrachyptères ne sert plus au vol. Les muscles sont fonctionnellement impropreς par histolyse bien que les extenseurs et les rétracteurs des élytres et des ailes servent encore parfois pour que les sujets puissent se relever de la position dorsale. RÜSCKAMP (1927), qui a bien étudié la question et auquel nous renvoyons, dit que chez les *Chrysolina* notamment, l'histolyse touche les nerfs du vol et l'ensemble des muscles du vol directs et indirects. Le coxodorsal subsiste toujours mais ce n'est pas un véritable muscle du vol. Il semblerait que chez le macroptère *Chrysocloea cacaliae* SCHRANK, trois semaines suffisent pour que les muscles alaires dégénèrent. Cette dégénérescence plus fréquente chez les ♀ ♀ de macroptères que chez les ♂ ♂ semble en rapport direct avec la production d'œufs, l'organisme assimilant les liquides histolytiques.

La réduction musculaire est évidemment plus forte chez les brachyptères et les micropèles. Les muscles sont complètement disparus chez les aptères.

Notons que le parasitisme peut parfois accidentellement provoquer l'histolyse des muscles alaires. C'est ainsi que KLOFT (1951) a signalé chez un Hyménoptère, *Vespa germanica*, infesté par un *Gordius* une musculature alaire histolysée.

2. Apodèmes des muscles du vol.

Ils ne disparaissent pas d'un coup mais, parallèlement à la musculature, ils s'amenuisent progressivement. Chez *Chrysolina banksi* F. ils sont très faibles, chez *Timarcha* ils sont tout à fait disparus.

3. Le métasternum.

Les muscles, placés dans le mésothorax pour mouvoir les élytres, le cèdent en puissance aux muscles moteurs des ailes fortement développés dans le métathorax. Le métasternum, conformément à son importance physiologique dans le vol, est donc, chez *Chrysochloa*, quatre fois aussi développé que le mésosternum. Chez les *Chrysolina* on note un raccourcissement du métasternum conformément au degré de réduction des ailes.

Le tableau suivant, d'après RÜSKAMP (1927), donne une bonne idée des relations entre le développement des ailes — aptitude au vol et le raccourcissement du métasternum. Les chiffres expriment le rapport de la longueur du métasternum à sa largeur :

TABLEAU I. — Relation entre la longueur et la largeur du métasternum, la largeur étant ramenée à la même valeur [d'après RÜSKAMP, (1927)].

Espèces	Longueur (L)	Largeur (l)	Rapport L
<i>Chrysomela populi</i> L.	55	119	46,2 %
<i>Chrysochloa intricata</i> GERMAR	45	119	37,8 %
<i>Chrysolina graminis</i> L.	44	119	36,9 %
<i>Chrysolina banksi</i> F.	41	119	44,4 %
<i>Chrysolina goettingensis</i> L.	40	119	33,9 %
<i>Chrysolina lichenis</i> RICHTER	32	119	27,6 %
<i>Chrysolina cribosa</i> AHREND	29	119	24,3 %
<i>Timarcha tenebricosa</i> F.	25	119	21,0 %

Les chiffres ci-dessus sont éloquents. La relation de la longueur à la largeur du métasternum est de 50 % (1/2) chez les *Chrysomela*, macroptères et aptes au vol. Elle se trouve réduite chez *Chrysochloa intricata*, macroptère inapte au vol. Chez *Chrysolina*, la proportion diminue proportionnellement à la réduction des ailes. Elle atteint 21 %, c'est-à-dire 1/5, chez les *Timarcha* aptères.

Ce raccourcissement du métasternum a pour conséquence que les hanches postérieures se rapprochent des hanches médianes qui se placent exactement au milieu entre les hanches antérieures et les hanches postérieures (*Timarcha*). Le raccourcissement du métathorax entraîne un raccourcissement de la forme du corps qui devient plus court et ramassé (faciès timarchoïde). Ce phénomène est courant chez les Ténébrionides, les Chrysomélides et les Curculionides. Chez ces groupes, on distingue une structure allongée chez les insectes aptes au vol et une silhouette ramassée chez les inaptères.

4. Le métatergum.

Chez les Chrysomélides, l'atrophie du mécanisme de vol est corrélative de celle du métatergum. Nous renvoyons à RÜSKAMP (1927) pour une description détaillée des vestiges du métatergum chez *Timarcha tenebricosa* F.

5. Les pleures.

La mécanique du vol exige la mobilité des pleures. Cette mobilité se perd si les pleures adhèrent au sternum, ce qui se passe dans le cas où le mécanisme du vol se trouve atrophié. Cette adhérence ne s'est pas opérée encore chez *Chrysochloa*, chez beaucoup de *Chrysolina*, mais elle est accomplie chez *Timarcha*. Nous renvoyons également à RÜSKAMP (1927) pour la description détaillée de la réduction des pleures chez *Timarcha*.

6. Le stigmate métathoracique.

RÜSCHKAMP a mis en évidence une relation entre la taille du stigmate métathoracique des Chrysomélides et leur aptitude au vol. En réalité, ce stigmate n'est que fonctionnellement métathoracique. Il appartient certainement au premier segment abdominal. Les stigmates abdominaux vont en décroissant quant à la taille, sauf adaptations fonctionnelles. Or, on trouve très souvent chez les Coléoptères une différence considérable de grandeur entre les 3^e et 4^e stigmates (Staphylinides, Cérambycides, Chrysomélides, bons voiliers). Chez le Cérambycide *Macropus longimanus* L., le 1^{er} stigmate abdominal (métathoracique) dépasse le suivant d'une fois sa grandeur. Ce phénomène n'est pas absolument général cependant (Scarabéides). Le 3^e stigmate, fonctionnellement métathoracique, alimente la musculature des ailes en oxygène. Par adaptation fonctionnelle un élargissement secondaire du 3^e stigmate est devenu nécessaire.

Notons également que certains groupes de Coléoptères possèdent au 3^e stigmate respiratoire un système de claires comme protection contre la poussière, adaptation manifeste au vol.

Le stigmate métathoracique se réduit peu à peu lors de la sclérose du mécanisme du vol, à la grandeur qu'il avait primitivement. La liste suivante est suffisamment démonstrative à cet égard. Elle donne, d'après RÜSCHKAMP (1927), le rapport de la longueur de la lumière du 1^{er} stigmate abdominal (métathoracique) à celle du 2^e.

<i>Leptinotarsa decemlineata</i> SAY	5/1.
<i>Chrysomela populi</i> L.	4/1.
<i>Chrysolochla cacaliae</i> SCHRANK	3,7/1.
<i>Chrysolina goettingensis</i> L.	3,5/1.
<i>Chrysolina coerulans</i> SCRIBA	2,5/1.
<i>Chrysolina criplosa</i> AHREND	2/1.
<i>Timarcha tenebricosa</i> F.	1/1.

Chez *Leptinotarsa* et *Chrysomela*, bons voiliers, le 3^e stigmate est grand. Chez *Timarcha*, ce stigmate ne se distingue guère du 4^e et du 5^e. Cette règle est véritable chez le Carabique *Procrustes coriaceus* mais non chez les formes microptères de Méloïdes. Il semble que dans ce dernier cas, la taille du 3^e stigmate est en relation avec l'énorme fécondité des Méloïdes.

7. Autres corrélations de la réduction du vol.

Dans le chapitre précédent, nous avons vu en détail quelques corrélations morphologiques en rapport direct avec la perte des ailes : atrophie des nerfs alaires et élytraux, soudure des élytres, développement des épipleures, appareils de coaptation à l'apex des élytres, brachélytrie, taille de l'écusson, etc. Nous n'y reviendrons pas. Notons cependant que la perte de la faculté de vol est souvent, mais pas toujours, en rapport direct avec l'augmentation de la fécondité.

c) MÉCANIQUE DU VOL.

Grâce à la cinématographie accélérée [travaux de MAGNAN (1934) et d'auteurs plus récents], on a pu dégager l'essentiel du mécanisme du vol chez les Coléoptères. Aucun Chrysomélide n'ayant été étudié sous cet angle, nous n'en parlerons ici que succinctement. Le centre de gravité, en vol, est situé au voisinage de l'insertion des ailes membraneuses. Il semble que les élytres jouent le rôle, non seulement de parachute mais encore d'organes destinés à maintenir l'équilibre du corps de l'insecte durant le vol. La perte de ces organes, en totalité ou en partie, modifie l'emplacement du centre de gravité (A. GRIFFINI, 1896). Les élytres jouent encore un rôle important pour le retrait des ailes membraneuses au moment du passage à l'état de repos (M. BAUDELOT, 1868). Des expériences de ce dernier auteur, il ressort, en effet, que la force qui sert à flétrir les ailes se trouve en dehors d'elles. Le retrait des ailes inférieures

a pour cause le frottement de la face supérieure de l'abdomen contre les élytres. Donc, pour le plissement et la rentrée de l'aile sous les élytres, l'abdomen est l'agent actif et les élytres un simple point d'appui. Ce phénomène semble très général chez les Coléoptères.

CHEN (1943) a étudié le vol et le rôle des élytres dans le vol chez deux Galérucides : *Rhaphidopalpa chinensis* et *Aulacophora lewisi*. Il trouva que les élytres peuvent fonctionner : 1° comme organes responsables du mécanisme de pliage des ailes postérieures; 2° comme organes stimulants, particulièrement pour le reflexe du vol et, 3° comme appareil statique dans les mouvements verticaux.

La plupart des Coléoptères volent élytres ouverts, cependant les Cétonides, exceptionnellement, volent élytres fermés. Dans ce cas, d'ailleurs, le filtre à poussière du 3^e stigmate manque, alors qu'il est présent chez les autres Coléoptères.

Le vol des Coléoptères est le résultat du concours des muscles directs et indirects, les premiers étant prédominants. Les muscles ventraux postérieurs aplatisse la carapace dorsale en la tirant vers le bas, se comportant comme l'arc et la corde d'une arbalète. Le métatergum, s'abaissant, élève l'aile. En rebondissant vers le haut, il donne à l'aile une impulsion qui lui rend la position horizontale. Les grands muscles pleuraux achèvent le coup d'aile. Chaque aile peut se mouvoir indépendamment l'une de l'autre, dans un temps différent. Les muscles flexeurs permettent de gouverner le vol.

d) PHYSIOLOGIE DU VOL.

Le vol intervient chez les Coléoptères pour la recherche de la nourriture, la chasse, la fuite, la recherche des femelles ou sans but déterminé (migration). Le manque de disposition des Coléoptères pour le vol est en partie une conséquence de la présence des élytres.

L'aile des Coléoptères, par sa circulation sanguine, joue un peu le rôle physiologique d'un « poumon ». La consommation d'oxygène est plus forte pendant le vol que pendant le repos. A propos de la coloration de l'aile, nous avons étudié précédemment cette circulation sanguine.

Dans l'envol, nous devons distinguer le déploiement des ailes et l'envol proprement dit. Ces phénomènes, presque simultanés chez de nombreux Coléoptères, sont nettement distincts chez les Chrysomélides. Avant le vol, l'insecte a besoin de s'échauffer, d'éléver sa température intérieure pour être capable de transformer ses réserves chimiques (glycogène) en énergie mécanique. Les muscles alaires doivent être accordés à un certain ton.

L'humidité ne semble pas jouer un rôle important dans l'envol ou le vol. Chez les Chrysomélides, l'envol et le vol semblent uniquement provoqués par les radiations solaires et la température ambiante. Notons qu'en général ce vol correspond à d'obscurs besoins migrateurs (*Leptinotarsa*). Dans tous les cas, le réflexe de fuite ne provoque presque jamais le vol chez les Chrysomélides qui est remplacé par le saut (*Halticides*) ou par l'immobilisation réflexe (les autres groupes). Notons cependant l'exception des *Donacia* (pays tempérés) et des Galérucides tropicaux dont le vol est souvent un réflexe de fuite.

Le vol peut parfois changer le phototropisme d'un Coléoptère. C'est ainsi que les Nécrophores ont habituellement un phototropisme négatif mais, au moment du vol, ils se dirigent vers la lumière (THÉODORIDÈS et VAN HEERDT, 1952).

Chez les Chrysomélides, la plupart des espèces ont un vol diurne et sont toujours positivement phototropiques. Cependant, on a signalé chez les Chrysomélides, exclusivement aquatiques (*Haemonia*, *Donacia malinowskyi*), un vol crépusculaire de caractère migratoire. L'insecte sortirait de l'eau pour disséminer l'espèce. Il est un fait que beaucoup de Chrysomélides tropicaux, comme les *Diabrotica*, présentent occasionnellement des vols massifs, sans but apparent, analogues aux migrations des Lépidoptères (BEEBE, 1952). On connaît également les vols massifs du Doryphore avant les orages lorsque la température atmosphérique s'élève

brusquement. Ce vol peut être remplacé par la marche (J. Dussy et P. Grison, 1943; P. Grison, 1950).

En Australie, Miss D. M. Cumpston (1939), a signalé que les *Paropsini* (*Chrysomelidae*) volent correctement, faisant de courts vols d'une partie de l'arbre à une autre. La dissémination de l'insecte se fait par des vols migrateurs qui, selon Clark (1930), ont lieu à la pleine chaleur du jour. Les adultes sont plus actifs avant-midi et en fin d'après-midi. Ils présentent l'immobilisation réflexe.

Personnellement nous avons observé au laboratoire l'envol et le vol de *Gastrophysa* divers. L'insecte étale d'abord ses ailes puis prend son envol, mais toujours après une vive agitation. Les vols sont de plusieurs mètres. Ils se produisent toujours par une forte intensité lumineuse et à une température minimum de 25° C. Notons que nous n'avons jamais observé le vol des *Gastrophysa* dans la nature. Il doit néanmoins se produire aux fortes chaleurs de l'été.

J. R. Le Berre (1950-1952) a fort bien étudié l'influence des radiations solaires (ou lampe à infra-rouge) et de la température ambiante sur l'envol du Doryphore. Ses conclusions peuvent être résumées somme suit : avant l'envol, le Doryphore exécute un certain nombre de mouvements réflexes : fébrilité, piétinement sur place, ouverture des élytres, puis extension des ailes, vibrations alaires. L'incitation au vol semble tenir plus à l'action directe des radiations solaires qu'à celle de la température. Portier (1949) a signalé un pouvoir d'absorption des radiations lumino-calorifiques par les ailes des Lépidoptères. Il semblerait donc que les Coléoptères, malgré leurs ailes repliées sous les élytres, soient également sensibles à une certaine intensité lumineuse liminaire. Les insectes alimentés volent mieux que les insectes soumis au jeune. Le vol peut se renouveler autant de fois que des conditions favorables se retrouvent.

VII. — VARIATIONS DE L'AILE MACROPTÈRE DES CHRYSOMELOIDEA.

De l'étude de près de 5.000 ailes de *Chrysomeloidea*, nous avons pu dégager certains faits généraux, dont la constance ne peut être mise en doute. Nous exposons ci-dessous quelques-uns de ces faits, parmi les plus probants, concernant tous l'aile macroptère exclusivement :

1. La taille de l'aile est proportionnelle à la taille de l'insecte et également fonction du sexe. Le ♂, plus petit que la ♀, a une aile plus petite que celle-ci. Généralement, les ailes de *Chrysomeloidea* sont trois fois plus longues que larges (15×5 mm, 9×3 mm, $4,5 \times 1,5$ mm, etc.).

2. Généralement le degré de chitinisation de l'aile est proportionnel à la taille de l'insecte. Les grosses espèces ont statistiquement des ailes plus chitinisées que les petites. Exemple : l'aile énorme des *Sagra* ou des *Psilurnus* est extrêmement chitinisée, celle des petits *Cryptocephalidae* est transparente. Il est à remarquer que chez les petits insectes, à ailes réduites peu chitinisées, ce sont les nervures les plus réduites sur l'aile normale (R₂₊₃, R₄₊₅, rm, M_{1a}, rt, M₁ distal), qui sont déjà sur celle-ci en état de régression, qui disparaissent les premières (*Hapsidolema*, etc.).

3. Chaque famille de *Chrysomeloidea* a un, ou rarement plusieurs (*Sagridae*), types de nervation. Ces types sont constants à travers tous les genres de la famille. Les différences entre les genres sont, ou importantes (familles primitives), ou faibles (familles évoluées). Généralement, il y a un type générique caractérisé par des particularités secondaires de nervation. Les différences interspécifiques, sauf dans les genres très variables, sont très faibles, voire inexistantes; à plus forte raison pour les différences interraciales.

4. On ne semble pas avoir signalé de dimorphisme sexuel des ailes des *Chrysomeloidea*, en dehors de la taille. Par contre, le fait est bien connu pour les élytres (*Eumolpidae*, *Galeru-*

cidae, *Chrysomelidae*, *Sagridae*, etc.), où la sculpture et le dessin peuvent être très différents dans les deux sexes. *Chrysomela maculicollis*, par exemple, est caractérisé chez le ♂ par une côte longitudinale saillante sur l'élytre, côte qui manque à la ♀.

5. Les différences individuelles (variations intraspécifiques) sont en principe nulles. La nervation est théoriquement constante dans le cadre de l'espèce. Cependant quelques espèces, très variables morphologiquement (dessins, coloration, ponctuation...), ont souvent une nervation variable à l'échelle individuelle. C'est le cas d'*Atalasis sagroides* (*Sagridae*), par exemple.

Cette variation individuelle porte sur des caractères très secondaires (fermeture ou ouverture de *an2* chez les *Cassididae* ou *Hispidae*, présence ou absence de transverses *m-cu*, *cu-an*), mais parfois elle peut aller jusqu'au dédoublement d'une cubitale (*Sagridae*) ou d'une anale (*Chrysochus*). Elle n'affecte jamais le dessin fondamental de l'aile et ne touche jamais aux costo-radiales et médianes. Parfois une transverse supplémentaire forme une cellule cubitale ou anale supplémentaire. Parfois les cubitales ou anales sont bifurquées à l'apex (*Chrysolina*, *Chrysochus*, etc.). Ces variations, souvent pathologiques, seront étudiées plus loin à propos des *Chrysochus*. Elles sont souvent mal dessinées et asymétriques.

6. L'asymétrie des variations signalées ci-dessus dans les ailes droite et gauche d'un même individu est assez fréquente. Elle n'affecte que les modifications secondaires déjà mentionnées. Nous avons rencontré ce phénomène dans toutes les familles de *Chrysomeleoidea* avec une égale fréquence et nous l'avons mentionné le plus souvent dans la partie descriptive. La plupart du temps ces variations sont peu nettes et mal dessinées mais parfois elles ont vraiment le caractère de nervure supplémentaire (*Sagra* à *Cu1a*, *Cu1b* et *Cu2* ou *Cu1c*). Dans ce dernier cas, où les *Sagra* récupèrent symétriquement ou asymétriquement *Cu2*, il s'agit peut-être d'un variant atavique, cette nervure ayant disparu de l'aile des *Chrysomeleoidea*.

L'explication génétique de ce phénomène d'asymétrie est encore obscure. Cependant, il semble que la ou les mutations qui modifient la nervation s'expriment fréquemment avec une intensité différente dans les deux structures symétriques. C'est là une réaction qui s'oppose au développement parfaitement symétrique de structures doubles comme on l'observe dans la morphogénèse normale. N. ALTORFER (1951) a étudié un phénomène semblable dans l'aile de la Drosophile à propos de la mutation « cubitus interruptus ».

Certaines aberrations dans la nervation alaire sont apparemment associées avec la résistance aux insecticides dans certaines souches de la mouche domestique et de la Drosophile. Malheureusement, l'hérédité de ces aberrations apparaît compliquée, car l'expression du caractère semble modifié soit par des gènes accessoires, soit par des variations phénotypiques. Dans les autres ordres d'insectes citons les Éphéméroptères où M. L. VERRIER (1956) a signalé des variations semblables à celles des *Chrysochus* dans le secteur cubito-anal de l'aile chez des individus d'une même espèce qui peuvent souvent être asymétriques. GIARD (1911) mentionne chez les Psocoptères de semblables anomalies de nervation. Elles doivent être beaucoup plus répandues mais peu d'études ont été faites à leur sujet.

Notons qu'un choc thermique, au stade de pupe jeune, peut provoquer des défectuosités (interruption ou absence) de la nervure transversale postérieure ou occasionnellement antérieure des ailes de *Drosophila melanogaster* (WADDINGTON, 1953). Ces facteurs ne doivent pas être négligés pour expliquer des cas extraordinaires de variabilité de la zone cubito-anale, comme cela se passe chez les *Chrysochus*, par exemple.

7. Les *Chrysomeleoidea* ont évolué de la nervation alaire simple du type Cérambycide (*Sagridae*) à la nervation alaire plus compliquée ou plus simplifiée des familles spécialisées. La spécialisation de la vie semble entraîner une spécialisation concomitante des larves, des génitalia et de la nervation.

8. La spécialisation de la nervation dans le cadre des *Chrysomeloidea* se traduit soit par la perte des nervures soit par la confluence partielle ou totale de certaines autres. Jamais (sauf cas tématologiques individuels cités ci-dessus) de nouvelles nervures n'apparaissent. On voit là une vérification de la loi de DOLLO, concernant l'irréversibilité de l'évolution régressive.

9. Variations de la nervation de l'aile des espèces du genre *Chrysochus*. Nous avons déjà étudié, au chapitre V, les variations de la nervation de l'aile macroptère et brachyptère de *Chrysolina banksi*. Nous avons vu que le système cubito-anal variait seul. Par exemple, cu-an pouvait être présent ou absent, Cul1 et 1A pouvaient être bifurqués à l'apex, 2A pouvait être présent ou absent, etc. Chez la plupart des *Chrysomeloidea* on peut noter des faits semblables plus ou moins développés selon les genres et les espèces. Nous avons pris comme exemple le genre d'*Eumolpides Chrysochus*, principalement parce que S. J. WILSON (1934) a consacré une belle étude aux variations de la nervation de l'espèce *Chrysochus auratus*. Nous avons complété ce travail en étudiant des séries importantes d'ailes des principales espèces de *Chrysochus*. Comme chez les *Chrysolina*, la variation, souvent asymétrique, se cantonne à la région cubito-anale.

Voici, en gros, les résultats de WILSON, sur *Chrysochus auratus*. L'aile typique est du plus pur type eumolpide avec Cula et Culb simples, partiellement fusionnés sur une courte longueur et 1A et 2A simples. On rencontre des ailes du type suivant : 1° Culb bifurqué à l'apex, 1A bifurqué à l'apex, fusion partielle de Cula et de Culb; 2° Cula et Culb non fusionnés mais se croisant, Culb bifurqué à l'apex; 3° Cula et Culb simples, fusionnés partiellement, 1A entièrement bifurqué à partir de an2; 4° Cula et Culb joints par une petite transverse, Culb bifurqué à l'apex; 5° Cula et Culb fusionnés partiellement, puis formant à cet endroit une petite cellule cubitale; 6° Cula et Culb se croisant et formant en cet endroit une petite cellule cubitale.

WILSON a également noté les cas d'asymétrie suivants : 1° Aile droite : bifurcation de Culb à l'apex et non à l'aile gauche; 2° Aile droite : formation d'une cellule cubitale au point de croisement de Cula et de Culb. Cette cellule est absente dans l'aile gauche; 3° Aile droite : fusion partielle de Cula et de Culb. Aile gauche : fusion partielle des mêmes nervures mais avec formation d'une cellule cubitale.

Nous donnons ci-dessous les résultats originaux que nous avons obtenus avec le genre *Chrysochus* :

Chrysochus auratus FABRICIUS.

Espèce nord-américaine. Nous avons étudié 150 ailes de cette espèce. 50 ont présenté symétriquement ou asymétriquement des variations dans la région cubito-anale. Nous avons retrouvé toutes les variations signalées par WILSON et de très nombreuses autres beaucoup plus curieuses. Citons en quelques-unes : 1° Formation d'une transverse entre Cula et Culb et délimitation d'une grande cellule cubitale néoformée. Cette transverse peut être plus ou moins nette, continue ou interrompue; 2° Même transverse que la précédente, mais dépassant Culb largement; 3° Formation de deux transverses entre Cula et Culb, délimitant ainsi deux cellules cubitales; 4° Formation d'une transverse longitudinale ou transversale séparant an1 ou an2 en deux parties égales ou non; 5° Bifurcation des anales ou des cubitales, totalement ou en partie; 6° Formation simultanée d'une transverse Cula-Culb et dédoublement de Culb; 7° Formation d'une cellule cubitale par la formation d'une transverse joignant m-cu à an2; 8° Culb trifurqué à l'apex; 9° Formation d'une nervure en croix entre Cula et Culb; 10° Formation de transverses entre 1A et 2A, etc.

On pourrait multiplier à l'infini ces descriptions. Toutes ces anomalies sont symétriques ou non, ébauchées, imparfaites ou achevées, combinées différemment entre elles. Le genre

Chrysochus, et plus spécialement l'espèce *C. auratus*, semble un matériel merveilleux pour l'étude de la variation de la nervation alaire.

***Chrysochus cobaltinus* J. LECONTE.**

Espèce des U.S.A. (Californie, Oregon). 36 ailes examinées. Nous avons constaté les anomalies suivantes : 1° Bifurcation des cubitales et des anales à l'apex; 2° Formation de cellules cubitales; 3° Effacement partiel ou disparition complète de Culb à la base; 4° Formation d'une transverse faible M2-m-cu, délimitant une petite cellule médiane néoformée, etc.

L'examen de 36 ailes de *C. cobaltinus* nous a prouvé que les mêmes variations (et quelques nouvelles), observées chez *C. auratus*, se retrouvaient avec la même fréquence. Nous avons également découvert un fait nouveau : une variation soustractive (disparition de la base de Culb).

***Chrysochus cobaltinus californicus* MARSHALL.**

Simple variété du précédent. Même origine. 10 ailes examinées. On observe de nombreuses anomalies, symétriques ou non, du même type que les précédentes : trifurcation ou bifurcation de Culb; transverse m-cu-an2; 3° cellule anale, petite, sur 2A; transverses un peu au hasard sur les anales et cubitales; cellules cubitales; formation d'une 3° cubitale isolée entre Cula et Culb, etc.

***Chrysochus asclepiadeus* PALLAS.**

Espèce euro-sibérienne. Les exemplaires examinés proviennent surtout d'Europe. 132 ailes examinées. Extraordinairement variable. Présente, à la même fréquence, toutes les variations précédentes et quelques-unes originales. Citons, par exemple : 1° Formation de trois transverses successives : m-cu-an2, et 2 Cula-Culb; 2° Combinaison de bifurcation de Culb, formation de deux cellules cubitales et séparation de an2 par une transverse longitudinale; 3° Isolement de Culb à partir de Cula et an2; 4° Suppression partielle de m-cu et totale de cu-an; 5° Formation d'une cellule cubitale et interruption de cu-an.

***Chrysochus asclepiadeus asiaeminoris* TIZIANO DE MONTE.**

Sous-espèce du Taurus. Quatre ailes examinées, toutes aberrantes. Citons une transverse à l'apex de 1A atteignant presque Culb, une cellule cubitale, etc.

***Chrysochus hageni* JACOBY.**

Spécimen du nord-ouest de Sumatra. Les deux ailes examinées ont une nervation normale.

***Chrysochus goniostoma* WEISE.**

Espèce de Chine. Un spécimen examiné. Nervation très anormale. Aile gauche : Cula non relié à M2, joignant directement an2 et Culb isolé. Aile droite : Cula joignant directement an2 avec un début de transverse vers M2. Culb disparu complètement.

***Chrysochus punctatus* GEBLER.**

Espèce de la steppe des Kirghiz. Dix ailes sont étudiées. Très nombreuses variations, les unes identiques aux précédentes, les autres originales. Citons, parmi ces dernières : la formation de transverses extérieurement à an2, au bord vannal, la formation d'une assez grande cellule anale extérieure à an2, etc.

***Chrysochus pulcher* BALY.**

Espèce de Birmanie. Nous en étudions dix ailes : Nervation cubito-anale absolument constante et classique chez tous les spécimens.

***Chrysochus chinensis* BALY.**

Espèce de Chine. Nous en étudions vingt-quatre ailes : présente de rares et faibles variations, par exemple cellules cubitales, bifurcation des cubitales ou des anales, etc. Notons que, comme dans l'espèce précédente, Cula et Culb sont soit liés par une transverse, soit se croisent.

En conclusion, le genre *Chrysochus* semble extrêmement variable quant au système cubito-anal de ses ailes. Cette instabilité a certainement une base génétique qu'il serait souhaitable d'étudier. Rappelons que de telles anomalies sont assez fréquentes chez certaines familles de *Chrysomeloidea*, notamment les *Sagridae*, les *Chrysomelidae*, les *Hispidae* et les *Cassididae*.

VIII. — CONCLUSIONS.

Au terme de cette étude, où nous avons examiné près de 5.000 préparations d'ailes de *Chrysomeloidea*, nous devons rappeler que beaucoup d'inconnues subsistent encore. Nous avons passé en revue les ailes de la plupart des genres connus, mais certains genres rarissimes australiens n'ont pu, faute de matériel, être étudiés. Or, certains de ces genres, vu le caractère relicte du continent australien, nous eussent, peut-être, apporté la clé de certains problèmes évolutifs. D'autre part, des genres-clés, comme le genre *Syneta* et le genre *Aulacoscelis*, nous apporteraient, si leur biologie larvaire était connue, d'utiles renseignements sur l'évolution phylétique des *Chrysomeloidea*. Malheureusement, la rareté des uns (*Syneta*) et la distribution centre-américaine des autres (*Aulacoscelis*) a retardé et retarde encore les éclaircissements attendus.

Notons, également, que le phénomène du brachyptérisme, microptérisme et aptérisme est encore fort mal connu chez les *Chrysomeloidea*. Des études génétiques, dans les espèces mixtes macro-brachyptères, seraient souhaitables.

Telle quelle, cependant, cette étude a permis de dégager 10 types fondamentaux de nervation (mégaméroïde, pseudomégaméroïde, eupodique, chrysomélide, lamprosomide, camptosomatique, eumolpide, cryptostomique, chlamyde, sphaerocharide) et d'en tenter l'esquisse phylogénique. La nervation alaire, caractère archaïque et peu susceptible de variation, peut rendre d'utiles services au systématicien comme au phylogéniste.

L'étude structurale de l'aile (tache médio-cubitale, poils divers, biochimie des pigments, anatomie de l'aile, etc.), comme celle de l'élytre, peuvent également nous apporter de précieux renseignements. Nous nous sommes efforcé d'en dégager l'essentiel.

La nomenclature adoptée pour désigner les nervures n'est peut-être pas la meilleure, mais elle nous a semblé pratique. Pour dégager, dans le fatras des systèmes, le plus « exact », il faut attendre de nouveaux travaux phylogéniques, englobant non pas un groupe restreint mais bien la classe des insectes toute entière. Cette étude viendra peut-être un jour. En attendant, l'homologation est difficile et il faut se contenter d'imperfections inévitables.

En gros, l'évolution de la nervation semble bien corroborer les faits déjà connus, tirés de la morphologie adulte et larvaire, des génitalia ♂ ♂ et ♀ ♀, de pièces comme le métendosternite, de la cytologie, de la parasitologie, etc., tout en les éclairant d'un jour nouveau. Des conclusions générales, que l'on peut, si l'on veut, appeler « lois », ont été dégagées d'un ensemble de faits caractérisant l'aile macroptère ou en voie de réduction.

LISTE DES ABRÉVIATIONS

Dans cette liste sont mentionnées les abréviations employées couramment, selon le schéma de nervation alaire adopté ici. Pour les autres abréviations on se reporterai au texte.

1A : Première anale.	M1 : Première médiane ou médiane récurrente.
2A : Deuxième anale.	M2 : Deuxième médiane.
3A : Troisième anale.	M1a : Branche antérieure de la médiane (M1 de Saalas, 1936).
4A : Quatrième anale.	m : Médiane transverse.
an : Cellule anale.	m-cu : Transverse médio-cubitale.
an1 : Première cellule anale.	R1 : Radiale.
an2 : Deuxième cellule anale.	R2 : Deuxième branche distale de la radiale (Rs).
ap : Cellule médiane ou apertum.	R3 : Troisième branche distale de la radiale (Rs).
C : Costale.	R4 : Quatrième branche distale de la radiale.
Cui : Première cubitale.	R5 : Cinquième branche distale de la radiale.
Cuia : Première branche de la première cubitale.	Rs : Secteur radial ou radiale récurrente.
Cuib : Deuxième branche de la première cubitale.	r : Radiale transverse.
Cu2 : Deuxième cubitale.	rm : Transverse radio-médiane.
c : Transverse cubitale, entre Cuia et Cuib.	rt : Triangle radial.
cu-an : Transverse cubito-anale.	Sc : Sous-costale.
j : Jonction entre M2 et Cu+1A.	

BIBLIOGRAPHIE SOMMAIRE

- ADOLF, G. E., 1880, *Ueber Insectenflügel*. (Nova Acta der Krl : Leop. Carol. Deutsch. Akad. der Naturf., XLI, 2, pp. 215-291.)
— 1889, *Ueber die Aderung der Käferflügel*. (Zool. Anz., XII, 316, pp. 487-488.)
- ALTMANN, G., 1954, *Flügelanomalien bei Arbeiterinnen von Apis mellifica carnica*. (Ann. Univ. Sarav., III, 4, pp. 285-286.)
- ALTORFER, N., 1951, *Influence du chromosome Y sur l'expression de la mutation Cubitus interruptus chez Drosophila melanogaster*. (Ann. Soc. roy. Zool. Belg., LXXXII, 2, pp. 447-462.)
- AUBERT, J., 1950, *L'origine et l'évolution des insectes*. (Bull. Soc. vaud. Sc. nat., LXIV, 277, pp. 461-477.)
- BALAZUC, J., 1945, *Variation et anomalies de la striation élytrale chez les Coléoptères*. (Entomologiste, I, 8-9, pp. 123-125.)
— 1948, *La tératologie des Coléoptères*. (Mém. Mus. Hist. Nat., XXV, pp. 1-268.)
— 1945, *Variation et anomalies de la striation élytrale chez les Coléoptères*. (Entomologiste, I, 8-9, pp. 123-125.)
- BALFOUR-BROWNE, F., 1932, *A text-book of practical entomology*. (Arnold and Co., London, p. 191.)
— 1943, *The wing-venation of the Adephaga (Coleoptera) with special reference to the Hydradephaga and some homologies with the Polyphaga*. (J. R. micr. Soc. London, LXIII, pp. 55-84.)
- BALTHASAR, V., 1942, *Über die Nervatur des Hinterflügels der Lamellicornien*. (Vestn. Kral. Ceske. Spol. Nauk., pp. 1-44.)
- BARTHE, R., 1950, *L'aile membraneuse des Carabini* (première note). (Rev. fr. Entom., XVII, 3, pp. 188-192.)
- BATESON, W., 1895, *On the colour-variations of a beetle of the family Chrysomelidae statistically examined* (Proc. Zool. Soc. London, pp. 850-860.)
- BAUDELIN, J., 1926, *L'envolée du Cybister laterimarginalis*. (Misc. ent., XXIX, pp. 106-107.)
- BAUDELOT, E., 1868, *Du mécanisme suivant lequel s'effectue chez les Coléoptères la rétraction des ailes inférieures sous les élytres au moment du passage à l'état de repos*. (Bull. Soc. Sc. nat. Strasbourg, I, pp. 137-138.)
- BAUER, F. et REDTENBACHER, J., 1888, *Ein Beitrag zur Entwicklung des Flügelgeäders der Insecten*. (Zool. Anz., II, pp. 444-447.)
- BEAUREGARD, H., 1885, *Recherches sur les insectes vésicants*. (Journ. Anat. Phys., XXI, pp. 483-524.)
- BEEBE, W., 1951, *Migration of insects (other than Lepidoptera) through Portachuelo Pass, Rancho Grande, North-central Venezuela*. (Zoologica, XXXVI, 4, pp. 255-266.)
- BERLESE, A., 1909, *Gli Insetti*. (Milan, I, 1004 pp., 1292 fig.)
- BINET, A., 1892, *Le nerf alaire chez quelques Coléoptères aptésiques*. (C. R. Soc. Biol., Paris, IX, 4, pp. 257-258.)
— 1894, *Contribution à l'étude du système nerveux sous-intestinal des insectes*. (J. Anat. Phys., XXX, pp. 549-580.)
- BLAISDELL Sr., F. E., 1932, *Studies in the Tenebrionid tribe Scaurini : A monographic revision of the Eulabes (Coleoptera)*. (Trans. Amer. Ent. Soc. Philad., LVIII, pp. 35-101.)
- BLOOD, R., 1935, *The anatomy of Pyrota mylabrina* (CHEV.). (J. New York Ent. Soc., XXXXIII, pp. 1-16.)
- BOGDANOFF-KATKOFF, N. N., 1931, *L'Entomologie pratique* (en russe). (Moscou, Leningrad, 294 p.)
— 1931, *Précis d'Entomologie théorique et appliquée* (en russe). (Moscou, 488 p.)
- BONSDORFF, A. VON, 1890, *Ueber die Abteilung der Skulpturverhältnisse bei den Deckflügeln der Coleopteren*. (Zool. Anz., XIII, pp. 342-346.)
- BOVING, A. G. et CRAIGHEAD, F. C., 1931, *An illustrated synopsis of the principal larval forms of the Coleoptera*. [Ent. Amer., (n. s.), XI, pp. 1-351.]

- BRADLEY, J. C., 1931, *Guide to the study of the wings of Insects*. (Ithaca, N. Y., Daw, Illston and Co., 9 p.)
 — 1931, *Brief laboratory guide and exercises in phylogeny*. (Ithaca, N. Y., Daw, Illston and Co., 9 p.)
 — 1939, *A laboratory guide to the study of the evolution of the wings of Insects*. (Ithaca N. Y., Daw, Illston and Co., 2n ed., pp. 1-60.)
- BAKMAN, P. J., 1950, *Mededelingen inzake het vliegvermogen van Nederlandse Carabiden*. (Ent. Ber. Amsterdam, XIII, pp. 50-52.)
- BRAUER, F. et REDTENBACHER, J., 1888, *Ein Beitrag zur Entwicklung des Flügelgeäders der Insekten*. (Zool. Anzeig., XI, pp. 443-447.)
- BRAUNS, A., 1939, *Morphologische und physiologische Untersuchungen zum Halterenproblem unter besonderer Berücksichtigung brachypterer Arten*. [Zool. Jb. (Phys.), LIX, 3, pp. 245-390.]
 — 1951, *Flügel und Halterenreduktion bei Dipterenarten von den Kerguelen-Inseln*. (Dtsch. Zool., I, 3, pp. 196-221.)
- BREED, R. S. et BALL, E. F., 1912, *The interlocking mechanisms which are found in connection with the elytra of Coleoptera*. (Proc. VIIth. Int. Zool. Cong. Cambridge Mass., pp. 660-681.)
- BREITENBRECHER, J. K., 1922, *Somatic mutations and elytral mosaics of Bruchus*. (Biol. Bull. Mar. Biol. Lab., XXXXIII, 1, pp. 10-22.)
 — 1925, *An apterous mutation in Bruchus*. (Biol. Bull. Wood's Hole, LXIII, pp. 166-170.)
 — 1926, *Variation and Heredity in Bruchus quadrimaculatus FABR.* (Can. Ent., LVIII, 6, pp. 131-133.)
- BREUNING, S., 1926, *Einige Worte zu Prof. JEANNEL. Theorie über die Adephagenskulptur*. (Ent. Mitt., XV, pp. 230-245.)
- BRONGNIART, G., 1893, *Recherches pour servir à l'histoire des insectes fossiles des tenups primaires*. (Saint-Etienne, pp. 366-370.)
- BRUES, A. M., 1923, *On the wing venation of Insects*. (Psyche Boston Mass., XXX, pp. 123-132.)
- BRUES, C. T., 1902, *The structure and significance of vestigial wings among Insects*. (Biol. Bull., IV, pp. 178-190.)
 — 1908, *Is mutation a factor in the production of vestigial wings among Insects?* (Journ. N.Y. Ent. Soc., XVI, pp. 45-52.)
- BUCHHOLTZ, C., 1951, *Untersuchungen an der Libellen-Gattungen Calopteryx LEACH unter besonderer Berücksichtigung ethologischer Fragen*. (Z. Tierpsychol. Dtsch., VIII, 2, pp. 273-293.)
- BUDDENBROCK, W. VON, 1930, *Der Flug der Insekten*. (Hdb. d. norm. u. path. Physiol., XV, pp. 349-361.)
- BURMEISTER, H., 1854, *Untersuchungen über die Flügeltypen der Koleopteren*. (Abh. Nat. Ges. Halle, II, 3, pp. 126-140, 1 pl.)
- CHABRIER, J., 1820, *Essai sur le vol des insectes*. (Mém. Mus. Hist. Nat., VI, pp. 410-478.)
- CHAMPION, G. C., 1924, *Coleopera from the Seychelles*. (Trans. Ent. Soc. London, p. 299.)
 — 1925, *Metallic colouring of lower surface of elytra in certain Staphylinidae*. (Ent. Month. Mag., LVI, p. 115.)
- CHAUVIN, R., 1949, *Physiologie de l'Insecte*. (Paris, 618 p.)
- CHEN, S. H., 1934, *Sur la position systématique du genre Timarcha LATR.* (Bull. Soc. Ent. Fr., XXXIX, pp. 35-39.)
 — 1934, *Recherches sur les Chrysomelinae de la Chine et du Tonkin*. (Thèse, Paris, 104 p., 61 fig.)
 — 1940, *Attempt at a new classification of the leaf beetles*. (Sinensis, XI, pp. 451-481.)
 — 1943, *The relation of elytra to flight in the cucumber beetles*. (Sinensis, XIV, pp. 33-35.)
 — 1946, *Evolution of the insect larva*. (Trans. R. Ent. Soc. London, XCVII, 15, pp. 381-404.)
- CHUAN-CHIEH, T., 1940, *On the structure of some Chrysomelid larvae*. (Sinensis, XI, 5-6, pp. 549-571.)
- COCKERELL, T. D. A., 1923, *The Coleoptera of the Madeira Islands*. (Ann. and Mag. Nat. Hist., IX, 11, pp. 689-696.)
- COCKERELL, T. D. A. et HARRIS, R. C., 1925, *The wings of the meloid beetles*. (Proc. Biol. Soc. Wash., XXXVIII, pp. 25-32.)
- COLOMBO, G., 1951, 1952, *Brachitterismo in Anacridium aegyptium (Orthoptera)*. (Arch. zool. ital., XXXVI, pp. 355-362.)
- COMSTOCK, J. H., 1895, *A manual for the study of Insects*. (Ithaca, N.Y., 701 p.)
- COMSTOCK, J. H. et NEEDHAM, J. G., 1898, *The wings of Insects*. (Amer. Nat., XXXII, pp. 43-48, 81-89, 231-257, 561-565; XXXIII, pp. 117-126.)

- COMSTOCK, J. H., 1918, *The wings of Insects*. (The Comstock Publ. Co., pp. 1-430, 427 fig.)
— 1918, *Outline of Laboratory work in the Study of the Venation of the wings of Insects*. (Ithaca, N.Y., 416 p.)
— 1947, *An introduction to entomology*. (New York, pp. 1-1064.)
- CORPORAAL, J. B., 1923, *L'attitude du vol chez un Nécrode*. (Bull. Soc. Ent. Belgique, V, 5, p. 58.)
- CORSET, J., 1931, *Les coaptations des insectes*. (Bull. Biol. Fr. Belg., Suppl., XIII, 337 p.)
- COUSIN, G., 1937, *Sur quelques anomalies de développement chez les Gryllides*. (C. R. Soc. Sav., LXX^e Congr., pp. 215-221.)
- CRACKEN, I. Mac., 1905, *Inheritance of dichromatism in Lina lapponica*. (Journ. Exp. Zool., II, pp. 117-136.)
— 1906, *Inheritance of dichromatism in Lina and Gastroidea*. (Journ. Exp. Zool., III, 2, pp. 321-336.)
— 1907, *Occurrence of a sport in Melasoma (Lina) scripta and its behaviour in heredity*. (Journ. Exp. Zool., IV, pp. 221-238.)
- CRAMPTON, G. C., 1914, *Notes on thoracic sclerites of winged Insects*. (Ent. New Philad., XXV, pp. 15-25.)
— 1914, *The ground plan of a typical thoracic segment in winged Insects*. (Zool. Anz., XLIV, pp. 56-67.)
— 1916, *The phylogenetic origin and the nature of wings of Insects according to the paranotal theory*. (Jour. New York, Ent. Soc., XXIV, pp. 1-39.)
— 1918, *Phylogenetic study of the terga and wing-bases in Embids, Plecoptera, Dermaptera and Coleoptera*. (Psyche, XXV, pp. 4-12.)
— 1922, *Notes on the Relationships indicated by the venation of the wings of Insects*. (Canad. Ent., LIV, pp. 206-216, 222-235.)
— 1928, *The basal structures of the wings of certain Insects*. (Bull. Brooklyn Ent. Soc., XXIII, pp. 113-118.)
- CROWSON, R. A., 1938, *The met-endosternite in Coleoptera*. (Trans. R. Ent. Soc. Lond., LXXXIX, pp. 397-416.)
— 1944, *Further studies on the met-endosternite in Coleoptera*. (Trans. R. Ent. Soc. Lond., XCV, pp. 273-310.)
— 1946, *A revision of the genera of the Chrysomelid group Sagrinae (Coleoptera)*. (Trans. R. Ent. Soc. Lond., XCIV, 4, pp. 75-115, 36 fig.)
- CUÉNOT, L., 1922, *Coléoptères droits et gauches*. (C. R. Assoc. franc. Avanc. Sc., XLV, 1921, pp. 682-683.)
CUÉNOT, L. et MERCIER, L., 1922, *La perte de la faculté du vol chez les Diptères parasites*. (C. R. Acad. Sc. Paris, CLXXVI, pp. 433-436.)
— — 1923, *Les muscles du vol chez les mutants alaires des Drosophiles*. (C. R. Acad. Sc. Paris, CLXXVI, pp. 1112-1113.)
- CUÉNOT, L. et TETRY, A., 1951, *L'évolution biologique*. (Masson, Paris, pp. 1-592.)
- DARLINGTON, P. J., 1936, *Variation and atrophy of glying wings of some Carabid beetles*. (Ann. Soc. Ent. Amer., XXIX, pp. 136-179.)
- DARLINGTON, P. J. (Jr.), 1943, *Carabidae of mountains and islands. Data on the evolution of isolated faunas and on atrophy of wings*. (Ecol. Mon., XIII, pp. 37-61.)
- DEMOLL, K., 1918, *Die Anfassung des Fliegens der Käfer. Ein zoologische Irrelehr*. (Zool. Anz., XLIX, pp. 285-286.)
- DEMOLL, R., 1918, *Der Flug der Insekten und der Vögel*. (Jena, pp. 1-67.)
— 1919, *Die Bedeutung der Elytren der Käfer für den Flug*. (Biol. Zbl., XXXIX, 10.)
- DESCHAMPS, D., 1845, *Recherches microscopiques sur l'organisation des élytres des Coléoptères*. (Ann. Soc. Nat., III, 3, pp. 354-363.)
- DEWITZ, H., 1883, *Ueber rudimentare Flügel bei den Coleopteren*. (Zool. Anz., VI, pp. 315-318.)
- DEWITZ, J., 1912, *L'aptérisme expérimental des insectes*. (C. R. Acad. Sc. Paris, CLIV, pp. 386-388.)
— 1917-1920, *Ueber die Entstehung rudimentärer Organe bei den Tieren*. (Zool. Jahrbücher, XXXVI, 2, pp. 231-244; XXXVII, pp. 305-311.)
- DIEZ, R., 1896, *Untersuchungen über die Skulptur der Flügeldecken bei der Gattung Carabus*. (Tüb. Zool. Arb., II, 4, pp. 167-190.)
- DIMMOCK, G., 1883, *The scales of Coleoptera*. (Psyche, IV, pp. 3-11, 23-27, 43-47, 63-71.)
- DOBZHANSKY, T., 1933, *Geographical variations in Lady-Beetles*. (Amer. Nat., LXIX, 709, pp. 96-125.)
- DONCASTER, L., 1905, *On the colour-variations of the beetle Gonioctena variabilis*. (Proc. Zool. Soc., London, II, pp. 528-536.)

- DUNN, E., 1948, *A method of distinguishing between young and old Colorado beetles*. (Nature, London, CLXII, p. 75.)
- 1951, *Wing coloration as a means of determining the age of the Colorado beetle*. (*L. decemlineata SAY*). (Ann. appl. Biol., XXXVIII, 2, pp. 433-434.)
- ECKSTEIN, K., 1888, *Ein abnormer Procrustes coriaceus L.* (Berl. Ent. Z., XXXII, 1, p. 32.)
- EGGERS, 1923, *Über Korrelation in der Ausbildung der Flügel und der Tympanalorgane bei Insekten*. (Verh. D. Zool. Ges. Berlin, XXVIII, pp. 42-44.)
- ERHARDT, E., 1916, *Zur Kenntnis der Innervierung und der Sinnesorgane der Flügel von Insekten*. (Zool. Jahrb. Abt. Anat., XXXIX, 2, pp. 293-334.)
- FAUST, R., 1952, *Untersuchungen zum Halterenproblem*. (Zool. Jahrb., LXIII, 3, pp. 326-366.)
- FISCHER, L. H., 1846, *Microscopische Untersuchungen über die Käferschuppen*. (Isis, VI, pp. 401-421.)
- FORBES, W. T. M., 1922, *The wing nervation of the Coleoptera*. (Ann. Ent. Soc. Amer., VII, 15, pp. 328-351.)
- 1924, *The occurrence of nygmata in the wings of Insecta Holometabola*. (Ent. News Philad., XXXV, pp. 230-232.)
- 1924, *How a beetle folds its wings*. (Psyche, XXXI, pp. 254-258.)
- 1926, *The wing-folding patterns of the Coleoptera*. (J. New York Ent. Soc., XXXIV, pp. 42-68, 91-139.)
- 1928, *The Protocoleoptera*. (Psyche, Boston Mass., XXXV, pp. 32-35.)
- 1933, *The axillary venation of the insects*. (V^e Congr. Int. Ent. Paris, II, pp. 277-284.)
- 1942, *The wing of the Schizopini (Col. Dascillidae)*. (Ent. News Philad., LIII, pp. 101-102.)
- 1942, *The wing of Mastogenius (Coleoptera)*. (J. New York Ent. Soc., L, pp. 193-194.)
- 1943, *The origin of wings and venational types in insects*. (Amer. midl. Nat. Notre-Dame Ind., XXIX, pp. 381-405.)
- 1947, *Beetle wings*. (Col. Bull., I, pp. 71-73.)
- FOX, D. L., 1953, *Animal biochromes and structural colours*. (Cambridge Univ. Press., 379 p.)
- GADEAU DE KERVILLE, H., 1932, *Sur la couleur interférentielle vert d'émeraude du Physonota gigantea BOHEM. (Coléoptère de la famille des Chrysomélidés)*. (Mél. entom., 5^e mém., pp. 477-479.)
- 1932, *Production, chez les insectes desséchés (Coléoptères, Lépidoptères, Hémiptères et Orthoptères) de variations de couleurs par l'action de substances chimiques et de températures élevées*. (Mél. entom., 5^e mém., pp. 469-476.)
- GAHAN, J., 1891, *Mimetic resemblance between species of the Coleopterous genera Lema and Diabrotica*. (Trans. Ent. Soc. London, pp. 367-374.)
- GAHAN, C. J., 1911, *On some recent attempts to classify the Coleoptera in accordance with their phylogeny*. (The Entomologist, pp. 1-30.)
- GANGLBAUER, L., 1909, *Ueber die Beziehungen der Skulptur zum Tracheenverlauf in den Elytren der Koleopteren*. (Verh. Zool. Bot. Ges. Wien, LIX, pp. 17-26.)
- GAUSE, G. F., 1930, *Die Variabilität der Zeichnung bei den Blattkäfern der Gattung Phytodecta*. (Biol. Zentralbl., L, p. 235.)
- GISSLER, C. F., 1880-1881, *Subelytral air-passages in Coleoptera*. (Proc. Amer. Assoc. Adv. Sci., XXIXth Meet., pp. 667-669.)
- GOOD, H. G., 1925, *Wing venation of Buprestidae*. (Ann. Ent. Soc. Am., XVIII, 2, p. 25.)
- GOODLIFE, F. D., 1939, *The taxonomic value of wing venation in the larger Dytiscidae (Coleoptera)*. (Trans. Soc. Br. Ent. Southampton, VI, pp. 23-38.)
- GORTNER, R. A., 1911, *The Origin of the Pigment and the Color Pattern in the Elytra of the Colorado Potato Beetle (Leptinotarsa decemlineata SAY)*. (Amer. Nat., XLV, 540, pp. 743-755.)
- GOUREAU, 1843, *Mémoire sur l'irisation des ailes des insectes*. (Ann. Soc. ent. Fr., II, 1, pp. 201-215.)
- GRAHAM, S. A., 1922, *A study of the wing venation of Coleoptera*. (Ann. Ent. Soc. Amer., XV, pp. 191-200.)
- GRANT, C., 1946, *Kaleidoscopic color changes in beetles*. (Journ. Ent. Zool. U.S.A., XXXVIII, p. 55.)
- GRIFFINI, A., 1896, *Observations sur le vol de quelques Dytiscides et sur les phénomènes qui le précédent*. (Arch. ital. Biol., XXV, pp. 326-331.)
- GRISON, P., 1946, *Les variations de pigmentation des élytres chez le doryphore (L. decemlineata SAY)*. (Ann. Epiph., XII, 13, pp. 377-382.)
- GRISON, P. et LE BERRE, J. R., 1953, *Caractères de la dispersion par vol du Doryphore (Leptinotarsa decemlineata SAY) dans le Sud du Cotentin en 1952*. (Rev. Zool. Agr. appl., X, 11, pp. 1-7.)
- GUNST, J. H., (DE), 1952, *A monstrosity of Cybister lateralimarginalis DE GEER*. (Entom. Berichten, CCCXXI, 14, pp. 45-46.)

- HANDLIRSCH, A., 1908, *Die Fossilen Insekten und die Phylogenie der Rezenten Formen.* (Leipzig, 1430 p., 51 pl.)
- HAAS, W., 1914, *Die Asymmetrie der Flügelrudimente bei Carabus auratus L.* (Zool. Anz. XLIV, pp. 292-297.)
- 1914, *Über das Zustandekommen der Flügeldeckenskulptur einiger Brachyceriden.* (Sitzber. Ges. naturforsch. Freunde Berl., VII, pp. 354-364.)
- 1916, *Über Metallfarben bei Buprestiden.* (Sitzber. Ges. naturforsch. Freunde Berl., IX, pp. 332-343.)
- HAUBER, U. A., 1925, *An analysis by selection and crossing of Genetic Factors involved in Defective Venation, a variable character of the Parasitic Wasp Habrobracon juglandis* (ASHMEAD). (Genetics, X, pp. 91-116.)
- HAUPT, H., 1950, *Die Käfer (Coleoptera) aus der eozänen Braunkohle des Geiseltales.* (Geologica, Berlin, VI, pp. 1-168.)
- HAZELTINE, W., 1950, *Observations in flights of Pleocoma conjungens (Col. Scarabaeidae).* (Pan. Pac-Ent. San Francisco, XXVI, pp. 188-189.)
- HELGWIG, H. et LUDWIG, W., 1951, *Versuche zur Frage der Arterkennung bei Insekten.* (Z. Tierpsychol. Dtsch., VIII, 3, pp. 456-462.)
- HENNEGUY, F., 1904, *Les insectes.* (Paris, pp. 46-49.)
- HERBERDEY, R. F., 1938, *Beiträge zum Bau des Subelytralraumes und zur Atmung des Coleopteren.* (Z. Morph. Oekol. Tiere, Berlin, XXXIII, pp. 667-734.)
- HERBST, H. G., 1952, *Studien über Flügeldecken der Rutelinen und Cetoniinen (Col. Scarabaeidae). Das Elytralgelenk.* (Zool. Jahrb. Abt. Anat. Ontog. Tiere Dtsch., LXXII, 1, pp. 1-66.)
- HEYMONS, R., 1896, *Ueber Flügelnbildung bei der Larve von Tenebrio molitor.* (Sitzb. Ges. Naturf. Freunde zu Berlin, pp. 142-144.)
- HICKS, J. B., 1856, *On a new Organ in Insects.* (Journ. Proc. Linn. Soc., I, 3, pp. 136-140.)
- 1857, *Further remarks on the organs found on the bases of the Halteres and Wings of Insects.* (Trans. Linn. Soc. London, XXII, 2, pp. 141-145.)
- HOCKING, B., 1953, *The intrinsic range and speed of flight of insects.* (Trans. R. Ent. Soc. London, CIV, 8, pp. 223-345.)
- HOFFBAUER, C., 1892, *Beiträge zur Kenntnis der Insektenflügel.* (Z. wiss. Zool., LIV, pp. 579-630.)
- HOFMANN, G., 1879, *Ueber die morphologische Deutung der Insectenflügel.* (Jahresber. d. Akad. naturwiss. Vereins Graz., 5, Jahrg., pp. 63-68.)
- HOPKINS, A. D., 1909, *Contribution toward a monograph of the Scolytid beetles. I : The genus Dendroctonus.* (U.S. Dept. Agr., XVII, 1, pp. 1-164.)
- HUNDERTMARK, A., 1935, *Die Entwicklung der Flügel des Mehlkäfers Tenebro molitor, mit besondere Berücksichtigung der Häutungsvorgänge.* (Z. morphol. Okol. Tiere, XXX, pp. 506-543.)
- HUXLEY, J., 1948, *Evolution. The Modern Synthesis.* (London, pp. 548-549.)
- IGLASIAS, L. I., 1929, *Variabilidad por fluctuation en las manchas elitralas de Crioceris asparagi L. var. campestris L.* (Mém. Soc. esp. Hist. nat., XV, pp. 411-413.)
- IMMS, A. D., 1931, *Recent research on the wing venation of insects.* (Ent. Month. Mag., LXVII, pp. 145-148.)
- JACKSON, D. J., 1920-1922, *Bionomics of weevils of the genus Sitones injurious to Leguminous Crops in Britain.* (Ann. App. Biol., VII, pp. 269-298; IX, pp. 93-115.)
- 1926, *The inheritance of Brachypterous and Macropterous wings in Sitona hispidula.* (Nature, CXVIII, pp. 192-193.)
- 1928, *Wing dimorphism in weevils.* (Nature, CXXII, p. 478.)
- 1928, *The inheritance of long and short wings in the Weevil, Sitona hispidula, with a discussion of wing reduction among beetles.* (Trans. R. Soc. Edin., LV, pp. 665-735.)
- 1929, *Reviews and notices of books.* (Ent. Record, pp. 81-83, 97-99.)
- 1933, *Observations on the flight muscles of Sytona weevils.* (Ann. Appl. Biol., XX, pp. 731-770.)
- 1950, *Noterus clavicornis DE GEER and N. capricornis HERBST (Col. Dysticidae) in Fife.* (Ent. Month. Mag., XCVI, pp. 39-43.)
- 1952, *Observations on the capacity for flight of water beetles.* (Proc. R. Ent. Soc. Lond., XXVII, 7-9, pp. 57-70.)
- JACOBSON, G., 1899, *Über den ausseren Bau flügelloser Käfer.* (Annaire Mus. Zool. Ac. Imp. Sc. Saint-Pétersbourg, IV, pp. 12-19.)

- JACOBY, M. et CLAVAREAU, H., 1904, *Donacidae*, in P. WYTSMAN, *Genera Insectorum*, fasc. 21. (Bruxelles, 15 p.)
- 1904, *Crioceridae*, in P. WYTSMAN, *Genera Insectorum*, fasc. 23. (Bruxelles, 40 p.)
 - 1905, *Megascelidae*, in P. WYTSMAN, *Genera Insectorum*, fasc. 32. (Bruxelles, 6 p.)
 - 1905, *Megalopidae*, in P. WYTSMAN, *Genera Insectorum*, fasc. 33. (Bruxelles, 20 p.)
 - 1906, *Clytrinae*, in P. WYTSMAN, *Genera Insectorum*, fasc. 49. (Bruxelles, 87 p.)
- JANET, Ch., 1899, *Sur le mécanisme du vol chez les insectes*. (G. R. Acad. Sc. Paris.)
- JASCHKE, P. V., 1943, *Bemerkungen zum Bau der alkoksternalen Cicindelinelytren*. (Zool. Anz. Leipzig, CXLI, pp. 231-234.)
- JEANNEL, R., 1911, *Revision des Bathysciinae*, (Arch. Zool. Exp. gén., V, 7, pp. 1-641.)
- 1925, *Morphologie de l'elytre des Coléoptères adéphages*. (Arch. Exp. et Gén., LXIV, pp. 1-84.)
 - 1925, *L'Aptérisme chez les insectes insulaires*. (G. R. Ac. Sc., CLXXX, pp. 1222-1224.)
 - 1940, *Croisière du BOUGAINVILLE aux îles australes françaises*. (Mém. Mus. Nat. Hist. Nat., XIV, pp. 1-328.)
 - 1941, *Les Coléoptères carabiques*. (Faune de France, XXXIX, pp. 35-36.)
 - 1949, *Coléoptères*, in GRASSÉ, *Traité de Zoologie*, IX. (Paris, pp. 803-812.)
- JOLIVET, P., 1946, *A propos des variations du Doryphore* (*Leptinotarsa decemlineata* SAY) (*Col. Chrys.*). (Miscell. Ent. XLIII, 4, pp. 31-33.)
- 1946, *A propos d'une curieuse anomalie élytrale chez une femelle de Timarcha tenebricosa* F. (Miscell. Ent., XLIII, 10, pp. 133-134.)
 - 1946, *Sur plusieurs cas de brachélytrie dysplasique dans une population de Melasoma tremulae* F. (*Col. Chrys.*). (Miscell. Ent., XLIII, 4, pp. 36-38.)
 - 1948, *Introduction à la biologie des Timarcha* (*Col. Chrys.*). (Miscell. Ent., XLV, 1, pp. 1-32.)
 - 1948, *La conservation de la couleur chez les Cassididae* (*Col. Chrys.*). (Entomologiste, IV, 3-4, pp. 140-143.)
 - 1949, *Les Chrysomélides qui changent de couleur*. (Entomologiste, V, 5-6, pp. 190-191.)
 - 1949, *A propos de la coloration chez les Cassididae*. (Entomologiste, V, 1-2, p. 58.)
 - 1950, *Un accouplement interspécifique chez deux Chrysolina*. (Bull. et Ann. Soc. Ent. Belg., LXXXVI, 9-10, p. 200.)
 - 1950, *Sur un cas de trématélytrie chez Crioceris asparagi* L. ♀ (*Col. Crioceridae*). (Entomologiste, VI, 3, pp. 77-79.)
 - 1951, *Contribution à l'étude du genre Gastrophysa CHEVROLAT* (*Col. Chrys.*) (*troisième note*). (Bull. Inst. roy. Sc. nat. Belg., XXVII, 21, pp. 1-47.)
- KALMUS, H., 1945, *Correlations between flight and vision, and particularly between wings and ocelli, in insects*. (Proc. R. Ent. Soc. Lond., A XX, 4-6, pp. 84-96.)
- KAPZOV, S., 1911, *Untersuchungen über den feineren Bau der Cuticula bei Insekten*. (Zeitschr. Wiss. Zool., XCVIII, pp. 297-337.)
- KATO, M., 1923, *On the elytra of the Coleoptera*. [Taiwan Hakub. K. (Trans. N. H. Soc. Formosa), XIII, pp. 174-177.]
- KEMPERS, K. J. W., 1898, *Onderzoek over aderloop bij kevervleugels* (XXXI^e Winterverg.). (Tijdschr. voor Ent., XLI, pp. 31-35.)
- 1900-1902-1903, *Het adersysteem der kevervleugels*. (Tijdschr. voor Ent., XLII, pp. 180-208; XLIII, pp. 172-199; XLIV, pp. 13-39; XLV, pp. 53-71.)
 - , *Gehectografeerde tekeningen van Keversvleugels-Variatie adersystemen bij sommige kevers. Kan studie der kevervleugels tot afstammings-leer of rangschikking voeren?* (LVII^e Zomerverg.). (Tijdschr. voor Ent., XLV, pp. 54-56.)
 - 1905, *Indeeling naar adersysteem valt veelal samen met groepeering naar andere kenmerken twijfelachtige Sumatraansche Dascillide volgens adersysteem*. (Tijdschr. voor Ent., XLVIII, pp. 51-55.)
 - 1908, *Studie der kevervleugels*. (Tijdschr. voor Ent., LI, pp. 9-16.)
 - 1909, *Nog iets over het adersysteem der Kevervleugels*. (Tijdschr. voor Ent., XLII, pp. 272-283.)
 - 1912, *Is er een oervleugeltype onder de thans levende kevers?* (LV^e Winterverg.). (Tijdschr. voor Ent., LV, pp. 32-33.)
 - 1915, *Afbeeldingen van Cerambyciden-vleugels*. (Tijdschr. voor Ent., LVIII, pp. 61-62.)
 - 1917, *Gekleurde achtervleugels van kevers*. (Tijdschr. voor Ent., LX, p. 43.)
 - 1920, *Beteekenis van het oblongum voor de systematiek*. (Tijdschr. voor Ent., LXIII, pp. 72-75.)
 - 1921, *Over een collectie achtervleugeltekeningen van kevers*. (Tijdschr. voor Ent., LXIV, p. 61.)

- KEMPERS, K. J. W., 1922, *Aderen van kevervleugels* (LV^e Winterverg.). (Tijdschr. voor Ent., LXV, pp. 18-21.)
 — 1922, *Nadere beschouwingen van het adersysteem der Coleoptera in verband met het systeem van Prof. KOLBE en anderen.* (Tijdschr. voor Ent., XLV, pp. 1-38.)
 — 1923, *Iets naar aanleiding van d'Orchymonts « Aperçu de la nervation alaire des Coléoptères ».* (Tijdschr. voor Ent., XLVI, pp. 129-134.)
 — 1923, *Das Flügelgeäder der Käfer.* (Ent. Mitt., XII, 2, pp. 46-63.)
 — 1923, *Abbildungen von Flügelgeäder der Koleopteren.* (Ent. Mitt., XII, 2, pp. 71-115, 162-163.)
 — 1924, *Het Staphylinen-type als aparte derde vorm van kevervleugels-Afbeeldingen van patronen bij kevervleugels.* (Tijdschr. voor Ent., LXVII, pp. 52-54.)
 — 1930, *Indeeling kevers naar bouw monddeelen en vleugeladeren* (LXXXV^e Zomerverg.). (Tijdschr. voor Ent., LXXIII, pp. 90-91.)
- KERN, F. et GUNTHART, E., 1950, *Nouvelles recherches sur le vol du hanneton* (*Melolontha vulgaris* F.) (Mitt. schweiz. entomol. Gesellsch., XXIII, 2, pp. 226-234.)
- KLEINE, R., 1920, *Der Breithildenflügel.* (Arch. Naturg. Berlin, LXXXV A, 8, pp. 1-30.)
- KOLBE, H., 1886, *Die Zwischraume zwischen den Punktstreifen der punktiertgestreiften Flügeldecken der Coleoptera als rudimentare Rippen aufgefast.* (Jahrb. zool. Sekt. Westfal. Prov.-Ver. für Wiss. u. Kunst. Münster, pp. 57-59.)
 — 1893, *Einführung in die Kenntnis der Insekten.* (Berlin, p. 709.)
 — 1901, *Vergleichend morphologische Untersuchungen an Koleopteren nebst Grundlagen zu einem System und zur Systematik derselben.* (Archiv. f. Naturg., pp. 98-112, 128-141, pl. 2-3, fig. 14-22.)
 — 1911, *Die Vergleichende Morphologie und Systematik der Coleopteren.* (I^{er} Congrès d'Ent., II, pp. 41-68.)
- KORSCHELT, E., 1924, *Bearbeitung einheimischer Tiere. I : Monographie : Der Gelbrand Dytiscus marginalis* L. (Leipzig, I, pp. 1-863.)
- KRAATZ, G., 1878, *Ueber die Skulptur-Elemente der Carabus.* (Dtsch. Ent. Zeitschr., XXII, 11, pp. 273-291.)
- KREMER, J., 1917, *Beiträge zur Histologie der Coleopteren.* (Zool. Jahrb. XL, 1, pp. 105-154.)
 — 1919, *Die Flügeldecken der Koleopteren.* (Zool. Jahrb. Abt. Anat. u. Onth., XLI, pp. 175-272.)
- KRÜGER, E., 1898, *Ueber die Entwicklung der Flügel der Insekten, mit besonderer Berücksichtigung der Deckflügelder Käfer.* (Thèse, Biol. Ctrbl. Göttingen, V, 19, pp. 783-797.)
- KUHNE, O., 1915, *Der Tracheenverlauf im Flügel der Koleopteron nymphe.* (Z. wiss. Zool., CXII, pp. 692-718.)
- KÜKENTHAL, W., 1926-1930, 1933-1936, *Handbuch der Zoologie.* (Berlin et Leipzig, IV, 1, pp. 434-445; IV, 2, pp. 1078-1086.)
- KUNTZE, R., 1923, Arch. Tow. Nauk. Lwov., II, pp. 411-423; III, pp. 245-264 (en polonais).
 — 1923, *Analyse génétique de la variabilité de la coloration chez le Coléoptère Melasoma aenea* L. (C. R. Soc. Biol., IC, pp. 1392-1394.)
 — 1928, *Genetische Analyse der Färbungsvariabilität des Blattkäfers Melasoma aenea* L. (Z. ind. Abst.-Vererb.-Lehre, XLVII, pp. 125-146.)
- LABOISSIÈRE, V., 1936, *Coup d'œil sur les Galerucinae optères.* (Livre jubilaire E. BOUVIER, pp. 220-222.)
- LA GRECA, M., 1945, *Il brachitterismo negli insetti.* (Boll. Soc. Nat. Napoli, LV, pp. 52-57.)
 — 1946, *Osservazioni sul brachitterismo degli ortotteri in rapporto al sesso.* (Mon. Zool. Ital., LV, 7-12, pp. 138-141.)
 — 1949, *Il brachitterismo negli insetti*, II. (Ann. Ist. Mus. Zool. Univ. Napoli, I, 1, pp. 1-18.)
- LAMEERE, A., 1900, *Notes pour la classification des Coléoptères.* (Ann. Soc. Ent. Belg., XLIV, p. 265.)
 — 1903, *Nouvelles notes pour la classification de Coléoptères.* (Ann. Soc. Ent. Belg., XLVII, pp. 155-165.)
 — 1922, *Sur la nervation alaire des insectes.* (Bull. Acad. roy. Brux., V, 8, pp. 138-149.)
 — 1935-1938, *Précis de Zoologie.* (Paris, IV, pp. 1-468; V, pp. 1-536.)
- LARSEN, O., 1949, *Ein Carabus clathratus L. mit hochgradig asymmetrischer Entwicklung der Alae.* (Opusc. ent. Lund., XIV, pp. 113-119.)
- LE BERRE, J. R., 1950, *Action des facteurs climatiques sur l'incitation au vol du Doryphore.* (G. R. Acad. Sc., Paris, CCXXXI, 20, pp. 1096-1098.)
 — 1952, *Contribution à l'étude du déterminisme de l'envol du Doryphore, Leptinotarsa decemlineata SAY.* (C. R. Acad. Sc. Paris, CCXXXIV, 10, pp. 1092-1094.)
- LEECH, H. B., 1942, *Dymorphism in the Flying Wings of a species of water beetle, Agabus bifarius* (KIRBY). (Ann. ent. Soc. Amer., XXXV, pp. 76-80.)
- LEHR, R., 1914, *Die Sinnesorgane der beiden Flügelpaare von Dytiscus marginalis.* (Z. wiss. Zool., p. 110.)

- LEMCHE, H., 1935, *The primitive colour-pattern on the wings of insects and its relation to the venation.* (Vidensk. Medd. naturh. Foren. Kjøbenhavn, IC, pp. 45-64.)
- 1940, *The origin of winged insects.* (Vidensk. Medd. naturh. Foren. Kobenhavn, CIV, pp. 127-168.)
- LENGERKEN, H. VON, 1924, *Coleoptera, II*, in P. SCHULZE Biologie der Tiere Deutschlands, XII, 40, pp. 37-104.
- LESTON, D., 1952, *Unilateral brachyptery in Drymus brunneus SAHLB.* (Hem. Lygaeidae). (Ent. Month. Mag., XIV, 13, p. 20.)
- LEWIS, E., 1949, *A propos de la coloration des Cassides.* (Entomologiste, V, 3-4, pp. 99-100.)
- LEYON, H. & EKLUND, G., 1950, *Some electron microscopical observations on the structure of the wings of Simulium.* (Ark. Zool. Stockholm, I, 29, pp. 471-476.)
- L'HERITIER, P., NEEFS, Y. et TEISSIER, G., 1937, *Aptérisme des insectes et sélection naturelle.* (C. R. Ac. Sc. Paris, CCIV, p. 907.)
- LINDROTH, C. H., 1946, *Inheritance of wing dimorphism in Pterostichus anthracinus ILL.* (Hereditas, XXXII, pp. 37-40.)
- 1948, *The wing-dimorphism in the Carabidae-family (Coleoptera).* (Arch. Soc. zool. bot. fenn. Helsinki, I, pp. 70-72.)
- LIPP, H., 1935, *Die Lebensweise von Melasoma aenea (L.) in der Mark (Col. Chrys.).* (Dtsch. ent. Z., pp. 1-84.)
- LOMNIKI, J. R. VON, 1898, *Flügelrudimente bei den Caraben.* (Zool. Anz., XXI, pp. 352-355.)
- MACGILLIVRAY, A. D., 1923, *The subcostal vein in the wings of insects.* (Amer. Nat. New York, LVII, pp. 371-374.)
- MACHATSTSCHÉ, J. W., 1953, *Zur Variabilität von Leptinotarsa decemlineata SAY.* (Beitr. z. Ent. III, 3, pp. 304-311.)
- MANUNTA, C., 1948, *Astaxanthin in insects and other terrestrial arthropods.* (Nature, London, CLXII, 4112, p. 298.)
- MANUNTA, C. et MORITTU, G., 1948, *I pigmenti carotenoidi nella dorifora delle patate* (Leptinotarsa decemlineata). [Atti Accad. Lincei (Roma) Rend. Cl. Sci. Fis. Nat. nat., série 8 A, IV, 1, pp. 115-116.]
- MANUNTA, C. et SOLINAS, I., 1952, *Sul metabolismo dei pigmenti carotenoidi nella dorifora delle patate* (Leptinotarsa decemlineata SAY). (Rend. Accad. Naz. Lincei, série VIII, XII, 6, pp. 759-767.)
- MARAN, J., 1926, *Etude sur les espèces macroptères du genre Carabus dans les collections de la section entomologique du Museum national de Prague.* (Sborn. ent. odd. Nar. Mus. v Praze, IV, pp. 125-130.)
- 1927, *Studie o rudimentech kridel u rodu Pterostichus BON. a Molops BON.* (Sborn. ent. odd. Nar. Mus. v Praze, V, pp. 121-139.)
- 1930, *Etudes phylogéniques et systématiques sur la morphologie des ailes dans la famille des Cérambycides.* (Prag. Sborn. Nar. Mus., pp. 20-54.)
- MAREY, M., *Reproduction mécanique du vol des insectes.* (C. R. Acad. Sc., LXVIII, pp. 667-669.)
- MARTYNOV, A., 1924, *L'évolution de deux formes d'ailes différentes chez les insectes* (en russe, résumé français). (Rev. Zool. Russe Moscou, IV, 1-2, pp. 155-185.)
- 1924, *Sur les organes facettiques aux ailes des insectes.* (C. R. Acad. Sc. Russ., Leningrad, pp. 71-73.)
- 1925, *Ueber zwei Grundtypen der Flügel bei den Insecten und ihre Evolution.* (Zeits. f. Morph. u. Oekol. d. Tiere Berlin, IV, pp. 465-501.)
- 1926, *Sur l'origine et l'évolution de deux types principaux d'ailes des insectes* (en russe). (Ann. Soc. Paléont. Russie, IV, pp. 137-143.)
- MASON, C. W., 1927, *Structural colors in insects, III.* (J. Phys. Chem., XXXI, pp. 1856-1872.)
- 1929, *Transient color changes in the tortoise beetle.* (Ent. News, XL, pp. 52-56.)
- MAULIK, S., 1939, *The correlation between colour-pattern and structure in insects.* (Ann. Mag. Nat. Hist., XI, 3, pp. 230-235.)
- MEINERT, 1880, *Sur l'homologie des élytres des Coléoptères.* (Ent. Tidskr., I, p. 168.)
- MELIN, D., 1941, *Contributions to the knowledge of the flight of Insects.* (Uppsala Univ. Arssk., IV, pp. 1-247.)
- MEQUIGNON, A., 1945, *Sur les Cassides des Inula (Col. Chrys.).* (Rev. franç. Ent., XI, pp. 146-156.)
- MOCQUERYS, S., 1880, *Recueil de Coléoptères anormaux par feu M. S. Mocquerys avec introduction par M. J. Bourgeois.* (Rouen, Impr. Deshays, pp. 1-142.)
- MUIR, F., 1918, *Notes on the Ontogeny and Morphology of the male genital tube in Coleoptera.* (Trans. Ent. Soc. London, pp. 223-229.)
- NEEDHAM, J. G., 1935, *Some basic principles of insect wing venation.* (J. N. Y. Ent. Soc., XLIII, pp. 113-129.)

- NOE, G., 1905, *Contribuzione alla conoscenza del sensorio degli insetti*. (Atti reale Accad. Lincei, XIV, 1, pp. 721-727.)
- OERTEL, R., 1924, *Studien über Rudimentation ausgeführt an den Flügelrudimenten der Gattung Carabus*. (Zeits. f. Morph. u. Oekol. d. Tiere, Berlin, I, pp. 38-120.)
- 1924, *Zur Terminologie des Adephagenflugels*. (Zeits. f. Morph. u. Oekol. d. Tiere Berlin, I, pp. 793-830.)
- OGLOBLIN, D., 1936, *Chrysomelidae, Galerucinae*. (Faune de l'U.R.S.S. Col., XXVI, 1, p. 2.)
- OKAY, S., 1949, *Sur les pigments des ailes rouges, bleues et jaunes des Acridiens*. (VIII^e Congr. Int. Zool., LXXXII.)
- ORCHYMONT, A., d', 1918, *Note préliminaire sur la nervation alaire des Coléoptères*. (Bull. Soc. ent. Fr., pp. 170-172.)
- 1920, *La nervation alaire des Coléoptères*. (Ann. Soc. ent. Fr., LXXXIX, pp. 1-112, 3 pl.)
- 1921, *Aperçu de la nervation alaire des Coléoptères*. (Ann. Soc. ent. Belgique, LXI, pp. 256-278.)
- OSBORNE, H., 1905, *The origin of the wings of insects*. (Proc. Ohio State Acad. Sci., IV, pp. 333-339.)
- OSBORNE, M. F. M., 1951, *Aerodynamics of flapping flight with application to insects*. (J. exper. Biol. G. B., XXVIII, 2, pp. 221-245.)
- PALMER, L. S. et KNIGHT, H. H. 1924, *Carotin-the principal cause of the red and yellow colors in Perillus bioculatus (FABR.) and its biological origin from the lymph of Leptinotarsa decemlineata SAY*. (J. Biol. Chem., LIX, pp. 443-449.)
- PAULIAN, R., 1935, *Sur l'atrophie des élytres chez les Coléoptères*. (Miscell. Ent., XXXVI, 11, pp. 94-96.)
- 1943, *Les Coléoptères*. (Payot éd., pp. 17-22.)
- PETERSEN, B., TORNBLOM, O. et BODIN, N. O., 1952, *Verhaltenstudien am Rapsweissling und Bergweissling Pieris napi und Pieris bryoniae*. (Behaviour Nederl., IV, 2, pp. 67-84.)
- PEYERIMHOFF, P. DE, 1902, *Note sur la position systématique des Cupedidae*. (Bull. Soc. ent. Fr., pp. 206-209.)
- 1902, *Sur la nervation alaire des Caraboidea et particulièrement sur celle du genre Omma (Col.)*. (Bull. Soc. ent. Fr., pp. 330-332.)
- PLATEAU, F., 1869, *Réflexions et expériences sur le vol des Coléoptères*. (Soc. Phys. et Hist. Nat. Genève, 21 p.)
- 1873, *L'aile des insectes*. (Journ. d. Zool., II, pp. 126-137.)
- POISSON, R., 1924, *Contribution à l'étude des Hémiptères aquatiques*. (Bull. Biol. Fr. et Belg., LVIII, 1, pp. 49-305.)
- 1946, *L'aptérisme chez les insectes*. (Rev. scient., LXXXIV, pp. 606-617.)
- POUJADE, G. A., 1873, *Note sur le vol de quelques Coléoptères*. (Ann. Soc. ent. Fr., V, 3, pp. 523-524.)
- 1884, *Note sur les attitudes des insectes pendant le vol*. (Ann. Soc. ent. Fr., VI, 4, pp. 197-200.)
- POWELL, P. B., 1904, 1905, *The development of wings of certain beetles and some studies of the origin of the wings of insects*. (Journ. N. Y. Ent. Soc., XII, pp. 237-243; XIII, pp. 5-22.)
- PROCHAZKA, R., 1936, *Étude sur l'importance morphomatique et systématique de la nervation des ailes des Malacodermata*. (Sborn. ent. odd. Nar. Mus. Praze, XIV, pp. 100-132.)
- RAKSHPAL, R., 1951, *Development of black markings on the elytra of the lady-bird beetle (Chilomenes sexmaculatus F.)*. (Indian Journ. Ent., XIII, pp. 99-100.)
- RAMMNER, W., 1932, *Der Farbwechsel des Schildkäfers Cassida murraea L.* (Zool. Anz., C, pp. 155-160.)
- REDTENBACHER, J., 1886, *Vergleichende Studien über das Flügelgeäder der Insekten*. (Ann. K. Nat. Hofmus. Wien, I, 3, pp. 153-231, 12 pl.)
- REUTER, E., 1937, *Elytren und Alae während der Puppen- und Käferstadien von Calandra granaria und Calandra oryzae*. (Zool. Jb. Jena Anat., LXII, pp. 449-502.)
- RIEGEL, G. T., 1948, *Sex and the altitude of flight in Cyclocephala (Col. Scarabaeidae)*. (Trans. Ill. Acad. Sc. Springfield, XLI, pp. 113-115.)
- RIKHTER, A. A., 1936, *On the elytral venation of Coleoptera* (en russe, résumé anglais). (Rev. Ent. U.R.S.S., Leningrad, XXVI, 1935, pp. 25-58.)
- ROEDER, K., 1951, *Movements of the thorax and potential changes in the thoracic muscles of insects during flight*. (Biol. Bull. U.S.A., C, 2, pp. 95-106.)
- ROGER, O., 1875, *Das Flügelgeäder der Käfer*. (Erlangen, 90 p.)
- ROHDE, E., 1875, *Hinterflügel der Coleopteren*. (Jahrb. Westp. Prov. Wiss. und Kunst., p. 52.)
- ROUBAUD, E., 1947, *Le vent et la dispersion anémotrope chez le Doryphore de la pomme de terre (L. decemlineata SAY)*. (C. R. Ac. Sc., CXXII, pp. 620-622.)

- RUSCHKAMP, F., 1922, *Zur Faunistik und Biologie unserer Käfer*. (Maandblad, XI, 1, pp. 1-2.)
 — 1927, *Der Flügapparat der Käfer*. (Zoologica, Stuttgart, XXVIII, 75, pp. 1-88.)
 — 1927-1928, *Der Flügapparat der Käfer und seine Rückbildung*. (Natur. u. Mus. Frankfort, LVII, pp. 568-573; LVIII, pp. 113-116, 205-212, 307-310, 414-417, 446-449.)
- SAALAS, U., 1936, *Ueber das Flügelgeäder und die phylogenetische Entwicklung der Cerambyciden*. (Ann. zool. Soc. zool. — bot. Vanamo, IV, 1, pp. 1-198.)
- SALLE, 1862, *Casside qui change de couleur*. (Bull. Soc. ent. Fr., p. 32.)
- SCHALLER, F., 1952, *Der Flug von Sisyphus schaefferi*. (Naturw. Dtsch., XXXIX, 19, p. 455.)
- SCHMIDT, W. J., 1942, *Über die metallfarben des Schildkäfers Aspidomorpha*. (Zeits. f. Morphol. u. Oekol. d. Tiere Berlin, XXXVIII, pp. 85-95.)
- SCHULZE, P., 1911, *Variabilität von Melasoma vigintipunctatum*. (Berl. Ent. Zeitschr., LVI, pp. 139-147.)
 — 1912, *Die Flügelrudimente der Gattung Carabus*. (Zool. Anz., XL, p. 193.)
 — 1913, *Chitin- und andere Cuticularstrukturen bei Insekten*. (Verh. Deutsch. Zool. Gesell., XXIII, pp. 165-195.)
 — 1915, *Die Flügeldeckenskulptur der Cicindela hybrida-Rassen*. (Dtsch. Ent. Zeitschr., III, pp. 247-255.)
- SCOTT, H., 1933, *General conclusions regarding the insect fauna of the Seychelles and adjacent islands*. (Trans. Linn. Soc. Lond., 2^e série, Zool., XIX, pp. 307-391.)
- SEGAL, B., 1933, *The hind wings of some Dryopidae in relation to habitat* (Coleop.). (Ent. News Philad., XLIV, pp. 85-88.)
- SELLIER, R., 1947, *Le polymorphisme alaire chez les Orthoptéroïdes*. (Bull. Soc. Sc. Bretagne, XXII, 1-2-3-4, pp. 96-112.)
- SHARP, D., 1896, *Sur les ailes du Dytiscus latissimus et du Cybister Roeseli*. (Proc. Ent. Soc. London, p. 8.)
- SHELFORD, V. E., 1913, *Noteworthy variations in the elytral tracheation of Cicindela* (Coleop.). (Ent. News, XXIV, pp. 124-125.)
 — 1915, *Elytral tracheation of the tiger-beetles* (Cicindelidae). (Trans. Amer. Micr. Soc., XXXIV pp. 241-252.)
- SHELFORD, V. S., 1917, *Colour and colour patterns mechanism of Tiger Beetles*. (Illinois Biol. Monogr., III, pp. 1-134.)
- SLATER, 1887, *On the presence of Tannin in certain Insects and its influence on their colours*. (Trans. Ent. London, pp. 32-34.)
- SMITH, S. G., 1950, *The Cyto-taxonomy of Coleoptera*. (Can. Ent., LXXXII, 3, pp. 58-68.)
 — 1953, *Chromosome Numbers of Coleoptera*. (Heredity, VII, I, pp. 31-48.)
- SNODGRASS, R. E., 1909, *The thorax of insects and the articulation of the wings*. (Proc. U.S. Nat. Mus., XXXVI, pp. 511-595.)
 — 1927, *Morphology and mechanism of the insect thorax*. (Smith Miscell. Coll., LXXX, pp. 1-108.)
 — 1930, *How insects fly*. (Smith. Report, 1929, pp. 383-421.)
 — 1935, *Principles of insect Morphology*. (McGraw Hill Book Co., 667 p., 319 fig.)
- SOKOLAR, FR., 1913, *Die Deckenskulptur des Carabus violaceus L.* (Wien Verh. Zool. Bot. Ges., LXIII, pp. 91-97.)
- SPRUNG, E., 1932, *Die Flügeldecken der Carabidae*. (Zeits. f. Morph. u. Oekol. d. Tiere Berlin, XXIV, pp. 436-490.)
- STEGEMANN, F., 1930, *Die Flügeldecken der Cicindelinae*. (Zeits. f. Morph. u. Oekol., XVIII, pp. 1-73.)
- STELLWAAG, F., 1914, *Die Alula der Käfer*. (Deutsche Ent. Z., 1914, pp. 419-434.)
 — 1914a, *Über der Flügapparat der Lamellicornier* (Vorl. Mitteilung). (Zool. Anz., XLIII, p. 558.)
 — 1914, *Die Flügapparat der Lamellicornier*. (Z. wiss. Zool., CVIII, pp. 359-429.)
- SVAIKOVSKI, I., 1937, *Aerodynamische Eigentümlichkeiten der Insekten*. (C. R. Acad. Sc. U.R.S.S., XVII, 1-2, pp. 77-80.)
- TAKAHASHI, R., 1922, *Some problems concerning the wings of insects*. (Jap. J. Zool. Tokyo, I, pp. 3-4.)
- TEODORO, G., 1924, *Sulla struttura delle elitre dei colcotteri*. (Atti Acc. ven.-trent. Padova, III, 14, pp. 24-26.)
- TÉTRY, A., 1948, *Les outils chez les Etres vivants*. (Paris, L'Avenir de la Science, XXVI, pp. 76-84.)
- THÉODORIDES, J., 1952, *Les Coléoptères fossiles*. (Ann. Soc. ent. Fr., CXXI, pp. 23-48.)
- TILLYARD, R. J., 1916, *Further researches upon the problems of the radial and Zygopterid sectors in the wings of Odonata, and upon the formation of bridges*. (Proc. Linn. Soc. N. S. W., XLI, 4, pp. 871-887.)
 — 1926, *Insects of Australia and New Zealand*. (Sydney. N. S. W., Angus & Robertson Ltd, pp. 1-560.)
 — 1932, *The evolution of the Class Insecta*. (Ann. Journ. Sci., XXIII, 138, pp. 529-539.)

- TIMOFEEFF-RESSOVSKY, H., 1935, *Divergens, eine Mutation von Epilachna chrysomelina F.* (Ztschr. f. Ind. Abstamm. u. Vererb., LXVIII, pp. 443-453.)
- TING, P. C., 1937, *A new species of Dyslobus with notes on vestigial hindwings and genitalia as characters in the Otiorhynchid weevils (Otiorrhynchinae Coleoptera).* (Bull. S. Calif. Acad. Sc. Los Angeles, XXXVI, pp. 79-82.)
- TOWER, W. L., 1903, *The origin and development of the wings of Coleoptera.* (Zool. Jahr. Abt. Anat., XVII, pp. 517-572.)
- 1903, *Colors and color patterns of Coleoptera.* (Decenn. Publ. Univ. Chicago, X, pp. 33-70.)
- 1906, *An investigation of evolution in Chrysomelid beetles of the genus Leptinotarsa.* (Washington, pp. 1-320.)
- 1918, *The mechanism of evolution in Leptinotarsa.* (Washington, pp. 1-384.)
- TURIAN, G., 1949, *Etude sur la pigmentation chez une Casside de l'Inula. I : Cassida murraea L. (Col. Chrys.).* (Mitt. Schweiz. Ent. Ges., XXII, 4, pp. 423-432.)
- 1952, *Etude sur la pigmentation chez une Casside de l'Inula. II : Cassida murraea L. (Col. Chrys.).* (Mitt. Schweiz. Ent. Ges., XXV, 1, pp. 47-48.)
- UHMANN, E., 1942, *Die Deckenskulptur von Acmenychus inermis ZOUBHOFF. Erste Studie zum Gesetz der Dornen bei der Gruppe der Hispini.* (Ent. Bl. Krefeld, pp. 211-214.)
- 1943, *Die Deckenelemente der Hispini.* (Folia zool. hydrobiol. Riga, XII, pp. 202-210.)
- 1943, *Die Decken-skulptur der Oncocephala-Arten.* (Zool. Anz. Leipzig, CXLI, pp. 241-255.)
- 1949, *Die Deckenelemente des Hispini.* (Ent. Bl. Krefeld, XLI-XLIV, pp. 177-189.)
- 1950, *Die Deckenskulptur von Octotoma SUFFR. und verwandten Gattungen.* (Rev. ent. Rio de Janeiro, XXI, pp. 259-274.)
- VENET, H., 1936, *De l'atrophie des élytres chez les Carabus.* (Livre jubil. de L. BOUVIER, pp. 357-360.)
- VEHROEFF, G., 1897, *Ueber die Flügeldecken von Cassida.* (Verhandl. Zool.-Bot. Ges. Wien, XLVII, pp. 410-414.)
- VIGNON, P., 1929, *Sur la morphologie et l'évolution de l'aile postérieure chez les Coléoptères.* (C. R. Acad. Sc. Fr., CLXXXIX, pp. 199-201.)
- 1929, *Introduction à de nouvelles recherches de Morphologie comparée sur l'aile des Insectes.* (Arch. du Mus. Paris, VI, 4, pp. 89-123.)
- 1932, *Sur l'aile postérieure des Coléoptères.* (C. R. Acad. Sc. Fr., CXCIV, pp. 563-565.)
- 1932, *Explication morphologique des ailes chez les Diptères et les Coléoptères.* (C. R. Acad. Sc. Fr., CXCIV, pp. 1517-1520.)
- 1933, *Sur la base de l'aile chez les insectes. Formations pseudocostales et transverses.* (C. R. Acad. Sc. Fr., CXCVI, pp. 2028-2030.)
- VINSON, J., 1951, *Le cas des Sisyphes mauriciens.* (Proc. r. Soc. Arts et Sc. Maur., I, 2, pp. 105-122.)
- VOSS, FR., 1913, *Vergleichende Untersuchungen über die Flugwerkzeuge der Insekten.* (Verh. dtsch. Zool. Ges., p. 118.)
- 1914, *Vergleichende Untersuchungen über die Flugwerkzeuge der Insekten.* (Verh. dtsch. Zool. Ges., p. 59.)
- WADDINGTON, C. H., 1942, *The development of rudimentary wings in Ptinus tectus BOIELD (Col. : Fam. Ptinidae).* (Proc. Zool. Soc. Lond., série A, CXII, pp. 13-20.)
- 1942, *The epigenotype.* (Endeavour, I, 1, pp. 18-20.)
- 1953, *Evolution des adaptations.* (Endeavour, XII, 47, pp. 134-139.)
- WAKELAND, C., 1934, *Flight studies of Bruchus pisorum L.* (J. econ. ent., XXVII, pp. 534-542.)
- WESTWOOD, J. O., 1857, *Notes on the wing veins of insects.* (Trans. Ent. Soc. Lond., série II, 4, pp. 60-64.)
- WHITING, P. W., 1926, *Two wing mutations in Habrobracon and their method of inheritance.* (Amer. Nat., LX, pp. 443-444.)
- WIGGLESWORTH, V. B., 1942, *The principles of insect physiology.* (London, pp. 1-434.)
- 1946, *Organs of Equilibrium in Flying Insects.* (Nature, CLVII, 3994, p. 655.)
- WILDE DE, J., 1950, *An experimental proof of the activity of the alary muscles insects.* (Stockholm, VIIIth, Int. Congr. Entom., pp. 1-7.)
- WILKINSON K., 1940, *Wing mechanism and folding in Coleoptera.* (Trans. Eastbourne Nat. Hist. Soc. XII, 3, pp. 9-13.)
- WILSON, J. W., 1930, *The genitalia and wing venation of the Cucujidae and related families.* (Ann. Ent. Soc. Amer. XXIII, pp. 305-358.)

- WILSON, S. J., 1934, *The anatomy of Chrysochus auratus FAB. (Col. Chrys.) with an extended discussion of the wing venation.* (J. New York Ent. Soc., XLII, pp. 65-84.)
- WOLLASTON, T. V., 1854, *Insecta Maderensis.* (London, 634, p., XIII pl.)
- WOODWORTH, C. W., 1889, *Venation of the wings of Coleoptera.* (Psyche, V, p. 282.)
- 1906, *The wing veins of Insects.* (Univ. Calif. Publ. Techn. Bull. Ent., I, 1, pp. 1-152.)
- ZACWILICHOWSKI, J., 1930, *Unerwienie skrzydeł owadów.* (Rozpr. Wydz. mata-przyr. Akad. Um. Krakow, LXX B, 2, pp. 1-155.)
- 1931-1932, *Ueber die Innervierung und die Sinnesorgane der Flügel von Insekten,* Teile II, III. (Bull. int. Acad. Cracovie, B II, pp. 391-422; B II, pp. 9-28.)
- 1932, *Unerwienie i narządy zmystowe pokątadka pilarza Allantus arcuatus FORST. Über die Innervierung und die Sinnesorgane des Legebohrers von Atlantus acuatus FORST.* (Bull. Acad. Pol. Sc. et Lett., B, pp. 170-185.)
- 1933, *O możliwości pokrewienstwa między dwoma rzedami owadów-chrzaszczami (Coleoptera) i sieciarkami (Neuroptera).* (Odb. Pam. XIV Zjaz. Lek. Przyr. Polsk., pp. 759-760.)
- 1934, *Über die Innervierung und die Sinnesorgane der Flügel von Schabe Phyllodromia germanica L.* (Bull. Acad. Pol. Sc. et Lett., B, 2, pp. 89-102.)
- 1934, *Über die Innervierung und die Sinnesorgane der Flügel der Feldheuschrecke Stauroderus biguttulus (L.).* (Bull. Acad. Pol. Sc. et Lett., B, 2, pp. 187-196.)
- ZALESSKY, Y. M., 1943, *Exposé sommaire des fondements du changement de la terminologie pour la nervation des ailes des insectes* (en russe, résumé français). (Zool. Zh. Moscou, XXII, pp. 154-169.)
- 1944, *A brief statement of reasons for some changes in the terminology of insect wing-venation.* (Proc. R. Ent. Soc. London, A, XIX, pp. 37-47.)
- ZEUNER, E., 1933, *Die Stallesgeschichte der Käfer.* (Paläont. Zeitschr., XV, pp. 280-311.)
- ZIKAN, J. F., 1947, *Sobre a conservação dos Cassidideos (Col.).* (Rodriguesia, VI, pp. 83-85.)
- ZULUETA, A. DE, 1925, *La Herencia ligada al sexo en el Coleóptero Phytodecta variabilis OL.* (Eos, I, pp. 203-231.)
- 1929, *La mutation « jaspeado » del Coleóptero Phytodecta variabilis (su aparición y herencia).* (Mem. Real. Soc. Esp. Hist. Nat., XV, pp. 819-824.)
-

INDEX ALPHABÉTIQUE

DES GENRES ET DES ESPÈCES CITÉS

	Pages.		Pages.
<i>abbreviata</i> JOANNIS (<i>Galeruca</i>)	II, 15	<i>aeruginosa</i> LEFÈVRE (<i>Sphaeropsis</i>)	I, 127
<i>abdominale</i> LEFÈVRE (<i>Promecosoma</i>)	I, 111	<i>Aesernia</i>	I, 162
<i>abdominalis</i> BALY (<i>Leptarthra</i>)	II, 25	<i>Aethoedactyla</i>	I, 83
<i>abdominalis</i> CHAPUIS (<i>Gastrida</i>)	II, 42	<i>Aeltheomorpha</i>	I, 80
<i>abdominalis</i> JACOBY (<i>Cynorta</i>)	II, 33	<i>aethiopica</i> WEISE (<i>Decaria</i>)	II, 45
<i>abdominalis</i> JACOBY (<i>Dercetis</i>)	II, 30	<i>Aethiopocassis</i>	II, 90
<i>abdominalis</i> JACOBY (<i>Phyllocharoides</i>)	I, 176	<i>affinis</i> FABRICIUS (<i>Chrysolina</i>)	I, 156
<i>abdominalis</i> KLUG (<i>Mastostethus</i>)	I, 70	<i>affinis</i> GRONDAL (<i>Podontia</i>)	II, 56
<i>Abirus</i>	I, 130	<i>afra</i> KLUG (<i>Sphondylia</i>)	I, 72
<i>absinthii</i> PALLAS (<i>Pallasiola</i>)	II, 41	<i>africana</i> DUVIVIER (<i>Duvivieria</i>)	II, 35
<i>abyssinica</i> BOHEMAN (<i>Orphnodella</i>)	II, 87	<i>africana</i> JACOBY (<i>Kuilia</i>)	I, 73
<i>Acanthodes</i>	II, 69	<i>africana</i> JACOBY (<i>Morphosphaerooides</i>)	II, 20
<i>Acanthonycha</i>	II, 48	<i>africana</i> LABOISSIÈRE (<i>Oidomorpha</i>)	II, 4
<i>Acentropiera</i>	II, 67	<i>africana</i> LABOISSIÈRE (<i>Manobia</i>)	II, 51
<i>Achaenops</i>	I, 91	<i>africanus viridipennis</i> LABOISSIÈRE (<i>Hallirhotius</i>)	II, 7
<i>aciculata</i> BOHEMAN (<i>Euctenochira</i>)	II, 96	<i>Agasta</i>	I, 167
<i>Acmenychus</i>	II, 75	<i>Agathomerus</i>	I, 71
<i>Acolastus</i>	I, 90	<i>Agbalus</i>	I, 108
<i>Acrocassis</i>	II, 88	<i>Agelasa</i>	II, 29
<i>Acrocrypta</i>	II, 61	<i>Agelastica</i>	II, 26
<i>acroleuca</i> WIEDEMANN (<i>Sphaerometopa</i>)	II, 58	<i>Ageniosa</i>	I, 168
<i>Acromis</i>	II, 84	<i>Agenysa</i>	II, 82
<i>Acrothinium</i>	I, 131	<i>Agetinus</i>	I, 113
<i>Acrozena</i>	II, 35	<i>Agetocera</i>	II, 5
<i>aculeata</i> KLUG (<i>Dactylispa</i>)	II, 75	<i>aggregata</i> BECHYNÉ (<i>Isoleprona</i>)	I, 142
<i>acutangula</i> CHEVROLAT (<i>Oxygona</i>)	II, 47	<i>Agonia</i>	II, 74
<i>acuticornis</i> CHAPUIS (<i>Chalepus</i>)	II, 68	<i>Agoniella</i>	II, 74
<i>acuticosta</i> LEFÈVRE (<i>Pagellia</i>)	I, 120	<i>Agrianes</i>	I, 107
<i>acutipennis</i> LABOISSIÈRE (<i>Dilinoea</i>)	II, 8	<i>Agroiconota</i>	II, 91
<i>adamantina</i> GERMAR (<i>Coptocycla</i>)	II, 92	<i>Agrosterna</i>	I, 115
<i>adamsi</i> BALY (<i>Syneta</i>)	I, 53	<i>Aidoia</i>	II, 92
<i>Adialyta</i>	II, 40	<i>Alafia</i>	II, 10
<i>Adorea</i>	I, 112	<i>albicans</i> CHAPUIS (<i>Damasus</i>)	I, 132
<i>adusta</i> HAROLD (<i>Bonesia</i>)	II, 20	<i>albicans</i> CHAPUIS (<i>Macetes</i>)	I, 128
<i>adusta</i> HAROLD (<i>Heikertingerella</i>)	II, 54	<i>albicollis</i> FABRICIUS (<i>Licyllus</i>)	II, 44
<i>aenea</i> GERMAR (<i>Dolichotoma</i>)	II, 79	<i>albidipennis</i> WEISE (<i>Hapsidolema</i>)	I, 66
<i>aenea</i> LINNÉ (<i>Linaeidea</i>)	I, 166	<i>albipes</i> SUFFRIAN (<i>Metallactus</i>)	I, 90
<i>aeneicollis</i> LACORDAIRE (<i>Lophobasis</i>)	I, 76	<i>albofasciata</i> JACOBY (<i>Homophoeta</i>)	II, 57
<i>aeneicollis</i> LEFÈVRE (<i>Pagria</i>)	I, 118	<i>albohirsutus</i> BRYANT (<i>Acolastus</i>)	I, 90
<i>aeneipennis</i> BALY (<i>Emathea</i>)	II, 31	<i>albomarginata</i> LATREILLE (<i>Aspicela</i>)	II, 57
<i>aeneipennis</i> CHAPUIS (<i>Philhydroneopa</i>)	I, 171	<i>albopilosa</i> JACOBY (<i>Alafia</i>)	II, 10
<i>aeneipennis</i> LABOISSIÈRE (<i>Goudotina</i>)	II, 19	<i>alboscutellatus</i> SUFFRIAN (<i>Cryptocephalus</i>)	I, 94
<i>aeneipennis</i> LABOISSIÈRE (<i>Kanahisphaga</i>)	II, 36	<i>albovittata</i> LEFÈVRE (<i>Fidia</i>)	I, 122
<i>aeneipennis</i> WEISE (<i>Liroetis</i>)	II, 25	<i>Alema</i>	II, 53
<i>aeneoguttata</i> FAIRMAIRE (<i>Hyperacantha</i>)	II, 18	<i>Alethaxius</i>	I, 113
<i>aenescens</i> FAIRMAIRE (<i>Galerucella</i>)	II, 9	<i>Algoala</i>	I, 177
<i>aequatorialis</i> ALLARD (<i>Strobiderus</i>)	II, 34	<i>Alitus</i>	I, 109
<i>aerata</i> BOHEMAN (<i>Psalidonota</i>)	II, 92	<i>Alledoya</i>	II, 89

	Pages.		Pages.
<i>Allocolaspis</i> ...	I, 141	<i>Anitianaka</i> ...	II, 18
<i>alni LINNÉ (<i>Agelastica</i>)</i> ...	II, 26	<i>Aoria</i> ...	I, 120
<i>Alopena</i> ...	II, 28	<i>Aparocera</i> ...	I, 96
<i>Alphidia</i> ...	II, 19	<i>appendiculata PANZER (<i>Haemonia</i>)</i> ...	I, 46
<i>altaicus MANNERHEIM (<i>Luperus</i>)</i> ...	II, 23	<i>Aphilenia</i> ...	I, 119
<i>alterna ALLARD (<i>Nancita</i>)</i> ...	II, 33	<i>Aphthona</i> ...	II, 45
<i>alternata WEISE (<i>Dorcathispa</i>)</i> ...	II, 75	<i>Aphthonomorpha</i> ...	II, 47
<i>Alurnus</i> ...	II, 66	<i>apicalis BALY (<i>Agoniella</i>)</i> ...	II, 74
<i>alutacea BOHEMAN (<i>Physonota</i>)</i> ...	II, 85	<i>apicalis BALY (<i>Gonophora</i>)</i> ...	II, 74
<i>amabilis CLARK (<i>Hypantherus</i>)</i> ...	II, 59	<i>apicalis GEBLER (<i>Macromonycha</i>)</i> ...	II, 87
<i>ambigena BOHEMAN (<i>Parametria</i>)</i> ...	II, 93	<i>apicalis JACOBY (<i>Metrioidea</i>)</i> ...	II, 34
<i>Amblispa</i> ...	II, 71	<i>apicalis SAUNDERS (<i>Aporocera</i>)</i> ...	I, 96
<i>Amblynetes</i> ...	I, 135	<i>apicornis THOMSON (<i>Monolepta</i>)</i> ...	II, 39
<i>Ambrostoma</i> ...	I, 150	<i>Apolepis</i> ...	I, 133
<i>Ambrotodes</i> ...	I, 91	<i>Apophylia</i> ...	II, 42
<i>americanus LINNÉ (<i>Chrysolina</i>)</i> ...	I, 151	<i>Aporocassida</i> ...	II, 91
<i>Ametalla</i> ...	I, 37	<i>Aporocera</i> ...	I, 96
<i>Ametalloides</i> ...	I, 36	<i>approximata DUVIVIER (<i>Paridea</i>)</i> ...	II, 25
<i>amoena BOHEMAN (<i>Xenocassis</i>)</i> ...	II, 93	<i>Aproida</i> ...	II, 71
<i>Amphimela</i> ...	II, 61	<i>Apteropeda</i> ...	II, 62
<i>Amplipalpa</i> ...	II, 64	<i>Aracyntha</i> ...	I, 111
<i>Amyltha</i> ...	II, 83	<i>arakii CHŪJŌ (<i>Orsodacne</i>)</i> ...	I, 51
<i>Anacassis</i> ...	II, 82	<i>Areata</i> ...	I, 87
<i>analis CHAPUIS (<i>Diandichus</i>)</i> ...	I, 90	<i>Arcastes</i> ...	II, 28
<i>analis FOERBERG (<i>Heterostomis</i>)</i> ...	I, 84	<i>arcuata SWEDERUS (<i>Podostraba</i>)</i> ...	II, 92
<i>analis LINNÉ (<i>Hydrothassa</i>)</i> ...	I, 165	<i>areata FABRICIUS (<i>Phaedonia</i>)</i> ...	I, 167
<i>analis OLIVIER (<i>Cryptocephalus</i>)</i> ...	I, 94	<i>Arescus</i> ...	II, 65
<i>analis REITTER (<i>Exiguipenna</i>)</i> ...	I, 164	<i>argillacea WEISE (<i>Aspidomorpha</i>)</i> ...	II, 86
<i>anchoralis BOHEMAN (<i>Platytauroma</i>)</i> ...	II, 79	<i>Argoaa</i> ...	I, 130
<i>andreae BOHEMAN (<i>Syngambria</i>)</i> ...	II, 93	<i>Argopistes</i> ...	II, 63
<i>Androya</i> ...	II, 77	<i>Argopus</i> ...	II, 62
<i>Anepsiomorpha</i> ...	II, 83	<i>Arimetus</i> ...	II, 10
<i>angularis CHAPUIS (<i>Wallacea</i>)</i> ...	II, 74	<i>armata BALY (<i>Macrima</i>)</i> ...	II, 34
<i>angularis LACORDAIRE (<i>Stereoma</i>)</i> ...	I, 87	<i>armata BALY (<i>Fleutiauxia</i>)</i> ...	II, 35
<i>angulata FABRICIUS (<i>Uroplata</i>)</i> ...	II, 69	<i>armatus LACORDAIRE (<i>Megalopus</i>)</i> ...	I, 71
<i>angulata GERMAR (<i>Botanochara</i>)</i> ...	II, 82	<i>armoraciae LINNÉ (<i>Phaedon</i>)</i> ...	I, 166
<i>angulicollis CLARK (<i>Chabria</i>)</i> ...	II, 62	<i>Arnous</i> ...	I, 89
<i>angulicollis MOTSCHULSKY (<i>Paraulaca</i>)</i> ...	II, 26	<i>Arrhenocoela</i> ...	II, 51
<i>anguistata ERICHSON (<i>Pedopelta</i>)</i> ...	I, 79	<i>Arsipoda</i> ...	II, 51
<i>angustata JACOBY (<i>Syphraea</i>)</i> ...	II, 49	<i>Arsoa</i> ...	I, 130
<i>angustata WEISE (<i>Monolepta</i>)</i> ...	II, 39	<i>Arthrotus</i> ...	II, 30
<i>angusticollis MOTSCHULSKY (<i>Chrysolina</i>)</i> ...	I, 160	<i>Asbecesta</i> ...	II, 37
<i>Anidania</i> ...	I, 129	<i>asclepiadeus PALLAS (<i>Chrysochus</i>)</i> ...	I, 138
<i>Anisodera</i> ...	II, 70	<i>asiaticus PALLAS (<i>Chrysochares</i>)</i> ...	I, 137
<i>Anisognatha</i> ...	I, 83	<i>asparagi LINNÉ (<i>Crioceris</i>)</i> ...	I, 62
<i>Anisostena</i> ...	II, 68	<i>aspera BALLY (<i>Apolepis</i>)</i> ...	I, 133
<i>annulata BAILY (<i>Pedrillia</i>)</i> ...	I, 52	<i>aspera CHAPUIS (<i>Paropsis</i>)</i> ...	I, 170
<i>annulicornis LABOISSIÈRE (<i>Stictocema</i>)</i> ...	II, 11	<i>Asphaera</i> ...	II, 57
<i>annulipes PIC (<i>Brachyactyla</i>)</i> ...	I, 61	<i>Aspicela</i> ...	II, 57
<i>annulus FABRICIUS (<i>Ischnocodia</i>)</i> ...	II, 92	<i>Aspidolopha</i> ...	I, 80
<i>Anoides</i> ...	II, 4	<i>Aspidomorpha</i> ...	II, 85
<i>anomala CBOTCH (<i>Thricolema</i>)</i> ...	I, 55	<i>Asteriza</i> ...	II, 85
<i>Anomoea</i> ...	I, 78	<i>Atacolema</i> ...	I, 66
<i>Anoplitis</i> ...	II, 68	<i>Atalasis</i> ...	I, 37
<i>antennalis BECHYNÉ (<i>Hemydacne</i>)</i> ...	I, 60	<i>Atelechira</i> ...	I, 76
<i>antennalis LABOISSIÈRE (<i>Mindorina</i>)</i> ...	II, 33	<i>Ateledera</i> ...	I, 69
<i>antennata BAILY (<i>Ceratia</i>)</i> ...	II, 5	<i>ater MOTSCHULSKY (<i>Lypesthes</i>)</i> ...	I, 122
<i>antennata CHEN (<i>Manobidia</i>)</i> ...	II, 47	<i>aterrima GUÉRIN (<i>Euprionota</i>)</i> ...	II, 70
<i>antennata DUVIVIER (<i>Sikkimia</i>)</i> ...	II, 27	<i>atra AHRENS (<i>Orsodacne</i>)</i> ...	I, 57
<i>Anteriscus</i> ...	I, 96	<i>atra LINNÉ (<i>Hispella</i>)</i> ...	II, 75
<i>Antipa</i> ...	I, 78	<i>atricornis CLARK (<i>Monocesta</i>)</i> ...	II, 9
<i>antiqua KLUG (<i>Nebroma</i>)</i> ...	II, 79	<i>atripes LACORDAIRE (<i>Poecilomorpha</i>)</i> ...	I, 73
<i>antiqua SAHLBERG (<i>Stolas</i>)</i> ...	II, 82	<i>atrocyanea MOTSCHULSKY (<i>Gastrophysa</i>)</i> ...	I, 164
<i>Antitypona</i> ...	I, 106	<i>atrosuturalis PIC (<i>Pedrilliomorpha</i>)</i> ...	I, 52
<i>Antonaria</i> ...	I, 72	<i>atrum OLIVIER (<i>Colaspidema</i>)</i> ...	I, 163
<i>Antisanacida</i> ...	II, 19	<i>Atypus</i> ...	II, 60

	Pages.		Pages.
<i>Atysa</i>	II, 14	<i>Bechyneya</i>	I, 26
<i>Augomela</i>	I, 174	<i>Becquaertinia</i>	II, 42
<i>Aulacia</i>	I, 140	<i>Belarima</i>	II, 41
<i>Aulacolepis</i>	I, 134	<i>Belona</i>	II, 6
<i>Aulacoscelis</i>	I, 40	<i>bengalensis</i> LABOISSIÈRE (<i>Sphenoraia</i>) ...	II, 29
<i>Aulamorphus</i>	II, 37	<i>beniensis</i> WEISE (<i>Anteriscus</i>) ...	I, 95
<i>aulei</i> BOHEMAN (<i>Chiridopsis</i>) ...	II, 90	<i>bennigseni</i> WEISE (<i>Erythrobamia</i>) ...	II, 6
<i>Aulexis</i>	I, 121	<i>bicolor</i> GRAY (<i>Chelobasis</i>) ...	II, 65
<i>aulica</i> FABRICIUS (<i>Atelchira</i>) ...	I, 76	<i>bicolor</i> OLIVIER (<i>Ischiopachys</i>) ...	I, 88
<i>aulica</i> LEFÈVRE (<i>Nycterodina</i>) ...	I, 143	<i>bicolor</i> WEBER (<i>Ceratia</i>) ...	II, 4
<i>aulica</i> OLIVIER (<i>Diphauaca</i>) ...	II, 54	<i>bicolor</i> ZSCHACH (<i>Donacia</i>) ...	I, 48
<i>Auranius</i>	I, 131	<i>bicornis</i> LINNÉ (<i>Omocerus</i>) ...	II, 79
<i>aurantiaca</i> FORMAIRE (<i>Adialytia</i>) ...	II, 40	<i>bifasciata</i> JACOBY (<i>Diabrotica</i>) ...	II, 8
<i>auratus</i> FABRICIUS (<i>Chrysosochus</i>) ...	I, 138	<i>bifurcata</i> LABOISSIÈRE (<i>Hyperacantha</i>) ...	II, 18
<i>aurea</i> GOUFFROY (<i>Chalcoides</i>) ...	II, 52	<i>bigatus</i> GERMAR (<i>Endocephalus</i>) ...	I, 139
<i>aureoviridis</i> CLARK (<i>Edusella</i>) ...	I, 129	<i>bilineolatus</i> SUFFRIAN (<i>Griburius</i>) ...	I, 90
<i>aureus</i> BLANCHARD (<i>Plastonothus</i>) ...	I, 104	<i>Biorus</i>	I, 139
<i>auricapilla</i> GERMAR (<i>Themesia</i>) ...	I, 85	<i>biplagiata</i> BALY (<i>Arcastes</i>) ...	II, 28
<i>aurichalcea</i> THOMPSON (<i>Pseudocolaspis</i>) ...	I, 129	<i>biplagiata</i> JACOBY (<i>Neolepta</i>) ...	II, 32
<i>aurichalcea</i> MANNERHEIM (<i>Chrysolina</i>) ...	I, 154	<i>biplagiatus ab suturalis</i> MOTSCHULSKY (<i>Argopistes</i>) ...	II, 63
<i>auriculata</i> LABOISSIÈRE (<i>Spitiella</i>) ...	II, 32	<i>bipunctatus</i> BALY (<i>Gyllenhaleus</i>) ...	II, 72
<i>auriquadrum</i> JACOBY (<i>Nestinus</i>) ...	II, 9	<i>bipustulata</i> BALY (<i>Sutrea</i>) ...	II, 58
<i>australia</i> MOTSCHULSKY (<i>Phidodonta</i>) ...	II, 75	<i>biramosa</i> BOHEMAN (<i>Thlaspida</i>) ...	II, 90
<i>australis</i> BOISDUVAL (<i>Cadmus</i>) ...	I, 96	<i>bisbicarinata</i> UHMANN (<i>Clinocarispa</i>) ...	II, 68
<i>australis</i> BOHEMAN (<i>Poneridia</i>) ...	II, 14	<i>bistrilineata</i> BOHEMANN (<i>Saulaspis</i>) ...	II, 91
<i>australis</i> JACOBY (<i>Leasia</i>) ...	I, 84	<i>bistripunctata</i> DUVIVIER (<i>Plagiotaera</i>) ...	I, 166
<i>axillaris</i> GUÉRIN (<i>Schematiza</i>) ...	II, 22	<i>Blepharida</i>	II, 56
<i>axillaris</i> SAHLBERG (<i>Paraselenis</i>) ...	II, 83	<i>bodjoensis</i> DUVIVIER (<i>Theopella</i>) ...	II, 33
<i>Axiotheata</i>	II, 48	<i>boisduvali</i> CLARK (<i>Orthoxia</i>) ...	II, 13
<i>azurea</i> LABOISSIÈRE (<i>Paraenidea</i>) ...	II, 36	<i>Bonesia</i>	II, 20
 <i>Babia</i>	I, 87	<i>Bonesioides</i>	II, 20
<i>bacca</i> KIRBY (<i>Fulcidax</i>) ...	I, 100	<i>bonvouloiri</i> BALY (<i>Stethispa</i>) ...	II, 67
<i>badia</i> GERMAR (<i>Trochalonota</i>) ...	I, 175	<i>borrei</i> ALLARD (<i>Palaeophylia</i>) ...	II, 42
<i>bahiana</i> BOHEMAN (<i>Eremionycha</i>) ...	II, 81	<i>borrei</i> CHAPUIS (<i>Synodita</i>) ...	II, 26
<i>Baliosus</i>	II, 68	<i>Botanoctona</i>	II, 4
<i>Balya</i>	I, 107	<i>Botryonopa</i>	II, 70
<i>Balyana</i>	II, 73	<i>bottegoi</i> JACOBY (<i>Amblynetes</i>) ...	I, 135
<i>balyi</i> BOHEMAN (<i>Thlaspidomorpha</i>) ...	II, 90	<i>braccata</i> KLUG (<i>Lachnabothra</i>) ...	I, 97
<i>balyi</i> CHAPUIS (<i>Heterotrichus</i>) ...	I, 131	<i>braccata</i> SCOPOLI (<i>Plateumaris</i>) ...	I, 49
<i>balyi</i> CLARK (<i>Mecynodera</i>) ...	I, 36	<i>Brachycaulus</i>	I, 97
<i>balyi</i> DUVIVIER (<i>Stethidea</i>) ...	II, 30	<i>Brachycoryna</i>	II, 69
<i>balyi</i> HAROLD (<i>Iphitrea</i>) ...	II, 53	<i>Brachydactyla</i>	I, 61
<i>balyi</i> JACOBY (<i>Xanthophorus</i>) ...	I, 121	<i>Brachyphora</i>	II, 36
<i>balyi</i> PASCOE (<i>Apruida</i>) ...	II, 71	<i>Bradylema</i>	I, 62
<i>bang-hausi</i> SPAETH (<i>Cyrtonta</i>) ...	II, 82	<i>Bradylemoides</i>	I, 62
<i>banksi</i> FABRICIUS (<i>Chrysolina</i>) ...	I, 154	<i>bransvicensis</i> GRAVENHORST (<i>Chrysolina</i>) ...	I, 153
<i>bankiae</i> BOISDUVAL (<i>Carpophagus</i>) ...	I, 35	<i>brauni</i> JACOBY (<i>Timarchella</i>) ...	I, 177
<i>banoni</i> DRAPIEZ (<i>Octogonotes</i>) ...	II, 60	<i>brettinghami</i> BALY (<i>Callispa</i>) ...	II, 71
<i>Baranosa</i>	II, 81	<i>breviceps</i> WEISE (<i>Cryptonychellus</i>) ...	II, 72
<i>Barombiella</i>	II, 31	<i>Brevicolaspis</i>	I, 122
<i>Barybaena</i>	I, 75	<i>brevicornis</i> BOHEMAN (<i>Calyptocephala</i>) ...	II, 78
<i>Barymela</i>	I, 146	<i>brevicornis</i> JACOBY (<i>Lema</i>) ...	I, 64
<i>basalis</i> HAROLD (<i>Candeeza</i>) ...	II, 39	<i>brevicornis</i> JACOBY (<i>Mimolema</i>) ...	I, 67
<i>basalis</i> JACOBY (<i>Pseudocrania</i>) ...	II, 38	<i>Bromius</i>	I, 129
<i>basalis</i> JACOBY (<i>Xenoda</i>) ...	II, 27	<i>Bronthispa</i>	II, 72
<i>basalis</i> LACORDAIRE (<i>Proctophana</i>) ...	I, 85	<i>brouni</i> SHARP (<i>Arnomus</i>) ...	I, 89
<i>Basiprionota</i>	II, 77	<i>Bruchomina</i>	I, 53
<i>Basipta</i>	II, 87	<i>Bruchus</i>	I, 32
<i>Bassareus</i>	I, 95	<i>brunnea</i> JACOBY (<i>Mashonania</i>) ...	I, 109
<i>Botanochara</i> ...	II, 82	<i>Bucharis</i>	I, 93
<i>batesi</i> BALY (<i>Lepronida</i>) ...	I, 114	<i>Buphonella</i>	II, 17
<i>batesi</i> JACOBY (<i>Ceratia</i>) ...	II, 5	<i>Buphonida</i>	II, 16
<i>batesi</i> JACOBY (<i>Dircemella</i>) ...	II, 10	<i>buqueti</i> LESSON (<i>Sagra</i>) ...	I, 39
<i>Bathseba</i>	I, 140	<i>Byblitea</i>	II, 8
<i>Batophila</i>	II, 47	<i>cacaliae</i> SCHRANK (<i>Chrysochloa</i>) ...	I, 161

	Pages.		Pages.
<i>Cacoscelis</i>	II, 48	<i>cerasi</i> LINNÉ (<i>Orsodacne</i>)	I, 51
<i>Cadmus</i>	I, 96	<i>cerasina</i> PERTY (<i>Clisithera</i>)	I, 106
<i>caedemadens</i> LICHTENSTEIN (<i>Agenysa</i>) ...	II, 82	<i>Ceratia</i>	II, 4
<i>Caeporis</i>	II, 50	<i>Ceratobasis</i>	I, 83
<i>calcarata</i> BOHEMAN (<i>Physonaspis</i>) ...	II, 85	<i>Cercyonia</i>	II, 62
<i>calcarata</i> CHAPUIS (<i>Hylax</i>) ...	I, 107	<i>cerealis</i> LINNÉ (<i>Chrysolina</i>) ...	I, 152
<i>californica</i> CROTCH (<i>Metachroma</i>) ...	I, 125	<i>Cericrestes</i> ...	II, 60
<i>Calliaspis</i>	II, 78	<i>cerina</i> LE CONTE J. (<i>Glyptina</i>) ...	II, 47
<i>callicanthus</i> BATES (<i>Monochirus</i>) ...	II, 74	<i>Cerochroa</i> ...	II, 12
<i>Callidemum</i> ...	I, 117	<i>Cerophysa</i> ...	II, 27
<i>Callima</i> ...	I, 179	<i>Cerophysella</i> ...	II, 27
<i>Callisina</i> ...	I, 118	<i>Cerotoma</i> ...	II, 28
<i>Callispe</i> ...	II, 71	<i>ceylonensis</i> JACOBY (<i>Hoplasoma</i>) ...	II, 5
<i>Calomela</i> ...	I, 174	<i>Chabria</i> ...	II, 62
<i>Calyptocephala</i> ...	II, 78	<i>Chaerocassis</i> ...	II, 93
<i>Calyptorrhina</i> ...	I, 82	<i>Chaetocnema</i> ...	II, 56
<i>Camerounia</i> ...	I, 177	<i>chalcites</i> GERMAR (<i>Chrysolina</i>) ...	I, 153
<i>Camptolenes</i> ...	I, 77	<i>Chalcoïdes</i> ...	II, 52
<i>Campylochira</i> ...	I, 113	<i>Chalcolampra</i> ...	I, 175
<i>canadensis</i> KIRBY (<i>Trirhabda</i>) ...	II, 16	<i>Chalcomela</i> ...	I, 169
<i>canaliculata</i> LARCHANTING (<i>Lordiconia</i>) ...	II, 89	<i>Chalcophana</i> ...	I, 115
<i>cancellata</i> BOHEMAN (<i>Orphnoda</i>) ...	II, 87	<i>Chalcophryma</i> ...	I, 106
<i>Candeeza</i> ...	II, 39	<i>Chalcoplacis</i> ...	I, 105
<i>candezei</i> CHAPUIS (<i>Callima</i>) ...	I, 179	<i>Chalepotatus</i> ...	II, 68
<i>Candezoïdes</i> ...	II, 40	<i>Chalepus</i> ...	II, 68
<i>candidulus</i> FOUDRAS (<i>Longitarsus</i>) ...	II, 46	<i>Chaloenosoma</i> ...	II, 44
<i>canellinus</i> FAIRMAIRE (<i>Menippus</i>) ...	II, 17	<i>Chaloenus</i> ...	II, 44
<i>Canistra</i> ...	II, 80	<i>chapuisi</i> JACOBY (<i>Mecistes</i>) ...	I, 132
<i>Capelocassis</i> ...	II, 88	<i>chapuisi</i> JACOBY (<i>Ergana</i>) ...	II, 38
<i>capense</i> HERBST (<i>Imatidium</i>) ...	II, 78	<i>chapuisi</i> LEFÈVRE (<i>Hemiplatys</i>) ...	I, 123
<i>capensis</i> ALLARD (<i>Asbecesta</i>) ...	II, 37	<i>Chapuisia</i> ...	II, 38
<i>capensis</i> JACOBY (<i>Gyrioderia</i>) ...	I, 79	<i>Chariderma</i> ...	I, 96
<i>capensis</i> LABOISSIÈRE (<i>Microexosoma</i>) ...	II, 38	<i>Charidotella</i> ...	II, 93
<i>capreae</i> LINNÉ (<i>Lochmaea</i>) ...	II, 16	<i>Charidotis</i> ...	II, 95
<i>Capula</i> ...	II, 25	<i>Charistena</i> ...	II, 67
<i>carbonaria</i> KLUG (<i>Smodingonota</i>) ...	II, 80	<i>Chelobasis</i> ...	II, 65
<i>Carcinobaena</i> ...	I, 99	<i>Chelymorpha</i> ...	II, 84
<i>carinata</i> WEISE (<i>Haploites</i>) ...	II, 35	<i>Chelysida</i> ...	II, 88
<i>cariosa</i> OLIVIER (<i>Otilea</i>) ...	I, 115	<i>Chersinellina</i> ...	II, 91
<i>Caritheca</i> ...	II, 32	<i>chevrolati</i> GUÉRIN (<i>Laciacantha</i>) ...	II, 6
<i>Carlobruchia</i> ...	II, 80	<i>chilensis</i> BLANCHARD (<i>Ambrotodes</i>) ...	I, 91
<i>carnifex</i> FABRICIUS (<i>Chrysolina</i>) ...	I, 156	<i>Chilocoristes</i> ...	II, 63
<i>carniolicus</i> GERMAR (<i>Sclerophaedon</i>) ...	I, 165	<i>Chilotoma</i> ...	II, 82
<i>carpenteri</i> BRYANT (<i>Lefevreya</i>) ...	I, 109	<i>Chilozena</i> ...	I, 126
<i>Carpophagus</i> ...	I, 35	<i>Chimporia</i> ...	II, 40
<i>Carystea</i> ...	I, 169	<i>chinensis</i> BALY (<i>Chrysochus</i>) ...	I, 138
<i>Casmena</i> ...	I, 124	<i>chinensis</i> HOPE (<i>Estigmena</i>) ...	II, 70
<i>Casmenella</i> ...	I, 124	<i>Chiridisia</i> ...	I, 124
<i>Cassena</i> ...	II, 55	<i>Chiridopsis</i> ...	II, 90
<i>Cassida</i> ...	II, 88	<i>Chiridula</i> ...	II, 87
<i>cassidea</i> FABRICIUS (<i>Chelymorpha</i>) ...	II, 84	<i>Chlamisus</i> ...	I, 99
<i>Cassidinoma</i> ...	II, 80	<i>Chlamophora</i> ...	II, 50
<i>Cassidispa</i> ...	II, 76	<i>chlamydiformis</i> GERMAR (<i>Cyphodera</i>) ...	I, 97
<i>Cassidulella</i> ...	II, 89	<i>Chlamydocassis</i> ...	II, 80
<i>cavifrons</i> DUVIVIER (<i>Diaphaenidea</i>) ...	II, 36	<i>Chlooocassis</i> ...	II, 90
<i>cayennensis</i> FABRICIUS (<i>Coelomera</i>) ...	II, 9	<i>chloris</i> LACORDAIRE (<i>Calyptorrhina</i>) ...	I, 82
<i>cayennensis</i> BOHEMAN (<i>Nuzonia</i>) ...	II, 93	<i>chloropelta</i> ACHARD (<i>Bruchomina</i>) ...	I, 53
<i>celebensis</i> JACOBY (<i>Iphimoides</i>) ...	I, 109	<i>Chloropliasma</i> ...	I, 96
<i>centriobscura</i> LABOISSIÈRE (<i>Hermaeophaga</i>) ...	II, 50	<i>Chloropterus</i> ...	I, 136
<i>Centroscelis</i> ...	I, 172	<i>chlorotica</i> OLIVIER (<i>Megaspidomorpha</i>) ...	II, 86
<i>Cephalaletes</i> ...	I, 143	<i>Choeridiona</i> ...	II, 73
<i>Cephalodonta</i> ...	II, 66	<i>Chogania</i> ...	II, 27
<i>Cephalolia</i> ...	II, 65	<i>Chorina</i> ...	II, 40
<i>Ceralces</i> ...	I, 163	<i>Choris</i> ...	I, 107
<i>ceramboïdes</i> GUÉRIN (<i>Loxoprosopus</i>) ...	II, 60	<i>chrysis</i> OLIVIER (<i>Arripoda</i>) ...	II, 51
<i>ceramensis</i> WEISE (<i>Raphidopalpa</i>) ...	II, 4	<i>Chrysipa</i> ...	II, 76

	Pages.		Pages.
<i>chrysocephala</i> LINNÉ (<i>Peylliodes</i>)	II, 63	<i>coerulea</i> BRYANT (<i>Paradibolia</i>)	II, 61
<i>Chrysochares</i>	I, 137	<i>coerulea</i> CHEN (<i>Neorthaea</i>)	II, 56
<i>Chrysochloa</i>	I, 161	<i>coerulea</i> JACOBY (<i>Ensiforma</i>)	II, 8
<i>Chrysochus</i>	I, 138	<i>coerulea</i> OLIVIER (<i>Chrysolina</i>)	I, 159
<i>Chrysodina</i>	I, 105	<i>coeruleipennis</i> DUVIVIER (<i>Pseudaphosonyx</i>)	II, 31
<i>Chrysogramma</i>	II, 47	<i>cognatus</i> SAUNDEES (<i>Prionopleura</i>)	I, 97
<i>Chrysolampra</i>	I, 106	<i>Colaphellus</i>	I, 163
<i>Chrysolina</i>	I, 150	<i>colasi</i> COBOS (<i>Chrysochloa</i>)	I, 161
<i>Chrysolinoides</i>	I, 150	<i>Colaepidea</i>	I, 133
<i>Chrysomela</i>	I, 166	<i>Colaspidema</i>	I, 163
<i>Chrysophtharta</i>	I, 171	<i>Colaspina</i>	I, 133
<i>Chrysopida</i>	I, 125	<i>Colaspis</i>	I, 112
<i>Cithoneis</i>	II, 22	<i>Colaspoides</i>	I, 140
<i>cicatrix</i> ILLIGER (<i>Hermaeophaga</i>)	II, 50	<i>Colasposoma</i>	I, 126
<i>cincta</i> CLARK (<i>Chorina</i>)	II, 40	<i>collaris</i> BALY (<i>Aloprena</i>)	II, 28
<i>cincta</i> HAROLD (<i>Chalcophana</i>)	I, 116	<i>collaris</i> BALY (<i>Aphthonomorpha</i>)	II, 47
<i>cincta</i> OLIVIER (<i>Mesoplatus</i>)	I, 168	<i>collaris</i> HUMMEL (<i>Exosoma</i>)	II, 21
<i>circe</i> STAL (<i>Trochalodes</i>)	I, 169	<i>collaris</i> LINNÉ (<i>Microdera</i>)	I, 166
<i>circumcinctus</i> BALY (<i>Oedionychus</i>)	II, 57	<i>Colobaspis</i>	I, 72
<i>Cistudinella</i>	II, 85	<i>columbiana</i> BOHEMAN (<i>Eugenysa</i>)	II, 82
<i>citri</i> MAULIK (<i>Throscoryssa</i>)	II, 63	<i>columbina</i> STÅL (<i>Pyxis</i>)	I, 174
<i>Cladocera</i>	II, 59	<i>combusta</i> BOHEMAN (<i>Scaecocassis</i>)	II, 91
<i>Clorindina</i>	I, 170	<i>comes</i> CLARK (<i>Atyphus</i>)	II, 60
<i>clarki</i> BALY (<i>Plectrotetra</i>)	II, 54	<i>comitata</i> KLUG (<i>Alphidia</i>)	II, 19
<i>clarki</i> JACOBY (<i>Cerichrestus</i>)	II, 60	<i>Conchocera</i>	II, 42
<i>clarki</i> STAL (<i>Gavirga</i>)	I, 174	<i>Conchyloctenia</i>	II, 86
<i>clathrata</i> FABRICIUS (<i>Sindia</i>)	II, 86	<i>concinna</i> BALY (<i>Salaminia</i>)	II, 13
<i>clavareau</i> SPAETH (<i>Rhoia</i>)	II, 91	<i>concolor</i> SAUNDEES (<i>Ditropidus</i>)	I, 92
<i>clavicornis</i> BECHYNÉ (<i>Cephalaletes</i>)	I, 143	<i>conducta</i> BOHEMAN (<i>Trigonocassis</i>)	II, 90
<i>Cleoporus</i>	I, 136	<i>confluens</i> GEESTACKER (<i>Chrysolina</i>)	I, 151
<i>Clearina</i>	I, 136	<i>congener</i> BALY (<i>Cerotoma</i>)	II, 28
<i>Cleptor</i>	I, 129	<i>conicollis</i> BALY (<i>Ocnosispa</i>)	II, 67
<i>Clerotilia</i>	II, 16	<i>conifera</i> FAIRMAIRE (<i>Idacantha</i>)	II, 6
<i>Clidonotus</i>	I, 173	<i>conjuncta</i> GERMAR (<i>Disonycha</i>)	II, 48
<i>Clinocarispa</i>	II, 68	<i>consanguinea</i> BALY (<i>Cephalolia</i>)	II, 65
<i>Clisithera</i>	I, 106	<i>consanguineus</i> WEISE (<i>Psilurnus</i>)	II, 66
<i>Clitaspis</i>	I, 86	<i>consimilis</i> BALY (<i>Dinophthalma</i>)	I, 86
<i>Clitea</i>	II, 55	<i>consoociata</i> BALY (<i>Galerucida</i>)	II, 29
<i>Clitenia</i>	II, 12	<i>conspersa</i> MANNERHEIM (<i>Exema</i>)	I, 100
<i>Clitenella</i>	II, 12	<i>Coolgardica</i>	I, 33
<i>Cltenenosobia</i>	II, 12	<i>coomani</i> LABOISSIÈRE (<i>Japonita</i>)	II, 21
<i>clivicollis</i> KIRBY (<i>Labidomera</i>)	I, 147	<i>coomani</i> LABOISSIÈRE (<i>Micraenidea</i>)	II, 36
<i>clorinda</i> JOLIVET (<i>Stenoplatus</i>)	II, 36	<i>coomani</i> LABOISSIÈRE (<i>Micrepitrix</i>)	II, 40
<i>cloripes</i> BECHYNÉ (<i>Deuteronoda</i>)	I, 143	<i>coomani</i> LABOISSIÈRE (<i>Semacianella</i>)	II, 28
<i>clypeata</i> CLARK (<i>Chlamophora</i>)	II, 50	<i>Copa</i>	II, 7
<i>clypeata</i> JACOBY (<i>Eumelepta</i>)	II, 32	<i>copalina</i> FABRICIUS (<i>Orthaltica</i>)	II, 53
<i>Clypeolaria</i>	I, 125	<i>Coptocephala</i>	I, 82
<i>Clytra</i>	I, 80	<i>Coptocydya</i>	II, 92
<i>Clytrasoma</i>	I, 80	<i>Coptocyclella</i>	II, 92
<i>Clytraxeloma</i>	I, 73	<i>Coria</i>	II, 9
<i>clytroides</i> LEFÈVRE (<i>Biorus</i>)	I, 139	<i>Coraliomela</i>	II, 66
<i>Cneorane</i>	II, 24	<i>corallina</i> VIGOBS (<i>Coraliomela</i>)	II, 66
<i>Cneoridae</i>	II, 28	<i>cornuta</i> BALY (<i>Ceratia</i>)	II, 5
<i>coarctatus</i> CHAPUIS (<i>Chalepotatus</i>)	II, 68	<i>cornuta</i> LACORDAIRE (<i>Lychnophaes</i>)	I, 101
<i>cobaltinus</i> LE CONTE J. (<i>Chrysochus</i>)	I, 138	<i>corporaali</i> WEISE (<i>Javeta</i>)	II, 73
<i>Coccimela</i>	I, 173	<i>corrugata</i> SAHLBERG (<i>Eulaccoptera</i>)	II, 87
<i>coccinella</i> FAIRMAIRE (<i>Stigmomela</i>)	I, 175	<i>corticina</i> BOHEMAN (<i>Nebraspis</i>)	II, 82
<i>coccineus</i> CHAPUIS (<i>Schizosternus</i>)	I, 94	<i>Corynodes</i>	I, 137
<i>Coelaenomenadera</i>	II, 73	<i>Corysthea</i>	I, 116
<i>coelestina</i> KLUG (<i>Trichonotolema</i>)	I, 66	<i>Coscinoptera</i>	I, 85
<i>Coeligethes</i>	II, 42	<i>Coenogramma</i>	I, 149
<i>Coelomera</i>	II, 9	<i>cossiphoides</i> GUÉRIN (<i>Delocrania</i>)	II, 78
<i>Coenobius</i>	I, 93	<i>costata</i> BALY (<i>Meroda</i>)	I, 134
<i>coeruleans</i> FABRICIUS (<i>Labidognatha</i>)	I, 82	<i>costata</i> BALY (<i>Stenolampra</i>)	I, 115
<i>coeruleans</i> SCRIBA (<i>Chrysolina</i>)	I, 151	<i>costata</i> LACORDAIRE (<i>Aratea</i>)	I, 87
<i>coerulea</i> ALLARD (<i>Bonesioides</i>)	II, 20	<i>costata</i> WATERHOUSE (<i>Prosopodonta</i>)	II, 66

	Pages.		Pages.
<i>costatus</i> BLACKBURN (<i>Polyoptilus</i>)	I, 34	<i>cyparisiae</i> KOCH (<i>Aphthona</i>)	II, 45
<i>costipennis</i> LEFÈVRE (<i>Nodocolaspis</i>)	I, 141	<i>Cyphodera</i>	I, 97
<i>costipennis</i> LEFÈVRE (<i>Nodonota</i>)	I, 108	<i>Cyrsylus</i>	II, 47
<i>costulata</i> FAIRMAIRE (<i>Protogaleruca</i>)	II, 10	<i>Cyrtonastes</i>	I, 177
<i>costulata</i> LABOSSIÈRE (<i>Kanakiphaga</i>)	II, 36	<i>cyrtoides</i> JACOBY (<i>Potaninia</i>)	I, 177
<i>cocalgica</i> BOISDUVAL (<i>Mecynodera</i>)	I, 36	<i>Cyrtonota</i>	II, 82
<i>Coytiera</i>	I, 110	<i>Cyrtonus</i>	I, 165
<i>Crabronites</i>	I, 77	<i>Cystocnemis</i>	I, 162
<i>Crambelea</i>	II, 92	 	
<i>crampeli</i> ACHARD (<i>Pseudhispella</i>)	II, 75	<i>Dachrys</i>	I, 86
<i>Craspedonta</i>	II, 78	<i>Dactylispa</i>	II, 75
<i>crassimargo</i> GERMAR (<i>Chrysolina</i>)	I, 160	<i>Damasus</i>	I, 132
<i>crassipes</i> OLIVIER (<i>Bradylema</i>)	I, 62	<i>Damelia</i>	I, 120
<i>crenata</i> UHMANN (<i>Probaenia</i>)	II, 69	<i>Damia</i>	I, 81
<i>Crepidodera</i>	II, 52	<i>Decaria</i>	II, 45
<i>cretica</i> OLIVIER (<i>Chrysolina</i>)	I, 159	<i>decemlineata</i> SAY (<i>Leptinotarsa</i>)	I, 148
<i>cribraria</i> JACOBY (<i>Atacolema</i>)	I, 66	<i>decempunctata</i> OLIVIER (<i>Melitonoma</i>)	I, 81
<i>cribrosa</i> AHRENS (<i>Chrysolina</i>)	I, 159	<i>Decoomanius</i>	II, 12
<i>cribrum</i> KLUG (<i>Anacassis</i>)	II, 82	<i>decorata</i> LABOSSIÈRE (<i>Toroderma</i>)	II, 62
<i>Crimissa</i>	II, 45	<i>decoratus</i> LABOSSIÈRE (<i>Aulamorphus</i>)	II, 37
<i>Crioceris</i>	I, 62	<i>deflexicollis</i> BOHEMAN (<i>Oxylepis</i>)	II, 87
<i>Crosita</i>	I, 150	<i>Delocrania</i>	II, 78
<i>Crossocassis</i>	II, 88	<i>Deloyala</i>	II, 93
<i>cruciata</i> LACORDAIRE (<i>Dachrys</i>)	I, 86	<i>Dematochroma</i>	I, 114
<i>cruciata</i> LINNÉ (<i>Deloyala</i>)	II, 93	<i>Demothispa</i>	II, 65
<i>cruciatus</i> LEFÈVRE (<i>Cleoporus</i>)	I, 136	<i>Demotina</i>	I, 123
<i>crucifera</i> LACORDAIRE (<i>Urodera</i>)	I, 87	<i>denticolle</i> JACOBY (<i>Nodostoma</i>)	I, 117
<i>crucigera</i> SAHLBERG (<i>Deuterocampta</i>)	I, 149	<i>denticollis</i> LEFÈVRE (<i>Hypoderes</i>)	I, 114
<i>cruenta</i> FABRICIUS (<i>Oocassida</i>)	II, 88	<i>denticollis</i> SAY (<i>Myochrous</i>)	I, 132
<i>curlalis</i> STAL (<i>Crimissa</i>)	II, 45	<i>denticulata</i> BOHEMAN (<i>Cassidinoma</i>)	II, 80
<i>Cryptocephalus</i>	I, 94	<i>dentipes</i> OLIVIER (<i>Macrolenes</i>)	I, 76
<i>Cryptonychellus</i>	II, 72	<i>deplanata</i> BOHEMAN (<i>Anepsiomorpha</i>)	II, 83
<i>Cryptonychus</i>	II, 72	<i>depressa</i> CHAPUIS (<i>Octodonta</i>)	II, 72
<i>Cryptostetha</i>	I, 147	<i>depressa</i> BALY (<i>Bronthispa</i>)	II, 72
<i>Cteisella</i>	II, 95	<i>Dercetis</i>	II, 30
<i>Cucujopsis</i>	I, 50	<i>Dermorrhysis</i>	I, 115
<i>cumingi</i> BALY (<i>Acrocrypta</i>)	II, 61	<i>Dermoxanthus</i>	I, 140
<i>cumingi</i> WESTWOOD (<i>Tennaspis</i>)	I, 75	<i>Derocepis</i>	II, 52
<i>cupreatum</i> BALY (<i>Lamprosoma</i>)	I, 102	<i>deruta</i> BOHEMAN (<i>Platycyla</i>)	II, 85
<i>cupreus</i> OLIVIER (<i>Agbalus</i>)	I, 108	<i>Desbordesius</i>	II, 40
<i>curta</i> LEFÈVRE (<i>Chrysopida</i>)	I, 125	<i>desertorum</i> GEBLER (<i>Ischyronota</i>)	II, 87
<i>curtisi</i> BALY (<i>Eulina</i>)	I, 176	<i>Demogramma</i>	I, 148
<i>curvipes</i> JACOBY (<i>Chrysolampra</i>)	I, 106	<i>Desmonata</i>	II, 79
<i>cyanea</i> SAY (<i>Hemisphaerota</i>)	II, 78	<i>Deuterocampta</i>	I, 149
<i>cyanoevittata</i> FAIRMAIRE (<i>Glaucorhabda</i>)	II, 19	<i>Deuteronoda</i>	I, 143
<i>cyanescens</i> LABOSSIÈRE (<i>Hyphaenia</i>)	II, 34	<i>deyröllei</i> BALY (<i>Byblitea</i>)	II, 8
<i>cyaneus</i> CLARK (<i>Rhinotmetus</i>)	II, 59	<i>Diachus</i>	I, 95
<i>cyaneus</i> JOANNIS (<i>Euluperus</i>)	II, 36	<i>Diabrotica</i>	II, 8
<i>cyanicollis</i> HOPE (<i>Humba</i>)	I, 162	<i>Diamphidia</i>	II, 59
<i>cyanipennis</i> KRAATZ (<i>Clytraxeloma</i>)	I, 73	<i>Diandichus</i>	I, 90
<i>cyanipennis</i> LABOSSIÈRE (<i>Neomahulia</i>)	II, 7	<i>Diapericera</i>	I, 84
<i>cyanipennis</i> LABOSSIÈRE (<i>Taphinella</i>)	II, 31	<i>Diaphaenidea</i>	II, 36
<i>cyanipennis</i> LEFÈVRE (<i>Typophorus</i>)	I, 137	<i>Diaphanops</i>	I, 36
<i>cyanipes</i> ERICHSON (<i>Promecotheca</i>)	II, 73	<i>Diapromorpha</i>	I, 79
<i>cyanoptera</i> ERICHSON (<i>Ocnoscelis</i>)	II, 48	<i>Dibolia</i>	II, 61
<i>cyanura</i> HOPE (<i>Mimastra</i>)	II, 24	<i>Dichirispaa</i>	II, 76
<i>Cyclanthiphia</i>	II, 30	<i>Dicolectes</i>	I, 124
<i>Cyclomela</i>	I, 168	<i>Dicranosterna</i>	I, 169
<i>Cyclonoda</i>	I, 168	<i>Dictyneis</i>	I, 132
<i>Cyclosooma</i>	II, 79	<i>didymata</i> SCRIBA (<i>Chrysolina</i>)	I, 153
<i>cylindricollis</i> LACORDAIRE (<i>Incisoleta</i>)	I, 67	<i>dilatata</i> BECHYNÉ (<i>Antitypona</i>)	I, 106
<i>cylindricus</i> LUCAS (<i>Pachnephorus</i>)	I, 133	<i>dilatata</i> CHAPUIS (<i>Millina</i>)	II, 26
<i>cylindricus</i> MOROWITZ (<i>Stylosomus</i>)	I, 89	<i>Dilinosa</i>	II, 8
<i>Cyno</i>	I, 128	<i>diluta</i> GERMAR (<i>Chrysolina</i>)	I, 156
<i>Cynorita</i>	II, 33	<i>diluta</i> GUÉRIN (<i>Hispoleptis</i>)	II, 67
<i>Cynorta</i>	II, 33	<i>Dimalianella</i>	II, 24

Pages.	Pages.
dimidiata DUVIVIER (<i>Taphina</i>) II, 30	elatior KLUG (<i>Metriona</i>) II, 93
dimidiata LABOISSIÈRE (<i>Bonesioides</i>) II, 20	elegans CHAPUIS (<i>Scelolyperus</i>) II, 23
dimidiata LACORDAIRE (<i>Minturnia</i>) I, 84	elegans WEISE (<i>Mellesia</i>) II, 7
dimidiaticornis JACOBY (<i>Xenidea</i>) II, 56	elegantula BALY (<i>Stethotes</i>) I, 137
dimidiaticennis BALY (<i>Nicea</i>) II, 14	elegantula DUVIVIER (<i>Jacobyia</i>) II, 18
dimidiaticennis CLARK (<i>Monoplatus</i>) II, 59	elegantula JACOBY (<i>Acanthonycha</i>) II, 48
dimidiatus JACOBY (<i>Eumolpopsis</i>) I, 126	Elisabethana I, 66
dimorpha BECHYNÉ (<i>Schizonoda</i>) I, 143	elisabetha HEINZE (<i>Brachydactyla</i>) I, 61
Dinophthalma I, 86	Elithria II, 45
Diorhabda II, 16	elliptica STÅL (<i>Lioplacis</i>) I, 170
Diorcytus I, 91	elocata BOHEMAN (<i>Baranosa</i>) II, 81
Diphaulaca II, 54	elongata BRULLÉ (<i>Diorhabda</i>) II, 16
Diplacaspis I, 99	Elyces II, 22
Dircema II, 9	Elytrogona II, 83
Dircemella II, 10	Elytrosphaera I, 149
discoidalis BALY (<i>Lamprolina</i>) I, 178	Emathea II, 31
discoidea GUÉRIN (<i>Brachydactyla</i>) I, 61	Enagria II, 85
discoideus KLUG (<i>Agathomerus</i>) I, 71	Endocephalus I, 139
discolor BOHEMAN (<i>Hovacassis</i>) II, 90	Endoschyurus I, 139
Discomorpha II, 80	Ennodius I, 128
discrepans BALY (<i>Luperodes</i>) II, 23	ensifera BOHEMAN (<i>Paranota</i>) II, 81
Disconycha II, 48	Ensiforma II, 8
distant SPAETH (<i>Orphnolina</i>) II, 87	Entomochirus I, 113
distincta DUVIVIER (<i>Aepidolopha</i>) I, 80	Entomoscelis I, 178
distincta DUVIVIER (<i>Hyperaxis</i>) I, 122	ephippiata DALMAN (<i>Orthoxioides</i>) II, 11
Ditropidus I, 92	Epimela I, 83
diversa BALY (<i>Aulacia</i>) I, 140	Epiphyma I, 113
diversipes BEDEL (<i>Chrysolina</i>) I, 152	Epistictina II, 77
dives GERMAR (<i>Iphimeis</i>) I, 107	Epilhrix II, 53
dives KARSCH (<i>Porphytoma</i>) II, 11	equestris DALMAN (<i>Crabronites</i>) I, 77
divisa JACOBY (<i>Palpozena</i>) II, 35	Eremionycha II, 81
dohertyi JACOBY (<i>Manipuria</i>) I, 64	Erga II, 38
dohrni BALY (<i>Ambliera</i>) II, 71	Erganoïdes II, 38
dohrni BALY (<i>Merista</i>) II, 17	erichsoni BALY (<i>Pseudocophora</i>) II, 5
dolens KRAATZ (<i>Gnathomela</i>) I, 150	erichsoni GERMAR (<i>Polyoptilus</i>) I, 34
Dolichotoma II, 79	Eriotica II, 54
Donacia I, 47	Eriphyllina LEFÈVRE I, 116
Donaciasta I, 48	Erythrobapta II, 6
Dorcathispa II, 75	erythrocephala OLIVIER (<i>Monodepta</i>) II, 39
dorsalis OLIVIER (<i>Phyllecthrus</i>) II, 23	erythrocephala LABOISSIÈRE (<i>Schematicella</i>) II, 11
dorsata DUVIVIER (<i>Capelocassis</i>) II, 88	Eryzia I, 123
dorsesignata CLARK (<i>Oides</i>) I, 4	Escourtiana II, 37
Dorydella II, 30	Estigmena II, 70
Dorydomorpha II, 30	Eubaptus I, 31
Dorynota II, 81	Euctenochira II, 96
Doryphora I, 147	Eugaleruca II, 10
Doryzena II, 13	Eugenysa II, 82
Downesia II, 74	Eugonotes II, 45
Duboulaia I, 33	Eugonycha I, 149
ducalis CLARK (<i>Monocesta</i>) II, 9	Eulacoptera II, 87
ducalis STÅL (<i>Stilodes</i>) I, 148	Eulina I, 176
dunbrodiensis JACOBY (<i>Hapsidolema</i>) I, 66	Euliroëtis II, 25
duodecimmaculata HAROLD (<i>Pentamesa</i>) II, 62	Euluperus II, 36
duodecimsignata BOHEMAN (<i>Phytodectoidea</i>) II, 84	Eulychius I, 134
duporti LABOISSIÈRE (<i>Chogania</i>) II, 27	Eumelepta II, 32
duvivieri LABOISSIÈRE (<i>Sphenoraoides</i>) II, 29	Eumolpopsis I, 126
Duvivieria II, 35	Eumolpus I, 125
Dyscineta II, 92	Eupachytoma II, 12
eburata BLANCHARD (<i>Strichosa</i>) I, 149	Eupales I, 115
echidna GUÉRIN (<i>Platypria</i>) II, 76	Euphitrea II, 62
echinata FABRICIUS (<i>Notosacantha</i>) II, 77	Euphyrtus I, 110
Echoma II, 84	Euplectroscelis II, 56
Edistus I, 119	Euprionota II, 70
Edusella I, 129	Eurispes II, 71
Elaphodes I, 92	Euryceraea I, 147
	Eurydemus I, 135

	Pages.		Pages.
<i>Euryope</i>	I, 126	<i>flexuosa</i> BALY (<i>Cladocera</i>)	II, 59
<i>Euryelta</i>	I, 131	<i>florigera</i> STÅL (<i>Cryptostetha</i>)	I, 147
<i>Eurypepla</i>	II, 85	<i>forcipata</i> BALY (<i>Nyetra</i>)	I, 92
<i>Eurysarcus</i>	I, 110	<i>forcipata</i> BURGEON (<i>Protoclytra</i>)	I, 80
<i>Euryscopa</i>	I, 85	<i>forcipifera</i> LUCAS (<i>Otiocephala</i>)	I, 81
<i>Eustena</i>	II, 38	<i>Fornicocassis</i>	II, 88
<i>Eusthetha</i>	II, 29	<i>fortunei</i> BALY (<i>Ambrostoma</i>)	I, 150
<i>evanida</i> BOHEMAN (<i>Hilarocassis</i>)	II, 83	<i>fossulata</i> GUERIN (<i>Agonia</i>)	II, 74
<i>Exartematosus</i>	II, 60	<i>foveata</i> OLIVIER (<i>Monoleptocrania</i>)	II, 39
<i>excavata</i> BOHEMAN (<i>Laccoptera</i>)	II, 86	<i>foveipennis</i> JACOBY (<i>Malacorrhinus</i>)	II, 21
<i>excavatus</i> BALY (<i>Carpophagus</i>)	I, 35	<i>foveolata</i> KARSCH (<i>Pseudocrania</i>)	II, 38
<i>Exema</i>	I, 100	<i>foveolatus</i> BALY (<i>Terillus</i>)	I, 110
<i>Exestastica</i>	II, 91	<i>foveolatus</i> CHAPUIS (<i>Aliitus</i>)	I, 109
<i>eximia</i> BALY (<i>Leptozena</i>)	II, 16	<i>fraterna</i> BALY (<i>Diabrotica</i>)	II, 8
<i>eximia</i> BOHEMAN (<i>Megapyga</i>)	II, 78	<i>fraternum</i> DUVIVIER (<i>Rhagiosoma</i>)	I, 33
<i>Exomis</i>	I, 82	<i>Frenais</i>	I, 116
<i>Exora</i>	II, 21	<i>Freudeita</i>	I, 142
<i>Exosoma</i>	II, 21	<i>frontalis</i> JACOBY (<i>Separia</i>)	II, 32
<i>Exosomorpha</i>	II, 40	<i>fruhstorferi</i> GESTRO (<i>Paradownesia</i>)	II, 74
<i>Exothispa</i>	II, 73	<i>Fulcidax</i>	I, 100
<i>explanata</i> CHAPUIS (<i>Penthispa</i>)	II, 70	<i>fulginea</i> WEISE (<i>Coccimela</i>)	I, 173
<i>Faex</i>	I, 172	<i>fuliginosa</i> OLIVIER (<i>Chrysolina</i>)	I, 153
<i>fairmairei</i> CHAPUIS (<i>Penthispa</i>)	II, 70	<i>fulminans</i> FALDERMANN (<i>Clitenella</i>)	II, 12
<i>fallax</i> BECHYNÉ (<i>Neochalcoplacis</i>)	I, 143	<i>fulvicollis</i> BALY (<i>Cneorane</i>)	II, 24
<i>Falsocolobapsis</i>	I, 74	<i>fulvicollis</i> BRYANT (<i>Brachydactyla</i>)	I, 61
<i>fasciata</i> BALY (<i>Callisina</i>)	I, 118	<i>fulvicollis</i> FABRICIUS (<i>Philopona</i>)	II, 57
<i>fasciatus</i> CLARKE (<i>Exartematosus</i>)	II, 60	<i>fulvicollis</i> GUERIN (<i>Prionispa</i>)	II, 73
<i>fastuosa</i> LACORDAIRE (<i>Campiolenes</i>)	I, 77	<i>fulvicollis</i> JACOBY (<i>Lupraea</i>)	II, 46
<i>fastuosa</i> SCHALLEIN (<i>Pilemostoma</i>)	II, 89	<i>fulvicollis</i> JACOBY (<i>Tharumacera</i>)	II, 34
<i>fastuosa</i> SCOPOLI (<i>Chrysolina</i>)	I, 151	<i>fulvipennis</i> JACOBY (<i>Pseudoliroëts</i>)	II, 25
<i>favareli</i> ACHARD (<i>Diamphidia</i>)	II, 59	<i>fulvipennis</i> JACOBY (<i>Sastracella</i>)	II, 13
<i>feae</i> GESTRO (<i>Choeridiona</i>)	II, 73	<i>fulvipes</i> JACOBY (<i>Pseudeudusia</i>)	I, 131
<i>femoralis</i> CHAPUIS (<i>Olorus</i>)	I, 130	<i>fulvipes</i> JACOBY (<i>Coytiera</i>)	I, 110
<i>femoralis</i> OLIVIER (<i>Chrysolina</i>)	I, 154	<i>fulvipes</i> oblongus BLANCHARD (<i>Poathyrocerus</i>) ...	I, 58
<i>femoralis</i> REDTENBACHER (<i>Dibolia</i>)	II, 61	<i>fulvitarse</i> JACOBY (<i>Chaloenosoma</i>)	II, 44
<i>femorata</i> FAIRMAIRE (<i>Coelaenomenodera</i>) ...	II, 73	<i>fulvocincta</i> STÅL (<i>Cosmogramma</i>)	I, 149
<i>fenestra</i> ILLIGER (<i>Megistops</i>)	II, 61	<i>fulvus</i> BALY (<i>Dermozanthus</i>)	I, 140
<i>ferrugineus</i> FAIRMAIRE (<i>Brachycardus</i>) ...	I, 97	<i>fulvus</i> GOEZE (<i>Cryptocephalus</i>)	I, 94
<i>ferrugineus</i> GERSTÄCKER (<i>Ceralces</i>)	I, 163	<i>fulvus</i> JACOBY (<i>Proprius</i>)	II, 49
<i>ferruginipes</i> WEISE (<i>Pseudomela</i>)	I, 162	<i>fulvus</i> LEFÈVRE (<i>Phascus</i>)	I, 120
<i>Fidia</i>	I, 122	<i>funerarius</i> LACORDAIRE (<i>Prionesthis</i>)	I, 34
<i>figurata</i> GERMAR (<i>Doryphora</i>)	I, 147	<i>fuscicornis</i> chrysomelina WALTL (<i>Podagriva</i>) ...	II, 55
<i>filiformis</i> GERMAR (<i>Leptispa</i>)	II, 71	<i>fuscipectus</i> HAROLD (<i>Eriotica</i>)	II, 54
<i>filiformis</i> LACORDAIRE (<i>Miochira</i>)	I, 83		
<i>fimbrigera</i> STÅL (<i>Desmogramma</i>)	I, 148		
<i>fissicollis</i> THOMSON (<i>Leptaulaca</i>)	II, 7		
<i>flava</i> JACOBY (<i>Phyllobroticella</i>)	II, 19		
<i>flava</i> LABOSSIÈRE (<i>Clitenososia</i>)	II, 12		
<i>flavescens</i> BLANCHARD (<i>Grammicopterus</i>) ...	II, 50		
<i>flavescens</i> BOHEMAN (<i>Plagiometriona</i>) ...	II, 93		
<i>flavicincta</i> JACOBY (<i>Sesselia</i>)	II, 21		
<i>flavicollis</i> KLUG (<i>Stoiba</i>)	II, 83		
<i>flavicollis</i> MARSHAM (<i>Zeugophora</i>)	I, 52		
<i>flavicornis</i> OLIVIER (<i>Asteria</i>)	II, 85		
<i>flavipennis</i> BALY (<i>Duboulaia</i>)	I, 33		
<i>flavipes</i> LACORDAIRE (<i>Megacecis</i>)	I, 69		
<i>flavipes</i> OLIVIER (<i>Colaspis</i>)	I, 112		
<i>flaviventris</i> JACOBY (<i>Cneorides</i>)	II, 28		
<i>flavocincta</i> HOPE (<i>Monolepta</i>)	II, 39		
<i>flavofasciata</i> JACOBY (<i>Yulenia</i>)	II, 17		
<i>flavomarginata</i> DUVIVIER (<i>Ceratia</i>)	II, 4		
<i>flavomarginata</i> JACOBY (<i>Clerotilia</i>)	II, 16		
<i>flavoplagiata</i> BALY (<i>Rhacocassis</i>)	II, 90		
<i>flavus</i> JACOBY (<i>Taphius</i>)	I, 109		
<i>Fleutiauxia</i>	II, 35		
		<i>Gabonia</i>	II, 46
		<i>Galeroastra</i>	II, 14
		<i>Galeruca</i>	II, 15
		<i>Galerucella</i>	II, 9
		<i>Galerucida</i>	II, 29
		<i>ganglbaueri</i> SPAETH (<i>Aspidomorpha</i>) ...	II, 86
		<i>gaschkevitchi</i> MOTSCHULSKY (<i>Acrothinium</i>) ...	I, 131
		<i>Gastrida</i>	II, 42
		<i>Gastrolina</i>	I, 167
		<i>Gastrophysa</i>	I, 163
		<i>Gastropius</i>	I, 112
		<i>Gavirga</i>	I, 174
		<i>gebleri</i> FISCHER (<i>Rhaebus</i>) ...	I, 31
		<i>Geina</i>	II, 41
		<i>Geloptera</i>	I, 114
		<i>gemella</i> ERICHSON (<i>Nisotra</i>) ...	II, 55
		<i>gemellata</i> WESTWOOD (<i>Johannica</i>) ...	I, 176
		<i>gemina</i> BRULLÉ (<i>Chrysolina</i>) ...	I, 158
		<i>geminata</i> PAYKULL (<i>Chrysolina</i>) ...	I, 153
		<i>geminus</i> CHAPUIS (<i>Polyachus</i>) ...	I, 91
		<i>generous</i> THOMSON (<i>Ornithognathus</i>) ...	II, 20
		<i>gentilis</i> ERICHSON (<i>Miocalaaspis</i>) ...	II, 82

Pages.	Pages.
gerardi BURGEON (<i>Pausiropeis</i>) I, 127	harrisi J. LECONTE (<i>Donacia</i>) I, 47
gheesquierei LABOISSIÈRE (<i>Barombiella</i>) II, 31	hastata LABOISSIÈRE (<i>Idacantha</i>) II, 6
gibbera BOHEMAN (<i>Hybosoma</i>) II, 91	Heikertingerella II, 54
gibbosa FABRICIUS (<i>Mesomphalia</i>) II, 82	Heikertingeria II, 48
gibbosa GESTRO (<i>Acrocassis</i>) II, 88	Hemiphracta II, 11
gibbosa JACOBY (<i>Botanoctona</i>) II, 4	Hemiphrynx II, 48
gibbosus BALY (<i>Clidonotus</i>) I, 173	Hemiplatys I, 123
gigantea ILLIGER (<i>Eupachytoma</i>) II, 12	Hemisphaerota II, 78
glabrata FABRICIUS (<i>Corysthea</i>) I, 116	Hemydace I, 60
glasunovi JACOBSON (<i>Parnope</i>) I, 123	Heptarthrius I, 91
Glaucorhabda II, 19	Hephispa II, 69
globosa KÜSTER (<i>Colaspidea</i>) I, 133	herculea CHAPUIS (<i>Paropsis</i>) I, 170
globosa PANZER (<i>Chrysolina</i>) I, 160	Herisea II, 81
Glyphocassis II, 88	Herma I, 81
Glyptina II, 47	Hermaeophaga II, 49
Glyptoscelis I, 132	Hermesia I, 112
Gnathomela I, 150	Hespera II, 44
Goniochenia II, 81	Hesperomorpha II, 24
Gonioctena I, 172	Heterispa II, 69
goniostoma WEISE (<i>Chrysanthus</i>) I, 138	heterocera GESTRO (<i>Conchocera</i>) II, 42
Gonophora II, 74	heteropunctata BOHEMAN (<i>Chersinellina</i>) II, 91
goudoti HAROLD (<i>Philopona</i>) II, 57	Heterostomis I, 84
Goudotina II, 19	Heterotrichus I, 131
Grammicopterus II, 50	hexaspilota FAIRMAIRE (<i>Jacobyella</i>) II, 18
grandis FAIRMAIRE (<i>Pseudostola</i>) I, 128	hilaris BOHEMAN (<i>Malayocassis</i>) II, 90
grandis FOERSBERG (<i>Megalostomis</i>) I, 84	Hilarocassis II, 83
grandis GESTRO (<i>Downesia</i>) II, 74	Himerida I, 127
grandis PHILIPPI (<i>Hornius</i>) I, 57	Hippuriphila II, 52
granulata GERMAE (<i>Metaxyonycha</i>) I, 111	hirschi HAROLD (<i>Chrysodina</i>) I, 105
granulipennis LABOISSIÈRE (<i>Lusingania</i>) II, 19	hirsuta JACOBY (<i>Hesperomorpha</i>) II, 24
granulosa WEISE (<i>Cassidipa</i>) II, 76	hirta BATY (<i>Trichotheca</i>) I, 121
graphica GERMAR (<i>Aporocassida</i>) II, 91	hirta KOLLAR (<i>Chlamisus</i>) I, 99
Gratiana II, 91	Hispa II, 76
grayella BAILY (<i>Homalispia</i>) II, 64	Hispella II, 75
gregarium LEFÈVRE (<i>Colaspisoma</i>) I, 126	hispidulus LEFÈVRE (<i>Nerissidius</i>) I, 124
Griburius I, 90	Hispodonta II, 71
griseovilloso THOMSON (<i>Brevicolaspis</i>) I, 122	Hispolectis II, 67
Gronovius II, 14	Hispostoma I, 146
grossa FOERSBERG (<i>Megalostomis</i>) I, 84	histeroides SUFFRIAN (<i>Pleomorphus</i>) I, 92
grossa HOPE (<i>Doryxena</i>) II, 13	histrio BALY (<i>Laetana</i>) II, 6
grossa LINNÉ (<i>Eugenysa</i>) II, 82	högei JACOBY (<i>Aulacoscelis</i>) I, 40
guatemalensis DUVIVIER (<i>Notozona</i>) II, 57	holosericea KLUG (<i>Eryzia</i>) I, 123
guatemalensis JACOBY (<i>Spintherophyta</i>) I, 105	holubi SPAETH (<i>Psalidoma</i>) II, 88
guerini BALY (<i>Amplipalpa</i>) II, 64	Homalispia II, 64
guttata CHAPUIS (<i>Ophrida</i>) II, 56	Homalopterus I, 71
guttiifera BOHEMAN (<i>Ogdoecosta</i>) II, 84	Homophoeta II, 57
guttipennis WEISE (<i>Chrysolina</i>) I, 150	hopei BALY (<i>Agetocera</i>) II, 5
Gyllenhaleus II, 72	Hoplasoma II, 5
Gymandrophthalma I, 81	Hornibius I, 56
Gyriodera I, 79	Hornius I, 56
haagi HAROLD (<i>Sangaria</i>) II, 53	hottentota LEFÈVRE (<i>Miopristis</i>) I, 76
haagi JOANNIS (<i>Galeruca</i>) II, 15	Hovacassis II, 90
Habrophora I, 122	Huillania II, 37
Haemonia I, 46	Humba I, 162
haemoptera LINNÉ (<i>Chrysolina</i>) I, 152	humbloti DUVIVIER (<i>Eugaleruca</i>) II, 10
hageni JACOBY (<i>Chrysochus</i>) I, 139	humeralis OLIVIER (<i>Omoteina</i>) II, 81
halensis LINNÉ (<i>Sermylissa</i>) II, 28	humerosa FAIRMAIRE (<i>Sphenocassis</i>) II, 88
Hallirhotius II, 7	humilis GESTRO (<i>Lissochila</i>) II, 71
Halica II, 49	hyacinthina SUFFRIAN (<i>Chrysolina</i>) I, 150
Halyssacantha II, 6	Hybos II, 91
Hapalotrius II, 60	Hybosinota II, 85
Haplosomoides II, 24	Hybosipa II, 65
Haplosonyx II, 31	Hydrothassa I, 165
Haploletes II, 35	Hylaspes II, 29
Hapsidolema I, 65	Hylaspoidea II, 29
	Hylax I, 107

	Pages.		Pages.
<i>Hymenesia</i> ...	II, 13	<i>Ienus</i> ...	I, 93
<i>Hymetes</i> ...	I, 100	<i>Ieolepronota</i> ...	I, 142
<i>Hypantherus</i> ...	II, 59	<i>ituriensis</i> WEISE (<i>Parasbecesta</i>) ...	II, 37
<i>Hyperacantha</i> ...	II, 18	<i>Ivalia</i> ...	II, 63
<i>Hyperaxis</i> ...	I, 122	<i>Ivongius</i> ...	I, 135
<i>Hyphaenia</i> ...	II, 34	 	
<i>Hyphasis</i> ...	II, 58	<i>Jacobia</i> ...	II, 18
<i>Hyphasoma</i> ...	II, 58	<i>Jacobyaniella</i> ...	II, 18
<i>Hypocassida</i> ...	II, 89	<i>jamaicensis</i> FABRICIUS (<i>Haltica</i>) ...	II, 49
<i>hypocalca</i> GERMAR (<i>Augomela</i>) ...	I, 174	<i>Janbechynea</i> ...	I, 40
<i>Hypoderes</i> ...	I, 114	<i>jansoni</i> BALY (<i>Caristeia</i>) ...	I, 169
<i>Hypolampsis</i> ...	II, 61	<i>jansoni</i> JACOBY (<i>Rhabdopterus</i>) ...	I, 114
 		<i>janthina</i> BLANCHARD (<i>Hispidonta</i>) ...	II, 71
<i>Idacantha</i> ...	II, 6	<i>japana</i> JACOBY (<i>Haemonia</i>) ...	I, 46
<i>Idiocephala</i> ...	I, 96	<i>japonica</i> HORNSTEDT (<i>Morphosphaera</i>) ...	II, 26
<i>Idmosyne</i> ...	II, 60	<i>Japonita</i> ...	II, 21
<i>igneofasciata</i> BALY (<i>Dermorrhysis</i>) ...	I, 115	<i>javana</i> LACORDAIRE (<i>Hymetes</i>) ...	I, 100
<i>ignobilis</i> BOHEMAN (<i>Exestastica</i>) ...	II, 91	<i>Javeta</i> ...	II, 73
<i>illudens</i> BALY (<i>Chalcomela</i>) ...	I, 169	<i>Javeti</i> BALY (<i>Stethopachys</i>) ...	I, 65
<i>illudens</i> BOHEMAN (<i>Crambelea</i>) ...	II, 92	<i>Johannica</i> ...	I, 176
<i>Imatidium</i> ...	II, 78	<i>joliveti</i> BECHYNÉ (<i>Colaphallus</i>) ...	I, 163
<i>imitans</i> JACOBY (<i>Nirina</i>) ...	II, 11	<i>joliveti</i> BECHYNÉ (<i>Maecolaspis</i>) ...	I, 141
<i>imperialis</i> BALY (<i>Spilispa</i>) ...	II, 71	<i>jolofa</i> LACORDAIRE (<i>Bradylema</i>) ...	I, 62
<i>imperialis</i> JACOBY (<i>Gronovius</i>) ...	II, 14	<i>Jonthonota</i> ...	II, 91
<i>impressa</i> FABRICIUS (<i>Theopea</i>) ...	II, 33	 	
<i>inaequalis</i> WEBER (<i>Anoplitis</i>) ...	II, 68	<i>Kanahiiiphaga</i> ...	II, 36
<i>incerta</i> BLACKBURN (<i>Microdonacia</i>) ...	I, 49	<i>Kanarella</i> ...	II, 26
<i>Incisolema</i> ...	I, 67	<i>kanarenensis</i> JACOBY (<i>Leprotes</i>) ...	I, 122
<i>inconstans</i> BOHEMAN (<i>Charidotella</i>) ...	II, 93	<i>kingi</i> MAC LEAY (<i>Megamerus</i>) ...	I, 32
<i>inconstans</i> LEFÈVRE (<i>Ivongius</i>) ...	I, 135	<i>kollerii</i> LABOISSIÈRE (<i>Dimalianella</i>) ...	II, 24
<i>indica</i> DUVIVIER (<i>Epinema</i>) ...	I, 83	<i>konbirensis</i> WEISE (<i>Platyxantha</i>) ...	II, 35
<i>indica</i> DUVIVIER (<i>Proegmena</i>) ...	II, 32	<i>Kuilua</i> ...	I, 73
<i>indica</i> FABRICIUS (<i>Toxaria</i>) ...	II, 55	<i>kuroswai</i> CHŪJŌ (<i>Orsodacne</i>) ...	I, 51
<i>indica</i> HOPI (<i>Paralina</i>) ...	I, 162	<i>kuscheli</i> BECHYNÉ (<i>Minotula</i>) ...	II, 54
<i>indica</i> JACOBY (<i>Cassena</i>) ...	II, 55	 	
<i>indica</i> JACOBY (<i>Sastroides</i>) ...	II, 14	<i>labiatus</i> PERTY (<i>Arescus</i>) ...	II, 65
<i>indica</i> MOTSCHULSKY (<i>Orsodacne</i>) ...	I, 57	<i>Labidognatha</i> ...	I, 82
<i>indicola</i> DUVIVIER (<i>Chloocassis</i>) ...	II, 90	<i>Labidomera</i> ...	I, 147
<i>indicum</i> BALY (<i>Hyphasoma</i>) ...	II, 58	<i>Labidostomis</i> ...	I, 75
<i>inermis</i> ZOUBKOFF (<i>Acmenychus</i>) ...	II, 75	<i>Laboulbenei</i> MONTROUZIER (<i>Dematochroma</i>) ...	I, 114
<i>inès</i> JOLIVET (<i>Protoclytra</i>) ...	I, 80	<i>Laccoptera</i> ...	II, 86
<i>inflata</i> WEISE (<i>Chryolina</i>) ...	I, 158	<i>Laccopteroidea</i> ...	II, 87
<i>inornata</i> JACOBY (<i>Chiridisia</i>) ...	I, 124	<i>Lachnaea</i> ...	I, 77
<i>inornata</i> JACOBY (<i>Monocida</i>) ...	II, 38	<i>Lachnabothra</i> ...	I, 97
<i>inornata</i> WATERHOUSE (<i>Metriopepla</i>) ...	II, 77	<i>lacordairei</i> GERMAR (<i>Polyoptilus</i>) ...	I, 34
<i>insignis</i> LEFÈVRE (<i>Gastropius</i>) ...	I, 112	<i>lacordairei</i> WESTWOOD (<i>Colobaspis</i>) ...	I, 72
<i>insignis</i> WEISE (<i>Herma</i>) ...	I, 81	<i>Lactica</i> ...	II, 50
<i>insolita</i> LECONTE (<i>Metacycla</i>) ...	II, 22	<i>Lactina</i> ...	II, 49
<i>instabilis</i> LACORDAIRE (<i>Pnesthes</i>) ...	I, 86	<i>lacunosus</i> CLARK (<i>Omotyphus</i>) ...	II, 60
<i>intacta</i> NEWMAN (<i>Paropsisterna</i>) ...	I, 171	<i>laeta</i> BALY (<i>Chalcophyma</i>) ...	I, 106
<i>intermedius</i> JACOBY (<i>Hemiphrynus</i>) ...	II, 48	<i>laeta</i> BALY (<i>Palpozrena</i>) ...	II, 35
<i>interrupta</i> HABOLD (<i>Leproclospis</i>) ...	I, 143	<i>Laetana</i> ...	I, 6
<i>interstincta</i> SUFFRIAN (<i>Chrysolina</i>) ...	I, 151	<i>Laetiakantha</i> ...	I, 6
<i>intestinalum</i> THOMSON (<i>Epiphyma</i>) ...	I, 113	<i>laevigatus</i> JACOBY (<i>Chilocoristes</i>) ...	II, 63
<i>Iphimeis</i> ...	I, 107	<i>laevigatus</i> LABOISSIÈRE (<i>Desbordesius</i>) ...	II, 40
<i>Iphimoides</i> ...	I, 109	<i>laevipenne</i> JACOBY (<i>Sphaeroderma</i>) ...	II, 62
<i>Iphitrea</i> ...	II, 53	<i>lamegi</i> LABOISSIÈRE (<i>Euliroëtis</i>) ...	II, 25
<i>Iphitroides</i> ...	II, 50	<i>Lamproolina</i> ...	I, 178
<i>iracunda</i> BECHYNÉ (<i>Freudeita</i>) ...	I, 142	<i>Lamprophaes</i> ...	I, 116
<i>Irenes</i> ...	I, 122	<i>lampros</i> JACOBY (<i>Hermesia</i>) ...	I, 112
<i>Iscadida</i> ...	I, 176	<i>Lamprosoma</i> ...	I, 102
<i>Ischiopachys</i> ...	I, 88	<i>Lamprosphaerus</i> ...	I, 105
<i>Ischnocodia</i> ...	II, 92	<i>lanuginosa</i> BOHEMAN (<i>Diocomorpha</i>) ...	II, 80
<i>Ischyrolampra</i> ...	I, 104	<i>laportei</i> BALY (<i>Simaethea</i>) ...	II, 54
<i>Ischyronota</i> ...	II, 87	<i>lateralis</i> BALY (<i>Lamprosphaerus</i>) ...	I, 105
<i>Ischyrosonyx</i> ...	II, 85	<i>lateralis</i> JACOBY (<i>Nossioecus</i>) ...	I, 134

	Pages.		Pages.
<i>lateralis</i> LINNÉ (<i>Cyrtionota</i>)	II, 82	<i>longicollis</i> BALYS (<i>Pseudocolaspis</i>)	I, 129
<i>lateritia</i> LEFÈVRE (<i>Thyra</i>)	I, 139	<i>longicollis</i> JACOBY (<i>Liprus</i>)	II, 53
<i>latesuturata</i> FAIRMAIRE (<i>Antisanacida</i>)	II, 19	<i>longicornis</i> BALY (<i>Hylaspedes</i>)	II, 29
<i>laticlavia</i> FÜRSTER (<i>Anomoea</i>)	I, 78	<i>longicornis</i> FABRICIUS (<i>Luperus</i>)	II, 24
<i>laticollis</i> WEISE (<i>Microdera</i>)	I, 166	<i>longicornis</i> JACOBY (<i>Donacia</i>)	I, 47
<i>laticornis</i> GERMAR (<i>Pyesia</i>)	II, 22	<i>longicornis</i> JACOBY (<i>Macrolema</i>)	I, 68
<i>latifrons</i> WEISE (<i>Demothispa</i>)	II, 65	<i>longicornis</i> JACOBY (<i>Palaeothono</i>)	II, 46
<i>latipennis</i> BRYANT (<i>Pilacolaspis</i>)	I, 111	<i>longicornis</i> JACOBY (<i>Sominella</i>)	I, 49
<i>latipennis</i> CLARK (<i>Lilioceris</i>)	I, 63	<i>longicornis</i> WESTWOOD (<i>Pedrillia</i>)	I, 52
<i>Leasia</i>	I, 84	<i>longimana</i> FAIRMAIRE (<i>Arsoa</i>)	I, 130
<i>Lefevrea</i>	I, 109	<i>Longitarsus</i>	II, 46
<i>lefevrei</i> BALY (<i>Macrocoma</i>)	I, 128	<i>longula</i> FAIRMAIRE (<i>Androya</i>)	II, 77
<i>lefevrei</i> HAROLD (<i>Sybriacus</i>)	I, 117	<i>longula</i> QUEDENFELDT (<i>Lema</i>)	I, 64
<i>Lema</i>	I, 63	<i>Lophea</i>	I, 131
<i>leopoldi</i> LABOISSIÈRE (<i>Mahutia</i>)	II, 7	<i>Lophistomus</i>	I, 95
<i>lepersonneae</i> LABOISSIÈRE (<i>Toxaria</i>)	II, 55	<i>Lophobasis</i>	I, 76
<i>levida</i> OLIVIER (<i>Chrysolina</i>)	I, 153	<i>Lordiconia</i>	II, 89
<i>Leprocolaspis</i>	I, 143	<i>Loxopleurus</i>	I, 93
<i>Lepronida</i>	I, 114	<i>Loxoprosopus</i>	II, 60
<i>Lepronota</i>	I, 108	<i>luctuosa</i> SOLSKY (<i>Anidania</i>)	I, 129
<i>Leprotes</i>	I, 122	<i>ludicra</i> WEISE (<i>Monolepta</i>)	II, 39
<i>Leptartha</i>	II, 25	<i>lugubris</i> CLAVABEAU (<i>Crioceris</i>)	I, 63
<i>Leptaulaca</i>	II, 7	<i>lunulata</i> FABRICIUS (<i>Merilia</i>)	I, 77
<i>Lepthispa</i>	II, 71	<i>Luperaltica</i>	II, 45
<i>Leptinotarea</i>	I, 148	<i>Luperodes</i>	II, 23
<i>leptomorpha</i> BALY (<i>Solenispa</i>)	II, 65	<i>Luperomorpha</i>	II, 44
<i>Leptocena</i>	II, 16	<i>Luperosasia</i>	II, 23
<i>leseleuci</i> GUERRIN (<i>Acanthodes</i>)	II, 69	<i>Luperus</i>	II, 23
<i>letourneuxi</i> LEFÈVRE (<i>Malegia</i>)	I, 121	<i>Lupraea</i>	II, 46
<i>Leucastea</i>	I, 73	<i>lurida</i> ALLARD (<i>Hemiphracia</i>)	II, 11
<i>Leuciespa</i>	II, 72	<i>lurida</i> LINNÉ (<i>Chrysolina</i>)	I, 160
<i>Leucocera</i>	I, 149	<i>lusca</i> FABRICIUS (<i>Sebaethe</i>)	II, 58
<i>leveri</i> BRYANT (<i>Nesohaltica</i>)	II, 61	<i>Lusingania</i>	I, 19
<i>lewisi</i> JACOBY (<i>Xenarthra</i>)	II, 34	<i>lutea</i> PETAGNA (<i>Chrysolina</i>)	I, 150
<i>Lexiphanes</i>	I, 91	<i>luteicornis</i> FABRICIUS (<i>Ceratia</i>)	II, 5
<i>leyana</i> LATREILLE (<i>Craspedonta</i>)	II, 78	<i>luteimembris</i> PIC (<i>Macrolopha</i>)	I, 72
<i>libertinus</i> SUFFRIAN (<i>Loxopleurus</i>)	I, 93	<i>Lychnophaes</i>	I, 101
<i>lichenis</i> VOET (<i>Hapsidolema</i>)	I, 66	<i>Lygaria</i>	I, 175
<i>Licyllus</i>	II, 44	<i>Lystes</i>	I, 122
<i>lili</i> SCOPOLI (<i>Lilioceris</i>)	I, 63	<i>lyra</i> SPAETH (<i>Tetracassis</i>)	II, 94
<i>Lilioceris</i>	I, 63	<i>Lyraletes</i>	I, 142
<i>limbata</i> BALY (<i>Clitena</i>)	II, 12	<i>Lythraria</i>	II, 51
<i>limbata</i> BALY (<i>Hephispa</i>)	II, 70	 	
<i>limbata</i> BALY (<i>Sastru</i>)	II, 13	<i>Macetes</i>	I, 128
<i>limbata</i> FABRICIUS (<i>Chrysolina</i>)	I, 161	<i>Machomena</i>	I, 168
<i>limbata</i> STURM (<i>Platyachenia</i>)	II, 77	<i>Macrima</i>	II, 34
<i>limbatus</i> LABOISSIÈRE (<i>Decoomanius</i>)	II, 12	<i>macrocnemia</i> FISCHER (<i>Sominella</i>)	I, 48
<i>limbatus</i> LEFÈVRE (<i>Podoxyenus</i>)	I, 113	<i>Macrocoma</i>	I, 128
<i>Limenta</i>	I, 174	<i>Macrogonus</i>	I, 64
<i>lineata</i> FABRICIUS (<i>Zatrephina</i>)	II, 83	<i>Macrolema</i>	I, 68
<i>lineata</i> GÉNÉ (<i>Machomena</i>)	I, 168	<i>Macrolenes</i>	I, 76
<i>lineata</i> ROSSI (<i>Arrhenocoela</i>)	II, 51	<i>Macrolopha</i>	I, 72
<i>lineola</i> PANZER (<i>Orsodacne</i>)	I, 51	<i>Macromonycha</i>	II, 87
<i>Liniscus</i>	I, 134	<i>mactata</i> FAIRMAIRE (<i>Chrysolina</i>)	I, 152
<i>linnaei</i> DUTTSCHMID (<i>Longitarsus</i>)	II, 46	<i>macula</i> FABRICIUS (<i>Lactica</i>)	II, 50
<i>Lio</i>	I, 57	<i>maculata</i> OLIVIER (<i>Cephalodonta</i>)	II, 66
<i>Liorplacis</i>	I, 170	<i>maculicollis</i> BALY (<i>Cerochroa</i>)	II, 12
<i>Liprus</i>	II, 53	<i>maculicollis</i> CLARK (<i>Coraia</i>)	II, 9
<i>Lissochila</i>	II, 71	<i>maculicollis</i> JACOBY (<i>Hemydacte</i>)	I, 60
<i>Liroëtis</i>	II, 25	<i>maculicollis</i> JACOBY (<i>Meniellus</i>)	I, 135
<i>litura</i> GERSTÄCKER (<i>Escourtiana</i>)	II, 37	<i>maculicollis</i> JACOBY (<i>Paropsides</i>)	I, 171
<i>lituratus</i> FABRICIUS (<i>Bassareus</i>)	I, 95	<i>maculicollis</i> JACOBY (<i>Thrusygoeus</i>)	II, 60
<i>lividus</i> LECONTE (<i>Triarius</i>)	II, 8	<i>maculipennis</i> JACOBY (<i>Habrophora</i>)	I, 122
<i>livingstonei</i> JACOBY (<i>Ageniosa</i>)	I, 168	<i>maculosa</i> WEISE (<i>Paracantha</i>)	II, 7
<i>Livolia</i>	II, 52	<i>madagascariense</i> CHAPUIS (<i>Rhagiosoma</i>)	I, 33
<i>Lochmaea</i>	II, 16	<i>madagascariensis</i> ALLARD (<i>Haltica</i>)	II, 49

	Pages.		Pages.
<i>madagascariensis</i> JACOBY (<i>Eulychius</i>)	I, 134	<i>Melinophora</i>	I, 140
<i>Maecolaspis</i>	I, 112	<i>Melitonoma</i>	I, 81
<i>magica</i> HAROLD (<i>Hyphasis</i>)	II, 58	<i>Melizanthus</i>	I, 94
<i>magnei</i> SPAETH (<i>Aethiopocassis</i>)	II, 90	<i>Mellesia</i>	II, 7
<i>magnifica</i> DUVIVIER (<i>Hylaspoides</i>)	II, 29	<i>Mellesianella</i>	II, 8
<i>Mahutia</i>	II, 7	<i>melsheimeri</i> CROTCH (<i>Brachycorina</i>)	II, 69
<i>major</i> JACQUIN (<i>Tlanoma</i>)	II, 56	<i>mendax</i> LACORDAIRE (<i>Barybaena</i>)	I, 78
<i>Malacorrhinus</i>	II, 21	<i>Meniellus</i>	I, 135
<i>Malacotheria</i>	II, 18	<i>Menippus</i>	II, 17
<i>Malayocassis</i>	II, 90	<i>Menius</i>	I, 135
<i>Malegia</i>	I, 121	<i>menthastris</i> SUFFRIAN (<i>Chrysolina</i>)	I, 151
<i>malvae semirufa</i> KÜSTER (<i>Podagraria</i>)	II, 55	<i>merdigera</i> LINNÉ (<i>Lilioceris</i>)	I, 63
<i>Malvernia</i>	II, 46	<i>Merilia</i>	I, 77
<i>mance</i> CHAPUIS (<i>Irenes</i>)	I, 122	<i>Merista</i>	II, 17
<i>Mandarella</i>	II, 26	<i>Meristoides</i>	II, 25
<i>mandibularis</i> LACORDAIRE (<i>Nosognatha</i>)	I, 79	<i>Meroda</i>	I, 134
<i>mandli</i> SPAETH (<i>Vulpia</i>)	II, 80	<i>Mesomphalia</i>	II, 82
<i>Manipuria</i>	I, 64	<i>Mesoplatys</i>	I, 168
<i>mannerheimi</i> MOTSCHULSKY (<i>Rhaebus</i>)	I, 31	<i>Metachroma</i>	I, 125
<i>Manobia</i>	II, 51	<i>Metacycla</i>	II, 22
<i>Manobidia</i>	II, 47	<i>Metallactus</i>	I, 90
<i>Mantura</i>	II, 55	<i>metallica</i> FABRICIUS (<i>Stemispis</i>)	II, 65
<i>marcasitica</i> GERMAR (<i>Chrysolina</i>)	I, 154	<i>metallica</i> JACOBY (<i>Barombiella</i>)	II, 31
<i>marculenta</i> BOHEMAN (<i>Chaerocassis</i>)	II, 93	<i>metallica</i> JACOBSON (<i>Capula</i>)	II, 25
<i>margaritacea</i> LACORDAIRE (<i>Sphaerocharis</i>)	I, 102	<i>metallica</i> JACOBY (<i>Mimastracella</i>)	II, 5
<i>margaritacea</i> SCHALLER (<i>Mionycha</i>)	II, 89	<i>metallica</i> KLUG (<i>Chlamydocassis</i>)	II, 80
<i>marginalis</i> DUFTSCHMIDT (<i>Chrysolina</i>)	I, 157	<i>Melaparia</i>	I, 108
<i>marginalis</i> WEISE (<i>Blepharida</i>)	II, 56	<i>Metastyla</i>	I, 148
<i>marginata</i> CHAPUIS (<i>Metacycla</i>)	II, 22	<i>Metaxydera</i>	II, 67
<i>marginata</i> JACOBY (<i>Barombiella</i>)	II, 31	<i>Metaxyonycha</i>	I, 111
<i>marginata</i> LINNÉ (<i>Chrysolina</i>)	I, 151	<i>Metroidea</i>	II, 34
<i>marginata</i> LINNÉ (<i>Echoma</i>)	II, 84	<i>Metriona</i>	II, 93
<i>marginata</i> LATREILLE (<i>Mecistomela</i>)	II, 66	<i>Metriopasis</i>	II, 95
<i>marginatum</i> WEISE (<i>Hispostoma</i>)	I, 146	<i>Metriopella</i>	II, 94
<i>marginella</i> LINNÉ (<i>Hydrothassa</i>)	I, 165	<i>meticheli</i> BECHYNÉ (<i>Rhembastus</i>)	II, 77
<i>marginicollis</i> GUÉRIN (<i>Sphaerocharis</i>)	I, 102	<i>Micraenidea</i>	I, 136
<i>marginicollis</i> LABOISSIÈRE (<i>Cercyonia</i>)	II, 62	<i>Micrepitrix</i>	II, 36
<i>marginicollis</i> LEFÈVRE (<i>Coytiera</i>)	I, 110	<i>Micrispa</i>	II, 40
<i>marginipennis</i> SPAETH (<i>Pseudechoma</i>)	II, 84	<i>Microcloenocheira</i>	II, 74
<i>Mariamela</i>	I, 69	<i>microdera</i> LACORDAIRE (<i>Brachydactyla</i>)	II, 96
<i>Marscerula</i>	II, 40	<i>Microdonacia</i>	I, 61
<i>marshalli</i> CLARK (<i>Damelia</i>)	I, 120	<i>Microdonta</i>	I, 49
<i>martius</i> BALY (<i>Bucharis</i>)	I, 93	<i>Microezosoma</i>	II, 67
<i>Mashonania</i>	I, 109	<i>Microrhopala</i>	II, 38
<i>Mastacanthus</i>	I, 89	<i>Microtheca</i>	II, 70
<i>Mastostethus</i>	I, 70	<i>militaris</i> WEISE (<i>Pseudhispellia</i>)	I, 179
<i>maximus</i> PIC (<i>Falsocolobopeis</i>)	I, 74	<i>Miltina</i>	II, 75
<i>maynéi</i> BURGEON (<i>Obelistes</i>)	I, 119	<i>Mimastra</i>	II, 26
<i>Mecistes</i>	I, 132	<i>Mimastracella</i>	II, 24
<i>Mecistomela</i>	II, 66	<i>Mimolema</i>	II, 5
<i>Mecynodera</i>	I, 36	<i>Mindana</i>	I, 67
<i>Megaleruca</i>	II, 10	<i>Mindorina</i>	II, 33
<i>Megalognatha</i>	II, 20	<i>Minota</i>	II, 33
<i>Megalopus</i>	I, 71	<i>Minotula</i>	II, 54
<i>Megalostomis</i>	I, 84	<i>Minturnia</i>	II, 54
<i>megalostomoides</i> LACORDAIRE (<i>Pseudochlamys</i>)	I, 91	<i>minuta</i> JACOBY (<i>Odontiomorpha</i>)	II, 84
<i>Megamerus</i>	I, 32	<i>Miocalaspis</i>	II, 82
<i>Megapuya</i>	II, 78	<i>Miochira</i>	I, 83
<i>Megascelis</i>	I, 69	<i>Mionycha</i>	II, 89
<i>Megaspidomorpha</i>	II, 86	<i>Miopristis</i>	I, 76
<i>Megistomela</i>	I, 147	<i>mirabilis</i> BOHEMAN (<i>Proglima</i>)	II, 79
<i>Megistops</i>	II, 61	<i>mirabilis</i> HOPE (<i>Agetocera</i>)	I, 5
<i>melanocephala</i> PONZA (<i>Galeruca</i>)	I, 15	<i>Mitocera</i>	I, 96
<i>melanoptera</i> GERMAR (<i>Cacoscelis</i>)	I, 48	<i>Mniophila</i>	II, 62
<i>melanostoma</i> STÅL (<i>Eugonycha</i>)	I, 149	<i>modeeri</i> LINNÉ (<i>Hippuriphila</i>)	II, 62
<i>Melinobius</i>	I, 96		I, 52

	Pages.		Pages
<i>modesta</i> FABRICIUS (<i>Euryptela</i>)	I, 131	<i>Nerissidius</i> ..	I, 124
<i>Momaea</i> ..	II, 14	<i>Nerissus</i> ..	I, 123
<i>Mombasica</i> ..	II, 17	<i>Nesohaltica</i> ..	II, 61
<i>monardi</i> LABOISSIÈRE (<i>Chimporia</i>)	II, 40	<i>Nestinus</i> ..	II, 9
<i>Monardita</i> ..	I, 150	<i>neumani</i> WEISE (<i>Neolaetana</i>) ..	II, 7
<i>monoceros</i> OLIVIER (<i>Xenarescus</i>) ..	II, 65	<i>Nicea</i> ..	II, 14
<i>Monocesta</i> ..	II, 9	<i>niger</i> WEISE (<i>Ichnus</i>) ..	I, 93
<i>Monocestoides</i> ..	II, 17	<i>nigra</i> CHAPUIS (<i>Myrcina</i>) ..	II, 50
<i>Monochirus</i> ..	II, 74	<i>nigriceps</i> MOTSCHULSKY (<i>Agelasa</i>) ..	II, 29
<i>Monocida</i> ..	II, 38	<i>nigricollis</i> DUVIVIER (<i>Sphaerometopa</i>) ..	II, 58
<i>Monolepta</i> ..	II, 38	<i>nigricollis</i> JACOBY (<i>Syagrus</i>) ..	I, 135
<i>Monoleptocrania</i> ..	II, 39	<i>nigripenne</i> FABRICIUS (<i>Dircema</i>) ..	II, 9
<i>Monoplatus</i> ..	II, 59	<i>nigripes</i> ALLARD (<i>Mindana</i>) ..	II, 33
<i>Monoxia</i> ..	II, 41	<i>nigripes</i> BALY (<i>Aoria</i>) ..	I, 120
<i>monrosi</i> BECHYNÉ (<i>Periparia</i>) ..	I, 141	<i>nigripes</i> CLARK (<i>Poebates</i>) ..	II, 61
<i>Monrosiella</i> ..	I, 142	<i>nigripes</i> OLIVIER (<i>Jonthonota</i>) ..	II, 91
<i>morbilloea</i> CHAPUIS (<i>Lepronota</i>) ..	I, 108	<i>nigripes</i> WEISE (<i>Palimbola</i>) ..	I, 167
<i>mordicans</i> MARSHALL (<i>Cyno</i>) ..	I, 128	<i>nigrita</i> JACOBY (<i>Barymela</i>) ..	I, 146
<i>morio</i> KRYNICKI (<i>Chrysolina</i>) ..	I, 153	<i>nigrita</i> OLIVIER (<i>Anisostena</i>) ..	II, 68
<i>Morphosphaera</i> ..	II, 26	<i>nigroaenea</i> BOHEMAN (<i>Polychalca</i>) ..	II, 79
<i>Morphosphaerooides</i> ..	II, 20	<i>nigrocinctus</i> CHEVROLAT (<i>Mastostethus</i>) ..	I, 71
<i>mouhoti</i> BALY (<i>Aulacolepis</i>) ..	I, 134	<i>nigrocoeruleum</i> BALY (<i>Lamprosoma</i>) ..	I, 102
<i>mouhoti</i> CHAPUIS (<i>Amphimela</i>) ..	II, 61	<i>nigrofasciata</i> STÅL (<i>Melastyla</i>) ..	I, 148
<i>Mouhotina</i> ..	I, 136	<i>nigrolimbata</i> JACOBY (<i>Cynorita</i>) ..	II, 33
<i>mucida</i> SAY (<i>Coccinoptera</i>) ..	I, 85	<i>nigromaculata</i> QUEDENFELDT (<i>Chrysolina</i>) ..	I, 152
<i>mucronata</i> JACOBY (<i>Monrosiella</i>) ..	I, 142	<i>nigropicta</i> LEFFÈVRE (<i>Aethomorpha</i>) ..	I, 80
<i>multicava</i> LATREILLE (<i>Polychalma</i>) ..	II, 81	<i>nigrosignata</i> BOHEMAN (<i>Ischyrosonyx</i>) ..	II, 85
<i>multiplagiata</i> WAGENER (<i>Basiprionota</i>) ..	II, 77	<i>nigrosuturalis</i> JACOBY (<i>Rudolphia</i>) ..	II, 41
<i>murina</i> GERSTÄCKER (<i>Bryphonella</i>) ..	II, 17	<i>nigrovittata</i> JACOBY (<i>Brachyphora</i>) ..	II, 36
<i>murina</i> WESTWOOD (<i>Antonaria</i>) ..	I, 72	<i>Nirina</i> ..	II, 11
<i>murraci</i> LINNÉ (<i>Pseudocassida</i>) ..	II, 89	<i>Nirinoides</i> ..	II, 11
<i>murrayi</i> BALY (<i>Cryptonychus</i>) ..	II, 72	<i>Nisotra</i> ..	II, 55
<i>murrayi</i> BOHEMAN (<i>Patrisma</i>) ..	II, 86	<i>nitida</i> BALY (<i>Cyclomela</i>) ..	I, 168
<i>murrayi</i> CHAPUIS (<i>Casmrena</i>) ..	I, 124	<i>nitida</i> UHMANN (<i>Hybosista</i>) ..	II, 65
<i>murrayi</i> CHAPUIS (<i>Ennodius</i>) ..	I, 128	<i>nitidicollis</i> LACORDAIRE (<i>Teinocera</i>) ..	I, 76
<i>murrayi</i> CLARK (<i>Hypolampsis</i>) ..	II, 61	<i>nitidum</i> LACORDAIRE (<i>Lamprosoma</i>) ..	I, 102
<i>musciformis</i> GOEZE (<i>Chilotoma</i>) ..	I, 82	<i>nobilis</i> LEFFÈVRE (<i>Cleorina</i>) ..	I, 136
<i>mutabilis</i> SAHLBERG (<i>Ootheca</i>) ..	II, 37	<i>nobilitala</i> FABRICIUS (<i>Asphaera</i>) ..	II, 57
<i>mutica</i> FABRICIUS (<i>Haemonia</i>) ..	I, 46	<i>nodicornis</i> LABOISSIÈRE (<i>Becquaertinia</i>) ..	II, 42
<i>Myochrous</i> ..	I, 132	<i>Nodina</i> ..	I, 118
<i>Myrcina</i> ..	II, 50	<i>Nodocolaspis</i> ..	I, 141
<i>Myrcinella</i> ..	II, 50	<i>Nodonota</i> ..	I, 108
<i>Myrcinoides</i> ..	II, 51	<i>Nodostoma</i> ..	I, 117
<i>Nabathaea</i> ..	II, 87	<i>Nodostonopa</i> ..	I, 120
<i>Nadrana</i> ..	II, 34	<i>nodulosa</i> BOHEMAN (<i>Hybosinota</i>) ..	II, 86
<i>nagpurensis</i> DUVIVIER (<i>Mandarella</i>) ..	II, 26	<i>Nonarthra</i> ..	II, 63
<i>nair</i> LACORDAIRE (<i>Ceratobasis</i>) ..	I, 83	<i>normalis</i> BALY (<i>Eurispa</i>) ..	I, 71
<i>nakanei</i> CHÔJÔ (<i>Orsodacne</i>) ..	I, 51	<i>normalis</i> GERMAR (<i>Spaethiechoma</i>) ..	II, 84
<i>Nancita</i> ..	II, 33	<i>Nosognatha</i> ..	I, 79
<i>nanulus</i> HABOLD (<i>Rhembastus</i>) ..	I, 135	<i>Nossioecus</i> ..	I, 134
<i>natalensis</i> JACOBY (<i>Casmenella</i>) ..	I, 124	<i>notata</i> BOHEMAN (<i>Cistudinella</i>) ..	II, 85
<i>Nebraspis</i> ..	II, 82	<i>notata</i> FABRICIUS (<i>Centroscelis</i>) ..	I, 172
<i>Nebroma</i> ..	II, 79	<i>notatipennis</i> CHAPUIS (<i>Faex</i>) ..	I, 172
<i>nebulosa</i> LINNÉ (<i>Cassida</i>) ..	II, 89	<i>Notosacantha</i> ..	II, 77
<i>Neobrotica</i> ..	II, 22	<i>Notozona</i> ..	II, 57
<i>Neochalecoplaxis</i> ..	I, 143	<i>nubilosa</i> BOHEMAN (<i>Aidoia</i>) ..	II, 92
<i>Neocles</i> ..	I, 132	<i>nucea</i> LEFFÈVRE (<i>Choris</i>) ..	I, 107
<i>Neodiaphanops</i> ..	I, 36	<i>nucleorum</i> FABRICIUS (<i>Pachymerus</i>) ..	I, 32
<i>Neohaemonia</i> ..	I, 47	<i>Nuzonia</i> ..	II, 93
<i>Neolaetana</i> ..	II, 7	<i>Nycterodina</i> ..	I, 143
<i>Neolepta</i> ..	II, 32	<i>Nyctiphantus</i> ..	II, 41
<i>Neolochmaea</i> ..	II, 16	<i>Nyetra</i> ..	I, 92
<i>Neomahutia</i> ..	II, 7	<i>nymphaeae</i> LINNÉ (<i>Galerucella</i>) ..	II, 10
<i>Neorthaea</i> ..	II, 56	<i>Nympharescus</i> ..	II, 66
<i>Neorupilia</i> ..	II, 40	<i>Obelistes</i> ..	I, 119

	Pages.		Pages.
<i>oberthuri</i> JACOBY (<i>Meristoides</i>)	II, 25	<i>Otlea</i>	I, 115
<i>obscura</i> HAROLD (<i>Isoleprona</i>)	I, 142	<i>Otiocephala</i>	I, 81
<i>obscura</i> JACOBY (<i>Zipangia</i>)	II, 46	<i>Ovamela</i>	I, 64
<i>obscurella</i> SUFFRIAN (<i>Chrysolina</i>)	I, 159	<i>ovata</i> BOHEMAN (<i>Enagria</i>)	II, 85
<i>obscuricollis</i> FAIRMAIRE (<i>Androya</i>)	II, 77	<i>Oxycephala</i>	II, 72
<i>obscurithorax</i> PIO (<i>Rhagiosoma</i>)	I, 33	<i>Oxygona</i>	II, 47
<i>obscurus</i> LINNÉ (<i>Bromius</i>)	I, 129	<i>Oxylepis</i>	II, 87
<i>obsoleta</i> BRULLÉ (<i>Chrysolina</i>)	I, 158	<i>Pachnephorus</i>	I, 133
<i>obsoleta</i> FABRICIUS (<i>Exora</i>)	II, 21	<i>Pachybrachys</i>	I, 90
<i>obtecta</i> FAIRMAIRE (<i>Chelysida</i>)	II, 88	<i>Pachymerus</i>	I, 32
<i>occidentalis</i> WEISE (<i>Belona</i>)	II, 6	<i>Pachyonichis</i>	II, 57
<i>occidentalis</i> WEISE (<i>Copa</i>)	II, 7	<i>Pachytomella</i>	II, 12
<i>occipitalis</i> JACOBY (<i>Gynandrophthalma</i>)	I, 82	<i>Pagellia</i>	I, 120
<i>Ochrosis</i>	II, 52	<i>Pagria</i>	I, 118
<i>Ochroscopsis</i>	I, 96	<i>Palaeophylia</i>	II, 42
<i>Ocnoscelis</i>	II, 48	<i>Palaeothona</i>	II, 46
<i>Ocnosipa</i>	II, 67	<i>Palesida</i>	I, 127
<i>Ochthispa</i>	II, 69	<i>Palimbola</i>	I, 167
<i>octodecimguttata</i> FABRICIUS (<i>Chalcolampra</i>)	I, 175	<i>Pallasiola</i>	II, 41
<i>Octodonta</i>	II, 72	<i>Pallena</i>	I, 127
<i>Octogonotes</i>	II, 60	<i>pallens</i> FABRICIUS (<i>Physauchenia</i>)	I, 82
<i>octomaculata</i> JACOBY (<i>Chrysogramma</i>)	II, 47	<i>pallens</i> BOHEMAN (<i>Basipta</i>)	II, 87
<i>Octotoma</i>	II, 69	<i>pallipes</i> OLIVIER (<i>Diapromorpha</i>)	I, 79
<i>odewahni</i> BALY (<i>Leucispa</i>)	II, 72	<i>palliata</i> FABRICIUS (<i>Clytrasoma</i>)	I, 80
<i>Odontiomorpha</i>	I, 119	<i>pallicornis</i> FABRICIUS (<i>Sermyleoides</i>)	II, 31
<i>Odontionopa</i>	I, 119	<i>pallida</i> ERICHSON (<i>Stenomela</i>)	I, 58
<i>Odontionycha</i>	II, 89	<i>pallida</i> JACOBY (<i>Doryidella</i>)	II, 30
<i>Oedionychus</i>	II, 57	<i>pallida</i> OLIVIER (<i>Chrysophtharta</i>)	I, 171
<i>Ogdoecosta</i>	II, 84	<i>pallidicornis</i> BALY (<i>Nadrana</i>)	II, 34
<i>Oides</i>	II, 3	<i>pallidipennis</i> BOHEMAN (<i>Omaspides</i>)	II, 84
<i>Oidosoma</i>	I, 175	<i>pallipes</i> WEISE (<i>Paradecatelia</i>)	II, 67
<i>Oidomorpha</i>	II, 4	<i>palpalis</i> LABOISSIÈRE (<i>Mindorina</i>)	II, 33
<i>olivieri</i> LEFÈVRE (<i>Pygocolaspis</i>)	I, 142	<i>Palpoxena</i>	II, 35
<i>olliffi</i> BLACKBURN (<i>Richmondia</i>)	I, 178	<i>panamensis</i> JACOBY (<i>Iachirolampra</i>)	I, 104
<i>Olorus</i>	I, 130	<i>panamensis</i> JACOBY (<i>Pseudogona</i>)	II, 47
<i>Omaspides</i>	II, 84	<i>pantherina</i> BLANCHARD (<i>Herissa</i>)	II, 81
<i>Omocerus</i>	II, 79	<i>Pantocometis</i>	I, 83
<i>Omoteina</i>	II, 81	<i>parapuana</i> BRYANT (<i>Manobia</i>)	II, 51
<i>Omotyphus</i>	II, 60	<i>Paracantha</i>	II, 7
<i>Oncocephala</i>	II, 73	<i>Paradecatelia</i>	II, 67
<i>Ocassida</i>	II, 89	<i>Paradibolia</i>	II, 61
<i>Ootheca</i>	II, 37	<i>Paradownesia</i>	II, 74
<i>opacicollis</i> LEFÈVRE (<i>Phaedrias</i>)	I, 106	<i>paradoxa</i> CLARK (<i>Pachyonichis</i>)	II, 57
<i>opuscus</i> BECHYNÉ (<i>Pygomolpus</i>)	I, 137	<i>paradoxa</i> LABOISSIÈRE (<i>Acroxena</i>)	II, 35
<i>Ophrida</i>	II, 56	<i>paradoxa</i> LACORDAIRE (<i>Diplacaspis</i>)	I, 99
<i>opulenta</i> REICHE (<i>Monardita</i>)	I, 150	<i>paradoxa</i> MONROS (<i>Janbechyneia</i>)	I, 40
<i>Orestia</i>	II, 52	<i>paradoxa</i> SHARP (<i>Alema</i>)	II, 53
<i>Orexita</i>	II, 92	<i>Paraenidea</i>	II, 36
<i>oricalcia</i> MÜLLEE (<i>Chrysolina</i>)	I, 153	<i>Parageina</i>	II, 41
<i>orientalis</i> BALY (<i>Xuthea</i>)	II, 52	<i>Paralina</i>	I, 162
<i>orientalis</i> OLIVIER (<i>Chrysolina</i>)	I, 159	<i>parallelipennis</i> SPAETH (<i>Sindiola</i>)	II, 86
<i>ornata</i> BALY (<i>Camerounia</i>)	I, 177	<i>Paraluperodes</i>	II, 23
<i>ornata</i> RETTER (<i>Aphilenia</i>)	I, 119	<i>Parametriona</i>	II, 93
<i>ornatipennis</i> FAIRMAIRE (<i>Ovamela</i>)	I, 64	<i>Paranota</i>	II, 81
<i>ornatus</i> JACOBY (<i>Pseudolpus</i>)	I, 118	<i>Parasbecesta</i>	II, 37
<i>Ornithognathus</i>	II, 20	<i>Paraselenis</i>	II, 83
<i>orphana</i> ERICHSON (<i>Pyrgo</i>)	I, 172	<i>Paratauroma</i>	II, 79
<i>Orphnoda</i>	II, 87	<i>Paraulaca</i>	II, 26
<i>Orphnodella</i>	II, 87	<i>pardalis</i> WEISE (<i>Uhehlia</i>)	I, 124
<i>Orphnodina</i>	II, 87	<i>Parechoma</i>	II, 84
<i>Oreodacne</i>	I, 51	<i>Paria</i>	I, 137
<i>Orthalitica</i>	II, 53	<i>Paridea</i>	II, 25
<i>Orthocrepis</i>	II, 49	<i>Parlina</i>	II, 49
<i>Orthoxia</i>	II, 13	<i>Parnope</i>	I, 123
<i>Orthoxicoides</i>	II, 11	<i>Paromaspides</i>	II, 85
<i>oscultati</i> GUÉRIN (<i>Canistra</i>)	II, 80		

	Pages.		Pages.
<i>Paropsides</i> ...	I, 171	<i>picta</i> BALY (<i>Clitea</i>) ..	II, 55
<i>Paropsis</i> ...	I, 170	<i>picta</i> BOHEMAN (<i>Orezastra</i>) ..	II, 92
<i>Paropsisterna</i> ...	I, 171	<i>picta</i> PERTY (<i>Balya</i>) ..	I, 107
<i>Parorectis</i> ...	II, 92	<i>pictipennis</i> BOHEMAN (<i>Clorindina</i>) ..	I, 170
<i>parva</i> CHAPUIS (<i>Elithia</i>) ..	II, 45	<i>picturata</i> CLAVAREAU (<i>Elisabethana</i>) ..	I, 67
<i>Patria</i> ...	II, 86	<i>Pilacolaspis</i> ..	I, 111
<i>Pausiris</i> ...	I, 127	<i>Pilemostoma</i> ..	II, 89
<i>Pausiroopsis</i> ...	I, 127	<i>pilifrons</i> LABOISSIÈRE (<i>Dorylomorpha</i>) ..	II, 30
<i>pectoralis</i> CLARK (<i>Oides</i>) ..	II, 3	<i>pilosa</i> SPAETH (<i>Crossocassis</i>) ..	II, 88
<i>pectoralis</i> LABOISSIÈRE (<i>Erganooides</i>) ..	II, 38	<i>pilosula</i> BOHEMAN (<i>Trichaspis</i>) ..	II, 88
<i>pectoralis</i> LABOISSIÈRE (<i>Trichomimastra</i>) ..	II, 24	<i>pilula</i> CLARK (<i>Cyclonoda</i>) ..	I, 168
<i>pectoralis</i> LEFÈVRE (<i>Campylochira</i>) ..	I, 113	<i>pilula</i> KLUG (<i>Carcinobaena</i>) ..	I, 99
<i>Pedrillia</i> ...	I, 52	<i>placans</i> SPAETH (<i>Metriionella</i>) ..	II, 94
<i>Pedrilliomorpha</i> ..	I, 52	<i>plagiata</i> DUVIVIER (<i>Pseudochytra</i>) ..	I, 81
<i>Pentamesa</i> ...	II, 62	<i>plagiata</i> KLUG (<i>Leucastea</i>) ..	I, 73
<i>Penthispa</i> ...	II, 70	<i>Plagiodera</i> ..	I, 166
<i>peplopterooides</i> WEISE (<i>Exomis</i>) ..	I, 82	<i>Plagiometriona</i> ..	II, 93
<i>Peploptera</i> ...	I, 79	<i>Plastonothus</i> ..	I, 104
<i>peregrina</i> HERRICH-SCHAFFER (<i>Chrysolina</i>) ..	I, 153	<i>Plateumaris</i> ..	I, 49
<i>Periclitena</i> ...	II, 12	<i>Platyarchenia</i> ..	II, 77
<i>Periparia</i> ...	I, 141	<i>Platycolaspis</i> ..	I, 112
<i>perreiri</i> FAIRMAIRE (<i>Terpnochlorus</i>) ..	II, 63	<i>Platycyla</i> ..	II, 85
<i>perrieri</i> FAIRMAIRE (<i>Donaciasta</i>) ..	I, 48	<i>Platymela</i> ..	I, 174
<i>perroti</i> DUVIVIER (<i>Monocestoides</i>) ..	II, 17	<i>platynota</i> GERMAR (<i>Desmonata</i>) ..	II, 79
<i>Phaedon</i> ...	I, 164	<i>Platypria</i> ..	I, 76
<i>Phaedonia</i> ...	I, 167	<i>Platytaroma</i> ..	II, 79
<i>Phaedrias</i> ...	I, 106	<i>Platyxantha</i> ..	II, 35
<i>Phaedroides</i> ...	I, 118	<i>Platyxanthoides</i> ..	II, 35
<i>Phanaeta</i> ...	I, 140	<i>plebejus</i> LEFÈVRE (<i>Phytorus</i>) ..	I, 136
<i>Phascus</i> ...	I, 120	<i>Plecomera</i> ..	I, 77
<i>phellandrii</i> LINNÉ (<i>Prasocuris</i>) ..	I, 166	<i>Plectonycha</i> ..	I, 65
<i>Pheloticus</i> ...	I, 134	<i>Plectotetra</i> ..	II, 54
<i>Phidodonta</i> ...	II, 75	<i>Pleomorphus</i> ..	I, 92
<i>Philaspis</i> ...	II, 93	<i>Plesiopa</i> ..	II, 72
<i>philippinensis</i> LEFÈVRE (<i>Phaedroides</i>) ..	I, 118	<i>Pneshes</i> ..	I, 86
<i>philippina</i> SPAETH (<i>Thlaspidosoma</i>) ..	II, 90	<i>Podagrica</i> ..	I, 55
<i>philippinensis</i> JOLIVET (<i>Chrysolinoides</i>) ..	I, 150	<i>Podontia</i> ..	I, 56
<i>Phillydronopa</i> ...	I, 171	<i>Podostraba</i> ..	I, 92
<i>Philopona</i> ...	II, 57	<i>Podozenus</i> ..	I, 113
<i>Phoenicodera</i> ...	I, 79	<i>Poëbates</i> ..	II, 61
<i>Phratora</i> ...	I, 173	<i>Poecilaspiddella</i> ..	II, 83
<i>Phrynocephha</i> ...	II, 49	<i>Poecilomorpha</i> ..	I, 73
<i>Phygasia</i> ...	II, 51	<i>Poëphilina</i> ..	II, 54
<i>Phyllecithrus</i> ..	II, 23	<i>poegi</i> CHEVROLAT (<i>Leucocera</i>) ..	I, 149
<i>Phyllobrotica</i> ...	II, 21	<i>polita</i> KLUG (<i>Philaspis</i>) ..	II, 93
<i>Phyllobroticella</i> ...	II, 19	<i>polita</i> LINNÉ (<i>Chrysolina</i>) ..	I, 154
<i>Phyllocharis</i> ..	I, 175	<i>polita</i> WEISE (<i>Potaninia</i>) ..	I, 177
<i>Phyllocharoides</i> ...	I, 176	<i>Polyachus</i> ..	I, 91
<i>Phyllotreta</i> ...	II, 45	<i>Polychalca</i> ..	II, 79
<i>Physauchenia</i> ...	I, 82	<i>Polychalma</i> ..	II, 81
<i>Physimerus</i> ...	II, 59	<i>Polyconia</i> ..	II, 75
<i>Physocoryna</i> ..	II, 69	<i>polygoni</i> LINNÉ (<i>Gastrophysa</i>) ..	I, 164
<i>Physodactyla</i> ...	II, 59	<i>Polyoptilus</i> ..	I, 34
<i>Phyeoma</i> ...	II, 58	<i>Polyspila</i> ..	I, 148
<i>Physonaspis</i> ..	II, 85	<i>polyspila</i> GERMAR (<i>Polyspila</i>) ..	I, 148
<i>Physonota</i> ...	II, 85	<i>Poneridia</i> ..	II, 14
<i>Physonychis</i> ..	II, 58	<i>populi</i> LINNÉ (<i>Chrysomela</i>) ..	I, 167
<i>Phytodectoidea</i> ...	II, 84	<i>Porphytoma</i> ..	II, 11
<i>Phytorus</i> ...	I, 136	<i>Potaninia</i> ..	I, 177
<i>picea</i> FABRICIUS (<i>Stenoplatus</i>) ..	II, 36	<i>pradieri</i> LEFÈVRE (<i>Colaspisoma</i>) ..	I, 126
<i>picea</i> JACOBY (<i>Pseudodibolia</i>) ..	II, 54	<i>prasina</i> WEISE (<i>Weiseocassis</i>) ..	II, 86
<i>picea</i> JACOBY (<i>Trichiona</i>) ..	I, 136	<i>Prasocuris</i> ..	I, 166
<i>picea</i> OLIVIER (<i>Dicranosterna</i>) ..	I, 169	<i>Prasoidea</i> ..	I, 119
<i>piceipes</i> BALY (<i>Abirus</i>) ..	I, 130	<i>Prasona</i> ..	II, 48
<i>piceus</i> SUFFRIAN (<i>Pachybrachys</i>) ..	I, 90	<i>Prasonotus</i> ..	I, 93
<i>picina</i> BOHEMAN (<i>Spaethiella</i>) ..	II, 78	<i>pretirosa</i> BALY (<i>Eustena</i>) ..	II, 38

	Pages.		Pages.
<i>Prionesthis</i> ..	I, 34	<i>punctatosulcatus</i> FAIRMAIRE (<i>Eurydemus</i>) ..	I, 135
<i>Prionispa</i> ..	II, 73	<i>punctatus</i> GEBLER (<i>Chrysochus</i>) ..	I, 139
<i>Prionodera</i> ..	I, 111	<i>punctatus</i> LABOSSIÈRE (<i>Aulamorphus</i>) ..	II, 37
<i>Prionopleura</i> ..	I, 97	<i>puncticollis</i> SAY (<i>Monoxia</i>) ..	II, 41
<i>Probaenia</i> ..	II, 69	<i>punctigera</i> ACHARA (<i>Microtheca</i>) ..	I, 179
<i>Procalus</i> ..	II, 9	<i>pupillata</i> BOHEMAN (<i>Charidotis</i>) ..	II, 95
<i>Proctophana</i> ..	I, 85	<i>purpurascens</i> GERMAR (<i>Chrysolina</i>) ..	I, 160
<i>Proëgmena</i> ..	II, 32	<i>purpurata</i> GUÉRIN (<i>Melaxyecera</i>) ..	II, 67
<i>Proglima</i> ..	II, 79	<i>purpureipennis</i> CLARK (<i>Tenosis</i>) ..	II, 53
<i>Promecosoma</i> ..	I, 111	<i>pusia</i> SUFFRIAN (<i>Diachus</i>) ..	I, 95
<i>Promecotheca</i> ..	II, 73	<i>Pyesia</i> ..	II, 22
<i>Propiasus</i> ..	II, 49	<i>pygmaea</i> SPAETH (<i>Nabathaea</i>) ..	II, 87
<i>Prosicela</i> ..	I, 148	<i>Pygocolaspis</i> ..	I, 142
<i>Prosopodonta</i> ..	II, 66	<i>Pygomolpus</i> ..	I, 137
<i>proteus</i> WEISE (<i>Nympharescus</i>) ..	II, 66	<i>pyrenaica</i> DUFOUR (<i>Chrysolina</i>) ..	I, 160
<i>Protoclytra</i> ..	I, 80	<i>Pyrgo</i> ..	I, 172
<i>Protogaleruca</i> ..	II, 10	<i>pyritosus</i> ROSSI (<i>Neophaedon</i>) ..	I, 164
<i>proxime</i> BOHEMAN (<i>Poecilaspidella</i>) ..	II, 83	<i>Pyropida</i> ..	I, 125
<i>proxima</i> GESTRO (<i>Oncocephalia</i>) ..	II, 73	<i>Pyrhalta</i> ..	II, 10
<i>Psalidoma</i> ..	II, 88	<i>Pyxis</i> ..	I, 174
<i>Psalidonota</i> ..	II, 92		
<i>Psathyrocerus</i> ..	I, 57	<i>quadraticollis</i> BOHEMAN (<i>Goniochenia</i>) ..	II, 81
<i>Pseudabirus</i> ..	I, 130	<i>quadraticollis</i> LACORDAIRE (<i>Plecomera</i>) ..	I, 77
<i>Pseudadimonia</i> ..	II, 13	<i>quadrigemina</i> SUFFRIAN (<i>Chrysolina</i>) ..	I, 153
<i>Pseudaphosomyx</i> ..	II, 31	<i>quadrinaculata</i> LINNÉ (<i>Phyllobrotica</i>) ..	II, 21
<i>Pseudaphophylia</i> ..	II, 42	<i>quadrinaculatus</i> JACOBY (<i>Elyces</i>) ..	II, 22
<i>Pseudechoma</i> ..	II, 84	<i>quadrinodosa</i> BOHEMAN (<i>Zeugonota</i>) ..	II, 80
<i>Pseudedusia</i> ..	I, 131	<i>quadrripunctata</i> LACORDAIRE (<i>Euryscopa</i>) ..	I, 85
<i>Pseudhisrella</i> ..	II, 75	<i>quadrripunctata</i> LINNÉ (<i>Clytra</i>) ..	I, 80
<i>Pseudispa</i> ..	II, 67	<i>quadrripunctatus</i> JACOBY (<i>Iphitroides</i>) ..	II, 50
<i>Pseudocassida</i> ..	II, 89	<i>quadrripustulata</i> BALY (<i>Caritheca</i>) ..	II, 32
<i>Pseudochlamys</i> ..	I, 99	<i>quadrivittata</i> CHAMPION (<i>Terpsis</i>) ..	II, 83
<i>Pseudoclytra</i> ..	I, 81	<i>quadrivittatus</i> JACOBY (<i>Macrogonus</i>) ..	I, 64
<i>Pseudocolaspis</i> ..	I, 129	<i>quaterna</i> FAIRMAIRE (<i>Paraluperodes</i>) ..	II, 23
<i>Pseudocophora</i> ..	II, 5	<i>quatuordecimcostata</i> LEFÈVRE (<i>Sternocolaspis</i>) ..	I, 141
<i>Pseudocrania</i> ..	II, 38	<i>quatuordecimnotata</i> FAIRMAIRE (<i>Candezoïdes</i>) ..	II, 40
<i>Pseudodera</i> ..	II, 53		
<i>Pseudodibolia</i> ..	II, 54		
<i>Pseudogona</i> ..	II, 47	<i>rajah</i> GUÉRIN (<i>Sphaerolina</i>) ..	I, 162
<i>Pseudoides</i> ..	II, 27	<i>recticollis</i> JACOBY (<i>Cyresylus</i>) ..	II, 47
<i>Pseudolema</i> ..	I, 65	<i>reichei</i> CHAPUIS (<i>Plesispa</i>) ..	II, 72
<i>Pseudoliroëtis</i> ..	II, 25	<i>reimeri</i> KOLBE (<i>Exothipsa</i>) ..	II, 73
<i>Pseudolopbus</i> ..	I, 118	<i>religiosa</i> LACORDAIRE (<i>Scaphigenia</i>) ..	I, 84
<i>Pseudomela</i> ..	I, 162	<i>reticulata</i> BALY (<i>Rhadinosa</i>) ..	II, 75
<i>Pseudorupilia</i> ..	II, 21	<i>retiferus</i> BALY (<i>Endoschyrus</i>) ..	I, 139
<i>Pseudostola</i> ..	I, 128	<i>Rhabdopterus</i> ..	I, 114
<i>Pseudotoxotus</i> ..	I, 34	<i>Rhacocassis</i> ..	II, 90
<i>Psilurus</i> ..	II, 66	<i>Rhadinosa</i> ..	II, 75
<i>Psylliodes</i> ..	II, 63	<i>Rhaebus</i> ..	I, 31
<i>pubescens</i> CLARK (<i>Hapalotrius</i>) ..	II, 60	<i>Rhagiosoma</i> ..	I, 33
<i>pubescens</i> FABRICIUS (<i>Glyptoscelis</i>) ..	I, 132	<i>Raphidopalpa</i> ..	II, 4
<i>pubescens</i> KOCH (<i>Epithrix</i>) ..	II, 53	<i>Rhembastus</i> ..	I, 135
<i>pubescens</i> LABOSSIÈRE (<i>Trochosepharia</i>) ..	II, 32	<i>Rhinotmetus</i> ..	II, 59
<i>pugionata</i> GERMAR (<i>Dorynota</i>) ..	II, 81	<i>Rhoa</i> ..	II, 91
<i>pulchella</i> BALY (<i>Phrynocepha</i>) ..	II, 49	<i>Rhoicus</i> ..	II, 59
<i>pulchella</i> CHAPUIS (<i>Odontionopa</i>) ..	I, 119	<i>Rhombosternus</i> ..	I, 94
<i>pulchella</i> DUVIVIER (<i>Antianaka</i>) ..	II, 18	<i>Rhyparida</i> ..	I, 125
<i>pulchella</i> GUÉRIN (<i>Acentroptera</i>) ..	II, 67	<i>Richmondia</i> ..	I, 178
<i>pulchella</i> LABOSSIÈRE (<i>Poëphilina</i>) ..	II, 54	<i>robinsoni</i> BALY (<i>Ochthispa</i>) ..	II, 69
<i>pulcher</i> BALY (<i>Chrysochus</i>) ..	I, 139	<i>robusta</i> JACOBY (<i>Trachyscelida</i>) ..	II, 22
<i>pulvinosus</i> BLANCHARD (<i>Dictyneis</i>) ..	I, 132	<i>robusta</i> SPAETH (<i>Dyscineta</i>) ..	II, 92
<i>prumilus</i> LABOSSIÈRE (<i>Arthrotus</i>) ..	II, 30	<i>robustus</i> ALLARD (<i>Coeligethes</i>) ..	II, 42
<i>punctata</i> DUVIVIER (<i>Buphonida</i>) ..	II, 16	<i>robustus</i> JACOBY (<i>Auranius</i>) ..	I, 131
<i>punctatissima</i> CHAPUIS (<i>Botryonopa</i>) ..	II, 70	<i>Rohania</i> ..	II, 42
<i>punctatissima</i> OLIVIER (<i>Megistomela</i>) ..	I, 147	<i>rossia</i> ILLIGER (<i>Chrysolina</i>) ..	I, 155
<i>punctatostrigata</i> MOTSCHULSKY (<i>Sangariola</i>) ..	II, 51	<i>rotundata</i> MOTSCHULSKY (<i>Nodina</i>) ..	I, 118
		<i>ruandana vulcania</i> LABOSSIÈRE (<i>Megalognatha</i>) ..	II, 20

Pages.	Pages.
rubicunda GUÉRIN (<i>Metrionaspis</i>)	II, 95
rubiginosa GERSTÄCKER (<i>Physodactyla</i>)	II, 59
rubiginosa GUÉRIN (<i>Canistra</i>)	II, 80
rubiginosa MÜLLER (<i>Cassida</i>)	II, 89
rubiginosus GUÉRIN (<i>Baliosus</i>)	II, 68
rubra LATREILLE (<i>Euryope</i>)	I, 126
rubra OLIVIER (<i>Calliaspis</i>)	II, 78
rubricosus BOHEMAN (<i>Argopus</i>)	II, 62
Rudolphia	II, 41
rufa DE GEER (<i>Antipa</i>)	I, 78
rufa DUFTSCHMIDT (<i>Chrysolina</i>)	I, 159
rufa GERMAR (<i>Galeruca</i>)	II, 15
rufa GUÉRIN (<i>Anisocera</i>)	II, 70
ruficeps BOISDUVAL (<i>Calomela</i>)	I, 174
ruficeps WEISE (<i>Pachytomella</i>)	II, 12
ruficollis FABRICIUS (<i>Charistena</i>)	II, 67
ruficollis LEFÈVRE (<i>Phanaeta</i>)	I, 140
ruficollis LUCAS (<i>Orthocrepis</i>)	II, 49
rufifrons LACORDAIRE (<i>Anomoea</i>)	I, 78
rufifrons OLIVIER (<i>Colaspidea</i>)	I, 163
rufimanus LEFÈVRE (<i>Cleptor</i>)	I, 129
rufinus LEFÈVRE (<i>Euryurus</i>)	I, 110
rufipennis LACORDAIRE (<i>Babia</i>)	I, 87
rufipes LEFÈVRE (<i>Sterneurus</i>)	I, 117
rufipes LINNÉ (<i>Derocrepis</i>)	II, 52
rufitarsis ALLARD (<i>Phyllotreta</i>)	II, 45
rufitarsis LEFÈVRE (<i>Colaspoides</i>)	I, 140
rufiventris ERICHSON (<i>Chalcoplacis</i>)	I, 105
rufofemorata HEYDEN (<i>Chrysolina</i>)	I, 158
rufus PHILIPPI (<i>Psathyrocerus</i>)	I, 57
rugiceps BALY (<i>Chaetocnema</i>)	II, 55
rugicollis DE BORRE (<i>Crioceris</i>)	I, 63
rugosa BALY (<i>Duboulaia</i>)	I, 33
rugosa BOHEMAN (<i>Parorectis</i>)	II, 92
rugulosa BROWN (<i>Trachypheta</i>)	II, 45
rugulosus LEFÈVRE (<i>Dicolectes</i>)	I, 124
rumicis FABRICIUS (<i>Entomoscelis</i>)	I, 178
rustica LINNÉ (<i>Mantura</i>)	II, 55
Ruwenzoria	II, 20
ruwenzorica WEISE (<i>Rohania</i>)	II, 42
 Sagra	I, 37
sagroides LACORDAIRE (<i>Atalasis</i>)	I, 37
sahlbergi MENEVILLE (<i>Chrysolina</i>)	I, 157
Salaminia	II, 13
salicariae PAYKULL (<i>Lythraria</i>)	II, 51
saliceti WEISE (<i>Chrysomela</i>)	I, 167
salviae GERMAR (<i>Chrysolina</i>)	I, 153
salvini JACOBY (<i>Prionodera</i>)	I, 111
Sangaria	II, 53
Sangariola	II, 51
sanguinolenta ACHARD (<i>Atalasis</i>)	I, 37
sanguinolenta LINNÉ (<i>Chrysolina</i>)	I, 151
sapartae GRENIER (<i>Colaspina</i>)	I, 133
Sarda	II, 28
Sardoïdes	II, 20
Sastrala	II, 13
Sastracella	II, 13
Sastroides	II, 14
saucia LEOONTE (<i>Saxinie</i>)	I, 87
Saulaspis	II, 91
sauleri SPAETH (<i>Taiwania</i>)	II, 90
Saxinis	I, 87
scabra GUÉRIN (<i>Physocoryna</i>)	II, 69
scabripennis GUÉRIN (<i>Octotoma</i>)	II, 69
Scaeocassis	II, 91
 Scaphigenia	I, 84
Scaphodius	I, 92
Scelodonta	I, 120
Scelolyperus	II, 23
Schematicella	II, 11
Schematiza	II, 22
scherzeri BALY (<i>Microdonta</i>)	II, 67
Schizonoda	I, 143
Schizosternus	I, 94
schoutedeni ACHARD (<i>Chlamisus</i>)	I, 99
Sclerophaedon	I, 165
scopolina LINNÉ (<i>Coptocephala</i>)	I, 83
sculptilis FAIRMAIRE (<i>Balyana</i>)	II, 73
Sebaethe	II, 58
segnis WEISE (<i>Sternoplatus</i>)	I, 165
Semacianella	II, 28
semenowi WEISE (<i>Chiridula</i>)	II, 87
Semenowia	I, 178
semiflavus WIEDEMAN (<i>Haplosonyx</i>)	II, 31
semilaevis STÅL (<i>Microtheca</i>)	I, 179
semilineata BOHEMAN (<i>Parechoma</i>)	II, 84
seminigra JACOBY (<i>Heikertingeria</i>)	II, 48
semipurpurea HAROLD (<i>Idmosyne</i>)	II, 60
semistriatus FAIRMAIRE (<i>Pheloticus</i>)	I, 134
semiviolacea FAUVEL (<i>Candzea</i>)	II, 39
semiviridis JACOBY (<i>Alethaxius</i>)	I, 113
senilis SAY (<i>Luperalitica</i>)	II, 45
Sepharia	II, 32
seraphina MÉNÉTRIÉS (<i>Alledoya</i>)	II, 89
seriata FAIRMAIRE (<i>Eustetha</i>)	II, 29
seriatus LEFÈVRE (<i>Mecistes</i>)	I, 132
sericata PERTY (<i>Clitaspis</i>)	I, 86
sericea GUÉRIN (<i>Trichispa</i>)	II, 76
sericea GYLLENHAL (<i>Prasoidea</i>)	I, 119
sericea WEISE (<i>Hesperi</i>)	II, 44
sericeus LEFÈVRE (<i>Entomochirus</i>)	I, 113
Sermylissa	II, 28
Sermyloides	II, 31
serraticollis BALY (<i>Demotina</i>)	I, 123
servula STÅL (<i>Limenta</i>)	I, 174
Sesselia	II, 21
severini JACOBY (<i>Trichochrysea</i>)	I, 123
sexmaculata FABRICIUS (<i>Tituboea</i>)	I, 77
sexplagiata JACOBY (<i>Neobrotica</i>)	II, 22
sexsignatus FABRICIUS (<i>Melixanthus</i>)	I, 95
Sibotes	I, 108
signatifera BOHEMAN (<i>Cteisella</i>)	II, 95
signatipennis STÅL (<i>Zygogramma</i>)	I, 146
Sigrisma	I, 65
Sikkimia	II, 27
silphoides DALMAN (<i>Theone</i>)	II, 41
Simaethea	II, 54
simplex CLARK (<i>Axiotheta</i>)	II, 48
simplex JACOBY (<i>Euphrytus</i>)	I, 110
Sindia	II, 86
Sindiola	II, 86
sinuata GESTRO (<i>Micrispa</i>)	II, 74
Sjoestedtinia	II, 21
smaragdina BOHEMAN (<i>Paratauroma</i>)	II, 79
smaragdina WEISE (<i>Therpis</i>)	II, 17
smaragdipennis JACOBY (<i>Pseudapophylia</i>)	II, 42
Smeia	I, 76
Smodingonota	II, 80
sobrina BOHEMAN (<i>Paromaspides</i>)	II, 85
Solenispa	II, 65
Sominella	I, 48

	Pages.		Pages.
<i>Sonchia</i>	II, 18	<i>strigosus</i> CHAPUIS (<i>Nerissus</i>)	I, 123
<i>spadicea</i> KLUG (<i>Gratiana</i>)	II, 91	<i>Stilodes</i>	I, 148
<i>Spaethiechoma</i>	II, 84	<i>Strobiderus</i>	II, 34
<i>Spaethiella</i>	II, 78	<i>Strumatophyma</i>	I, 168
<i>speciosa</i> LEFÈVRE (<i>Adorea</i>)	I, 111	<i>Stylosomus</i>	I, 89
<i>speciosa</i> BOISDUVAL (<i>Oxycephala</i>)	II, 72	<i>subcostata</i> CHAPUIS (<i>Sterromela</i>)	I, 169
<i>spectabilis</i> BALY (<i>Myrcinella</i>)	II, 50	<i>subcostatus</i> CHAPUIS (<i>Agelinus</i>)	I, 113
<i>Sphaerocharis</i>	I, 102	<i>subcylindricus</i> FAIRMAIRE (<i>Pseudabirus</i>)	I, 130
<i>Sphaeroderma</i>	II, 62	<i>subferruginea</i> SCHRANK (<i>Hypocassida</i>)	II, 89
<i>Sphaerolina</i>	I, 162	<i>subinermis</i> FAIRMAIRE (<i>Mombasica</i>)	II, 17
<i>Sphaerometopa</i>	II, 58	<i>sublineata</i> BOHEMAN (<i>Trachymela</i>)	I, 171
<i>Sphaeropsis</i>	I, 127	<i>submetallicus</i> BALY (<i>Stethomela</i>)	I, 173
<i>Sphenocassis</i>	II, 88	<i>submetallicus</i> JACOBY (<i>Macrogonus</i>)	I, 64
<i>Sphenoraia</i>	II, 29	<i>submetallicus</i> SUFFRIAN (<i>Prasonotus</i>)	I, 93
<i>Sphenoraioides</i>	II, 29	<i>suffriani</i> FAIRMAIRE (<i>Chrysolina</i>)	I, 154
<i>Sphondylia</i>	I, 72	<i>Suffrianus</i>	I, 95
<i>Spilispa</i>	II, 71	<i>Suinzona</i>	I, 178
<i>Spilophora</i>	II, 78	<i>sulcicollis</i> CHAPUIS (<i>Neocles</i>)	I, 132
<i>Spilopyra</i>	I, 117	<i>sulcicollis</i> JACOBY (<i>Livolia</i>)	II, 52
<i>spilota</i> BOHEMAN (<i>Conchyloctenia</i>)	II, 86	<i>sulcifrons</i> FAIRMAIRE (<i>Hornius</i>)	I, 56
<i>spinicornis</i> BALY (<i>Xenoda</i>)	II, 27	<i>sulphuripennis</i> BALY (<i>Rhombasternus</i>)	I, 94
<i>spinicornis</i> KRAATZ (<i>Polyconia</i>)	II, 75	<i>sumatrana</i> JACOBY (<i>Galeroastra</i>)	II, 14
<i>spinifera</i> LINNÉ (<i>Acromis</i>)	II, 84	<i>Sumatrasia</i>	I, 27
<i>spinolae</i> HOPE (<i>Ametalla</i>)	I, 37	<i>sumptuosa</i> BALY (<i>Pyropida</i>)	I, 125
<i>spinosa</i> JOLIVET (<i>Bechyneia</i>)	I, 126	<i>sumptuosa</i> BALY (<i>Spilopyra</i>)	I, 117
<i>Spintherophyla</i>	I, 105	<i>sumptuosus</i> FABRICIUS (<i>Lamprophaes</i>)	I, 116
<i>Spitiella</i>	II, 32	<i>superba</i> LACORDAIRE (<i>Sagra</i>)	I, 39
<i>splendens</i> DUVIVIER (<i>Cerophysa</i>)	II, 27	<i>superba</i> THUNBERG (<i>Chrysolina</i>)	I, 152
<i>splendida</i> MONTROUZIER (<i>Orsodacne</i>)	I, 57	<i>supervisoria</i> BECHYNÉ (<i>Chalcoaphana</i>)	I, 116
<i>squamulosa</i> CHAPUIS (<i>Himerida</i>)	I, 127	<i>surinamensis</i> FABRICIUS (<i>Eumolpus</i>)	I, 125
<i>staphylea</i> LINNÉ (<i>Chrysolina</i>)	I, 157	<i>Sutrea</i>	II, 58
<i>staudingeri</i> JACOBY (<i>Nirinot'es</i>)	II, 11	<i>suturalis</i> ALLARD (<i>Exosomorpha</i>)	II, 40
<i>Stegnocephala</i>	I, 91	<i>suturalis</i> DUVIVIER (<i>Chihoneis</i>)	II, 22
<i>steinheili</i> HAROLD (<i>Lactini</i>)	II, 49	<i>suturalis</i> JACOBY (<i>Anoides</i>)	II, 4
<i>Stenispa</i>	II, 65	<i>suturalis</i> JACOBY (<i>Pseudolema</i>)	I, 65
<i>stenodera</i> LACORDAIRE (<i>Ametalla</i>)	I, 37	<i>suturalis</i> LABOISSIÈRE (<i>Eugonotes</i>)	II, 45
<i>Stenolampra</i>	I, 115	<i>suturalis</i> LABOISSIÈRE (<i>Luperosasia</i>)	II, 23
<i>Stenomela</i>	I, 58	<i>Syagrus</i>	I, 135
<i>Stenoplatus</i>	II, 36	<i>Sybriacus</i>	I, 117
<i>Stenoprioptera</i>	II, 77	<i>sylvatica</i> LABOISSIÈRE (<i>Xenarthracella</i>)	II, 37
<i>Stereoma</i>	I, 87	<i>Syneta</i>	I, 53
<i>sternalis</i> FAIRMAIRE (<i>Sonchia</i>)	II, 18	<i>Syngambria</i>	II, 93
<i>Sterneurus</i>	I, 117	<i>Synodita</i>	II, 26
<i>Sternocolaspis</i>	I, 141	<i>Syphraea</i>	II, 49
<i>Sternoglossus</i>	I, 89	<i>Syrichta</i>	I, 120
<i>Sternoplatus</i>	I, 165	<i>Systema</i>	II, 48
<i>Sternostena</i>	II, 68	<i>taeniata</i> THUNBERG (<i>Campolenes</i>)	I, 77
<i>Sterromela</i>	I, 169	<i>tagana</i> SUFFRIAN (<i>Chrysolina</i>)	I, 156
<i>Stethidea</i>	II, 30	<i>Taiwania</i>	II, 90
<i>Stethispa</i>	II, 67	<i>Talurus</i>	I, 114
<i>Stethomela</i>	I, 173	<i>Taphina</i>	II, 30
<i>Stethopachys</i>	I, 65	<i>Taphinella</i>	II, 31
<i>Stethotes</i>	I, 137	<i>Taphius</i>	I, 109
<i>sticticollis</i> BALY (<i>Platymela</i>)	I, 174	<i>Tapinaspis</i>	II, 94
<i>Stictocema</i>	II, 11	<i>Tappesia</i>	I, 96
<i>stigmula</i> GERMAR (<i>Caeporis</i>)	II, 50	<i>taxicornis</i> FABRICIUS (<i>Labidostomis</i>)	I, 75
<i>Stilos</i>	I, 148	<i>Teaspes</i>	I, 108
<i>Stolas</i>	II, 82	<i>Teinocera</i>	I, 76
<i>straeleni</i> BECHYNÉ (<i>Allocolaspis</i>)	I, 141	<i>Tellena</i>	I, 86
<i>straeleni</i> JOLIVET (<i>Gynandrophthalma</i>)	I, 82	<i>Temnaspis</i>	I, 74
<i>strangulata</i> BECHYNÉ (<i>Hemydactne</i>)	I, 60	<i>tenebrionoides</i> BLACKBURN (<i>Coolgardica</i>)	I, 33
<i>striaticollis</i> MONTROUZIER (<i>Scaphodius</i>)	I, 92	<i>Tenosis</i>	II, 53
<i>Strichosa</i>	I, 149	<i>Terillus</i>	I, 110
<i>strigicollis</i> LEFÈVRE (<i>Pausiris</i>)	I, 127	<i>terminalis</i> BALY (<i>Alysia</i>)	II, 14
<i>strigiscutata</i> FAIRMAIRE (<i>Malacotheria</i>)	II, 18	<i>Terpnochlorus</i>	II, 63

	Pages.		Pages.
<i>Terpsis</i>	II, 83	<i>Trichotheca</i>	I, 121
<i>tessellata</i> BLANCHARD (<i>Orsodacne</i>)	I, 57	<i>Triclionia</i>	I, 136
<i>tessellatus</i> DUFTSCHMIDT (<i>Pachnephorus</i>)	I, 133	<i>tricolor</i> FABRICIUS (<i>Tymnes</i>)	I, 130
<i>tessulata</i> GERMAR (<i>Teaspes</i>)	I, 108	<i>tricolor</i> PERTY (<i>Aracynthia</i>)	I, 111
<i>bestacea</i> LINNÉ (<i>Hispa</i>)	II, 76	<i>tricostata</i> SPAETH (<i>Carlobruchia</i>)	II, 80
<i>testaceicollis</i> J. THOMSON (<i>Acrocassis</i>)	II, 88	<i>trigemina</i> GUÉRIN (<i>Spilophora</i>)	II, 78
<i>testaceus</i> PIC (<i>Hemydacne</i>)	I, 60	<i>Trigonocassis</i>	II, 90
<i>Tebracassis</i>	II, 94	<i>trilineata</i> HOPE (<i>Glyphocassis</i>)	II, 88
<i>Thaumacera</i>	II, 34	<i>tribola</i> FABRICIUS (<i>Megaleruca</i>)	II, 10
<i>Thelyterotarsus</i>	I, 91	<i>tripartitum</i> THOMSON (<i>Physoma</i>)	II, 58
<i>Themesia</i>	I, 85	<i>Trirhabda</i>	II, 16
<i>Theone</i>	II, 41	<i>trisignata</i> BOHEMAN (<i>Metriiona</i>)	II, 93
<i>Theopea</i>	II, 33	<i>tristis</i> FABRICIUS (<i>Sagra</i>)	I, 39
<i>Theopella</i>	II, 33	<i>tristis</i> GUÉRIN (<i>Cyclosoma</i>)	II, 79
<i>Therpis</i>	II, 17	<i>tristis</i> PERTY (<i>Homalopterus</i>)	I, 71
<i>Thlaspida</i>	II, 90	<i>tristriata</i> FABRICIUS (<i>Agroiconota</i>)	II, 91
<i>Thlaspidomorpha</i>	II, 90	<i>Trochalodes</i>	I, 169
<i>Thlaspidosoma</i>	II, 90	<i>Trochalonota</i>	I, 175
<i>thoracica</i> BALY (<i>Gastrolina</i>)	I, 167	<i>tropica</i> JACOBY (<i>Neolochmaea</i>)	II, 16
<i>thoracula</i> LEFÈVRE (<i>Clypeolaria</i>)	I, 125	<i>tuberculata</i> BALY (<i>Geloptera</i>)	I, 114
<i>Thrasygoeus</i>	II, 60	<i>tuberosus</i> LABOISSIÈRE (<i>Arimetus</i>)	II, 10
<i>Throscoryssa</i>	II, 63	<i>turca</i> FAIRMAIRE (<i>Chrysolina</i>)	I, 161
<i>Thyra</i>	I, 139	<i>turrigera</i> BOHEMAN (<i>Hybosinota</i>)	II, 86
<i>tibetana</i> SPAETH (<i>Stenoprioptera</i>)	II, 77	<i>Tymnes</i>	I, 130
<i>tibiale</i> BALY (<i>Palesida</i>)	I, 127	<i>Typophorus</i>	I, 137
<i>tibialis</i> BRYANT (<i>Sarda</i>)	II, 28		
<i>tibialis</i> VILLA (<i>Lilioceris</i>)	I, 63	<i>überaba</i> BECHYNÉ (<i>Vianaea</i>)	I, 143
<i>tibialis</i> CHAPUIS (<i>Pallena</i>)	I, 127	<i>ugandensis</i> LABOISSIÈRE (<i>Palpoxena</i>)	II, 35
<i>tibialis</i> CHAPUIS (<i>Argoa</i>)	I, 130	<i>Uhechia</i>	I, 124
<i>tibialis</i> GERMAR (<i>Melinophora</i>)	I, 140	<i>ulema</i> GERMAR (<i>Eupales</i>)	I, 115
<i>tibialis</i> LEFÈVRE (<i>Mouhotina</i>)	I, 136	<i>ulyssis</i> LABOISSIÈRE (<i>Cyclanthispha</i>)	II, 30
<i>Timarcha</i>	I, 176	<i>umbratilis</i> WEISE (<i>Chrysolina</i>)	I, 161
<i>Timarchella</i>	I, 177	<i>undatus</i> BRÈME (<i>Alurnus</i>)	II, 66
<i>Timarchida</i>	I, 176	<i>undecimpunctata</i> FABRICIUS (<i>Coptocyclus</i>)	II, 92
<i>Tituboea</i>	I, 78	<i>undulata</i> LINNÉ (<i>Phyllocharis</i>)	I, 175
<i>Tlanova</i>	II, 56	<i>unicolor</i> BLANCHARD (<i>Lio</i>)	I, 57
<i>tomentosa</i> LACORDAIRE (<i>Proctophana</i>)	I, 85	<i>unicolor</i> BLANCHARD (<i>Orsodacne</i>)	I, 57
<i>tonkinea</i> PIC (<i>Lophea</i>)	I, 181	<i>unicolor</i> FAIRMAIRE (<i>Hemydacne</i>)	I, 60
<i>tonkinensis</i> WEISE (<i>Cassena</i>)	II, 55	<i>unicolor</i> ILLIGER (<i>Haplosomoides</i>)	II, 24
<i>tonkinensis</i> LABOISSIÈRE (<i>Cerophysella</i>)	II, 27	<i>unicolor</i> JACOBY (<i>Kanarella</i>)	II, 26
<i>tonkinensis</i> LABOISSIÈRE (<i>Trichobalya</i>)	II, 34	<i>unicolor</i> JACOBY (<i>Sumatrasia</i>)	II, 27
<i>tonkinensis</i> LEFÈVRE (<i>Damia</i>)	I, 81	<i>unicolor</i> JACOBY (<i>Vitruvia</i>)	II, 19
<i>Toradera</i>	II, 62	<i>unicolor</i> LACORDAIRE (<i>Megascelis</i>)	I, 69
<i>torridus</i> BLACKBURN (<i>Polyoptilus</i>)	I, 34	<i>unicolor</i> MARSHAM (<i>Exiguipenna</i>)	I, 164
<i>Tozaria</i>	II, 55	<i>unicolor</i> OLIVIER (<i>Phygasia</i>)	II, 51
<i>Trachymela</i>	I, 171	<i>unicolor</i> SPAETH (<i>Fornicocassis</i>)	II, 88
<i>Trachyscelida</i>	II, 22	<i>Urodera</i>	I, 87
<i>Trachytetra</i>	II, 45	<i>Uroplata</i>	II, 69
<i>tranquebarica</i> FABRICIUS (<i>Hymnesia</i>)	II, 18	<i>usambarica</i> WEISE (<i>Chapuisia</i>)	II, 38
<i>transcisa</i> MOTSCHULSKY (<i>Parlina</i>)	II, 49		
<i>transvaalensis</i> PÉRINGUEY (<i>Dichirispa</i>)	II, 76	<i>valida</i> BOHEMAN (<i>Amythra</i>)	II, 83
<i>transversa</i> MARSHALL (<i>Crepidodera</i>)	II, 52	<i>validicornis</i> CHAPUIS (<i>Agrianes</i>)	I, 107
<i>transversalis</i> DEJEAN (<i>Bathseba</i>)	I, 140	<i>variabile</i> BALY (<i>Nonarthra</i>)	II, 63
<i>transversicollis</i> PIC (<i>Macrolopha</i>)	I, 72	<i>variabilis</i> BALY (<i>Orosodacne</i>)	I, 51
<i>tredecimpunctata</i> FABRICIUS (<i>Laccopteroidea</i>)	II, 87	<i>variabilis</i> BLANCHARD (<i>Lexiphanes</i>)	I, 91
<i>Triachus</i>	I, 95	<i>variabilis</i> JACOBY (<i>Systema</i>)	II, 48
<i>Triarius</i>	II, 8	<i>variabilis</i> OLIVIER (<i>Spartophilus</i>)	I, 172
<i>Trichaspis</i>	II, 88	<i>varians</i> SAHLBERG (<i>Tellena</i>)	I, 86
<i>Trichispa</i>	II, 76	<i>varians</i> SCHALLER (<i>Chrysolina</i>)	I, 151
<i>Trichobalya</i>	II, 34	<i>varians</i> apicalis WEISE (<i>Sternostena</i>)	II, 68
<i>Trichochrysea</i>	I, 123	<i>variceps</i> LABOISSIÈRE (<i>Platyxanthoides</i>)	II, 35
<i>Tricholema</i>	I, 55	<i>varicollis</i> LACORDAIRE (<i>Phoenicodera</i>)	I, 79
<i>Trichomimastra</i>	II, 24	<i>varicolor</i> JACOBY (<i>Lyraletes</i>)	I, 142
<i>Trichonotolema</i>	I, 66	<i>varicornis</i> JACOBY (<i>Malvernia</i>)	II, 46
<i>Trichosephoria</i>	II, 32	<i>variegata</i> LACORDAIRE (<i>Plectonycha</i>)	I, 65
<i>Trichostola</i>	I, 128	<i>variegatus</i> BLANCHARD (<i>Psathyrocerus</i>)	I, 58

	Pages.		Pages.
variolosa FABRICIUS (<i>Polychalca</i>)	II, 79	vulgatissimus LINNÉ (<i>Chaetocera</i>)	I, 173
variolosa HOPE (<i>Pseudadimonia</i>)	II, 13	Vulpia	II, 80
ventralis ILLIGER (<i>Ochrosis</i>)	II, 52	vulpinus SUFFRIAN (<i>Elaphodes</i>)	I, 92
vernalis BRULLÉ (<i>Chrysolina</i>)	I, 160	wagneri STEINHEIL (<i>Euryceraea</i>)	I, 147
verrucosa JACOBY (<i>Wittmerita</i>)	I, 142	wahlbergi STÅL (<i>Syrichta</i>)	I, 120
versicolor MORAWITZ (<i>Chloropterus</i>)	I, 136	Wallacea	II, 74
vestita BOHEMAN (<i>Trichostola</i>)	I, 128	wallacei BALY (<i>Aulexis</i>)	I, 121
Vianaeta	I, 143	wallacei BALY (<i>Euphitrea</i>)	II, 62
viburni PAYKULL (<i>Pyrrhalta</i>)	II, 10	walleri BALY (<i>Oidosoma</i>)	I, 175
vicina LACORDAIRE (<i>Lachnara</i>)	I, 77	waterhousei BALY (<i>Corynodes</i>)	I, 137
vigintipunctata SCOPOLI (<i>Microdera</i>)	I, 166	waterhousei BALY (<i>Xenochalepus</i>)	II, 68
vigorsi HOPE (<i>Periditena</i>)	II, 12	weisei JACOBY (<i>Gabonia</i>)	II, 46
villousula MELSHIMER (<i>Xanthonia</i>)	I, 121	weisei JACOBY (<i>Halyssacantha</i>)	II, 6
viminalis LINNÉ (<i>Goniocetra</i>)	I, 172	Weiseocassis	II, 86
vinula ERICHSON (<i>Heterispa</i>)	II, 69	wesmaeli BOHEMAN (<i>Tapinaspis</i>)	II, 94
violacea deyrollei THOMSON (<i>Sagra</i>)	I, 39	westermanni BOHEMAN (<i>Diaphanops</i>)	I, 36
virinea LACORDAIRE (<i>Smeia</i>)	I, 76	westermanni STÅL (<i>Lygaria</i>)	I, 175
viridana KÜSTER (<i>Chrysolina</i>)	I, 154	westwoodi BALY (<i>Chilozena</i>)	I, 126
viridiaeneus JACOBY (<i>Menius</i>)	I, 135	westwoodi BALY (<i>Pseudiepa</i>)	II, 67
viridicollis JACOBY (<i>Sardoides</i>)	II, 20	westwoodi CHAPUIS (<i>Chaloenus</i>)	II, 44
viridicyanea KRAATZ (<i>Chrysispala</i>)	II, 76	whitei BALY (<i>Aesernia</i>)	I, 162
viridilimbata LEFÈVRE (<i>Colaspis</i>)	I, 112	wittei JOLIVET (<i>Coenobius</i>)	I, 93
viridimacula BOHEMAN (<i>Epistictina</i>)	II, 77	wittmeri MONROS (<i>Mariamela</i>)	I, 69
viridipennis BALY (<i>Momaea</i>)	II, 14	Wittmerita	I, 142
viridipennis DALMAN (<i>Physonychis</i>)	II, 58		
viridipennis LABOISSIÈRE (<i>Mellesianella</i>)	II, 8		
viridipennis PIC (<i>Sigrisma</i>)	I, 65	Xanthonia	I, 121
viridipennis SAUNDERS (<i>Mitocera</i>)	I, 96	Xanthopachys	I, 105
viridis BALY (<i>Prasona</i>)	II, 48	Xanthophorus	I, 121
viridis CHEVROLAT (<i>Crioceris</i>)	I, 63	xanthospila BALY (<i>Pseuderodera</i>)	II, 53
viridis JACOBY (<i>Apophylia</i>)	II, 42	xanti CROTON (<i>Euplectroscelis</i>)	II, 56
viridis JACOBY (<i>Myrcinoides</i>)	II, 51	Xenarescus	II, 65
viridis LABOISSIÈRE (<i>Ruvenzoria</i>)	II, 20	Xenarthra	II, 34
viridis LINNÉ (<i>Odontionycha</i>)	II, 89	Xenarthracella	II, 37
viridis PHILIPPI (<i>Procalus</i>)	II, 9	Xenidea	II, 56
viridis SAUNDERS (<i>Chloroplisma</i>)	I, 96	Xenocassis	II, 93
viridis WEISE (<i>Huillania</i>)	II, 37	Xenochalepus	II, 68
viridula DE GEER (<i>Gastrophysa</i>)	I, 163	Xenoda	II, 27
vitellinae LINNÉ (<i>Phratora</i>)	I, 173	Xenomela	I, 178
vitrea BOHEMAN (<i>Eurypepla</i>)	II, 85	Xuthea	II, 52
Vitruria	II, 19		
vittata BLANCHARD (<i>Rhynparida</i>)	I, 125	Yulenia	II, 17
vittata DUVIVIER (<i>Luperomorpha</i>)	II, 44		
vittata FABRICIUS (<i>Microrhopala</i>)	II, 70	zanzibaricus LEPÈVRE (<i>Liniscus</i>)	I, 134
vittata FABRICIUS (<i>Prosicela</i>)	I, 148	Zatrephma	II, 83
vittata OLIVIER (<i>Scelodonta</i>)	I, 120	zeal BRYANT (<i>Zomba</i>)	II, 59
vittata VILLIERS (<i>Cassidulella</i>)	II, 89	Zeugonota	II, 80
vittatus CLARK (<i>Physimerus</i>)	II, 59	Zeugophora	I, 51
vittatus CLARK (<i>Rhoicus</i>)	II, 59	Zipangia	II, 46
vitticollis JACOBY (<i>Paria</i>)	I, 137	Zomba	II, 59
vivida BOHEMAN (<i>Euctenochira</i>)	II, 96	Zygogramma	I, 146
vulgata LEFÈVRE (<i>Colaspoides</i>)	I, 140		

TABLE DES FIGURES

	Pages
FIG. 1. — Types de nervation des Coléoptères	I, 7
FIG. 2. — Aile de <i>Bechyneia spinosa</i> JOLIVET, d'après la nomenclature de VIGNON	I, 11
FIG. 3. — A : Type primitif hypothétique de nervation	I, 13
B : Pliures de <i>Chrysochus auratus</i> FABRICIUS	I, 13
C : Nervation de <i>Chrysochus auratus</i> (d'après FORBES)	I, 13
FIG. 4. — Aile théorique de <i>Chrysomeloidea</i>	I, 15
FIG. 5. — Distribution des trachées dans A : l'aile antérieure d'une nymphe de Coléoptère; B : l'aile postérieure d'une nymphe de Coléoptère; C : l'aile postérieure droite d'une nymphe de <i>Chrysomela populi</i> L.	I, 18
FIG. 6. — Schéma théorique de l'ombrage à l'or	I, 22
FIG. 7. — Distribution des organes sensoriels sur l'aile inférieure gauche de <i>Dytiscus marginalis</i>	I, 24
FIG. 8. — A : Structure d'un élytre de <i>Chrysomela populi</i> L.	I, 27
B : Coupe de l'élytre de <i>Chrysomela populi</i> L.	I, 27
C : Coupe de l'élytre de <i>Phytodecta viminalis calcaratus</i> F.	I, 27
D : Section transversale d'une portion de l'aile d'une nymphe d'insecte	I, 27
E : Pores des glandes sur le bord de l'élytre de <i>Chrysomela populi</i> L.	I, 27
F : Coupe transversale à travers le bord latéral de l'élytre de <i>Chrysomela populi</i> F.	I, 27
FIG. 9. — Élytre droit de <i>Chrysomela populi</i> L.	I, 28
FIG. 10. — Spectre d'absorption d'une solution alcoolique d'une macération d'élytre de <i>Chrysomela populi</i> L.	I, 30
FIG. 11. — Ailes d' <i>Eumolpidae</i> et <i>Lamprosomidae</i>	I, 59
FIG. 12. — Types de nervation des <i>Chrysomeloidea</i>	II, 98
FIG. 13. — Génitalia ♂♂ d' <i>Orsodacnidae</i> , <i>Synetidae</i> et <i>Eumolpidae</i>	II, 99
FIG. 14. — Evolution probable des <i>Chrysomeloidea</i>	II, 100

TABLE DES MATIÈRES

	Pages.
AVANT-PROPOS	I, 3
I. — L'AILE MEMBRANEUSE DES COLÉOPTÈRES ET SES DIFFÉRENTES NOMENCLATURES	I, 5
II. — AILE TYPE « <i>Chrysomeloidea</i> »	I, 14
a) Description de l'aile théorique	I, 14
b) Sclérites d'articulation	I, 17
c) Pliage des ailes	I, 17
d) Schéma des trachées dans la nymphe	I, 17
e) Coloration de l'aile	I, 18
f) Microstructure	I, 21
g) Anatomie de l'aile et de l'élytre	I, 26
h) Morphologie et coloration élytrale	I, 28
III. — MORPHOLOGIE ALAIRE COMPARÉE DES DIFFÉRENTES FAMILLES DE <i>Chrysomeloidea</i>	I, 31
1. <i>Sagridae</i> et <i>Aulacoscelidae</i>	I, 31
2. <i>Donaciidae</i>	I, 45
3. <i>Orsodacnidae</i> et <i>Synetidae</i>	I, 50
5. <i>Megascelidae</i>	I, 69
4. <i>Crioceridae</i>	I, 60
6. <i>Megalopodidae</i>	I, 70
7. <i>Clytridae</i>	I, 75
8. <i>Cryptocephalidae</i>	I, 88
9. <i>Chlamisidae</i>	I, 98
10. <i>Lamprosomidae</i>	I, 101
11. <i>Eumolpidae</i>	I, 103
12. <i>Chrysomelidae</i> s. str.	I, 145
13. <i>Galerucidae</i>	II, 3
14. <i>Halticidae</i>	II, 43
15. <i>Hispidae</i>	II, 64
16. <i>Cassididae</i>	II, 76
IV. — ESQUISSE PHYLOGÉNIQUE	II, 96
V. — BRACHYPTÉRISME ET APTÉRISME	II, 101
a) Causes du brachyptérisme et de l'aptérisme	II, 101
b) Morphologie du rudiment alaire	II, 104
c) Cas de <i>Chrysolina banksi</i> FABRICIUS	II, 104
d) Cas des Halticides brachy-, micro-, et aptères	II, 106
e) Corrélations entraînées par l'aptérisme	II, 106
VI. — LE VOL CHEZ LES <i>Chrysomeloidea</i>	II, 107
a) Le vol parmi les <i>Chrysomeloidea</i>	II, 107
b) Effets de la réduction du vol	II, 109
c) Mécanique du vol	II, 111
d) Physiologie du vol	II, 112
VII. — VARIATIONS DE L'AILE MACROPTÈRE DES <i>Chrysomeloidea</i>	II, 113
VIII. — CONCLUSIONS	II, 117
LISTE DES ABRÉVIATIONS	II, 118
INDEX BIBLIOGRAPHIQUE	II, 119
INDEX ALPHABÉTIQUE DES GENRES ET DES ESPÈCES CITÉS	II, 131
TABLE DES FIGURES	II, 151
TABLE DES MATIÈRES	II, 152
PLANCHES I-XL	II, 153
